

**S.S. 38 - LOTTO 4: VARIANTE DI TIRANO DALLO SVINCOLO DI STAZZONA (COMPRESO) ALLO SVINCOLO DI LORETO (CON COLLEGAMENTO ALLA DOGANA DI POSCHIAVO)**

**S.S. 38 - LOTTO 4: NODO DI TIRANO -  
TRATTA "A" (SVINCOLO DI BIANZONE - SVINCOLO LA GANDA)  
E TRATTA "B" (SVINCOLO LA GANDA - CAMPONE IN TIRANO)**

**PROGETTO ESECUTIVO**

 <p><b>STUDIO CORONA</b></p>	 <p>Ing. Valerio Bajetti Ordine degli Ingg. di Roma e provincia n° A-26211</p>	<p>ING. RENATO DEL PRETE</p> <p>Ing. Renato Del Prete Ordine degli Ingg. di Bari e provincia n° 5073</p>	 <p>Arch. Nicoletta Frattini Ordine degli Arch. di Torino e provincia n° A-8433</p>	 <p>Ing. Gabriele Incecchi Ordine degli Ingg. di Roma e provincia n° A-12102</p>
	<p>Ing. Renato Vaira (Ordine degli Ingg. di Torino e Provincia n° 4663 W)</p>	 <p>Società designata: <b>GA&amp;M</b></p> <p>Prof. Ing. Matteo Ranieri Ordine degli Ingg. di Bari e provincia n° 1137</p>	<p><b>SETAC</b> Srl Servizi &amp; Engineering Trasporti Ambiente Costruzioni</p> <p>Prof. Ing. Luigi Monterisi Ordine degli Ingg. di Bari e provincia n° 1771</p>	<p><b>ARKE'</b> INGEGNERIA s.r.l. Società designata: <b>ARKE'</b></p> <p>Ing. Gioacchino Angarano Ordine degli Ingg. di Bari e provincia n° 5970</p>
<p>VISTO: IL RESPONSABILE DEL PROCEDIMENTO</p> <p>Dott. Ing. Giancarlo LUONGO</p>	<p>RESPONSABILE DELL'INTEGRAZIONE DELLE PRESTAZIONI SPECIALISTICHE</p>  <p>Ing. Valerio BAJETTI</p>	<p>GEOLOGO</p>  <p>Dott. Geol. Francesco AMANTIA SCUDERI</p>	<p>IL COORDINATORE DELLA SICUREZZA IN FASE DI PROGETTAZIONE</p>  <p>Ing. Gaetano RANIERI</p>	

**HB04**

**H - PROGETTO STRUTTURALE OPERE PRINCIPALI**  
**HB - VI02 PONTE SULL'ADDA DI TIRANO**  
**RELAZIONE DI CALCOLO PARATIA DI PALI PILA 1**

CODICE PROGETTO		NOME FILE		REVISIONE	SCALA:
PROGETTO	LIV. PROG.	N. PROG.	HB04-P00VI02STRRE04_A.dwg		
M   3   2   4	E	1   8   0   1	CODICE ELAB. P   0   0   V   I   0   2   S   T   R   R   E   0   4	A	-----
C					
B					
A	EMISSIONE	SETTEMBRE 2018	ING. NICOLA LIGAS	ING. FABRIZIO BAJETTI	ING. VALERIO BAJETTI
REV.	DESCRIZIONE	DATA	REDATTO	VERIFICATO	APPROVATO

## SOMMARIO

<b>1</b>	<b>PREMESSA</b> .....	<b>5</b>
<b>2</b>	<b>NORMATIVA</b> .....	<b>6</b>
<b>3</b>	<b>UNITA' DI MISURA</b> .....	<b>6</b>
<b>4</b>	<b>MATERIALI</b> .....	<b>7</b>
4.1	Calcestruzzi .....	7
4.1.1	Calcestruzzo per pali Ø600 della paratia (UNI 11104-2016) .....	7
4.1.2	Calcestruzzo per cordolo di testa (UNI 11104-2016).....	7
4.2	Acciai.....	8
4.2.1	Acciaio per armatura lenta .....	8
<b>5</b>	<b>CARATTERIZZAZIONE GEOTECNICA DEI TERRENI</b> .....	<b>9</b>
5.1	Definizione della stratigrafia e dei parametri geotecnici di calcolo .....	9
5.2	Approccio di calcolo .....	18
<b>6</b>	<b>ZONIZZAZIONE E CARATTERIZZAZIONE SISMICA</b> .....	<b>19</b>
6.1	Identificazione della località e dei parametri sismici generali.....	19
6.2	Definizione della strategia progettuale .....	20
6.3	Parametri di calcolo .....	21
6.3.1	Parametri numerici sismici .....	21
6.3.2	Categoria dei terreni di fondazione e categoria topografica .....	22
6.3.3	Categoria dei terreni di fondazione e categoria topografica .....	22
6.3.4	Fattori di struttura.....	22
6.4	Definizione dello spettro di progetto elastico per lo SLV.....	23
<b>7</b>	<b>ANALISI DEI CARICHI</b> .....	<b>26</b>
7.1	Peso proprio delle strutture in cemento armato.....	26
7.1.1	Strutture in calcestruzzo armato .....	26
7.1.2	Strutture in carpenteria metallica .....	26
7.2	Spinta laterale dei terreni a tergo delle paratie .....	26
7.3	Spinta dei sovraccarichi accidentali a tergo delle paratie .....	26
7.4	Azione sismica.....	27
<b>8</b>	<b>COMBINAZIONI DI CARICO</b> .....	<b>28</b>
8.1	Combinazioni di carico statiche.....	28
8.1.1	Combinazioni di carico allo Stato Limite di Esercizio – Combinazioni quasi permanenti.....	28
8.1.2	Combinazioni di carico allo Stato Limite di Esercizio – Combinazioni frequenti.....	28
8.1.3	Combinazioni di carico allo Stato Limite di Esercizio – Combinazioni caratteristiche.....	28
8.1.4	Combinazioni di carico allo Stato Limite Ultimo.....	28
<b>9</b>	<b>PARATIA PALI Ø600 – MODELLO DI CALCOLO E VALUTAZIONE DELLE AZIONI SOLLECITANTI</b> .....	<b>30</b>
9.1	Modello di calcolo .....	30
9.2	Valutazione della costante di rigidezza delle molle orizzontali equivalenti.....	30
9.3	Fasi di realizzazione .....	31
9.4	Valutazione delle azioni sollecitanti sulla paratia di micropali .....	34
9.4.1	Combinazione SLE – Caratteristica .....	34
9.4.2	Combinazione SLU – STR.....	35
9.4.3	Combinazione SLU – GEO .....	36
9.4.4	Combinazione SLV .....	37
9.5	Riepilogo delle azioni sollecitanti sui pali Ø600 .....	38

<b>10</b>	<b>PARATIA DI PALI – VERIFICA STRUTTURALE DEI PALI Ø600.....</b>	<b>39</b>
10.1	Sezione resistente e armatura di verifica.....	39
10.2	Verifica allo Stato Limite di limitazione delle tensioni.....	39
10.3	Verifica allo Stato Limite di fessurazione.....	40
10.4	Verifica allo Stato Limite Ultimo per flessione retta.....	41
10.5	Verifica allo Stato Limite Ultimo per taglio.....	42
<b>11</b>	<b>PARATIA DI PALI - VERIFICA DELLO SPOSTAMENTO MASSIMO.....</b>	<b>43</b>
<b>12</b>	<b>VERIFICA DI STABILITÀ ALLA ROTAZIONE.....</b>	<b>44</b>
12.1	Combinazione SLU - GEO.....	44
12.2	Combinazione SLV.....	45
<b>13</b>	<b>CORDOLO DI TESTA – VERIFICHE STRUTTURALI.....</b>	<b>46</b>
13.1	Valutazione delle azioni sollecitanti.....	46
13.2	Sezione e armatura di verifica.....	46
13.3	Verifica allo SLU per flessione semplice.....	47
13.4	Verifica allo SLU per taglio.....	48
<b>14</b>	<b>TABULATI DI CALCOLO.....</b>	<b>49</b>
	<b>Descrizione del Software.....</b>	<b>51</b>
	<b>Descrizione della Stratigrafia e degli Strati di Terreno.....</b>	<b>52</b>
	<b>Descrizione Pareti.....</b>	<b>53</b>
	<b>Fasi di Calcolo.....</b>	<b>54</b>
	Stage 1.....	54
	Stage 2.....	56
	Stage 3.....	58
	Stage 4.....	60
	Stage 5.....	62
	Stage 6.....	64
	Tabella Configurazione Stage (Nominal).....	66
	<b>Grafici dei Risultati.....</b>	<b>67</b>
	Design Assumption : Nominal.....	67
	Tabella Spostamento Nominal - LEFT Stage: Stage 1.....	67
	Tabella Spostamento Nominal - LEFT Stage: Stage 2.....	69
	Tabella Spostamento Nominal - LEFT Stage: Stage 3.....	70
	Tabella Spostamento Nominal - LEFT Stage: Stage 4.....	71
	Tabella Spostamento Nominal - LEFT Stage: Stage 5.....	72
	Tabella Spostamento Nominal - LEFT Stage: Stage 6.....	73
	Grafici Spostamento in tabella.....	74
	Risultati Paratia.....	75
	Tabella Risultati Paratia Nominal - Stage: Stage 1.....	75
	Tabella Risultati Paratia Nominal - Stage: Stage 2.....	76
	Tabella Risultati Paratia Nominal - Stage: Stage 3.....	77
	Tabella Risultati Paratia Nominal - Stage: Stage 4.....	78
	Tabella Risultati Paratia Nominal - Stage: Stage 5.....	79
	Tabella Risultati Paratia Nominal - Stage: Stage 6.....	80
	Grafico Momento Nominal.....	81
	Grafico Taglio Nominal.....	82
	Grafico Momento Nominal.....	83
	Grafico Taglio Nominal.....	84
	Risultati Elementi strutturali.....	85

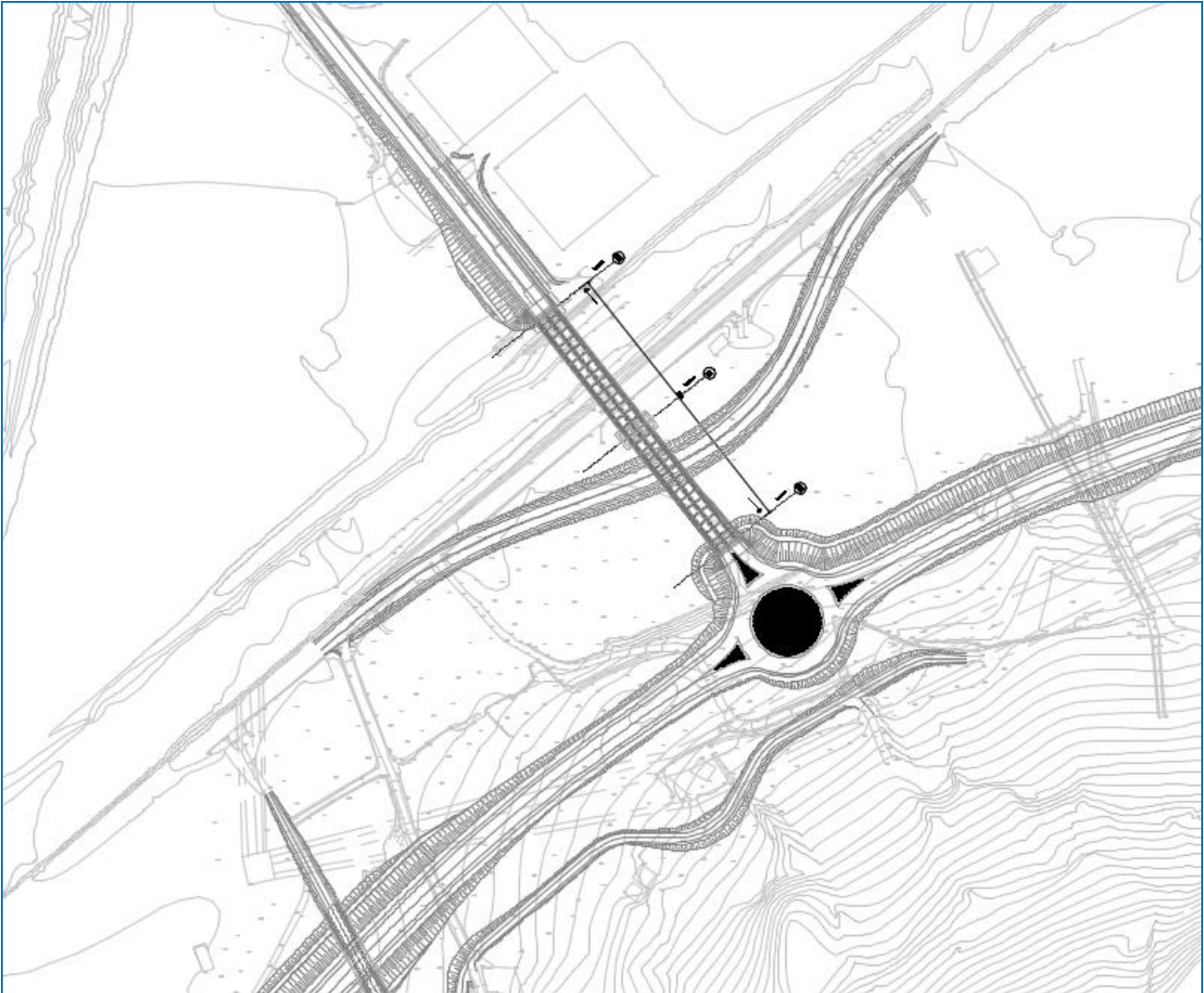
Risultati Terreno.....	86
Tabella Risultati Terreno Left Wall - Nominal - Stage 1 .....	86
Tabella Risultati Terreno Left Wall - Nominal - Stage 2 .....	88
Tabella Risultati Terreno Left Wall - Nominal - Stage 3 .....	90
Tabella Risultati Terreno Left Wall - Nominal - Stage 4 .....	92
Tabella Risultati Terreno Left Wall - Nominal - Stage 5 .....	94
Tabella Risultati Terreno Left Wall - Nominal - Stage 6 .....	96
Grafico Risultati Terreno Sigma V .....	98
Grafico Risultati Terreno Sigma H.....	99
Grafico Risultati Terreno Pressione neutra.....	100
Grafico Risultati Terreno Gradiente idraulico.....	101
Grafico Risultati Terreno U* terreno .....	102
Riepilogo spinte .....	103
<b>Descrizione Coefficienti Design Assumption .....</b>	<b>104</b>
Risultati SLE (Rara/Frequente/Quasi Permanente) .....	105
Tabella Spostamento SLE (Rara/Frequente/Quasi Permanente) - LEFT Stage: Stage 1 ....	105
Tabella Risultati Paratia SLE (Rara/Frequente/Quasi Permanente) - Left Wall - Stage: Stage 1 .....	106
Tabella Spostamento SLE (Rara/Frequente/Quasi Permanente) - LEFT Stage: Stage 2 ....	107
Tabella Risultati Paratia SLE (Rara/Frequente/Quasi Permanente) - Left Wall - Stage: Stage 2 .....	108
Tabella Spostamento SLE (Rara/Frequente/Quasi Permanente) - LEFT Stage: Stage 3 ....	109
Tabella Risultati Paratia SLE (Rara/Frequente/Quasi Permanente) - Left Wall - Stage: Stage 3 .....	110
Tabella Spostamento SLE (Rara/Frequente/Quasi Permanente) - LEFT Stage: Stage 4 ....	111
Tabella Risultati Paratia SLE (Rara/Frequente/Quasi Permanente) - Left Wall - Stage: Stage 4 .....	112
Tabella Spostamento SLE (Rara/Frequente/Quasi Permanente) - LEFT Stage: Stage 5 ....	113
Tabella Risultati Paratia SLE (Rara/Frequente/Quasi Permanente) - Left Wall - Stage: Stage 5 .....	114
Tabella Spostamento SLE (Rara/Frequente/Quasi Permanente) - LEFT Stage: Stage 6 ....	115
Tabella Risultati Paratia SLE (Rara/Frequente/Quasi Permanente) - Left Wall - Stage: Stage 6 .....	116
Tabella Grafici dei Risultati.....	117
Risultati Elementi strutturali - SLE (Rara/Frequente/Quasi Permanente).....	121
Risultati A1+M1+R1 (R3 per tiranti).....	123
Tabella Risultati Paratia A1+M1+R1 (R3 per tiranti) - Left Wall - Stage: Stage 1.....	123
Tabella Risultati Paratia A1+M1+R1 (R3 per tiranti) - Left Wall - Stage: Stage 2.....	124
Tabella Risultati Paratia A1+M1+R1 (R3 per tiranti) - Left Wall - Stage: Stage 3.....	125
Tabella Risultati Paratia A1+M1+R1 (R3 per tiranti) - Left Wall - Stage: Stage 4.....	126
Tabella Risultati Paratia A1+M1+R1 (R3 per tiranti) - Left Wall - Stage: Stage 5.....	127
Tabella Risultati Paratia A1+M1+R1 (R3 per tiranti) - Left Wall - Stage: Stage 6.....	128
Tabella Grafici dei Risultati.....	129
Risultati Elementi strutturali - A1+M1+R1 (R3 per tiranti) .....	133
Risultati A2+M2+R1 .....	135
Tabella Risultati Paratia A2+M2+R1 - Left Wall - Stage: Stage 1 .....	135
Tabella Risultati Paratia A2+M2+R1 - Left Wall - Stage: Stage 2 .....	136
Tabella Risultati Paratia A2+M2+R1 - Left Wall - Stage: Stage 3 .....	137



Tabella Risultati Paratia A2+M2+R1 - Left Wall - Stage: Stage 4 .....	138
Tabella Risultati Paratia A2+M2+R1 - Left Wall - Stage: Stage 5 .....	139
Tabella Risultati Paratia A2+M2+R1 - Left Wall - Stage: Stage 6 .....	140
Tabella Grafici dei Risultati.....	141
Risultati Elementi strutturali - A2+M2+R1 .....	145
<b>Risultati SISMICA GEO.....</b>	<b>147</b>
Tabella Risultati Paratia SISMICA GEO - Left Wall - Stage: Stage 1 .....	147
Tabella Risultati Paratia SISMICA GEO - Left Wall - Stage: Stage 2.....	148
Tabella Risultati Paratia SISMICA GEO - Left Wall - Stage: Stage 3.....	149
Tabella Risultati Paratia SISMICA GEO - Left Wall - Stage: Stage 4.....	150
Tabella Risultati Paratia SISMICA GEO - Left Wall - Stage: Stage 5.....	151
Tabella Risultati Paratia SISMICA GEO - Left Wall - Stage: Stage 6.....	152
Tabella Grafici dei Risultati.....	153
Risultati Elementi strutturali - SISMICA GEO.....	157
<b>Descrizione sintetica dei risultati delle Design Assumption (Inviluppi) .....</b>	<b>159</b>
Tabella Inviluppi Momento WallElement.....	159
Grafico Inviluppi Momento.....	160
Tabella Inviluppi Taglio WallElement.....	161
Grafico Inviluppi Taglio.....	162
Inviluppo Spinta Reale Efficace / Spinta Passiva .....	163
Inviluppo Spinta Reale Efficace / Spinta Attiva .....	164
Inviluppo Risultati Elementi Strutturali .....	165

## 1 PREMESSA

La presente relazione riporta il dimensionamento e le verifiche strutturali della paratia di pali  $\varnothing 600$  a protezione della zattera di fondazione della pila 1 del ponte VI-02 nell'ambito del progetto esecutivo "S.S. 38 – Lotto 4: Nodo di Tirano – Tratta "A" (Svincolo di Biazone – Svincolo La Ganda) – Tratta "B" (Svincolo La Ganda – Campone in Tirano)".



## 2 NORMATIVA

Nella redazione dei calcoli statici ci si è attenuti alle prescrizioni della Normativa vigente; in particolare:

- **Legge n°1086 del 05/11/1971** “Norme per la disciplina delle opere in conglomerato cementizio armato, normale e precompresso ed a struttura metallica”
- **Legge n°64 del 02/02/1974** “Provvedimenti per le costruzioni con particolari prescrizioni per le zone sismiche”
- **Decreto Ministeriale 17/01/2018** “Norme Tecniche per le Costruzioni”
- **Circolare Min. 02/02/2009, n° 617** “Istruzioni per l’applicazione delle Nuove Norme Tecniche per le Costruzioni di cui al D.M. 14/01/2008”
- **UNI EN 1991-2 (Eurocodice 1 – Parte 2)** → Azioni sulle strutture – Carichi da traffico sui ponti
- **UNI EN 1992-1 (Eurocodice 2 – Parte 1)** → Progettazione delle strutture in calcestruzzo – Regole generali
- **UNI EN 1992-2 (Eurocodice 2 – Parte 2)** → Progettazione delle strutture in calcestruzzo – Ponti
- **UNI EN 1998-2 (Eurocodice 8 – Parte 2)** → Progettazione delle strutture per la resistenza sismica – Ponti
- **UNI EN 206-1:2006** → Calcestruzzo – Specificazione, prestazione e conformità
- **UNI 11104** → Calcestruzzo – Specificazione, prestazione, produzione e conformità – Istruzioni complementari per l’applicazione della EN 2016-1

## 3 UNITA' DI MISURA

Nei calcoli è stato fatto uso delle seguenti unità di misura:

- per i carichi:  $\text{kN/m}^2$ ,  $\text{kN/m}$ ,  $\text{kN}$
- per i momenti:  $\text{kNm}$
- per i tagli e sforzi normali:  $\text{kN}$
- per le tensioni:  $\text{N/mm}^2$
- per le accelerazioni:  $\text{m/sec}^2$

## 4 MATERIALI

### 4.1 CALCESTRUZZI

#### 4.1.1 CALCESTRUZZO PER PALI Ø600 DELLA PARATIA (UNI 11104-2016)

Per i pali Ø600 della paratia è stato previsto un calcestruzzo con classe di resistenza **C25/30** con le seguenti caratteristiche meccaniche:

CARATTERISTICHE MECCANICHE DEI CALCESTRUZZI - D.M. 17.01.2018			
Classe di resistenza del calcestruzzo		C25/30	▼
Resistenza caratteristica cubica a compressione	$R_{ck}$	<b>30,00</b>	[N/mm <sup>2</sup> ]
Resistenza caratteristica cilindrica a compressione	$f_{ck}$	<b>24,90</b>	[N/mm <sup>2</sup> ]
Resistenza cilindrica media a compressione a 28 gg	$f_{cm}$	<b>32,90</b>	[N/mm <sup>2</sup> ]
Resistenza di calcolo a compressione	$f_{cd}$	<b>14,11</b>	[N/mm <sup>2</sup> ]
Resistenza media a trazione	$f_{ctm}$	<b>2,56</b>	[N/mm <sup>2</sup> ]
Resistenza caratteristica a trazione	$f_{ctk}$	<b>1,79</b>	[N/mm <sup>2</sup> ]
Resistenza di calcolo a trazione	$f_{ctd}$	<b>1,19</b>	[N/mm <sup>2</sup> ]
Modulo elastico istantaneo	$E_c$	<b>31.220,19</b>	[N/mm <sup>2</sup> ]
Modulo elastico medio	$E_{cm}$	<b>30.440,77</b>	[N/mm <sup>2</sup> ]

- Classe di esposizione: **XC2**
- Classe di consistenza: **S4**
- Rapporto minimo acqua / cemento: **0,60**
- Contenuto minimo di cemento: **300 kg/mc**
- Diametro massimo degli inerti: **30 mm**
- Copriferro netto minimo: **60 mm**

#### 4.1.2 CALCESTRUZZO PER CORDOLO DI TESTA (UNI 11104-2016)

Per il cordolo di testa è stato previsto un calcestruzzo con classe di resistenza **C25/30** con le seguenti caratteristiche meccaniche:

CARATTERISTICHE MECCANICHE DEI CALCESTRUZZI - D.M. 17.01.2018			
Classe di resistenza del calcestruzzo		C25/30	▼
Resistenza caratteristica cubica a compressione	$R_{ck}$	<b>30,00</b>	[N/mm <sup>2</sup> ]
Resistenza caratteristica cilindrica a compressione	$f_{ck}$	<b>24,90</b>	[N/mm <sup>2</sup> ]
Resistenza cilindrica media a compressione a 28 gg	$f_{cm}$	<b>32,90</b>	[N/mm <sup>2</sup> ]
Resistenza di calcolo a compressione	$f_{cd}$	<b>14,11</b>	[N/mm <sup>2</sup> ]
Resistenza media a trazione	$f_{ctm}$	<b>2,56</b>	[N/mm <sup>2</sup> ]
Resistenza caratteristica a trazione	$f_{ctk}$	<b>1,79</b>	[N/mm <sup>2</sup> ]
Resistenza di calcolo a trazione	$f_{ctd}$	<b>1,19</b>	[N/mm <sup>2</sup> ]
Modulo elastico istantaneo	$E_c$	<b>31.220,19</b>	[N/mm <sup>2</sup> ]
Modulo elastico medio	$E_{cm}$	<b>30.440,77</b>	[N/mm <sup>2</sup> ]

- Classe di esposizione: **XC2**
- Classe di consistenza: **S4**
- Rapporto minimo acqua / cemento: **0,60**
- Contenuto minimo di cemento: **300 kg/mc**
- Diametro massimo degli inerti: **30 mm**

- Copriferro netto minimo: **40 mm**

## 4.2 ACCIAI

### 4.2.1 ACCIAIO PER ARMATURA LENTA

Per le armature lente è stato previsto un acciaio del tipo **B450C**, con le seguenti caratteristiche meccaniche:

- $f_{t,k}$  = 540,00 N/mm<sup>2</sup> (resistenza caratteristica a rottura)
- $f_{y,k}$  = 450,00 N/mm<sup>2</sup> (tensione caratteristica di snervamento)
- $f_{y,d}$  = 391,30 N/mm<sup>2</sup> (resistenza di calcolo –  $\gamma_s=1,15$ )
- $E_s$  = 210.000,00 N/mm<sup>2</sup> (modulo elastico istantaneo)



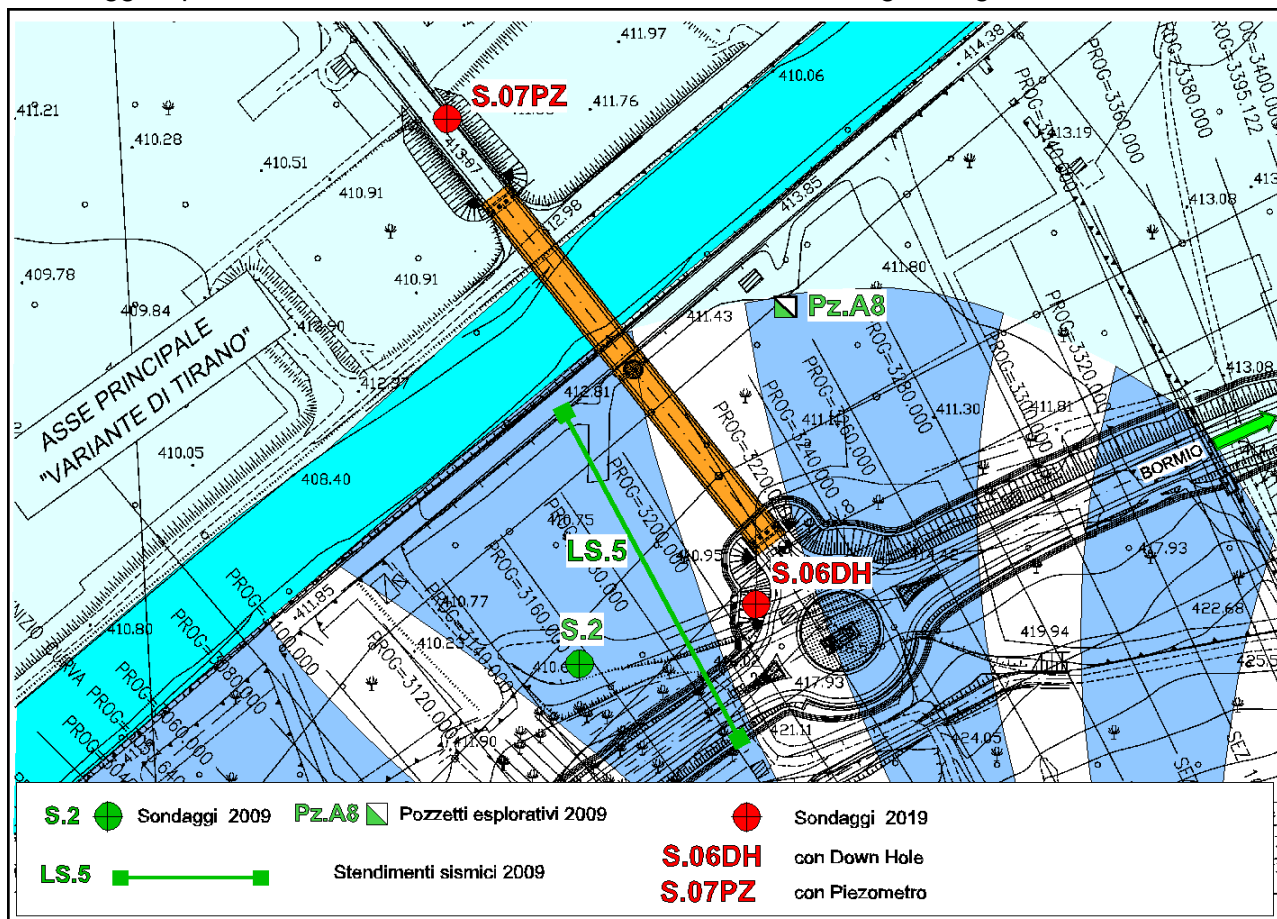
## 5 CARATTERIZZAZIONE GEOTECNICA DEI TERRENI

### 5.1 DEFINIZIONE DELLA STRATIGRAFIA E DEI PARAMETRI GEOTECNICI DI CALCOLO

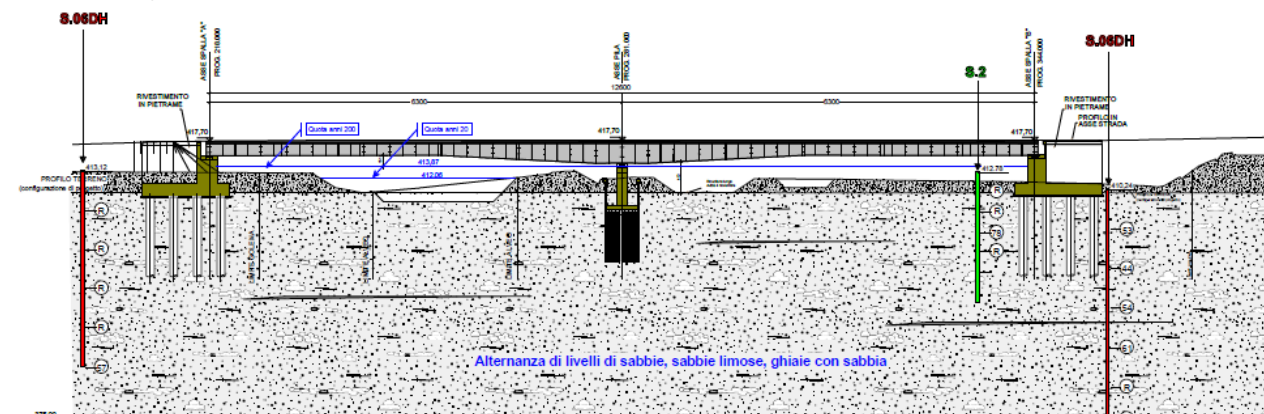
Per la determinazione della stratigrafia dei terreni utilizzata per le verifiche delle strutture di fondazione si è fatto riferimento ai seguenti sondaggi:

- Sondaggio S.2 (2009)
- Sondaggio S.06DH (2019)
- Sondaggio S.07PZ (2019)

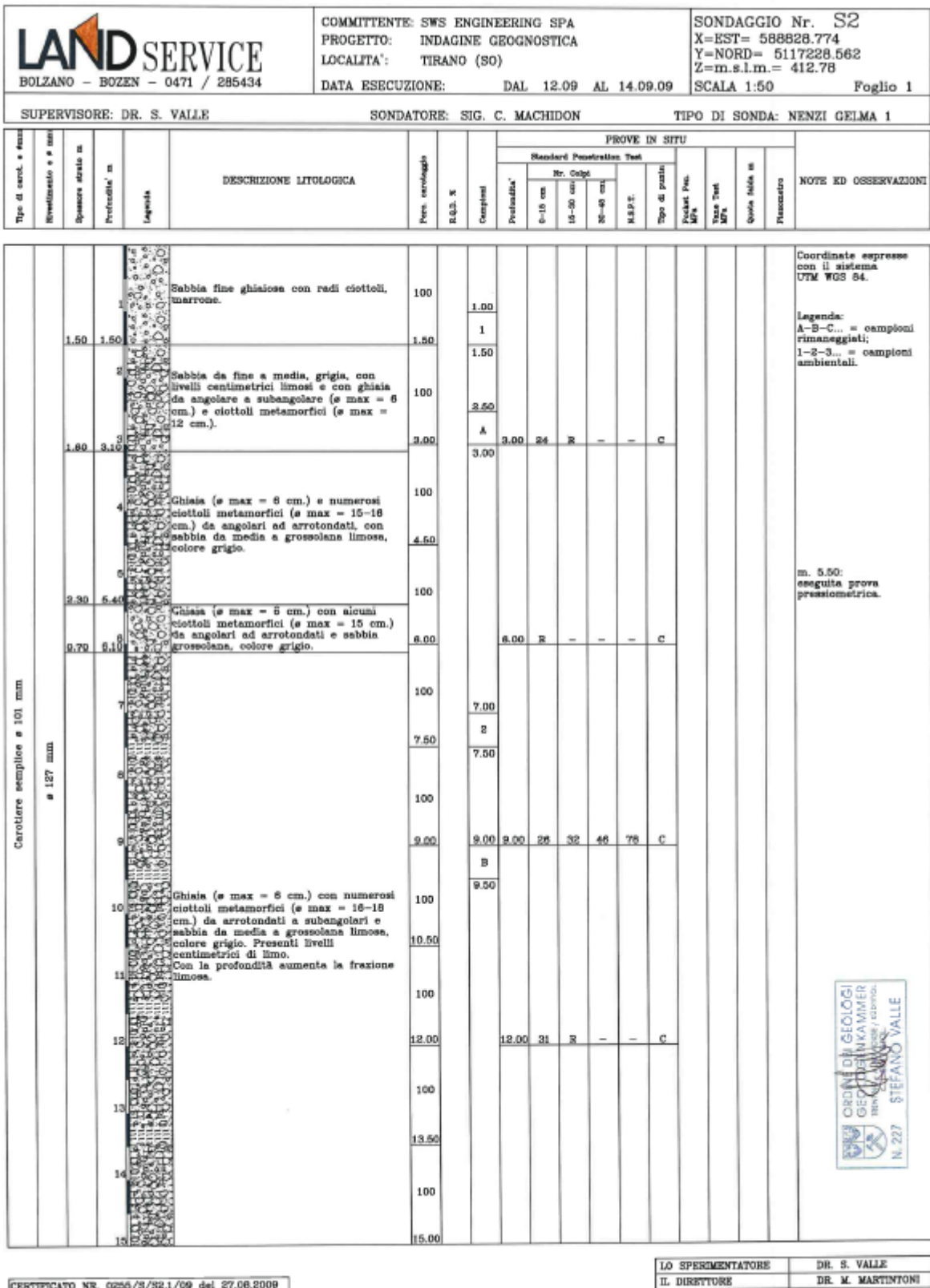
I sondaggi sopra elencati risultano ubicati come mostrato nell'immagine seguente:



Il viadotto, come da schema litologico di seguito riportato, ricade a cavallo tra le formazioni litologiche UG1 e UG2\_1 e poiché dal sondaggio S.2 non è possibile distinguere il passaggio dai depositi di conoide a quelli alluvionali, nel modello geologico di calcolo verranno considerati i parametri medi relativi alla formazione UG2\_1 (strato nel quale ricadono completamente i pali di fondazione):



Nell'immagine seguente è riportata la stratigrafia del sondaggio **S.2** (2009):



<p><b>LAND SERVICE</b> BOLZANO - BOZEN - 0471 / 285434</p>	COMMITTENTE: SWS ENGINEERING SPA PROGETTO: INDAGINE GEOGNOSTICA LOCALITA': TIRANO (SO)	SONDAGGIO Nr. S2 X=EST= 588828.774 Y=NORD= 5117228.562 Z=m.s.l.m.= 412.78 SCALA 1:50
	DATA ESECUZIONE: DAL 12.09 AL 14.09.09	Foglio 2

SUPERVISORE: DR. S. VALLE	SONDATORE: SIG. C. MACHIDON	TIPO DI SONDA: NENZI GELMA 1
---------------------------	-----------------------------	------------------------------

Tipo di sond. e max	Spostamento e # cm	Spessore strato in	Profondità m	Legenda	DESCRIZIONE LITOLOGICA	Perc. scartaggio	M.Q.D. X	Campione	PROVE IN SITU						NOTE ED OSSERVAZIONI			
									Standard Penetration Test			N.S.P.T.	Tipo di punta	Sicurezza Test		Vibrazione Test	Quota fonda in	Pianoscuro
									Profondità	Nr. Colpi	0-15 cm							

Carotiere semplice ø 101 mm	ø 127 mm	16.30	16.40	16	Ghiaia (s max = 6 cm.) con numerosi ciottoli metamorfici (s max = 18-18 cm.) da arrotondati a subangolari e sabbia da media a grossolana limosa, colore grigio. Presenti livelli centimetri di limo. Con la profondità aumenta la frazione limosa.	100	18.60	17.00	C	17.50	18.00	100	19.60	100	20.00	20.00	F.F. m. 20.00.	21	22	23	24	25	26	27	28	29	30

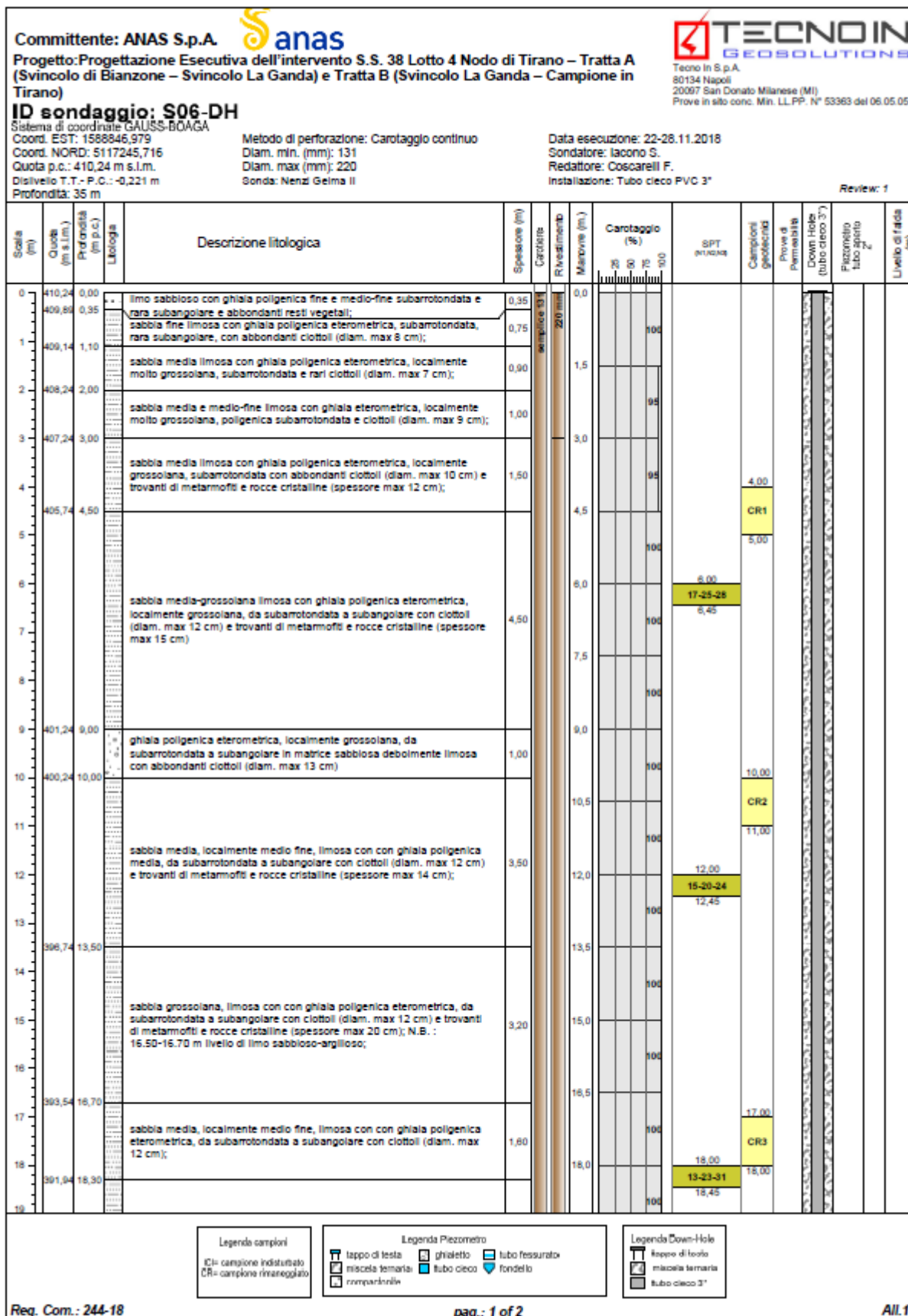


CERTIFICATO NR. 0250/S/S2.2/09 del 27.08.2009

LO SPERIMENTATORE	DR. S. VALLE
IL DIRETTORE	DR. M. MARTINTONI



Nell'immagine seguente è riportata la stratigrafia del sondaggio **S.06DH** (2019):



Committente: ANAS S.p.A.



Progetto: Progettazione Esecutiva dell'intervento S.S. 38 Lotto 4 Nodo di Tirano - Tratta A (Svincolo di Bianzone - Svincolo La Ganda) e Tratta B (Svincolo La Ganda - Campone in Tirano)



Tecno In S.p.A.  
 80134 Napoli  
 20097 San Donato Milanese (MI)  
 Prove in sito conc. Min. LL.PP. N° 53363 del 06.05.05

**ID sondaggio: S06-DH**

Sistema di coordinate GAUSS-BOAGA

Coord. EST: 1588846,979  
 Coord. NORD: 5117245,716  
 Quota p.c.: 410,24 m s.l.m.  
 Dislivello T.T. - P.C.: -0,221 m  
 Profondità: 35 m

Metodo di perforazione: Carotaggio continuo  
 Diam. min. (mm): 131  
 Diam. max (mm): 220  
 Sonda: Nenzi Geima II

Data esecuzione: 22-28.11.2018  
 Sondatore: Iacono S.  
 Redattore: Coscarelli F.  
 Installazione: Tubo cieco PVC 3"

Review: 1

Scala (m)	Quota (m s.l.m.)	Profondità (m p.c.)	Litologia	Descrizione litologica	Spessore (m)	Carotite	Rivestimento	Misure (m)	Carotaggio (%)				SPT (N/10cm)	Campioni geotecnici	Prove di Permeabilità	Down-Hole (tubo cieco 3")	Piezometro tubo aperto	Livello di rida (m)
									R	G	F	S						
19																		
20																		
21																		
22				sabbia medio-grossolana, limosa con con ghiaia poligenica eterometrica, da subarrotondata a subangolare con ciottoli (diam. max 12 cm);	6,70													
23													CR4					
24																		
25	385,24	25,00																
26																		
27																		
28																		
29				sabbia grossolana, localmente media, debolmente limosa con con ghiaia poligenica eterometrica, da subarrotondata a subangolare con ciottoli (diam. max 14 cm); N.B. 30,00-30,30 m livello di ciottoli e ghiaia molto grossolana poligenica, subarrotondata;	7,00													
30																		
31																		
32	378,24	32,00												CR5				
33																		
34				sabbia media, localmente-grossolana, limosa con con ghiaia poligenica eterometrica, da subarrotondata a subangolare con ciottoli (diam. max 10 cm) e trovaniti di metamorfiti e rocce cristalline (spessore max 15 cm);	3,00													
35	375,24	35,00																

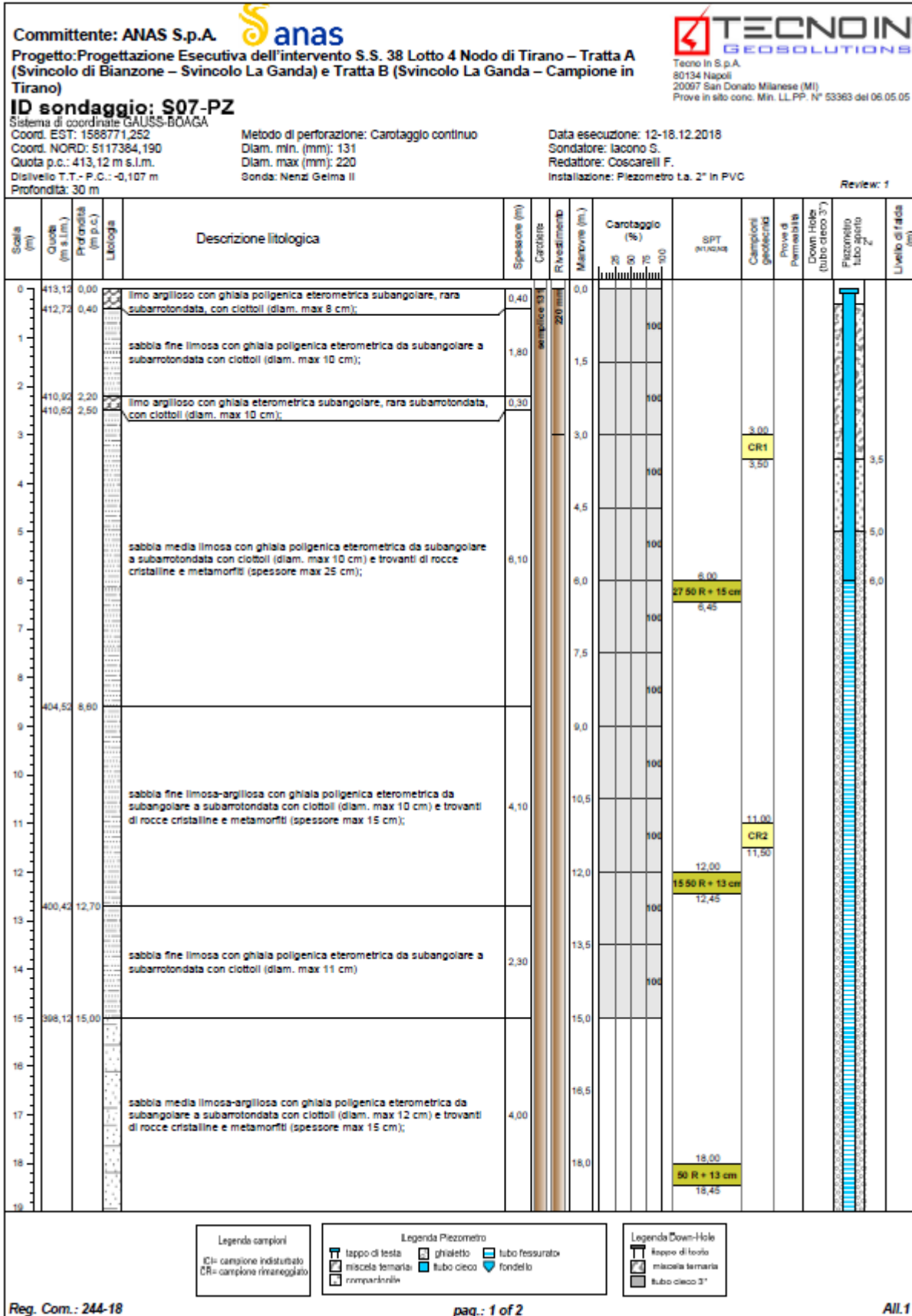
**Legenda campioni**  
 IC= campione indisturbato  
 CR= campione rimaneggiato

**Legenda Piezometro**  
 tappo di testa  
 miscela termaria  
 rmpartinella  
 ghiaietto  
 tubo cieco  
 fondello

**Legenda Down-Hole**  
 tappo di testa  
 miscela termaria  
 tubo cieco 3"



Nell'immagine seguente è riportata la stratigrafia del sondaggio **S.07PZ** (2019):



Committente: ANAS S.p.A.

Progetto: Progettazione Esecutiva dell'intervento S.S. 38 Lotto 4 Nodo di Tirano - Tratta A (Svincolo di Bianzone - Svincolo La Ganda) e Tratta B (Svincolo La Ganda - Campione in Tirano)

**ID sondaggio: S07-PZ**

Sistema di coordinate GAUSS-BOAGA  
 Coord. EST: 1588771,252      Metodo di perforazione: Carotaggio continuo      Data esecuzione: 12-18.12.2018  
 Coord. NORD: 5117384,190      Diam. min. (mm): 131      Sondatore: Iacono S.  
 Quota p.c.: 413,12 m s.l.m.      Diam. max (mm): 220      Redattore: Coscarelli F.  
 Dislivello T.T.-P.C.: -0,107 m      Sonda: Nenzi Geima II      Installazione: Piezometro La. 2" in PVC

TecnoIn   
 Tecno In S.p.A.  
 80134 Napoli  
 20097 San Donato Milanese (MI)  
 Prove in sito conc. Min. LL.PP. N° 53363 del 06.05.05

Review: 1

Scala (m)	Quota (m s.l.m.)	Profondità (m p.c.)	Litologia	Descrizione litologica	Spessore (m)	Carotiere	Rivestimento	Manovra (m)	Carotaggio (%)	SPT (N/10cm)	Campioni geotecnic	Prove di permeabilità	Down-Hole (tubo cieco 3")	Piezometro tubo piezo	Livello di falda (m)
19	394,12	19,00		sabbia media limosa con abbondanti ciottoli (diam. max 12 cm)	1,00			19,5							
20	393,12	20,00													
21				sabbia media limosa con ghiala poligenica eterometrica da subangolare a subarrotondata con ciottoli (diam. max 12 cm);	2,00			21,0							
22	391,12	22,00													
23				sabbia media limosa-argillosa con ghiala poligenica eterometrica da subangolare a subarrotondata con ciottoli (diam. max 12 cm);	3,00			22,5							
24															
25	388,12	25,00													
26				sabbia media limosa con ghiala poligenica eterometrica da subangolare a subarrotondata con ciottoli (diam. max 11 cm) e trovanti di rocce cristalline e metamorfite (spessore max 15 cm);	2,00			25,5							
27	386,12	27,00													
28				sabbia media limosa-argillosa con ghiala poligenica eterometrica da subangolare a subarrotondata con ciottoli (diam. max 9 cm) e trovanti di rocce cristalline e metamorfite (spessore max 15 cm);	3,00			28,5							
29															
30	383,12	30,00													

**Legenda campioni**  
 IC= campione indisturbato  
 CR= campione rimangiato

**Legenda Piezometro**  
 □ tappo di testa      □ ghiaietto      □ tubo fessurato  
 □ miscela termari      □ tubo cieco      □ fondello  
 □ compatibile

**Legenda Down-Hole**  
 □ tappo di fondo  
 □ miscela termaria  
 □ tubo cieco 3"

Di seguito sono riepilogati i parametri geotecnici e geomeccanici relativi alla formazione litologica UG2\_1 (Conoidi):

- Peso di volume saturo	$\gamma_s = 21,00 \text{ kN/m}^3$
- Peso di volume	$\gamma = 19,00 \text{ kN/m}^3$
- Coesione efficace	$c' = 0,00 \text{ kN/m}^2$
- Angolo di attrito (valore caratteristico)	$\phi' = 37,00^\circ$
- Densità relativa (Bazaraa, 1962 – da valori medi di $N_1(60)$ )	$Dr = 63,00 \%$
- Modulo elastico (Young)	$E = 337,40 \text{ N/mm}^2$
- Modulo Edometrico	$E_d = 404,90 \text{ N/mm}^2$

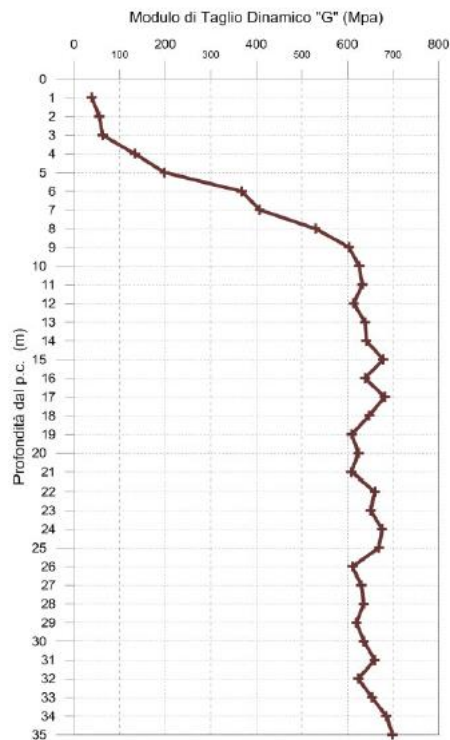
La falda è assunta alla quota di imposta della zattera di fondazione (testa palo).

Per la valutazione del modulo  $E_{vc}$  del terreno si è fatto riferimento alla seguente relazione:

$$E_{vc} = 0,80 \cdot G_0$$

dove  $G_0$  è il modulo di taglio per piccole deformazioni stimato in base a  $V_s$  e  $\gamma_d$ .

Per la valutazione di  $G$  si è fatto riferimento alle risultanze dell'indagine sismica down – hole S.06DH (2019):



Sismostrato	Profondità dal p.c. (m) da	Profondità dal p.c. (m) a	$(V_p)_{medio}$ m/s	$(V_s)_{medio}$ m/s
1°	1,0	3,0	309	158
2°	3,0	5,0	581	255
3°	5,0	9,0	881	452
4°	9,0	16,0	1.183	574
5°	16,0	35,0	1.393	783

Profondità (m dal p.c.)	tempi osservati $t_0$ "P" (ms)	tempi osservati $t_0$ "S" (ms)	tempi corretti $t_c$ "P" (ms)	tempi corretti $t_c$ "S" (ms)	velocità intervallo $V_p$ (m/s)	velocità intervallo $V_s$ (m/s)	VpVs	Poisson (n)	Tn gamma NATURALE	G Mpa	E Mpa	K Mpa
1	9.17	15.22	4.10	6.81	244	147	1.7	0.22	1.8	39	94	55
2	10.20	18.61	7.21	13.16	574	175	3.3	0.45	1.8	55	160	521
3	11.48	22.78	9.55	18.95	607	186	3.3	0.45	1.8	62	181	580
4	12.69	25.97	11.35	23.23	719	272	2.6	0.42	1.8	133	376	754
5	13.95	28.72	12.95	26.66	720	332	2.2	0.36	1.8	199	543	668
6	14.99	30.80	14.22	29.22	904	452	2.0	0.33	1.8	367	979	982
7	15.99	32.80	15.37	31.54	958	476	2.0	0.34	1.8	408	1089	1110
8	16.94	34.59	16.43	33.55	1018	543	1.9	0.30	1.8	530	1379	1159
9	17.88	36.24	17.45	35.38	1037	587	1.8	0.26	1.8	603	1525	1076
10	18.75	37.86	18.39	37.12	1121	607	1.8	0.29	1.7	626	1618	1301
11	19.62	39.51	19.30	38.88	1129	593	1.9	0.31	1.8	632	1656	1452
12	20.44	41.24	20.16	40.68	1201	571	2.1	0.35	1.9	613	1661	1896
13	21.20	42.87	20.95	42.38	1307	604	2.2	0.36	1.8	638	1741	2138
14	21.92	44.53	21.70	44.08	1365	597	2.3	0.38	1.8	641	1772	2499
15	22.68	46.19	22.48	45.78	1304	598	2.2	0.37	1.9	679	1855	2327
16	23.44	47.94	23.26	47.57	1305	568	2.3	0.38	2.0	638	1765	2519
17	24.18	49.59	24.01	49.25	1342	599	2.2	0.38	1.9	681	1875	2511
18	24.89	51.30	24.74	50.98	1399	584	2.4	0.39	1.9	647	1805	2858
19	25.61	53.09	25.47	52.80	1381	555	2.5	0.40	2.0	609	1711	2963
20	26.32	54.82	26.19	54.55	1401	573	2.4	0.40	1.9	624	1746	2898
21	27.06	56.58	26.93	56.33	1354	566	2.4	0.39	1.9	609	1697	2672
22	27.81	58.22	27.70	57.98	1319	609	2.2	0.36	1.8	660	1801	2216
23	28.58	59.94	28.47	59.72	1294	577	2.2	0.38	2.0	650	1789	2396
24	29.28	61.58	29.18	61.36	1423	609	2.3	0.39	1.8	676	1876	2787
25	30.00	63.26	29.90	63.06	1384	593	2.3	0.39	1.9	669	1856	2746
26	30.70	65.07	30.61	64.87	1432	551	2.6	0.41	2.0	611	1726	3306
27	31.38	66.75	31.30	66.57	1455	592	2.5	0.40	1.8	630	1765	2969
28	32.09	68.48	32.01	68.30	1410	578	2.4	0.40	1.9	635	1778	2931
29	32.77	70.22	32.69	70.06	1466	571	2.6	0.41	1.9	619	1747	3256
30	33.48	71.95	33.41	71.79	1405	578	2.4	0.40	1.9	636	1778	2904
31	34.16	73.61	34.09	73.45	1467	602	2.4	0.40	1.8	660	1845	3040
32	34.88	75.40	34.81	75.25	1386	557	2.5	0.40	2.0	623	1750	3030
33	35.59	77.10	35.52	76.96	1416	586	2.4	0.40	1.9	653	1824	2938
34	36.29	78.76	36.23	78.62	1410	602	2.3	0.39	1.9	685	1903	2843
35	36.99	80.40	36.93	80.27	1436	606	2.4	0.39	1.9	699	1944	2984

Il modulo di taglio è valutato come valore medio dei valori determinati nella prova down – hole fino alla profondità della base dei pali:

$$G_{\text{medio}} = 355,583 \text{ Mpa} \rightarrow 355.583,00 \text{ kPa}$$

Risulta pertanto:

$$E_{vc} = 0,80 \times 355.583,00 = 284.466,40 \text{ kPa}$$

A favore di sicurezza è stato assunto un parametro  $E_{vc}$  ridotti, pari rispettivamente a:

$$E_{vc} = 30.000,00 \text{ kPa}$$

Per la valutazione del modulo  $E_{ur}$  del terreno si è fatto riferimento alla seguente relazione:

$$E_{ur} = 3 \cdot E_{vc}$$

Risulta pertanto:

$$E_{ur} = 3 \times 30.000,00 = 90.000,00 \text{ kPa}$$

## 5.2 APPROCCIO DI CALCOLO

Le verifiche geotecniche di carico limite ultimo e di portanza laterale vengono condotte secondo l'approccio 2 previsto dal D.M.17.01.2018 "Norme Tecniche per le Costruzioni" - Combinazione A1 - M1 - R3.

**Tab. 6.4.II** – Coefficienti parziali  $\gamma_R$  da applicare alle resistenze caratteristiche a carico verticale dei pali

Resistenza	Simbolo	Pali infissi	Pali trivellati	Pali ad elica continua
	$\gamma_R$	(R3)	(R3)	(R3)
Base	$\gamma_b$	1,15	1,35	1,3
Laterale in compressione	$\gamma_s$	1,15	1,15	1,15
Totale (*)	$\gamma$	1,15	1,30	1,25
Laterale in trazione	$\gamma_{st}$	1,25	1,25	1,25

\* da applicare alle resistenze caratteristiche dedotte dai risultati di prove di carico di progetto.

È stata considerata la presenza di tre verticali indagate al fine di determinare il valore dei fattori di riduzione delle resistenze caratteristiche  $\xi_3$  e  $\xi_4$ :

Numero di verticali indagate	1	2	3	4	5	7	$\geq 10$
$\xi_3$	1,70	1,65	1,60	1,55	1,50	1,45	1,40
$\xi_4$	1,70	1,55	1,48	1,42	1,34	1,28	1,21

**Tabella 6.4.IV** – Fattori di correlazione  $\xi$  per la determinazione della resistenza caratteristica in funzione del numero di verticali indagate.



## 6 ZONIZZAZIONE E CARATTERIZZAZIONE SISMICA

### 6.1 IDENTIFICAZIONE DELLA LOCALITÀ E DEI PARAMETRI SISMICI GENERALI



Il sito è definito dalle seguenti coordinate geografiche:

- Longitudine: **10,15095**
- Latitudine: **46,20343**

### FASE 1. INDIVIDUAZIONE DELLA PERICOLOSITÀ DEL SITO

Ricerca per coordinate

LONGITUDINE

LATITUDINE

Ricerca per comune

REGIONE

PROVINCIA

COMUNE

**Elaborazioni grafiche**

Grafici spettri di risposta >

Variabilità dei parametri >

**Elaborazioni**

Tabella parametri >

Reticolo di riferimento

Nodi del reticolo intorno al sito

Controllo sul reticolo

Sito esterno al reticolo

Interpolazione su 3 nodi

Interpolazione corretta

Interpolazione

superficie rigata ▼

La "Ricerca per comune" utilizza le ... coordinate ISTAT del comune per identificare il sito. Si sottolinea che ... all'interno del territorio comunale le azioni sismiche possono essere significativamente diverse da quelle così individuate e si consiglia, quindi, la "Ricerca per coordinate".

INTRO
FASE 1
FASE 2
FASE 3

## 6.2 DEFINIZIONE DELLA STRATEGIA PROGETTUALE

In riferimento al D.M. 17.01.2018 "Norme Tecniche per le Costruzioni", le opere sono progettate (in funzione dell'importanza strategica dell'infrastruttura) secondo i seguenti parametri:

- Vita Nominale dell'opera: **100 anni**

**Tabella 2.4.I** – Vita nominale  $V_N$  per diversi tipi di opere

TIPI DI COSTRUZIONE		Vita Nominale $V_N$ (in anni)
1	Opere provvisorie – Opere provvisionali - Strutture in fase costruttiva <sup>1</sup>	$\leq 10$
2	Opere ordinarie, ponti, opere infrastrutturali e dighe di dimensioni contenute o di importanza normale	$\geq 50$
3	Grandi opere, ponti, opere infrastrutturali e dighe di grandi dimensioni o di importanza strategica	$\geq 100$

- Classe d'uso dell'opera: **III**

### 2.4.2 CLASSI D'USO

In presenza di azioni sismiche, con riferimento alle conseguenze di una interruzione di operatività o di un eventuale collasso, le costruzioni sono suddivise in classi d'uso così definite:

*Classe I:* Costruzioni con presenza solo occasionale di persone, edifici agricoli.

*Classe II:* Costruzioni il cui uso preveda normali affollamenti, senza contenuti pericolosi per l'ambiente e senza funzioni pubbliche e sociali essenziali. Industrie con attività non pericolose per l'ambiente. Ponti, opere infrastrutturali, reti viarie non ricadenti in Classe d'uso *III* o in Classe d'uso *IV*, reti ferroviarie la cui interruzione non provochi situazioni di emergenza. Dighe il cui collasso non provochi conseguenze rilevanti.

*Classe III:* Costruzioni il cui uso preveda affollamenti significativi. Industrie con attività pericolose per l'ambiente. Reti viarie extraurbane non ricadenti in Classe d'uso *IV*. Ponti e reti ferroviarie la cui interruzione provochi situazioni di emergenza. Dighe rilevanti per le conseguenze di un loro eventuale collasso.

*Classe IV:* Costruzioni con funzioni pubbliche o strategiche importanti, anche con riferimento alla gestione della protezione civile in caso di calamità. Industrie con attività particolarmente pericolose per l'ambiente. Reti viarie di tipo A o B, di cui al D.M. 5 novembre 2001, n. 6792, "Norme funzionali e geometriche per la costruzione delle strade", e di tipo C quando appartenenti ad itinerari di collegamento tra capoluoghi di provincia non altresì serviti da strade di tipo A o B. Ponti e reti ferroviarie di importanza critica per il mantenimento delle vie di comunicazione, particolarmente dopo un evento sismico. Dighe connesse al funzionamento di acquedotti e a impianti di produzione di energia elettrica.

- Coefficiente di utilizzo dell'opera: **1,50**

**Tab. 2.4.II** – Valori del coefficiente d'uso  $C_U$

CLASSE D'USO	I	II	III	IV
COEFFICIENTE $C_U$	0,7	1,0	1,5	2,0

- Vita di riferimento dell'opera: **150 anni**

### 2.4.3 PERIODO DI RIFERIMENTO PER L'AZIONE SISMICA

Le azioni sismiche su ciascuna costruzione vengono valutate in relazione ad un periodo di riferimento  $V_R$  che si ricava, per ciascun tipo di costruzione, moltiplicandone la vita nominale  $V_N$  per il coefficiente d'uso  $C_U$ :

$$V_R = V_N \cdot C_U \quad (2.4.1)$$

Qui di seguito si riporta la sintesi delle scelte progettuali adottati con i tempi di ritorno dell'azione sismica identificati in funzione del singolo stato limite.

## FASE 2. SCELTA DELLA STRATEGIA DI PROGETTAZIONE

Vita nominale della costruzione (in anni) -  $V_N$   info

Coefficiente d'uso della costruzione -  $c_U$   info

---

Valori di progetto

Periodo di riferimento per la costruzione (in anni) -  $V_R$   info

Periodi di ritorno per la definizione dell'azione sismica (in anni) -  $T_R$  info

Stati limite di esercizio - SLE	{	SLO - $P_{VR} = 81\%$	<input type="text" value="90"/>
		SLD - $P_{VR} = 63\%$	<input type="text" value="151"/>
Stati limite ultimi - SLU	{	SLV - $P_{VR} = 10\%$	<input type="text" value="1424"/>
		SLC - $P_{VR} = 5\%$	<input type="text" value="2475"/>

---

Elaborazioni

- Grafici parametri azione
- Grafici spettri di risposta
- Tabella parametri azione

Strategia di progettazione

LEGENDA GRAFICO

- --- Strategia per costruzioni ordinarie
- --- Strategia scelta

INTRO
FASE 1
FASE 2
FASE 3

### 6.3 PARAMETRI DI CALCOLO

#### 6.3.1 PARAMETRI NUMERICI SISMICI

Sono stati definiti e utilizzati nei calcoli 3 differenti spettri di risposta di progetto:

- Spettro di progetto elastico valutato per lo Stato Limite di Salvaguardia della Vita (SLV) per la valutazione delle azioni sismiche dovute alla massa delle sottostrutture e del terreno e dei sovraccarichi direttamente gravanti su di esse.
- Spettro di progetto "smorzato" (per la presenza dell'isolamento sismico alla base dell'impalcato) valutato per lo Stato Limite di Salvaguardia della Vita (SLV) per la valutazione delle azioni sismiche dovute alla massa dell'impalcato e ai sovraccarichi su esso agenti e trasmessi dagli isolatori sismici alle sottostrutture inferiori.
- Spettro di progetto "smorzato" (per la presenza dell'isolamento sismico alla base dell'impalcato) valutato allo Stato Limite di Collasso per il dimensionamento degli isolatori sismici e la verifica dello spostamento di progetto degli stessi.

Nella tabella successiva sono riportati i parametri numerici sismici per i periodi di ritorno associati ai diversi Stati Limite:

SLATO LIMITE	$T_R$ [anni]	$a_g$ [g]	$F_0$ [-]	$T_C^*$ [s]
SLO	90	0,043	2,553	0,228
SLD	151	0,053	2,549	0,243
SLV	1424	0,115	2,600	0,286
SLC	2475	0,136	2,626	0,292



### 6.3.2 CATEGORIA DEI TERRENI DI FONDAZIONE E CATEGORIA TOPOGRAFICA

Ai sensi di quanto riportato nella Relazione Geotecnica e all'interno dei profili geotecnici allegati al presente progetto esecutivo il terreno di fondazione è classificato simicamente come di **categoria B**.

**Tabella 3.2.II – Categorie di sottosuolo**

Categoria	Descrizione
<b>A</b>	<i>Ammassi rocciosi affioranti o terreni molto rigidi</i> caratterizzati da valori di $V_{s,30}$ superiori a 800 m/s, eventualmente comprendenti in superficie uno strato di alterazione, con spessore massimo pari a 3 m.
<b>B</b>	<i>Rocce tenere e depositi di terreni a grana grossa molto addensati o terreni a grana fina molto consistenti</i> con spessori superiori a 30 m, caratterizzati da un graduale miglioramento delle proprietà meccaniche con la profondità e da valori di $V_{s,30}$ compresi tra 360 m/s e 800 m/s (ovvero $N_{SPT,30} > 50$ nei terreni a grana grossa e $c_{u,30} > 250$ kPa nei terreni a grana fina).
<b>C</b>	<i>Depositi di terreni a grana grossa mediamente addensati o terreni a grana fina mediamente consistenti</i> con spessori superiori a 30 m, caratterizzati da un graduale miglioramento delle proprietà meccaniche con la profondità e da valori di $V_{s,30}$ compresi tra 180 m/s e 360 m/s (ovvero $15 < N_{SPT,30} < 50$ nei terreni a grana grossa e $70 < c_{u,30} < 250$ kPa nei terreni a grana fina).
<b>D</b>	<i>Depositi di terreni a grana grossa scarsamente addensati o di terreni a grana fina scarsamente consistenti</i> , con spessori superiori a 30 m, caratterizzati da un graduale miglioramento delle proprietà meccaniche con la profondità e da valori di $V_{s,30}$ inferiori a 180 m/s (ovvero $N_{SPT,30} < 15$ nei terreni a grana grossa e $c_{u,30} < 70$ kPa nei terreni a grana fina).
<b>E</b>	<i>Terreni dei sottosuoli di tipo C o D per spessore non superiore a 20 m</i> , posti sul substrato di riferimento (con $V_s > 800$ m/s).

### 6.3.3 CATEGORIA DEI TERRENI DI FONDAZIONE E CATEGORIA TOPOGRAFICA

Considerando che il territorio si presenta essenzialmente pianeggiante e privo di significati salti di quota la categoria topografica del sito è stata assunta pari a **categoria T<sub>1</sub>**.

**Tabella 3.2.IV – Categorie topografiche**

Categoria	Caratteristiche della superficie topografica
T1	Superficie pianeggiante, pendii e rilievi isolati con inclinazione media $i \leq 15^\circ$
T2	Pendii con inclinazione media $i > 15^\circ$
T3	Rilievi con larghezza in cresta molto minore che alla base e inclinazione media $15^\circ \leq i \leq 30^\circ$
T4	Rilievi con larghezza in cresta molto minore che alla base e inclinazione media $i > 30^\circ$

### 6.3.4 FATTORI DI STRUTTURA

A favore di sicurezza il calcolo e le verifiche sono stati effettuati in campo elastico. Il fattore di struttura è stato pertanto posto pari a **q = 1,00**.

### 6.4 DEFINIZIONE DELLO SPETTRO DI PROGETTO ELASTICO PER LO SLV

Nell'immagine successiva è riportata la determinazione dei parametri dello spettro di risposta elastico valutato per lo Stato Limite di Salvaguardia della Vita (SLV):

## FASE 3. DETERMINAZIONE DELL'AZIONE DI PROGETTO

**Stato Limite**

Stato Limite considerato SLV ▼ info

**Risposta sismica locale**

Categoria di sottosuolo B ▼ info       $S_S =$  1,200       $C_C =$  1,413 ▼ info

Categoria topografica T1 ▼ info       $h/H =$  1,000       $S_T =$  1,000 ▼ info

(h=quota sito, H=altezza rilievo topografico)

**Compon. orizzontale**

Spettro di progetto elastico (SLE)      Smorzamento  $\xi$  (%) 5       $\eta =$  1,000 ▼ info

Spettro di progetto inelastico (SLU)      Fattore  $q_o$  1      Regol. in altezza si ▼ info

**Compon. verticale**

Spettro di progetto      Fattore  $q$  1       $\eta =$  1,000 ▼ info

**Elaborazioni**

Grafici spettri di risposta ▶▶▶

Parametri e punti spettri di risposta ▶▶▶

**Spettri di risposta**

— Spettro di progetto - componente orizzontale  
— Spettro di progetto - componente verticale  
— Spettro elastico di riferimento (Cat. A-T1,  $\xi = 5\%$ )

INTRO
FASE 1
FASE 2
FASE 3



Nella tabella successiva sono riportati analiticamente i parametri sismici ed i valori delle accelerazioni normalizzate in funzione del periodo di vibrazione:

### Parametri e punti dello spettro di risposta orizzontale per lo stato SLV

#### Parametri indipendenti

STATO LIMITE	SLV
$a_g$	0,115 g
$F_o$	2,600
$T_c$	0,286 s
$S_s$	1,200
$C_c$	1,413
$S_T$	1,000
$q$	1,000

#### Parametri dipendenti

$S$	1,200
$\eta$	1,000
$T_B$	0,135 s
$T_C$	0,405 s
$T_D$	2,060 s

#### Punti dello spettro di risposta

T [s]	Se [g]
0,000	0,138
0,135	0,359
0,405	0,359
0,483	0,300
0,562	0,258
0,641	0,226
0,720	0,201
0,799	0,182
0,877	0,165
0,956	0,152
1,035	0,140
1,114	0,130
1,193	0,122
1,271	0,114
1,350	0,107
1,429	0,101
1,508	0,096
1,587	0,091
1,666	0,087
1,744	0,083
1,823	0,080
1,902	0,076
1,981	0,073
2,060	0,070
2,152	0,065
2,244	0,059
2,337	0,055
2,429	0,051
2,522	0,047
2,614	0,044
2,706	0,041
2,799	0,038
2,891	0,036
2,984	0,034
3,076	0,032
3,168	0,030
3,261	0,028
3,353	0,027
3,446	0,025
3,538	0,024
3,630	0,023
3,723	0,023
3,815	0,023
3,908	0,023
4,000	0,023

#### Espressioni dei parametri dipendenti

$$S = S_s \cdot S_T \quad (\text{NTC-08 Eq. 3.2.5})$$

$$\eta = \sqrt{10/(5+\xi)} \geq 0,55; \eta = 1/q \quad (\text{NTC-08 Eq. 3.2.6; §. 3.2.3.5})$$

$$T_B = T_c / 3 \quad (\text{NTC-07 Eq. 3.2.8})$$

$$T_c = C_c \cdot T_c^* \quad (\text{NTC-07 Eq. 3.2.7})$$

$$T_D = 4,0 \cdot a_g / g + 1,6 \quad (\text{NTC-07 Eq. 3.2.9})$$

#### Espressioni dello spettro di risposta (NTC-08 Eq. 3.2.4)

$$0 \leq T < T_B \quad S_e(T) = a_g \cdot S \cdot \eta \cdot F_o \cdot \left[ \frac{T}{T_B} + \frac{1}{\eta \cdot F_o} \left( 1 - \frac{T}{T_B} \right) \right]$$

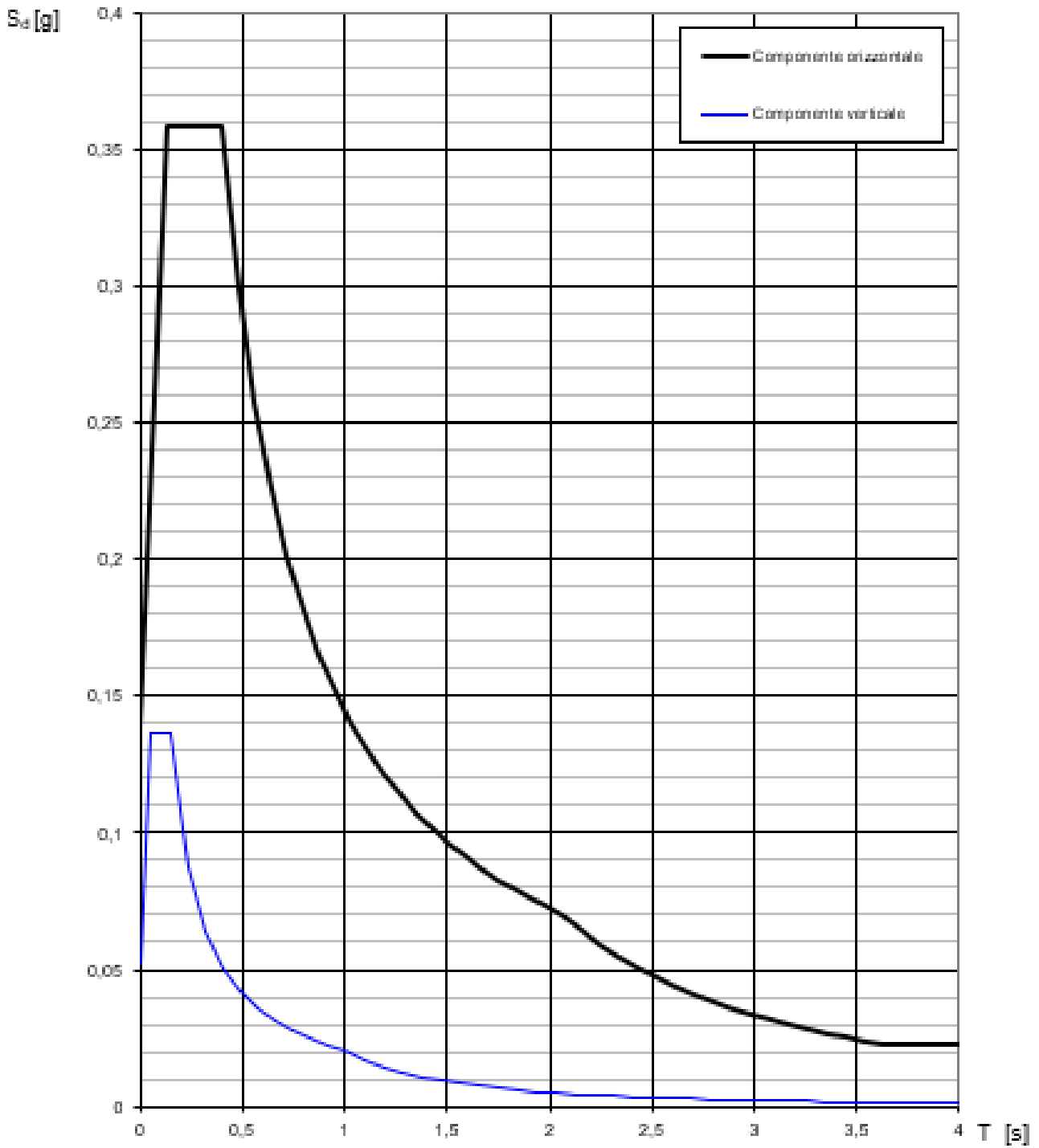
$$T_B \leq T < T_c \quad S_e(T) = a_g \cdot S \cdot \eta \cdot F_o$$

$$T_c \leq T < T_D \quad S_e(T) = a_g \cdot S \cdot \eta \cdot F_o \cdot \left( \frac{T_c}{T} \right)$$

$$T_D \leq T \quad S_e(T) = a_g \cdot S \cdot \eta \cdot F_o \cdot \left( \frac{T_c \cdot T_D}{T^2} \right)$$

Lo spettro di progetto  $S_d(T)$  per le verifiche agli Stati Limite Ultimi è ottenuto dalle espressioni dello spettro elastico  $S_e(T)$  sostituendo  $\eta$  con  $1/q$ , dove  $q$  è il fattore di struttura. (NTC-08 § 3.2.3.5)

Nell'immagine successiva è riportato il diagramma dello spettro di risposta per lo Stato Limite di Salvaguardia della Vita:



## 7 ANALISI DEI CARICHI

### 7.1 PESO PROPRIO DELLE STRUTTURE IN CEMENTO ARMATO

#### 7.1.1 STRUTTURE IN CALCESTRUZZO ARMATO

Il peso per unità di volume del cemento armato è assunto pari a **25,00 kN/m<sup>3</sup>**.

#### 7.1.2 STRUTTURE IN CARPENTERIA METALLICA

Il peso per unità di volume dell'acciaio da carpenteria è assunto pari a **78,50 kN/m<sup>3</sup>**.

### 7.2 SPINTA LATERALE DEI TERRENI A TERGO DELLE PARATIE

La spinta dei terreni a tergo delle paratie è valutata in condizioni di equilibrio limite attivo dei terreni.

La spinta attiva dei terreni viene pertanto valutata mediante la seguente relazione:

$$S_i = \frac{1}{2} \cdot \gamma \cdot k_a \cdot H^2$$

dove:

- $\gamma$  è il peso per unità di volume del terreno
- $k_a$  è il coefficiente di spinta attiva, valutato mediante la formulazione di Coulomb:

$$k_a = \frac{\text{sen}^2(\beta + \varphi)}{\text{sen}^2 \beta \cdot \text{sen}(\beta - \delta) \cdot \left[ 1 + \sqrt{\frac{\text{sen}(\varphi + \delta) \cdot \text{sen}(\varphi - \varepsilon)}{\text{sen}(\beta - \delta) \cdot \text{sen}(\beta + \varepsilon)}} \right]}$$

con:

- $\varphi$  = angolo di attrito interno
- $\beta$  = inclinazione del paramento di monte rispetto all'orizzontale
- $\delta$  = angolo di attrito terra – muro
- $\varepsilon$  = inclinazione del terreno di monte rispetto all'orizzontale
- H è l'altezza complessiva dello strato di terreno.

### 7.3 SPINTA DEI SOVRACCARICHI ACCIDENTALI A TERGO DELLE PARATIE

La spinta sovraccarichi accidentali a tergo delle paratie è valutata in condizioni di equilibrio limite attivo dei terreni.

La spinta attiva dei sovraccarichi accidentali viene pertanto valutata mediante la seguente relazione:

$$S_q = q \cdot k_a \cdot H$$

dove:

- q è l'entità del sovraccarico accidentale a tergo delle paratie
- $k_a$  è il coefficiente di spinta attiva, valutato mediante la formulazione di Coulomb:

$$k_a = \frac{\text{sen}^2(\beta + \varphi)}{\text{sen}^2 \beta \cdot \text{sen}(\beta - \delta) \cdot \left[ 1 + \sqrt{\frac{\text{sen}(\varphi + \delta) \cdot \text{sen}(\varphi - \varepsilon)}{\text{sen}(\beta - \delta) \cdot \text{sen}(\beta + \varepsilon)}} \right]}$$

con:

- $\varphi$  = angolo di attrito interno
- $\beta$  = inclinazione del paramento di monte rispetto all'orizzontale
- $\delta$  = angolo di attrito terra – muro
- $\varepsilon$  = inclinazione del terreno di monte rispetto all'orizzontale
- H è l'altezza complessiva dello strato di terreno.

Per le paratie di micropali a protezione degli scavi per la realizzazione delle opere di fondazione delle nuove sottostrutture verrà considerato forfettariamente un sovraccarico accidentale pari a  $q = 10,00 \text{ kN/m}^2$  per tener conto dell'eventuale presenza di mezzi d'opera.

#### 7.4 AZIONE SISMICA

L'azione sismica è stata applicata mediante un'analisi pseudo - statica basata sul Metodo di Wood.

## 8 COMBINAZIONI DI CARICO

### 8.1 COMBINAZIONI DI CARICO STATICHE

#### 8.1.1 COMBINAZIONI DI CARICO ALLO STATO LIMITE DI ESERCIZIO – COMBINAZIONI QUASI PERMANENTI

Per le combinazioni di carico statiche relative alla struttura in oggetto si è fatto riferimento a quanto riportato nel capitolo nel D.M. 17.01.2018 "Norme Tecniche per le Costruzioni", par. 2.5.3.

Sulla base di ciò sono state individuate le combinazioni di carico statiche quasi permanenti allo Stato Limite di Esercizio, ottenute tramite la relazione generale:

$$F_d = \sum G_{kj} + \sum (\psi_{2i} \cdot Q_{ki})$$

- $G_{kj}$  rappresenta il valore caratteristico della j-esima azione permanente
- $Q_{ki}$  rappresenta il valore caratteristico della i-esima azione variabile
- $\psi_{2i}$  rappresentano i coefficienti di combinazione per tener conto della ridotta probabilità di concomitanza delle azioni variabili con i loro valori quasi permanenti

#### 8.1.2 COMBINAZIONI DI CARICO ALLO STATO LIMITE DI ESERCIZIO – COMBINAZIONI FREQUENTI

Per le combinazioni di carico statiche relative alla struttura in oggetto si è fatto riferimento a quanto riportato nel capitolo nel D.M. 17.01.2018 "Norme Tecniche per le Costruzioni", par. 2.5.3.

Sulla base di ciò sono state individuate le combinazioni di carico statiche frequenti allo Stato Limite di Esercizio, ottenute tramite la relazione generale:

$$F_d = \sum G_{kj} + \psi_{11} \cdot Q_{k1} + \sum (\psi_{2i} \cdot Q_{ki})$$

- $G_{kj}$  rappresenta il valore caratteristico della j-esima azione permanente
- $Q_{k1}$  rappresenta il valore caratteristico dell'azione variabile di base in ogni combinazione
- $Q_{ki}$  rappresenta il valore caratteristico della i-esima azione variabile
- $\psi_{1i}$  rappresentano i coefficienti di combinazione per tener conto della ridotta probabilità di concomitanza delle azioni variabili con i loro valori frequenti

#### 8.1.3 COMBINAZIONI DI CARICO ALLO STATO LIMITE DI ESERCIZIO – COMBINAZIONI CARATTERISTICHE

Per le combinazioni di carico statiche relative alla struttura in oggetto si è fatto riferimento a quanto riportato nel capitolo nel D.M. 17.01.2018 "Norme Tecniche per le Costruzioni" par. 2.5.3.

Sulla base di ciò sono state individuate le combinazioni di carico statiche caratteristiche allo Stato Limite di Esercizio, ottenute tramite la relazione generale:

$$F_d = \sum G_{kj} + Q_{k1} + \sum (\psi_{0i} \cdot Q_{ki})$$

- $G_{kj}$  rappresenta il valore caratteristico della j-esima azione permanente
- $Q_{k1}$  rappresenta il valore caratteristico dell'azione variabile di base in ogni combinazione
- $Q_{ki}$  rappresenta il valore caratteristico della i-esima azione variabile
- $\psi_{0i}$  rappresentano i coefficienti di combinazione per tener conto della ridotta probabilità di concomitanza delle azioni variabili con i loro valori caratteristici

#### 8.1.4 COMBINAZIONI DI CARICO ALLO STATO LIMITE ULTIMO

Per le combinazioni di carico statiche relative alla struttura in oggetto si è fatto riferimento a quanto riportato nel capitolo nel D.M. 17.01.2018 "Norme Tecniche per le Costruzioni", par. 2.5.3.



Sulla base di ciò sono state individuate le combinazioni di carico statiche allo Stato Limite Ultimo, ottenute tramite la relazione generale:

$$F_d = \sum_{j=1}^m (\gamma_{Gj} \cdot G_{kj}) + \gamma_{Q1} \cdot Q_{k1} + \sum_{i=2}^n (\psi_{0i} \cdot \gamma_{Qi} \cdot Q_{ki})$$

dove:

- $\gamma_G$  e  $\gamma_Q$  rappresentano i coefficienti parziali di amplificazione dei carichi
- $G_{kj}$  rappresenta il valore caratteristico della j-esima azione permanente
- $Q_{k1}$  rappresenta il valore caratteristico dell'azione variabile di base in ogni combinazione
- $Q_{ki}$  rappresenta il valore caratteristico della i-esima azione variabile
- $\psi_{0i}$  rappresentano i coefficienti di combinazione per tener conto della ridotta probabilità di concomitanza delle azioni variabili con i loro valori caratteristici

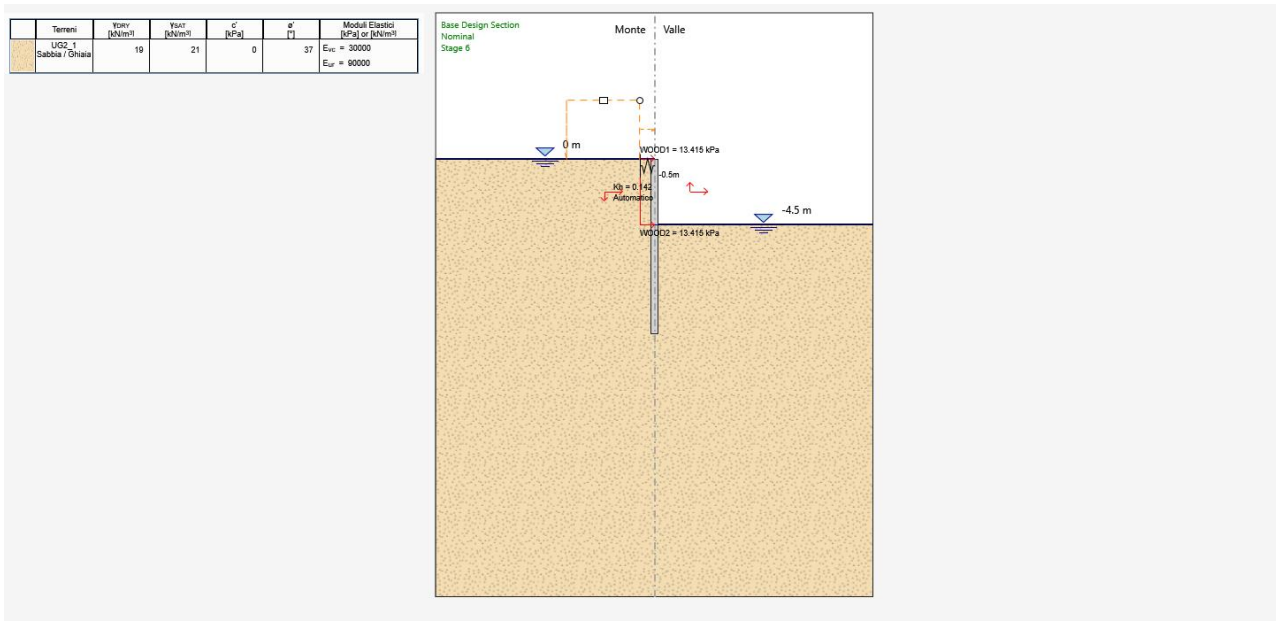
## 9 PARATIA PALI Ø600 – MODELLO DI CALCOLO E VALUTAZIONE DELLE AZIONI SOLLECITANTI

### 9.1 MODELLO DI CALCOLO

Al fine della valutazione delle azioni sollecitanti è stato approntato un apposito modello di calcolo mediante il software **Paratie Plus 2018** (CeAS).

Nel modello di calcolo è stato valutato il comportamento di una paratia di pali **Ø600** tangenti, di lunghezza pari a **12,0 m**. La paratia è sormontata da un cordolo di testa a sezione quadrata **100 x 100 cm**. La paratia definisce una sezione interna chiusa **6,60 m x 13,80 m** (misurata in asse pali). La presenza del cordolo di testa (trattandosi di sezione chiusa) è stata considerata inserendo una molla in testa con rigidezza pari a alla rigidezza del cordolo (valutata secondo lo schema trave a campata unica semplicemente appoggiata agli estremi di lunghezza pari alla lunghezza del lato lungo della sezione chiusa → **13,80 m**).

Nell'immagine successiva è riportata la fase finale del modello:



### 9.2 VALUTAZIONE DELLA COSTANTE DI RIGIDEZZA DELLE MOLLE ORIZZONTALI EQUIVALENTI

Viene preso in esame uno schema statico di trave a campata unica semplicemente appoggiata agli estremi (costituiti dai lati corti della paratia di pali).

Si considera la trave caricata da un'azione orizzontale lineare unitaria.

La freccia massima di una trave a campata unica semplicemente appoggiata agli estremi è determinata mediante la seguente relazione:

$$f = \frac{5}{384} \cdot \frac{p \cdot L^4}{E \cdot J} \rightarrow f = \frac{5}{384} \cdot \frac{1,00 \cdot 13,80^4}{31.220,19 \cdot 10^3 \cdot 0,083} = 0,000184 \text{ m}$$

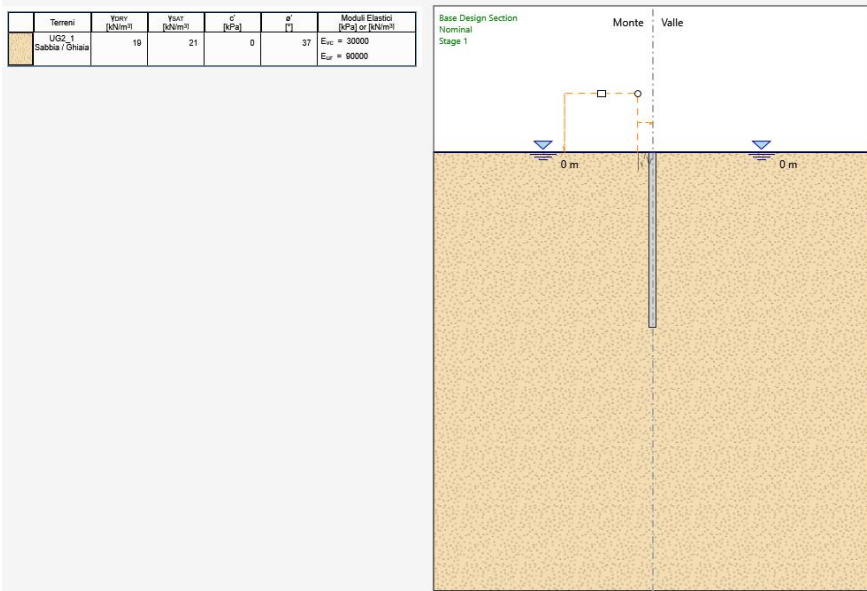
La rigidezza della molla elastica mediante la quale è schematizzato il cordolo di testa è pari a:

$$k = \frac{p}{f} \rightarrow k = \frac{1,00}{0,000184} = 5.424,13 \frac{\text{kN}}{\text{m}}$$

### 9.3 FASI DI REALIZZAZIONE

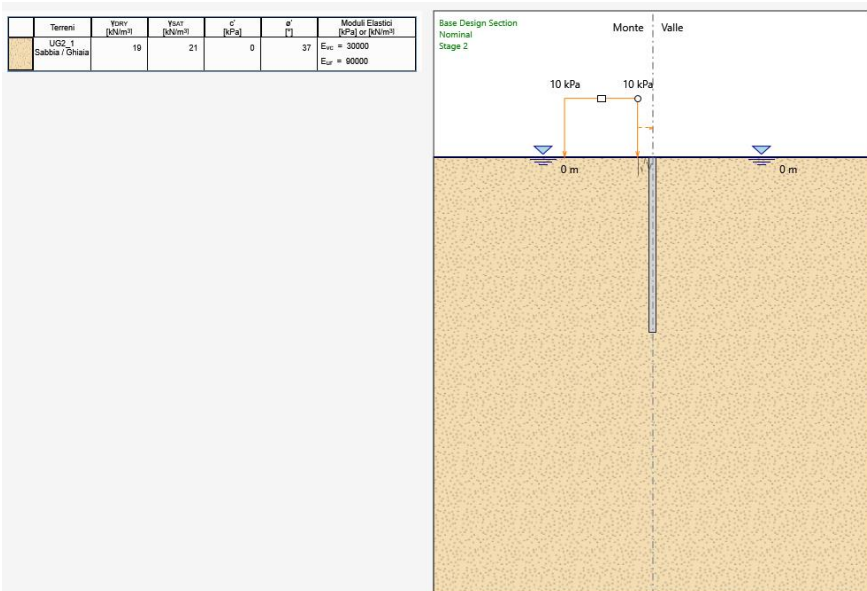
#### FASE 1 (geostatica)

- Esecuzione dei pali Ø600
- Falda a monte e falda a valle a piano campagna



#### FASE 2

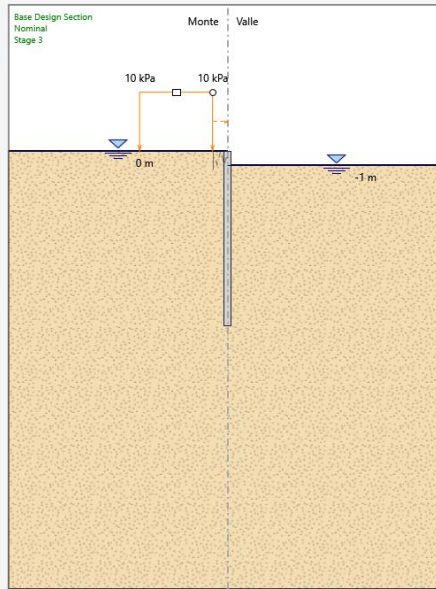
- Applicazione del sovraccarico accidentale a tergo della paratia
- Falda a monte e falda a valle a piano campagna



**FASE 3**

- Scavo fino a quota -1,00 m dal piano di campagna
- Falda a monte a piano campagna e falda a valle a quota -1,00 m rispetto al piano campagna

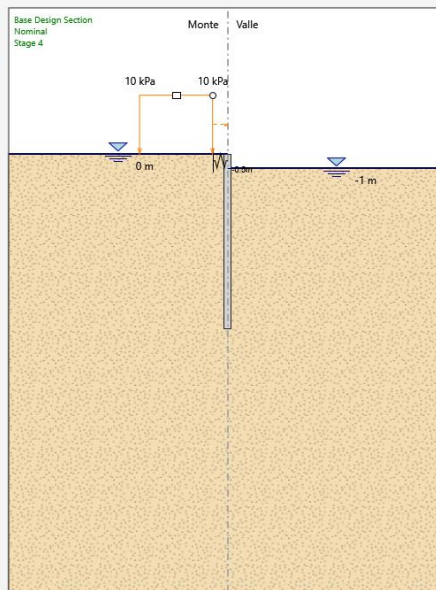
Terreni	$\gamma_{SAT}$ [kN/m <sup>3</sup> ]	$\gamma_{SAT}$ [kN/m <sup>3</sup> ]	$\sigma'$ [kPa]	$\sigma''$ [kPa]	Moduli Elastici [kPa] or [N/mm <sup>2</sup> ]
UG2_1 Sabbia / Ghiaia	19	21	0	37	$E_{vc} = 30000$ $E_{ur} = 90000$



**FASE 4**

- Realizzazione del cordolo di testa
- Falda a monte a piano campagna e falda a valle a quota -1,00 m rispetto al piano campagna

Terreni	$\gamma_{SAT}$ [kN/m <sup>3</sup> ]	$\gamma_{SAT}$ [kN/m <sup>3</sup> ]	$\sigma'$ [kPa]	$\sigma''$ [kPa]	Moduli Elastici [kPa] or [N/mm <sup>2</sup> ]
UG2_1 Sabbia / Ghiaia	19	21	0	37	$E_{vc} = 30000$ $E_{ur} = 90000$

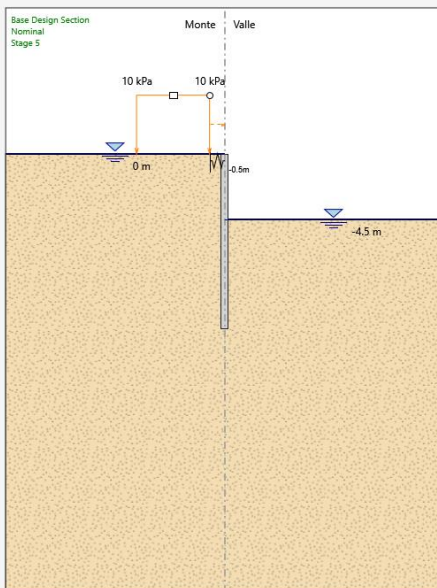




### FASE 5

- Scavo fino a quota -4,50 m dal piano di campagna
- Falda a monte a piano campagna e falda a valle a quota -4,50 m rispetto al piano campagna

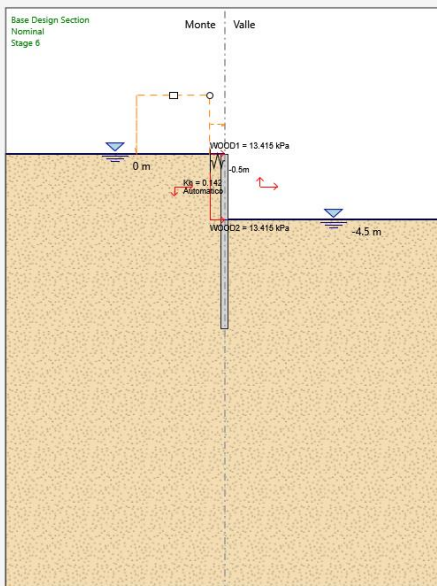
Terreni	$\gamma_{SAT}$ [kN/m <sup>3</sup> ]	$\gamma_{SAT}$ [kN/m <sup>3</sup> ]	$\sigma'$ [kPa]	$\alpha'$ [°]	Moduli Elastici [kPa] or [N/mm <sup>2</sup> ]
UG2_1 Sabbia / Ghiaia	19	21	0	37	$E_{vc} = 30000$ $E_{ur} = 90000$



### FASE 6

- Applicazione dell'azione sismica
- Falda a monte a piano campagna e falda a valle a quota -4,50 m rispetto al piano campagna

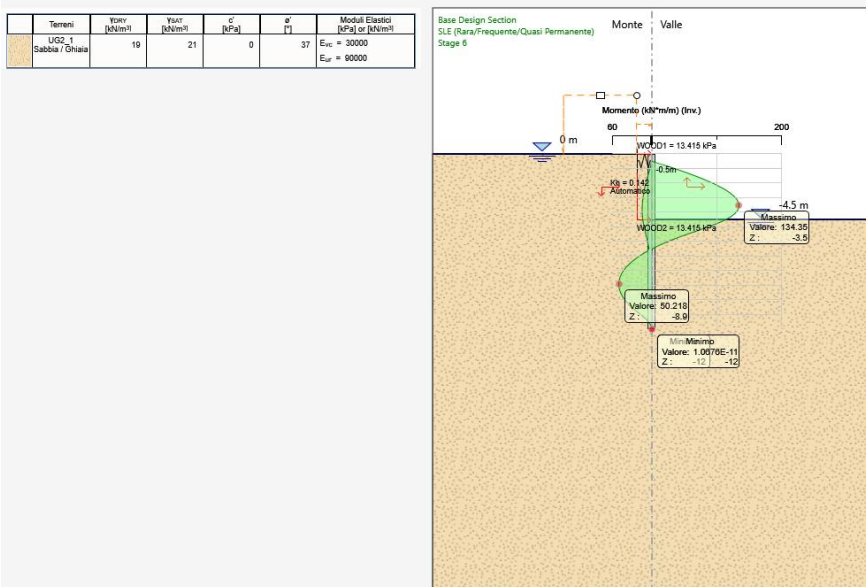
Terreni	$\gamma_{SAT}$ [kN/m <sup>3</sup> ]	$\gamma_{SAT}$ [kN/m <sup>3</sup> ]	$\sigma'$ [kPa]	$\alpha'$ [°]	Moduli Elastici [kPa] or [N/mm <sup>2</sup> ]
UG2_1 Sabbia / Ghiaia	19	21	0	37	$E_{vc} = 30000$ $E_{ur} = 90000$



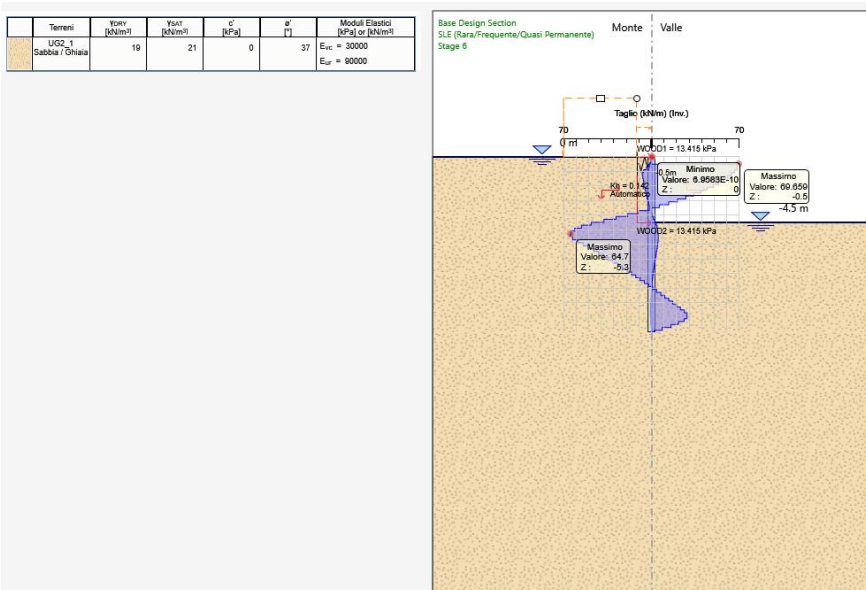
## 9.4 VALUTAZIONE DELLE AZIONI SOLLECITANTI SULLA PARATIA DI MICROPALI

### 9.4.1 COMBINAZIONE SLE – CARATTERISTICA

Nel diagramma successivo è riportato l'andamento dell'involuppo del momento flettente risultante, valutato per una larghezza unitaria di paratia:



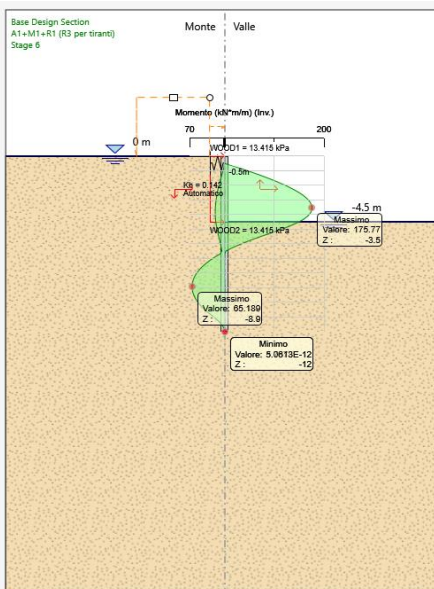
Nel diagramma successivo è riportato l'andamento dell'involuppo dell'azione tagliante, valutato per una larghezza unitaria di paratia:



### 9.4.2 COMBINAZIONE SLU – STR

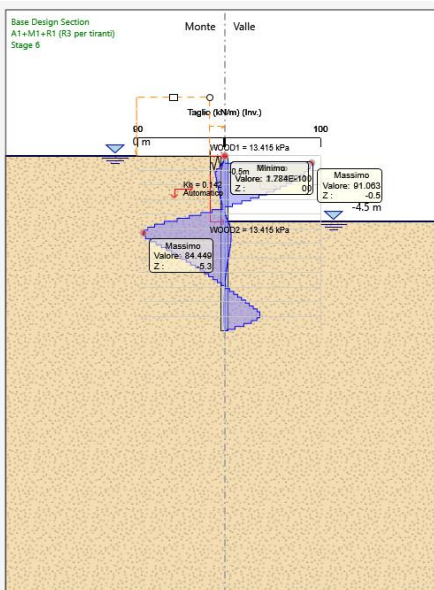
Nel diagramma successivo è riportato l'andamento dell'involuppo del momento flettente risultante, valutato per una larghezza unitaria di paratia:

Terreni	$\gamma_{soil}$ [kN/m <sup>3</sup> ]	$\gamma_{sat}$ [kN/m <sup>3</sup> ]	$c'$ [kPa]	$\phi'$ [°]	Moduli Elastici [kPa] or [kN/m <sup>2</sup> ]
UG2_1 Sabbia / Ghiaia	19	21	0	37	$E_{vc} = 30000$ $E_{ur} = 90000$



Nel diagramma successivo è riportato l'andamento dell'involuppo dell'azione tagliante, valutato per una larghezza unitaria di paratia:

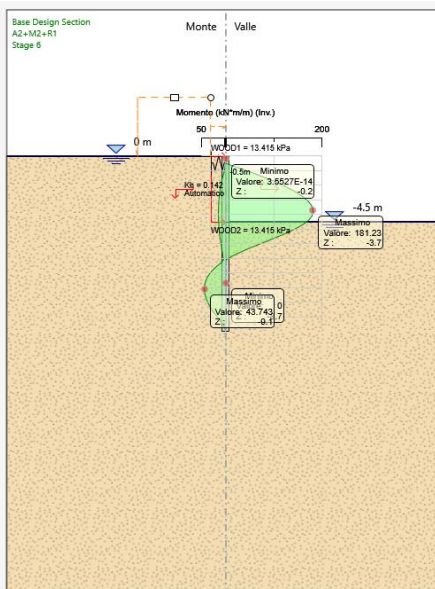
Terreni	$\gamma_{soil}$ [kN/m <sup>3</sup> ]	$\gamma_{sat}$ [kN/m <sup>3</sup> ]	$c'$ [kPa]	$\phi'$ [°]	Moduli Elastici [kPa] or [kN/m <sup>2</sup> ]
UG2_1 Sabbia / Ghiaia	19	21	0	37	$E_{vc} = 30000$ $E_{ur} = 90000$



### 9.4.3 COMBINAZIONE SLU – GEO

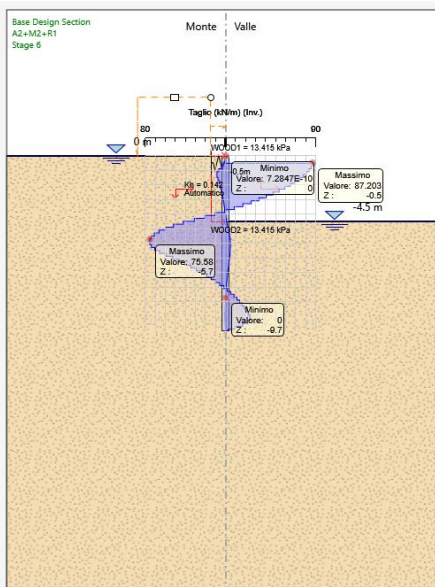
Nel diagramma successivo è riportato l'andamento dell'involuppo del momento flettente risultante, valutato per una larghezza unitaria di paratia:

Terreni	$\gamma_{soil}$ [kN/m <sup>3</sup> ]	$\gamma_{sat}$ [kN/m <sup>3</sup> ]	$c'$ [kPa]	$\phi'$ [°]	Moduli Elastici [kPa] or [kN/m <sup>2</sup> ]
UG2_1 Sabbia / Ghiaia	19	21	0	37	$E_{vc} = 30000$ $E_{ur} = 90000$



Nel diagramma successivo è riportato l'andamento dell'involuppo dell'azione tagliante, valutato per una larghezza unitaria di paratia:

Terreni	$\gamma_{soil}$ [kN/m <sup>3</sup> ]	$\gamma_{sat}$ [kN/m <sup>3</sup> ]	$c'$ [kPa]	$\phi'$ [°]	Moduli Elastici [kPa] or [kN/m <sup>2</sup> ]
UG2_1 Sabbia / Ghiaia	19	21	0	37	$E_{vc} = 30000$ $E_{ur} = 90000$

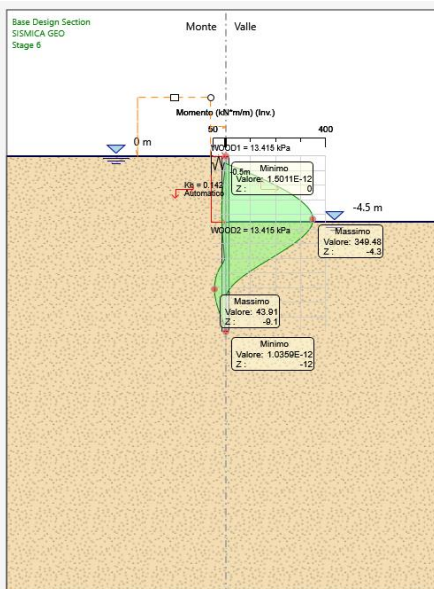




### 9.4.4 COMBINAZIONE SLV

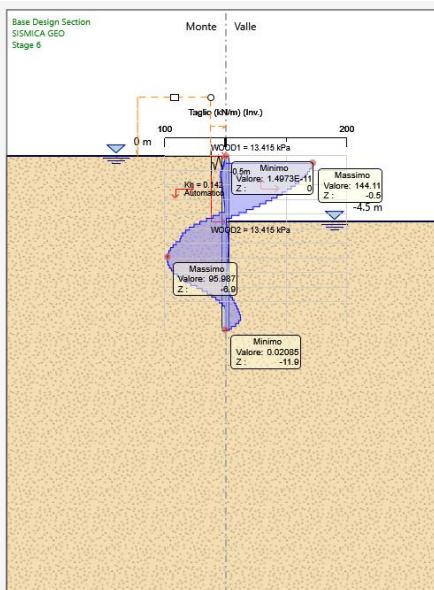
Nel diagramma successivo è riportato l'andamento dell'involuppo del momento flettente risultante, valutato per una larghezza unitaria di paratia:

Terreni	$\gamma_{SAT}$ [kN/m <sup>3</sup> ]	$\gamma_{SAT}$ [kN/m <sup>3</sup> ]	$c'$ [kPa]	$\phi'$ [°]	Moduli Elastici [kPa] or [kN/m <sup>2</sup> ]
UG2_1 Sabbia / Ghiaia	19	21	0	37	$E_{vc} = 30000$ $E_{ur} = 90000$



Nel diagramma successivo è riportato l'andamento dell'involuppo dell'azione tagliante, valutato per una larghezza unitaria di paratia:

Terreni	$\gamma_{SAT}$ [kN/m <sup>3</sup> ]	$\gamma_{SAT}$ [kN/m <sup>3</sup> ]	$c'$ [kPa]	$\phi'$ [°]	Moduli Elastici [kPa] or [kN/m <sup>2</sup> ]
UG2_1 Sabbia / Ghiaia	19	21	0	37	$E_{vc} = 30000$ $E_{ur} = 90000$



## 9.5 RIEPILOGO DELLE AZIONI SOLLECITANTI SUI PALI Ø600

Nella tabella successiva sono riepilogati i valori massimi delle azioni sollecitanti, valutate per una striscia di lunghezza unitaria di paratia, per le differenti combinazioni di carico considerate:

COMBINAZIONE	$M_{Sd}$ [kNm/m]	$V_{Sd}$ [kN/m]
SLE - CARATTERISTICA	134,35	69,66
SLU - STR	175,77	91,06
SLU - GEO	181,23	87,20
SLV	349,48	144,11

Nella tabella successiva sono riepilogati i valori massimi delle azioni sollecitanti, valutate per singolo micropalo, per le differenti combinazioni di carico considerate:

COMBINAZIONE	$M_{Sd}$ [kNm/m]	$V_{Sd}$ [kN/m]
SLE - CARATTERISTICA	80,61	41,80
SLU - STR	105,46	54,64
SLU - GEO	108,74	52,32
SLV	209,69	86,47

## 10 PARATIA DI PALI – VERIFICA STRUTTURALE DEI PALI Ø600

### 10.1 SEZIONE RESISTENTE E ARMATURA DI VERIFICA

La sezione resistente è circolare con diametro pari a **600 cm**. L'armatura longitudinale è costituita da:

- **12Ø16** disposti a raggera

L'armatura a taglio è costituita da una spirale **Ø10/15**. Il copriferro minimo è assunto pari a **60 mm**.

### 10.2 VERIFICA ALLO STATO LIMITE DI LIMITAZIONE DELLE TENSIONI

Il momento flettente di calcolo è assunto pari a **M<sub>Sd</sub> = 80,61 kNm**.

**Verifica C.A. S.L.U. - File**

File Materiali Opzioni Visualizza Progetto Sez. Rett. Sismica Normativa: NTC 2008 ?

**Titolo:** \_\_\_\_\_

**Sezione circolare cava**

Raggio esterno: 30 [cm]  
 Raggio interno: 0 [cm]  
 N° barre uguali: 16  
 Diametro barre: 1,6 [cm]  
 Copriferro (baric.): 7,8 [cm]

N° barre: 0 Zoom

**Tipo Sezione**

Rettan.re  Trapezi  
 a T  Circolare  
 Rettangoli  Coord.

**Sollecitazioni**

S.L.U. Metodo n

N<sub>Ed</sub>: 0 kN  
 M<sub>Ed</sub>: 80,61 kNm  
 M<sub>yEd</sub>: 0

**P.to applicazione N**

Centro  Baricentro cls  
 Coord.[cm] xN: 0 yN: 0

**Metodo di calcolo**

S.L.U.+  S.L.U.-  
 Metodo n

**Materiali**

B450C C25/30

ε<sub>su</sub>: 67,5 ‰ ε<sub>c2</sub>: 2 ‰  
 f<sub>yd</sub>: 391,3 N/mm<sup>2</sup> ε<sub>cu</sub>: 3,5 ‰  
 E<sub>s</sub>: 200.000 N/mm<sup>2</sup> f<sub>cd</sub>: 16,67  
 E<sub>s</sub>/E<sub>c</sub>: 15 f<sub>cc</sub>/f<sub>cd</sub>: 1  
 ε<sub>syd</sub>: 1,957 ‰ σ<sub>c,adm</sub>: 9,75  
 σ<sub>s,adm</sub>: 255 N/mm<sup>2</sup> τ<sub>co</sub>: 0,6  
 τ<sub>c1</sub>: 1,829

σ<sub>c</sub>: -6,114 N/mm<sup>2</sup>  
 σ<sub>s</sub>: 167,9 N/mm<sup>2</sup>

ε<sub>s</sub>: 0,8397 ‰  
 d: 52,2 cm  
 x: 18,44 x/d: 0,3532  
 δ: 0,8815

Vertici: 50  
 Verifica  
 N° iterazioni: 4  
 Precompresso

Le tensioni sui materiali risultano pari a:

- $\sigma_c = 6,11 \text{ N/mm}^2 < 0,60 \cdot f_{ck} = 14,73 \text{ N/mm}^2$
- $\sigma_s = 167,90 \text{ N/mm}^2 < 0,80 \cdot f_{yk} = 360,00 \text{ N/mm}^2$

La verifica risulta pertanto soddisfatta.

### 10.3 VERIFICA ALLO STATO LIMITE DI FESSURAZIONE

Dati	<u>Verifica fessurazione sezione circolare</u> <u>CIRCOLARE 2/02/2009 N°617 Par.C.4.1.2.2.4.6</u>	
$\sigma_s$	168 N/mm <sup>2</sup>	Tensione massima armatura tesa sezione fessurata
R <sub>ck</sub>	30,0 N/mm <sup>2</sup>	Resistenza caratteristica cubica cls
$\phi_l$	16 mm	Diametro barre longitudinali
$\phi_s$	10 mm	Diametro staffe o spirale
n	16	Numero ferri longitudinali
c	60 mm	Ricoprimento del calcestruzzo
D	600 mm	Diametro
$k_t$	0,4	$k_t=0,6; 0,4$ carichi breve durata/lunga durata
$k_2$	0,5	$k_2=0,5; 1,0$ caso flessione/trazione semplice
$k_1$	0,8	$k_1=0,8; 1,6$ barre aderenza migliorata/lisce
w	0,3 mm	Valore limite apertura fessure
Dati		
f <sub>ck</sub>	24,9 N/mm <sup>2</sup>	Resistenza caratteristica cilindrica cls
i	87 mm	Interasse ferri longitudinali
A <sub>φ</sub>	201 mm <sup>2</sup>	Area barra longitudinale
E <sub>s</sub>	210000,0 N/mm <sup>2</sup>	Modulo elastico acciaio da c.a
f <sub>ctm</sub>	2,6 N/mm <sup>2</sup>	Resistenza a trazione media cls
E <sub>cm</sub>	31447,2 N/mm <sup>2</sup>	Modulo elastico medio cls
$\alpha_e$	6,68	Rapporto E <sub>s</sub> /E <sub>cm</sub>
f <sub>cm</sub>	32,9 N/mm <sup>2</sup>	Resistenza media cls
$\rho_{eff}$	0,0170	Rapporto area acciaio/area efficace
E <sub>sm1</sub>	0,000480	Deformazione unitaria media barre di calcolo
E <sub>sm2</sub>	0,000480	Deformazione unitaria media barre valore minimo
E <sub>sm</sub>	0,000480	Deformazione unitaria media
k <sub>3</sub>	3,4	Coefficiente
k <sub>4</sub>	0,4	Coefficiente
Δs <sub>max</sub>	364,4 mm	Distanza massima tra le fessure
w <sub>d</sub>	✓ 0,175 mm	Valore di calcolo apertura fessure

### 10.4 VERIFICA ALLO STATO LIMITE ULTIMO PER FLESSIONE RETTA

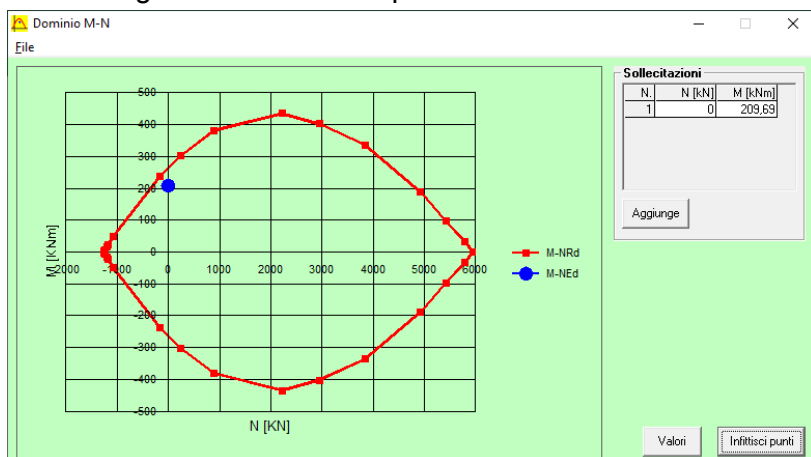
La combinazione di carico maggiormente gravosa è risultata la combinazione **SLV**.

Il momento flettente di calcolo è assunto pari a  $M_{Sd} = 209,69 \text{ kNm}$ .

Il momento resistente risulta pari a:

$$M_{Sd} = 264,00 \text{ kNm} > M_{Sd} = 209,69 \text{ kNm}$$

Nell'immagine successiva è riportato il dominio di resistenza della sezione:



La verifica risulta pertanto soddisfatta.



## 10.5 VERIFICA ALLO STATO LIMITE ULTIMO PER TAGLIO

La verifica verrà condotta su una sezione quadrata equivalente di lato pari a **53,17 cm** (equivalenza di area). La combinazione di carico maggiormente gravosa è risultata la combinazione **SLV**. L'azione tagliante di calcolo è assunta pari a **V<sub>sd</sub> = 86,47 kN**.

**VERIFICA ALLO STATO LIMITE ULTIMO PER TAGLIO - ELEMENTI CON ARMATURE TRASVERSALI RESISTENTI AL TAGLIO**  
 D.M. 17.01.2018 - CAPITOLO 4.1.2.3.5.2

### CARATTERISTICHE GEOMETRICHE DELLA SEZIONE

Base della sezione trasversale:	b	53,17	[cm]
Altezza della sezione trasversale:	h	53,17	[cm]
Copriferro netto:	c	6,00	[cm]
Altezza utile della sezione:	d	47,17	[cm]

### CARATTERISTICHE DEI MATERIALI

Classe di resistenza del calcestruzzo:		C25/30	
Resistenza caratteristica cubica a compressione:	R <sub>ck</sub>	30,00	[N/mm <sup>2</sup> ]
Resistenza caratteristica cilindrica a compressione:	f <sub>ck</sub>	24,90	[N/mm <sup>2</sup> ]
Resistenza di calcolo a compressione:	f <sub>cd</sub>	14,11	[N/mm <sup>2</sup> ]
Tipologia dell'acciaio da armatura:		B450C	
Tensione caratteristica di rottura:	f <sub>ik</sub>	540,00	[N/mm <sup>2</sup> ]
Tensione caratteristica di snervamento:	f <sub>yk</sub>	450,00	[N/mm <sup>2</sup> ]
Resistenza di calcolo:	f <sub>yd</sub>	391,30	[N/mm <sup>2</sup> ]

### AZIONI SOLLECITANTI DI CALCOLO

Azione tagliante di calcolo:	V <sub>S,d</sub>	86,47	[kN]
Azione normale di calcolo:	N <sub>S,d</sub>	0,00	[kN]

### ARMATURA TRASVERSALE

Inclinazione dei puntoni di calcestruzzo:	θ	45,00	[°]
Cotangente dell'angolo θ:	cot(θ)	1,00	
Inclinazione dell'armatura trasversale rispetto all'asse della trave:	α	90,00	[°]
Numero di bracci dell'armatura trasversale:	n	2,00	
Passo longitudinale delle armature trasversali:	s	20,00	[cm]
Diametro dell'armatura trasversale:	Ø <sub>trav</sub>	10,00	[mm]
Area della singola barra:	A <sub>barra</sub>	0,79	[cm <sup>2</sup> ]
Area totale dell'armatura trasversale:	A <sub>tot</sub>	7,90	[cm <sup>2</sup> /m]

### VERIFICA ALLO S.L.U. PER TAGLIO

La resistenza di calcolo a "taglio trazione" viene valutata mediante la seguente relazione - D.M. 17.01.2018 [4.1.27]:

$$V_{Rsd} = 0,9 \cdot d \cdot \frac{A_{sw}}{s} \cdot f_{yd} \cdot [\cot(\alpha) + \cot(\theta)] \cdot \sin(\alpha)$$

La resistenza di calcolo a "taglio compressione" viene valutata mediante la seguente relazione - D.M. 17.01.2018 [4.1.28]:

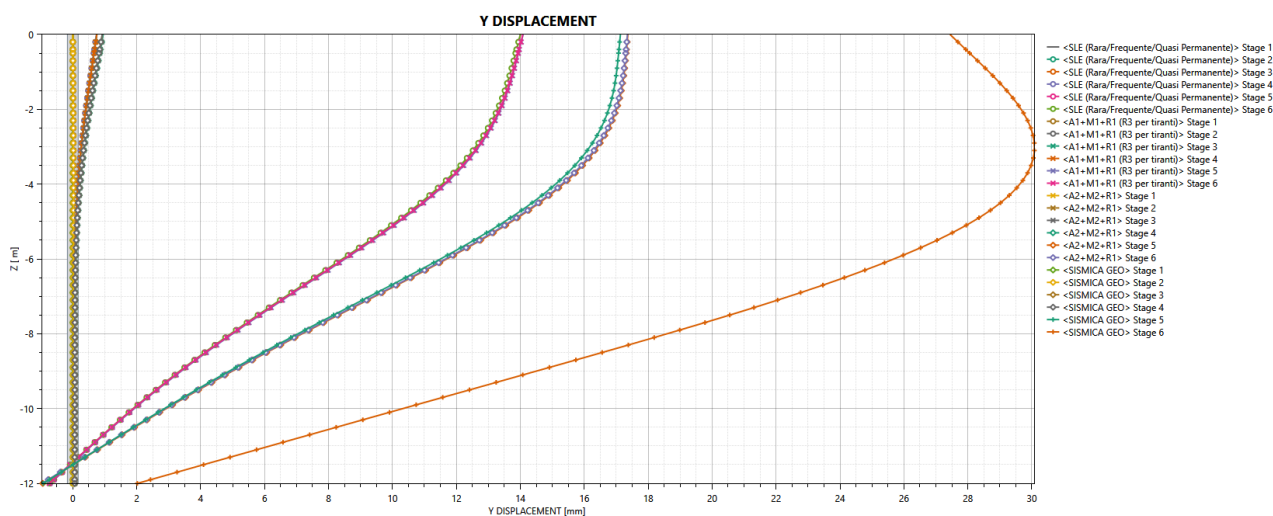
$$V_{Rcd} = 0,9 \cdot d \cdot b_w \cdot \alpha_c \cdot f_{cd} \cdot \frac{[\cot(\alpha) + \cot(\theta)]}{[1 + \cot^2(\theta)]}$$

Larghezza minima della sezione:	b <sub>w</sub>	53,17	[cm]
Resistenza a compressione ridotta del calcestruzzo:	f <sub>yd</sub>	7,06	[N/mm <sup>2</sup> ]
Tensione media di compressione nella sezione:	σ <sub>cp</sub>	0,00	[N/mm <sup>2</sup> ]
Coefficiente maggiorativo α <sub>c</sub> :	α <sub>c</sub>	1,00	
RESISTENZA DI CALCOLO A "TAGLIO TRAZIONE"	V <sub>Rsd</sub>	131,24	[kN]
RESISTENZA DI CALCOLO A "TAGLIO COMPRESSIONE"	V <sub>Rcd</sub>	796,24	[kN]
AZIONE TAGLIANTE RESISTENTE DELLA SEZIONE:	V <sub>R,d</sub>	131,24	[kN]
COEFFICIENTE DI SICUREZZA:	F <sub>s</sub> =V <sub>R,d</sub> /V <sub>S,d</sub>	1,52	

**LA VERIFICA RISULTA POSITIVA.**

## 11 PARATIA DI PALI - VERIFICA DELLO SPOSTAMENTO MASSIMO

Nel diagramma successivo è riportato l'andamento dello spostamento massimo della paratia:



Lo spostamento massimo in testa della paratia è stato determinato pari a **30,082 mm** (Combinazione SLU – GEO).

Lo spostamento risulta inferiore ai limiti di normativa:

$$d_{\max} = 30,082 \text{ mm} < d_{\lim} = 0,005 \times 12.000,00 = 60,00 \text{ mm}$$

Lo spostamento massimo in esercizio della paratia è stato determinato pari a **14,00 mm**, compatibile con la funzionalità dell'opera.

## 12 VERIFICA DI STABILITÀ ALLA ROTAZIONE

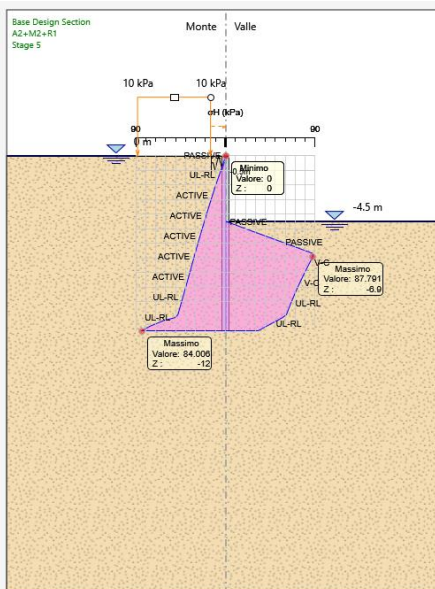
La verifica di stabilità della paratia è effettuata considerando il rispetto dei due seguenti criteri:

- 1) Il calcolo non lineare della paratia deve convergere a una soluzione equilibrata e congruente
- 2) Sul lato di scavo (valle) la spinta efficace mobilitata deve essere minore della spinta passiva disponibile, quindi il loro rapporto deve essere  $\leq 1$ .

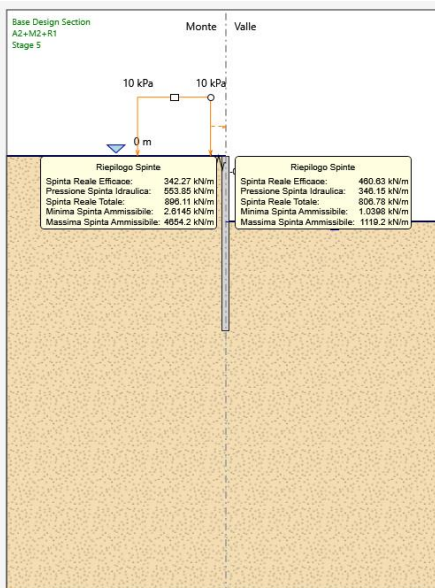
### 12.1 COMBINAZIONE SLU - GEO

Di seguito è riportato l'andamento delle spinte in fase finale a valle e a monte della paratia:

Terreni	$\gamma_{soy}$ [kN/m <sup>3</sup> ]	$\gamma_{SAT}$ [kN/m <sup>3</sup> ]	$c'$ [kPa]	$\phi'$ [°]	Moduli Elastici [kPa] or [kN/m <sup>2</sup> ]
UG2 - Sabbia / Ghiaia	19	21	0	37	$E_{vc} = 30000$ $E_{ur} = 90000$



Terreni	$\gamma_{soy}$ [kN/m <sup>3</sup> ]	$\gamma_{SAT}$ [kN/m <sup>3</sup> ]	$c'$ [kPa]	$\phi'$ [°]	Moduli Elastici [kPa] or [kN/m <sup>2</sup> ]
UG2 - Sabbia / Ghiaia	19	21	0	37	$E_{vc} = 30000$ $E_{ur} = 90000$



Dall'esame dei tabulati di calcolo si desume:

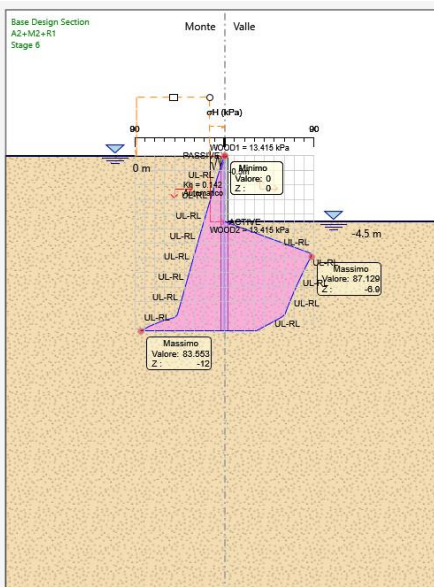
- 1) Il calcolo non lineare converge a una soluzione equilibrata per tutte le fasi di calcolo
- 2) Il rapporto tra la spinta passiva possibile e la spinta mobilitata assume il minimo nello stage 5 (con sovraccarichi) con il valore:

$$\frac{\text{Spinta reale totale}}{\text{Spinta passiva possibile}} = \frac{896,11}{1.119,20} = 0,80 < 1,00 \rightarrow \text{VERIFICATO}$$

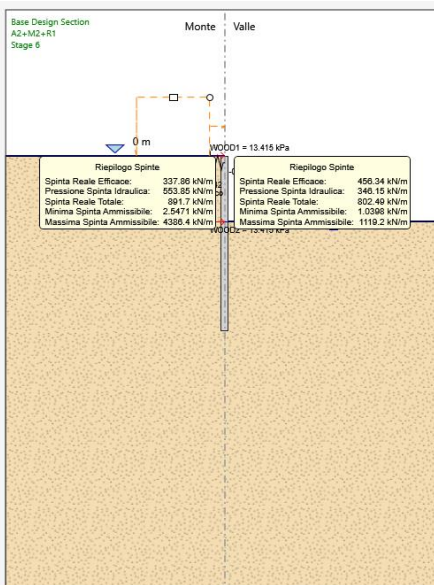
## 12.2 COMBINAZIONE SLV

Di seguito è riportato l'andamento delle spinte in fase finale a valle e a monte della paratia:

Terreni	$\gamma_{soil}$ [kN/m <sup>3</sup> ]	$\gamma_{sat}$ [kN/m <sup>3</sup> ]	$c'$ [kPa]	$\phi'$ [°]	Moduli Elastici [kPa] or [kN/m <sup>2</sup> ]
UG2_1 Sabbia / Ghiaia	19	21	0	37	$E_{vc} = 30000$ $E_{ur} = 90000$



Terreni	$\gamma_{soil}$ [kN/m <sup>3</sup> ]	$\gamma_{sat}$ [kN/m <sup>3</sup> ]	$c'$ [kPa]	$\phi'$ [°]	Moduli Elastici [kPa] or [kN/m <sup>2</sup> ]
UG2_1 Sabbia / Ghiaia	19	21	0	37	$E_{vc} = 30000$ $E_{ur} = 90000$



Dall'esame dei tabulati di calcolo si desume:

- 1) Il calcolo non lineare converge a una soluzione equilibrata per tutte le fasi di calcolo
- 2) Il rapporto tra la spinta passiva possibile e la spinta mobilitata assume il minimo nello stage 5 (con sovraccarichi) con il valore:

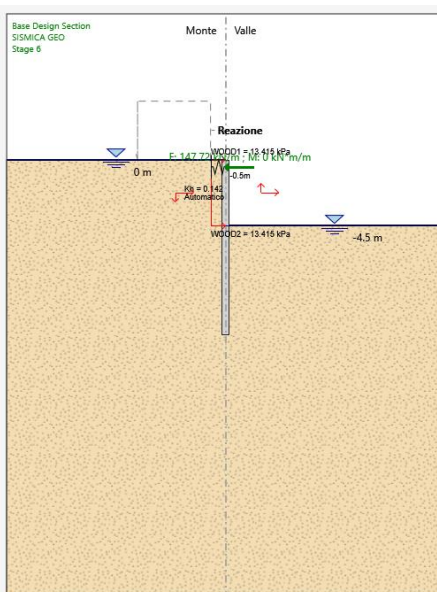
$$\frac{\text{Spinta reale totale}}{\text{Spinta passiva possibile}} = \frac{891,70}{1.119,20} = 0,79 < 1,00 \rightarrow \text{VERIFICATO}$$

## 13 CORDOLO DI TESTA – VERIFICHE STRUTTURALI

### 13.1 VALUTAZIONE DELLE AZIONI SOLLECITANTI

Nell'immagine successiva è riportata la reazione lineare applicata sul cordolo di testa per la combinazione allo SLV (maggiormente gravosa):

	Terroni	Y <sub>red</sub> [kN/m <sup>2</sup> ]	Y <sub>act</sub> [kN/m <sup>2</sup> ]	σ' [kPa]	σ' [kPa]	Moduli Elastici [kPa] / [kN/m <sup>2</sup> ]
	UG2 - Sabbia / Ghiaia	19	21	0	37	E <sub>ic</sub> = 30000 E <sub>sc</sub> = 90000



La reazione lineare massima è risultata pari a **147,72 kN/m**.

Il momento flettente massimo sul cordolo di testa, secondo lo schema di trave a campata unica di luce pari a **13,80 m**, semplicemente appoggiata alle estremità, risulta pari a:

$$M_{Sd} = 147,72 \times 13,80^2 / 8 = 3.516,47 \text{ kNm}$$

Il taglio massimo sul cordolo di testa, secondo il medesimo schema statico, risulta pari a:

$$V_{Sd} = 147,72 \times 13,80 / 2 = 1.019,27 \text{ kN}$$

### 13.2 SEZIONE E ARMATURA DI VERIFICA

La sezione di verifica è quadrata con lato pari a **100 cm**.

L'armatura longitudinale è costituita da:

- **10Ø26** interni
- **10Ø26** esterni – I strato
- **10Ø26** esterni – II strato

L'armatura a taglio è costituita da staffe a **Ø10/10**. Il copriferro netto minimo è assunto pari a **40 mm**.



### 13.3 VERIFICA ALLO SLU PER FLESSIONE SEMPLICE

Il momento flettente di calcolo è assunto pari a  $M_{Sd} = 3.516,47$  kNm.

**Verifica C.A. S.L.U. - File**

File Materiali Opzioni Visualizza Progetto Sez. Rett. Sismica Normativa: NTC 2008 ?

Titolo: \_\_\_\_\_

N° strati barre: 3 Zoom

N°	b [cm]	h [cm]	N°	As [cm²]	d [cm]
1	100	100	1	53,09	6,3
			2	53,09	88,5
			3	53,09	93,7

**Sollecitazioni**  
 S.L.U. Metodo n

N<sub>Ed</sub>: 0 kN  
 M<sub>xEd</sub>: 3516,47 kNm  
 M<sub>yEd</sub>: 0 kNm

**Materiali**  
 B450C C25/30

ε<sub>su</sub>: 67,5 ‰ ε<sub>c2</sub>: 2 ‰  
 f<sub>yd</sub>: 391,3 N/mm² ε<sub>cu</sub>: 3,5 ‰  
 E<sub>s</sub>: 200.000 N/mm² f<sub>cd</sub>: 16,67 ‰  
 E<sub>s</sub>/E<sub>c</sub>: 15 f<sub>cc</sub>/f<sub>cd</sub>: 1  
 ε<sub>syd</sub>: 1,957 ‰ σ<sub>c,adm</sub>: 9,75 ‰  
 σ<sub>s,adm</sub>: 255 N/mm² τ<sub>co</sub>: 0,6  
 τ<sub>c1</sub>: 1,829

**P.to applicazione N**  
 Centro Baricentro cls  
 Coord.[cm] xN: 0 yN: 0

**Metodo di calcolo**  
 S.L.U.+ S.L.U.- Metodo n

**Tipo flessione**  
 Retta Deviata

N° rett.: 100

Calcola MRd Dominio M-N

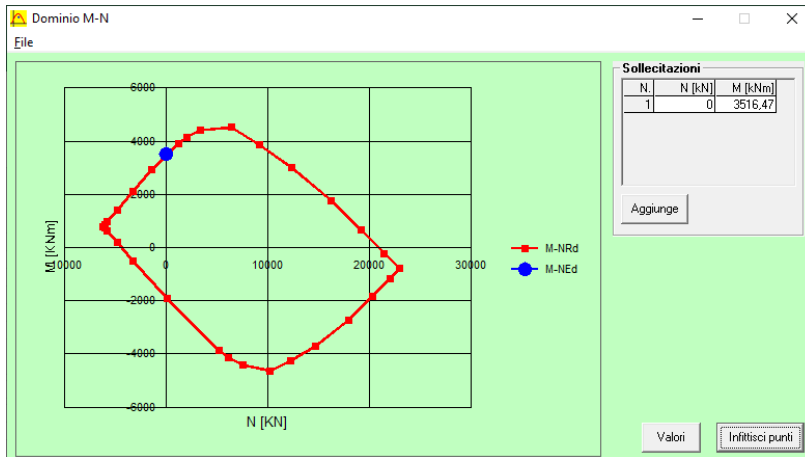
L<sub>o</sub>: 0 cm Col. modello

Precompresso

M<sub>xRd</sub>: 3.521 kNm  
 g<sub>c</sub>: -16,67 N/mm²  
 g<sub>s</sub>: 391,3 N/mm²  
 ε<sub>c</sub>: 3,5 ‰  
 ε<sub>s</sub>: 17,82 ‰  
 d: 93,7 cm  
 x: 15,38 x/d: 0,1642  
 δ: 0,7

Il momento resistente risulta pari a:  
 $M_{Sd} = 3.521,00$  kNm >  $M_{Rd} = 3.516,47$  kNm

Nell'immagine successiva è riportato il dominio di resistenza della sezione:



La verifica risulta pertanto soddisfatta.

### 13.4 VERIFICA ALLO SLU PER TAGLIO

L'azione tagliante di calcolo è assunta pari a  $V_{Sd} = 1.019,27 \text{ kN}$ .

**VERIFICA ALLO STATO LIMITE ULTIMO PER TAGLIO - ELEMENTI CON ARMATURE TRASVERSALI RESISTENTI AL TAGLIO**  
 D.M. 17.01.2018 - CAPITOLO 4.1.2.3.5.2

#### CARATTERISTICHE GEOMETRICHE DELLA SEZIONE

Base della sezione trasversale:	b	100,00	[cm]
Altezza della sezione trasversale:	h	100,00	[cm]
Copriferro netto:	c	4,00	[cm]
Altezza utile della sezione:	d	96,00	[cm]

#### CARATTERISTICHE DEI MATERIALI

Classe di resistenza del calcestruzzo:		C25/30	
Resistenza caratteristica cubica a compressione:	$R_{ck}$	30,00	[N/mm <sup>2</sup> ]
Resistenza caratteristica cilindrica a compressione:	$f_{ck}$	24,90	[N/mm <sup>2</sup> ]
Resistenza di calcolo a compressione:	$f_{cd}$	14,11	[N/mm <sup>2</sup> ]
Tipologia dell'acciaio da armatura:		B450C	
Tensione caratteristica di rottura:	$f_{ik}$	540,00	[N/mm <sup>2</sup> ]
Tensione caratteristica di snervamento:	$f_{yk}$	450,00	[N/mm <sup>2</sup> ]
Resistenza di calcolo:	$f_{yd}$	391,30	[N/mm <sup>2</sup> ]

#### AZIONI SOLLECITANTI DI CALCOLO

Azione tagliante di calcolo:	$V_{S,d}$	1019,27	[kN]
Azione normale di calcolo:	$N_{S,d}$	0,00	[kN]

#### ARMATURA TRASVERSALE

Inclinazione dei puntoni di calcestruzzo:	$\theta$	45,00	[°]
Cotangente dell'angolo $\theta$ :	$\cot(\theta)$	1,00	
Inclinazione dell'armatura trasversale rispetto all'asse della trave:	$\alpha$	90,00	[°]
Numero di bracci dell'armatura trasversale:	n	4,00	
Passo longitudinale delle armature trasversali:	s	10,00	[cm]
Diametro dell'armatura trasversale:	$\emptyset_{trav}$	10,00	[mm]
Area della singola barra:	$A_{barra}$	0,79	[cm <sup>2</sup> ]
Area totale dell'armatura trasversale:	$A_{tot}$	31,60	[cm <sup>2</sup> /m]

#### VERIFICA ALLO S.L.U. PER TAGLIO

La resistenza di calcolo a "taglio trazione" viene valutata mediante la seguente relazione - D.M. 17.01.2018 [4.1.27]:

$$V_{Rsd} = 0,9 \cdot d \cdot \frac{A_{sw}}{s} \cdot f_{yd} \cdot [\cot(\alpha) + \cot(\theta)] \cdot \sin(\alpha)$$

La resistenza di calcolo a "taglio compressione" viene valutata mediante la seguente relazione - D.M. 17.01.2018 [4.1.28]:

$$V_{Rcd} = 0,9 \cdot d \cdot b_w \cdot \alpha_c \cdot f_{cd}' \cdot \frac{[\cot(\alpha) + \cot(\theta)]}{[1 + \cot^2(\theta)]}$$

Larghezza minima della sezione:	$b_w$	100,00	[cm]
Resistenza a compressione ridotta del calcestruzzo:	$f_{yd}$	7,06	[N/mm <sup>2</sup> ]
Tensione media di compressione nella sezione:	$\sigma_{cp}$	0,00	[N/mm <sup>2</sup> ]
Coefficiente maggiorativo $\alpha_c$ :	$\alpha_c$	1,00	
RESISTENZA DI CALCOLO A "TAGLIO TRAZIONE"	$V_{Rsd}$	1068,35	[kN]
RESISTENZA DI CALCOLO A "TAGLIO COMPRESSIONE"	$V_{Rcd}$	3047,76	[kN]
AZIONE TAGLIANTE RESISTENTE DELLA SEZIONE:	$V_{R,d}$	1.068,35	[kN]
COEFFICIENTE DI SICUREZZA:	$F_s = V_{R,d}/V_{S,d}$	1,05	

LA VERIFICA RISULTA POSITIVA.

14 TABULATI DI CALCOLO



***Report di Calcolo***

# Sommario

## Contenuto Sommario

## Descrizione del Software

ParatiePlus analizza il comportamento meccanico di una struttura di sostegno flessibile di uno scavo in terreno o roccia, ponendo l'accento sull'aspetto dell'interazione "locale" fra parete e terreno.

ParatiePlus non permette lo studio di problematiche che coinvolgano un movimento esteso del versante di scavo, in quanto ParatiePlus non consente lo sviluppo di movimenti rigidi della parete o parti di ammasso rispetto ad altre parti di terreno.

Scopo precipuo di ParatiePlus è quindi il calcolo delle azioni flettenti e taglianti e delle deformazioni laterali della parete di sostegno, e la valutazione di tutte quelle grandezze a queste connesse.

Lo studio di una parete flessibile è condotto attraverso una simulazione numerica del reale: il programma stabilisce e risolve un sistema di equazioni algebriche la cui soluzione permette di riprodurre abbastanza realisticamente l'effettivo comportamento dell'opera di sostegno.

La simulazione numerica è quella offerta dal metodo degli elementi finiti.

La schematizzazione in elementi finiti avviene in questo modo:

- si analizza un problema piano (nel piano Y-Z): i gradi di libertà nodali attivi sono lo spostamento laterale e la rotazione fuori piano: gli spostamenti verticali sono automaticamente vincolati (di conseguenza le azioni assiali nelle pareti verticali non sono calcolate);
- la parete flessibile di sostegno vera e propria è schematizzata da una serie di elementi finiti BEAM verticali;
- il terreno, che spinge contro la parete (da monte e da valle) e che reagisce in modo complesso alle deformazioni della parete, è simulato attraverso un doppio letto di molle elasto-plastiche connesse agli stessi nodi della parete;
- i tiranti, i puntoni, le solette, gli appoggi cedevoli o fissi, sono schematizzati tramite molle puntuali convergenti in alcuni punti (nodi) della parete ove convergono parimenti elementi BEAM ed elementi terreno.



## Descrizione della Stratigrafia e degli Strati di Terreno

Tipo : HORIZONTAL

Quota : 0 m

OCR : 1

Strato di Terreno	Terreno	$\gamma$ dry	$\gamma$ sat	$\phi'$	$\phi$	$\nu$	$\rho$	$c'$	Su	Modulo Elastico	Eu	Evc	Eur	Ah	Av	exp Pa	Rur/Rvc	Rvc	Ku	Kvc	Kur	
		kN/m <sup>3</sup>	kN/m <sup>3</sup>	°	°	°		kPa	kPa			kPa	kPa			kPa		kPa	kN/m <sup>3</sup>	kN/m <sup>3</sup>	kN/m <sup>3</sup>	
1	UG2_1	19	21	37				0	Constant		30000	90000										

## Descrizione Pareti

X : 0 m

Quota in alto : 0 m

Quota di fondo : -12 m

Muro di sinistra

Sezione : PALI 600

Area equivalente : 0.471238898038469 m

Inerzia equivalente : 0.0106 m<sup>4</sup>/m

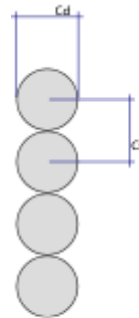
Materiale calcestruzzo : C25/30

Tipo sezione : Tangent

Spaziatura : 0.6 m

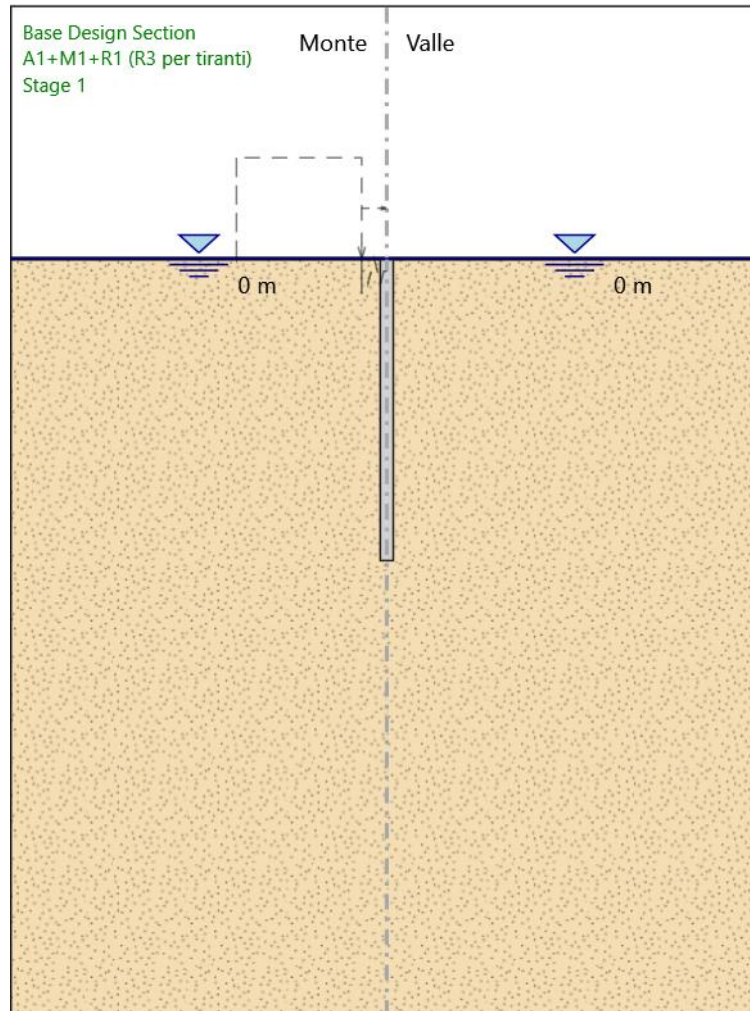
Diametro : 0.6 m

Efficacia : 1



## Fasi di Calcolo

### Stage 1



Stage 1

Scavo

Muro di sinistra

Lato monte : 0 m

Lato valle : 0 m

Linea di scavo di sinistra (Orizzontale)

0 m

Linea di scavo di destra (Orizzontale)

0 m

#### Falda acquifera

Falda di sinistra : 0 m

Falda di destra : 0 m

#### Elementi strutturali

Paratia : WallElement

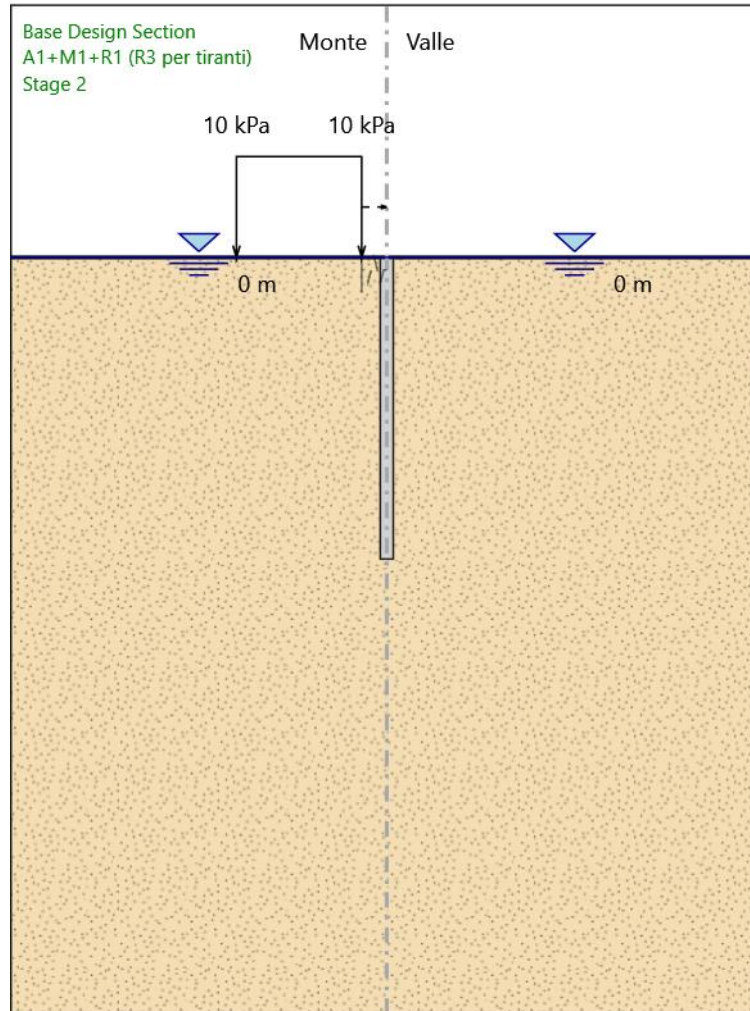
X : 0 m

Quota in alto : 0 m

Quota di fondo : -12 m

Sezione : PALI 600

## Stage 2



Stage 2

Scavo

Muro di sinistra

Lato monte : 0 m

Lato valle : 0 m

Linea di scavo di sinistra (Orizzontale)

0 m

Linea di scavo di destra (Orizzontale)

0 m



#### Falda acquifera

Falda di sinistra : 0 m

Falda di destra : 0 m

#### Carichi

Carico lineare in superficie : SOVRACCARICO ACCIDENTALE

X iniziale : -6 m

X finale : -1 m

Pressione iniziale : 10 kPa

Pressione finale : 10 kPa

#### Elementi strutturali

Paratia : WallElement

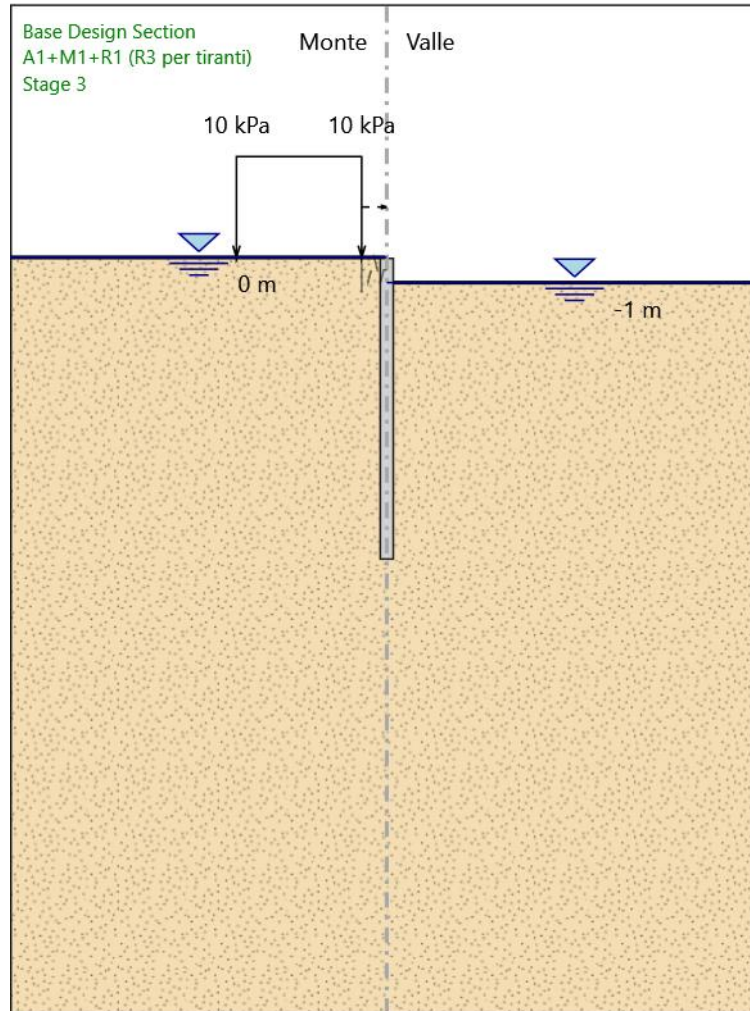
X : 0 m

Quota in alto : 0 m

Quota di fondo : -12 m

Sezione : PALI 600

### Stage 3



Stage 3

Scavo

Muro di sinistra

Lato monte : 0 m

Lato valle : -1 m

Linea di scavo di sinistra (Orizzontale)

0 m

Linea di scavo di destra (Orizzontale)

-1 m

#### Falda acquifera

Falda di sinistra : 0 m

Falda di destra : -1 m

#### Carichi

Carico lineare in superficie : SOVRACCARICO ACCIDENTALE

X iniziale : -6 m

X finale : -1 m

Pressione iniziale : 10 kPa

Pressione finale : 10 kPa

#### Elementi strutturali

Paratia : WallElement

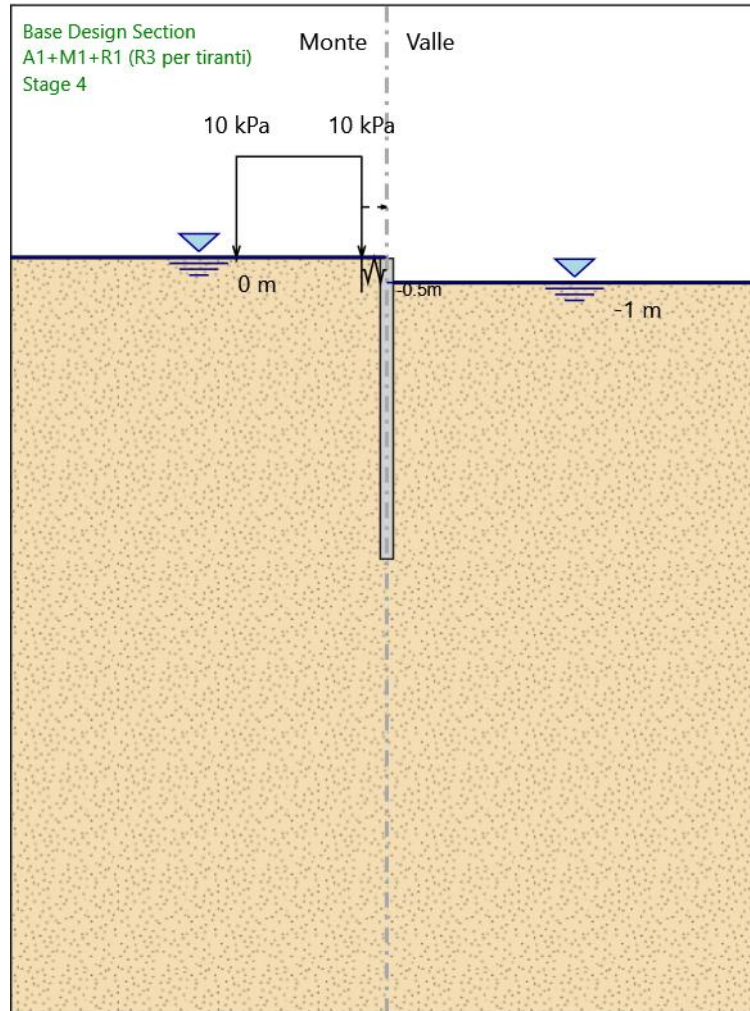
X : 0 m

Quota in alto : 0 m

Quota di fondo : -12 m

Sezione : PALI 600

## Stage 4



Stage 4

Scavo

Muro di sinistra

Lato monte : 0 m

Lato valle : -1 m

Linea di scavo di sinistra (Orizzontale)

0 m

Linea di scavo di destra (Orizzontale)

-1 m

#### Falda acquifera

Falda di sinistra : 0 m

Falda di destra : -1 m

#### Carichi

Carico lineare in superficie : SOVRACCARICO ACCIDENTALE

X iniziale : -6 m

X finale : -1 m

Pressione iniziale : 10 kPa

Pressione finale : 10 kPa

#### Elementi strutturali

Paratia : WallElement

X : 0 m

Quota in alto : 0 m

Quota di fondo : -12 m

Sezione : PALI 600

Vincolo elastico : Spring

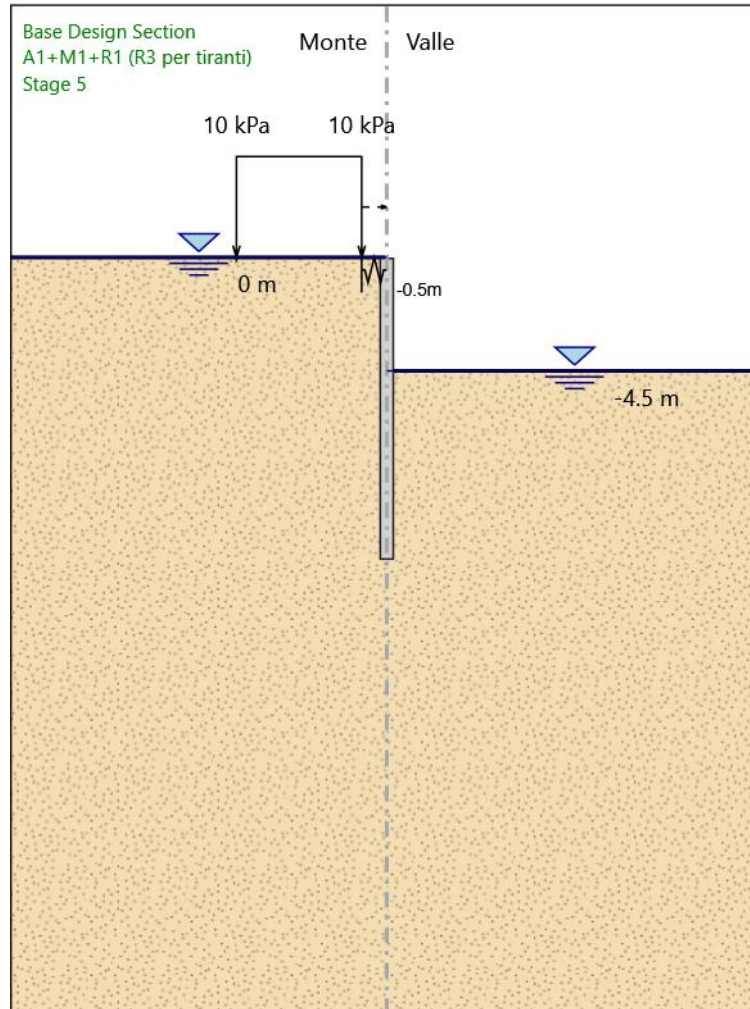
X : 0 m

Z : -0.5 m

Angolo : 0 °



## Stage 5



Stage 5

Scavo

Muro di sinistra

Lato monte : 0 m

Lato valle : -4.5 m

Linea di scavo di sinistra (Orizzontale)

0 m

Linea di scavo di destra (Orizzontale)

-4.5 m

#### Falda acquifera

Falda di sinistra : 0 m

Falda di destra : -4.5 m

#### Carichi

Carico lineare in superficie : SOVRACCARICO ACCIDENTALE

X iniziale : -6 m

X finale : -1 m

Pressione iniziale : 10 kPa

Pressione finale : 10 kPa

#### Elementi strutturali

Paratia : WallElement

X : 0 m

Quota in alto : 0 m

Quota di fondo : -12 m

Sezione : PALI 600

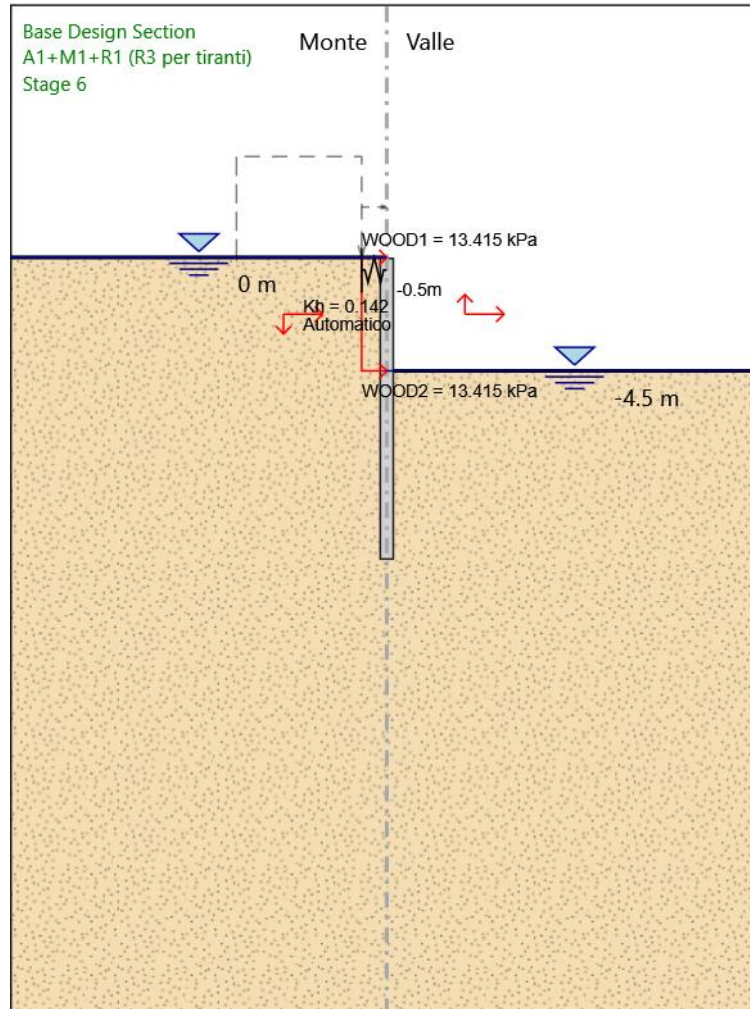
Vincolo elastico : Spring

X : 0 m

Z : -0.5 m

Angolo : 0 °

## Stage 6



Stage 6

Scavo

Muro di sinistra

Lato monte : 0 m

Lato valle : -4.5 m

Linea di scavo di sinistra (Orizzontale)

0 m

Linea di scavo di destra (Orizzontale)

-4.5 m

#### Falda acquifera

Falda di sinistra : 0 m

Falda di destra : -4.5 m

#### Elementi strutturali

Paratia : WallElement

X : 0 m

Quota in alto : 0 m

Quota di fondo : -12 m

Sezione : PALI 600

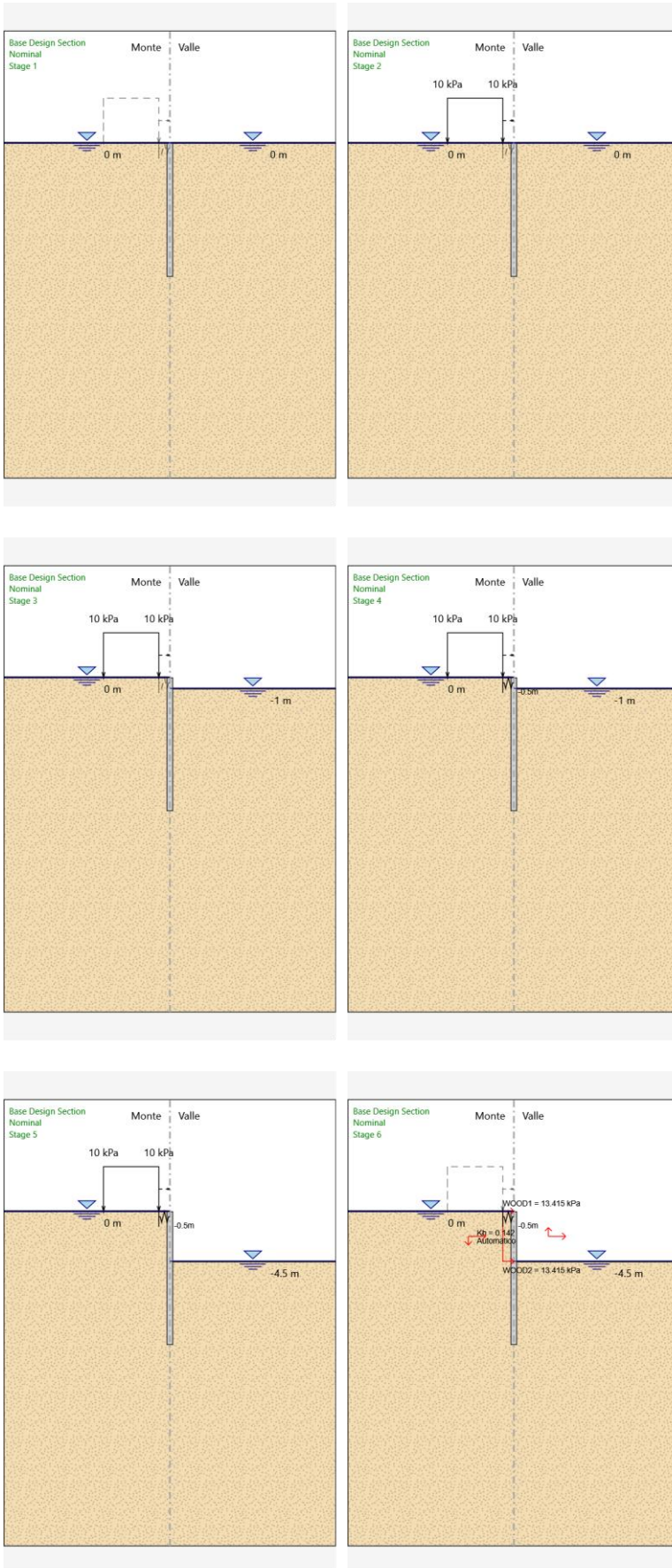
Vincolo elastico : Spring

X : 0 m

Z : -0.5 m

Angolo : 0 °

### Tabella Configurazione Stage (Nominal)





## Grafici dei Risultati

### Design Assumption : Nominal

#### Tabella Spostamento Nominal - LEFT Stage: Stage 1

Design Assumption: Nominal Tipo Risultato: Spostamento			Muro: LEFT
Stage	Z (m)	Spostamento (mm)	
Stage 1	0	0	
Stage 1	-0.2	0	
Stage 1	-0.4	0	
Stage 1	-0.5	0	
Stage 1	-0.7	0	
Stage 1	-0.9	0	
Stage 1	-1.1	0	
Stage 1	-1.3	0	
Stage 1	-1.5	0	
Stage 1	-1.7	0	
Stage 1	-1.9	0	
Stage 1	-2.1	0	
Stage 1	-2.3	0	
Stage 1	-2.5	0	
Stage 1	-2.7	0	
Stage 1	-2.9	0	
Stage 1	-3.1	0	
Stage 1	-3.3	0	
Stage 1	-3.5	0	
Stage 1	-3.7	0	
Stage 1	-3.9	0	
Stage 1	-4.1	0	
Stage 1	-4.3	0	
Stage 1	-4.5	0	
Stage 1	-4.7	0	
Stage 1	-4.9	0	
Stage 1	-5.1	0	
Stage 1	-5.3	0	
Stage 1	-5.5	0	
Stage 1	-5.7	0	
Stage 1	-5.9	0	
Stage 1	-6.1	0	
Stage 1	-6.3	0	
Stage 1	-6.5	0	
Stage 1	-6.7	0	
Stage 1	-6.9	0	
Stage 1	-7.1	0	
Stage 1	-7.3	0	
Stage 1	-7.5	0	
Stage 1	-7.7	0	
Stage 1	-7.9	0	
Stage 1	-8.1	0	
Stage 1	-8.3	0	
Stage 1	-8.5	0	
Stage 1	-8.7	0	
Stage 1	-8.9	0	
Stage 1	-9.1	0	
Stage 1	-9.3	0	
Stage 1	-9.5	0	
Stage 1	-9.7	0	
Stage 1	-9.9	0	
Stage 1	-10.1	0	
Stage 1	-10.3	0	
Stage 1	-10.5	0	
Stage 1	-10.7	0	
Stage 1	-10.9	0	
Stage 1	-11.1	0	
Stage 1	-11.3	0	
Stage 1	-11.5	0	
Stage 1	-11.7	0	
Stage 1	-11.9	0	

Design Assumption: Nominal	Tipo Risultato: Spostamento	Muro: LEFT
Stage	Z (m)	Spostamento (mm)
Stage 1	-12	0

## Tabella Spostamento Nominal - LEFT Stage: Stage 2

Design Assumption: Nominal	Tipo Risultato: Spostamento	Muro: LEFT
Stage	Z (m)	Spostamento (mm)
Stage 2	0	0
Stage 2	-0.2	0
Stage 2	-0.4	0
Stage 2	-0.5	0
Stage 2	-0.7	0
Stage 2	-0.9	0
Stage 2	-1.1	0.01
Stage 2	-1.3	0.01
Stage 2	-1.5	0.01
Stage 2	-1.7	0.01
Stage 2	-1.9	0.01
Stage 2	-2.1	0.01
Stage 2	-2.3	0.01
Stage 2	-2.5	0.01
Stage 2	-2.7	0.01
Stage 2	-2.9	0.01
Stage 2	-3.1	0.01
Stage 2	-3.3	0.02
Stage 2	-3.5	0.02
Stage 2	-3.7	0.02
Stage 2	-3.9	0.02
Stage 2	-4.1	0.02
Stage 2	-4.3	0.02
Stage 2	-4.5	0.02
Stage 2	-4.7	0.02
Stage 2	-4.9	0.02
Stage 2	-5.1	0.02
Stage 2	-5.3	0.02
Stage 2	-5.5	0.02
Stage 2	-5.7	0.02
Stage 2	-5.9	0.02
Stage 2	-6.1	0.02
Stage 2	-6.3	0.02
Stage 2	-6.5	0.02
Stage 2	-6.7	0.02
Stage 2	-6.9	0.02
Stage 2	-7.1	0.02
Stage 2	-7.3	0.02
Stage 2	-7.5	0.02
Stage 2	-7.7	0.02
Stage 2	-7.9	0.02
Stage 2	-8.1	0.02
Stage 2	-8.3	0.02
Stage 2	-8.5	0.02
Stage 2	-8.7	0.02
Stage 2	-8.9	0.02
Stage 2	-9.1	0.02
Stage 2	-9.3	0.02
Stage 2	-9.5	0.02
Stage 2	-9.7	0.01
Stage 2	-9.9	0.01
Stage 2	-10.1	0.01
Stage 2	-10.3	0.01
Stage 2	-10.5	0.01
Stage 2	-10.7	0.01
Stage 2	-10.9	0.01
Stage 2	-11.1	0.01
Stage 2	-11.3	0.01
Stage 2	-11.5	0.01
Stage 2	-11.7	0.01
Stage 2	-11.9	0.01
Stage 2	-12	0.01

### Tabella Spostamento Nominal - LEFT Stage: Stage 3

Design Assumption: Nominal	Tipo Risultato: Spostamento	Muro: LEFT
Stage	Z (m)	Spostamento (mm)
Stage 3	0	0.74
Stage 3	-0.2	0.71
Stage 3	-0.4	0.67
Stage 3	-0.5	0.66
Stage 3	-0.7	0.62
Stage 3	-0.9	0.59
Stage 3	-1.1	0.55
Stage 3	-1.3	0.52
Stage 3	-1.5	0.48
Stage 3	-1.7	0.45
Stage 3	-1.9	0.42
Stage 3	-2.1	0.39
Stage 3	-2.3	0.36
Stage 3	-2.5	0.33
Stage 3	-2.7	0.3
Stage 3	-2.9	0.27
Stage 3	-3.1	0.25
Stage 3	-3.3	0.23
Stage 3	-3.5	0.21
Stage 3	-3.7	0.19
Stage 3	-3.9	0.17
Stage 3	-4.1	0.15
Stage 3	-4.3	0.14
Stage 3	-4.5	0.12
Stage 3	-4.7	0.11
Stage 3	-4.9	0.1
Stage 3	-5.1	0.09
Stage 3	-5.3	0.09
Stage 3	-5.5	0.08
Stage 3	-5.7	0.08
Stage 3	-5.9	0.07
Stage 3	-6.1	0.07
Stage 3	-6.3	0.07
Stage 3	-6.5	0.07
Stage 3	-6.7	0.06
Stage 3	-6.9	0.06
Stage 3	-7.1	0.06
Stage 3	-7.3	0.06
Stage 3	-7.5	0.06
Stage 3	-7.7	0.06
Stage 3	-7.9	0.06
Stage 3	-8.1	0.06
Stage 3	-8.3	0.06
Stage 3	-8.5	0.06
Stage 3	-8.7	0.06
Stage 3	-8.9	0.06
Stage 3	-9.1	0.06
Stage 3	-9.3	0.06
Stage 3	-9.5	0.06
Stage 3	-9.7	0.06
Stage 3	-9.9	0.06
Stage 3	-10.1	0.06
Stage 3	-10.3	0.06
Stage 3	-10.5	0.06
Stage 3	-10.7	0.06
Stage 3	-10.9	0.06
Stage 3	-11.1	0.06
Stage 3	-11.3	0.06
Stage 3	-11.5	0.06
Stage 3	-11.7	0.05
Stage 3	-11.9	0.05
Stage 3	-12	0.05

### Tabella Spostamento Nominal - LEFT Stage: Stage 4

Design Assumption: Nominal	Tipo Risultato: Spostamento	Muro: LEFT
Stage	Z (m)	Spostamento (mm)
Stage 4	0	0.74
Stage 4	-0.2	0.71
Stage 4	-0.4	0.67
Stage 4	-0.5	0.66
Stage 4	-0.7	0.62
Stage 4	-0.9	0.59
Stage 4	-1.1	0.55
Stage 4	-1.3	0.52
Stage 4	-1.5	0.48
Stage 4	-1.7	0.45
Stage 4	-1.9	0.42
Stage 4	-2.1	0.39
Stage 4	-2.3	0.36
Stage 4	-2.5	0.33
Stage 4	-2.7	0.3
Stage 4	-2.9	0.27
Stage 4	-3.1	0.25
Stage 4	-3.3	0.23
Stage 4	-3.5	0.21
Stage 4	-3.7	0.19
Stage 4	-3.9	0.17
Stage 4	-4.1	0.15
Stage 4	-4.3	0.14
Stage 4	-4.5	0.12
Stage 4	-4.7	0.11
Stage 4	-4.9	0.1
Stage 4	-5.1	0.09
Stage 4	-5.3	0.09
Stage 4	-5.5	0.08
Stage 4	-5.7	0.08
Stage 4	-5.9	0.07
Stage 4	-6.1	0.07
Stage 4	-6.3	0.07
Stage 4	-6.5	0.07
Stage 4	-6.7	0.06
Stage 4	-6.9	0.06
Stage 4	-7.1	0.06
Stage 4	-7.3	0.06
Stage 4	-7.5	0.06
Stage 4	-7.7	0.06
Stage 4	-7.9	0.06
Stage 4	-8.1	0.06
Stage 4	-8.3	0.06
Stage 4	-8.5	0.06
Stage 4	-8.7	0.06
Stage 4	-8.9	0.06
Stage 4	-9.1	0.06
Stage 4	-9.3	0.06
Stage 4	-9.5	0.06
Stage 4	-9.7	0.06
Stage 4	-9.9	0.06
Stage 4	-10.1	0.06
Stage 4	-10.3	0.06
Stage 4	-10.5	0.06
Stage 4	-10.7	0.06
Stage 4	-10.9	0.06
Stage 4	-11.1	0.06
Stage 4	-11.3	0.06
Stage 4	-11.5	0.06
Stage 4	-11.7	0.05
Stage 4	-11.9	0.05
Stage 4	-12	0.05



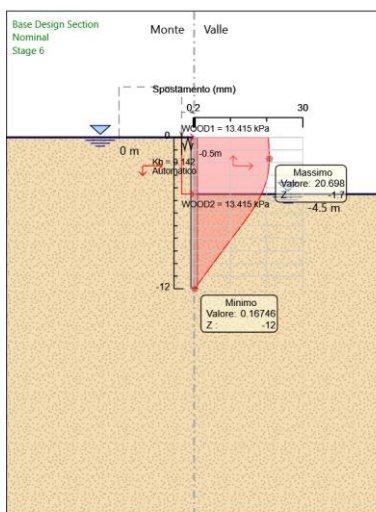
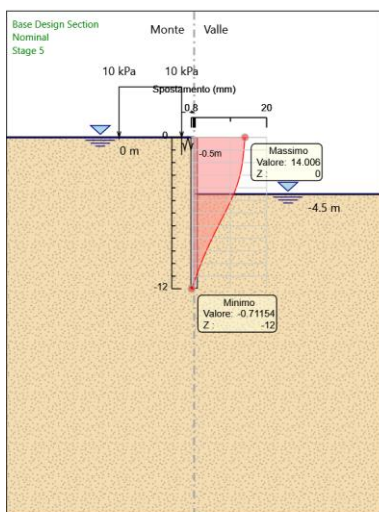
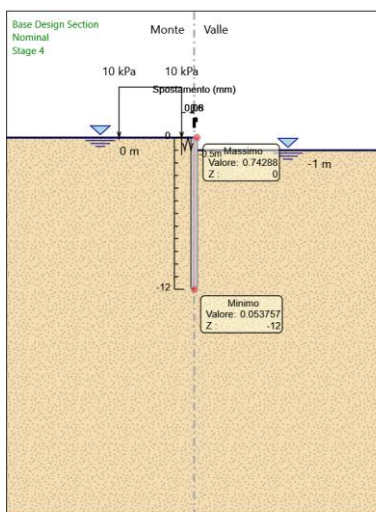
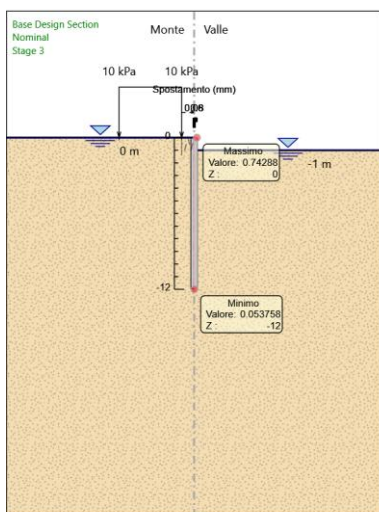
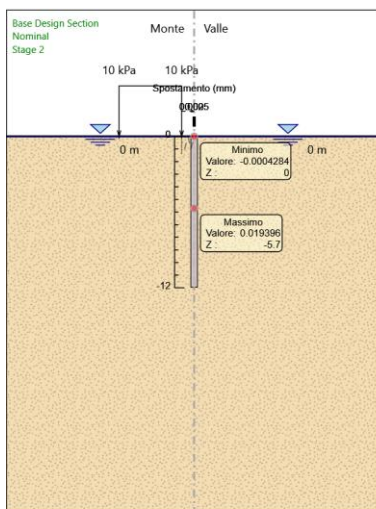
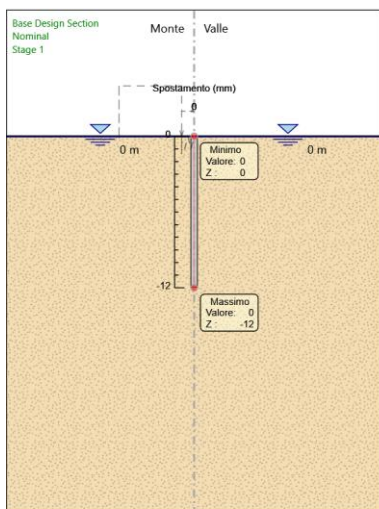
## Tabella Spostamento Nominal - LEFT Stage: Stage 5

Design Assumption: Nominal Tipo Risultato: Spostamento			Muro: LEFT
Stage	Z (m)	Spostamento (mm)	
Stage 5	0	14.01	
Stage 5	-0.2	13.95	
Stage 5	-0.4	13.89	
Stage 5	-0.5	13.86	
Stage 5	-0.7	13.8	
Stage 5	-0.9	13.74	
Stage 5	-1.1	13.67	
Stage 5	-1.3	13.6	
Stage 5	-1.5	13.53	
Stage 5	-1.7	13.45	
Stage 5	-1.9	13.35	
Stage 5	-2.1	13.25	
Stage 5	-2.3	13.14	
Stage 5	-2.5	13.01	
Stage 5	-2.7	12.87	
Stage 5	-2.9	12.71	
Stage 5	-3.1	12.54	
Stage 5	-3.3	12.35	
Stage 5	-3.5	12.15	
Stage 5	-3.7	11.93	
Stage 5	-3.9	11.7	
Stage 5	-4.1	11.45	
Stage 5	-4.3	11.18	
Stage 5	-4.5	10.9	
Stage 5	-4.7	10.61	
Stage 5	-4.9	10.3	
Stage 5	-5.1	9.99	
Stage 5	-5.3	9.66	
Stage 5	-5.5	9.32	
Stage 5	-5.7	8.98	
Stage 5	-5.9	8.63	
Stage 5	-6.1	8.28	
Stage 5	-6.3	7.93	
Stage 5	-6.5	7.57	
Stage 5	-6.7	7.22	
Stage 5	-6.9	6.86	
Stage 5	-7.1	6.51	
Stage 5	-7.3	6.16	
Stage 5	-7.5	5.81	
Stage 5	-7.7	5.47	
Stage 5	-7.9	5.13	
Stage 5	-8.1	4.79	
Stage 5	-8.3	4.47	
Stage 5	-8.5	4.14	
Stage 5	-8.7	3.83	
Stage 5	-8.9	3.51	
Stage 5	-9.1	3.21	
Stage 5	-9.3	2.91	
Stage 5	-9.5	2.62	
Stage 5	-9.7	2.33	
Stage 5	-9.9	2.04	
Stage 5	-10.1	1.77	
Stage 5	-10.3	1.49	
Stage 5	-10.5	1.23	
Stage 5	-10.7	0.96	
Stage 5	-10.9	0.7	
Stage 5	-11.1	0.44	
Stage 5	-11.3	0.18	
Stage 5	-11.5	-0.07	
Stage 5	-11.7	-0.33	
Stage 5	-11.9	-0.58	
Stage 5	-12	-0.71	

## Tabella Spostamento Nominal - LEFT Stage: Stage 6

Design Assumption: Nominal	Tipo Risultato: Spostamento	Muro: LEFT
Stage	Z (m)	Spostamento (mm)
Stage 6	0	20.46
Stage 6	-0.2	20.5
Stage 6	-0.4	20.54
Stage 6	-0.5	20.56
Stage 6	-0.7	20.6
Stage 6	-0.9	20.63
Stage 6	-1.1	20.66
Stage 6	-1.3	20.68
Stage 6	-1.5	20.7
Stage 6	-1.7	20.7
Stage 6	-1.9	20.68
Stage 6	-2.1	20.66
Stage 6	-2.3	20.61
Stage 6	-2.5	20.54
Stage 6	-2.7	20.46
Stage 6	-2.9	20.35
Stage 6	-3.1	20.22
Stage 6	-3.3	20.06
Stage 6	-3.5	19.88
Stage 6	-3.7	19.67
Stage 6	-3.9	19.43
Stage 6	-4.1	19.17
Stage 6	-4.3	18.89
Stage 6	-4.5	18.57
Stage 6	-4.7	18.23
Stage 6	-4.9	17.87
Stage 6	-5.1	17.49
Stage 6	-5.3	17.08
Stage 6	-5.5	16.65
Stage 6	-5.7	16.21
Stage 6	-5.9	15.75
Stage 6	-6.1	15.28
Stage 6	-6.3	14.79
Stage 6	-6.5	14.29
Stage 6	-6.7	13.79
Stage 6	-6.9	13.27
Stage 6	-7.1	12.76
Stage 6	-7.3	12.23
Stage 6	-7.5	11.71
Stage 6	-7.7	11.18
Stage 6	-7.9	10.66
Stage 6	-8.1	10.13
Stage 6	-8.3	9.6
Stage 6	-8.5	9.08
Stage 6	-8.7	8.55
Stage 6	-8.9	8.03
Stage 6	-9.1	7.51
Stage 6	-9.3	6.99
Stage 6	-9.5	6.48
Stage 6	-9.7	5.96
Stage 6	-9.9	5.45
Stage 6	-10.1	4.94
Stage 6	-10.3	4.44
Stage 6	-10.5	3.93
Stage 6	-10.7	3.43
Stage 6	-10.9	2.92
Stage 6	-11.1	2.42
Stage 6	-11.3	1.92
Stage 6	-11.5	1.42
Stage 6	-11.7	0.92
Stage 6	-11.9	0.42
Stage 6	-12	0.17

### Grafici Spostamento in tabella



## Risultati Paratia

### Tabella Risultati Paratia Nominal - Stage: Stage 1

Design Assumption: Nominal Risultati Paratia		Muro: LEFT	
Stage	Z (m)	Momento (kN*m/m)	Taglio (kN/m)
Stage 1	0	0	0
Stage 1	-0.2	0	0
Stage 1	-0.4	0	0
Stage 1	-0.5	0	0
Stage 1	-0.7	0	0
Stage 1	-0.9	0	0
Stage 1	-1.1	0	0
Stage 1	-1.3	0	0
Stage 1	-1.5	0	0
Stage 1	-1.7	0	0
Stage 1	-1.9	0	0
Stage 1	-2.1	0	0
Stage 1	-2.3	0	0
Stage 1	-2.5	0	0
Stage 1	-2.7	0	0
Stage 1	-2.9	0	0
Stage 1	-3.1	0	0
Stage 1	-3.3	0	0
Stage 1	-3.5	0	0
Stage 1	-3.7	0	0
Stage 1	-3.9	0	0
Stage 1	-4.1	0	0
Stage 1	-4.3	0	0
Stage 1	-4.5	0	0
Stage 1	-4.7	0	0
Stage 1	-4.9	0	0
Stage 1	-5.1	0	0
Stage 1	-5.3	0	0
Stage 1	-5.5	0	0
Stage 1	-5.7	0	0
Stage 1	-5.9	0	0
Stage 1	-6.1	0	0
Stage 1	-6.3	0	0
Stage 1	-6.5	0	0
Stage 1	-6.7	0	0
Stage 1	-6.9	0	0
Stage 1	-7.1	0	0
Stage 1	-7.3	0	0
Stage 1	-7.5	0	0
Stage 1	-7.7	0	0
Stage 1	-7.9	0	0
Stage 1	-8.1	0	0
Stage 1	-8.3	0	0
Stage 1	-8.5	0	0
Stage 1	-8.7	0	0
Stage 1	-8.9	0	0
Stage 1	-9.1	0	0
Stage 1	-9.3	0	0
Stage 1	-9.5	0	0
Stage 1	-9.7	0	0
Stage 1	-9.9	0	0
Stage 1	-10.1	0	0
Stage 1	-10.3	0	0
Stage 1	-10.5	0	0
Stage 1	-10.7	0	0
Stage 1	-10.9	0	0
Stage 1	-11.1	0	0
Stage 1	-11.3	0	0
Stage 1	-11.5	0	0
Stage 1	-11.7	0	0
Stage 1	-11.9	0	0
Stage 1	-12	0	0

### Tabella Risultati Paratia Nominal - Stage: Stage 2

Design Assumption: Nominal Risultati Paratia		Muro: LEFT	
Stage	Z (m)	Momento (kN*m/m)	Taglio (kN/m)
Stage 2	0	0	0
Stage 2	-0.2	0	0
Stage 2	-0.2	0	0
Stage 2	-0.4	0	0.02
Stage 2	-0.5	0.01	0.04
Stage 2	-0.7	0.02	0.07
Stage 2	-0.9	0.04	0.11
Stage 2	-1.1	0.07	0.15
Stage 2	-1.3	0.11	0.19
Stage 2	-1.5	0.16	0.23
Stage 2	-1.7	0.21	0.25
Stage 2	-1.9	0.26	0.24
Stage 2	-2.1	0.3	0.23
Stage 2	-2.3	0.34	0.2
Stage 2	-2.5	0.38	0.17
Stage 2	-2.7	0.41	0.14
Stage 2	-2.9	0.43	0.12
Stage 2	-3.1	0.45	0.09
Stage 2	-3.3	0.46	0.06
Stage 2	-3.5	0.47	0.04
Stage 2	-3.7	0.47	0.03
Stage 2	-3.9	0.47	0.01
Stage 2	-4.1	0.47	-0.01
Stage 2	-4.3	0.47	-0.02
Stage 2	-4.5	0.46	-0.03
Stage 2	-4.7	0.45	-0.04
Stage 2	-4.9	0.45	-0.04
Stage 2	-5.1	0.44	-0.05
Stage 2	-5.3	0.42	-0.06
Stage 2	-5.5	0.41	-0.07
Stage 2	-5.7	0.39	-0.09
Stage 2	-5.9	0.37	-0.11
Stage 2	-6.1	0.34	-0.13
Stage 2	-6.3	0.31	-0.15
Stage 2	-6.5	0.28	-0.17
Stage 2	-6.7	0.25	-0.18
Stage 2	-6.9	0.21	-0.18
Stage 2	-7.1	0.18	-0.17
Stage 2	-7.3	0.14	-0.16
Stage 2	-7.5	0.11	-0.15
Stage 2	-7.7	0.08	-0.14
Stage 2	-7.9	0.06	-0.13
Stage 2	-8.1	0.04	-0.11
Stage 2	-8.3	0.02	-0.1
Stage 2	-8.5	0	-0.08
Stage 2	-8.7	-0.01	-0.07
Stage 2	-8.9	-0.02	-0.05
Stage 2	-9.1	-0.03	-0.04
Stage 2	-9.3	-0.04	-0.03
Stage 2	-9.5	-0.04	-0.02
Stage 2	-9.7	-0.04	-0.01
Stage 2	-9.9	-0.04	0
Stage 2	-10.1	-0.04	0.01
Stage 2	-10.3	-0.03	0.02
Stage 2	-10.5	-0.03	0.02
Stage 2	-10.7	-0.03	0.03
Stage 2	-10.9	-0.02	0.03
Stage 2	-11.1	-0.01	0.03
Stage 2	-11.3	-0.01	0.03
Stage 2	-11.5	-0.01	0.02
Stage 2	-11.7	0	0.02
Stage 2	-11.9	0	0.01
Stage 2	-12	0	0



### Tabella Risultati Paratia Nominal - Stage: Stage 3

Design Assumption: Nominal Risultati Paratia		Muro: LEFT	
Stage	Z (m)	Momento (kN*m/m)	Taglio (kN/m)
Stage 3	0	0	0
Stage 3	-0.2	0	0
Stage 3	-0.2	0	0
Stage 3	-0.4	-0.1	-0.5
Stage 3	-0.5	-0.22	-1.25
Stage 3	-0.7	-0.66	-2.18
Stage 3	-0.9	-1.45	-3.94
Stage 3	-1.1	-2.69	-6.22
Stage 3	-1.3	-4.17	-7.37
Stage 3	-1.5	-5.55	-6.92
Stage 3	-1.7	-6.84	-6.47
Stage 3	-1.9	-8.05	-6.02
Stage 3	-2.1	-9.16	-5.56
Stage 3	-2.3	-10.18	-5.09
Stage 3	-2.5	-11.1	-4.61
Stage 3	-2.7	-11.92	-4.1
Stage 3	-2.9	-12.64	-3.57
Stage 3	-3.1	-13.24	-3
Stage 3	-3.3	-13.72	-2.4
Stage 3	-3.5	-14.07	-1.74
Stage 3	-3.7	-14.27	-1.03
Stage 3	-3.9	-14.33	-0.27
Stage 3	-4.1	-14.21	0.56
Stage 3	-4.3	-13.92	1.47
Stage 3	-4.5	-13.43	2.46
Stage 3	-4.7	-12.72	3.51
Stage 3	-4.9	-11.87	4.27
Stage 3	-5.1	-10.91	4.79
Stage 3	-5.3	-9.89	5.11
Stage 3	-5.5	-8.83	5.26
Stage 3	-5.7	-7.78	5.28
Stage 3	-5.9	-6.75	5.16
Stage 3	-6.1	-5.76	4.91
Stage 3	-6.3	-4.85	4.59
Stage 3	-6.5	-4	4.22
Stage 3	-6.7	-3.24	3.82
Stage 3	-6.9	-2.56	3.41
Stage 3	-7.1	-1.96	2.99
Stage 3	-7.3	-1.44	2.59
Stage 3	-7.5	-1	2.21
Stage 3	-7.7	-0.63	1.85
Stage 3	-7.9	-0.32	1.52
Stage 3	-8.1	-0.08	1.22
Stage 3	-8.3	0.11	0.95
Stage 3	-8.5	0.26	0.72
Stage 3	-8.7	0.36	0.51
Stage 3	-8.9	0.43	0.33
Stage 3	-9.1	0.46	0.18
Stage 3	-9.3	0.47	0.06
Stage 3	-9.5	0.47	-0.04
Stage 3	-9.7	0.44	-0.12
Stage 3	-9.9	0.41	-0.18
Stage 3	-10.1	0.36	-0.22
Stage 3	-10.3	0.31	-0.25
Stage 3	-10.5	0.26	-0.26
Stage 3	-10.7	0.21	-0.26
Stage 3	-10.9	0.16	-0.25
Stage 3	-11.1	0.11	-0.23
Stage 3	-11.3	0.07	-0.2
Stage 3	-11.5	0.04	-0.16
Stage 3	-11.7	0.01	-0.12
Stage 3	-11.9	0	-0.06
Stage 3	-12	0	-0.02

### Tabella Risultati Paratia Nominal - Stage: Stage 4

Design Assumption: Nominal Risultati Paratia		Muro: LEFT	
Stage	Z (m)	Momento (kN*m/m)	Taglio (kN/m)
Stage 4	0	0	0
Stage 4	-0.2	0	0
Stage 4	-0.2	0	0
Stage 4	-0.4	-0.1	-0.5
Stage 4	-0.5	-0.22	-1.25
Stage 4	-0.7	-0.66	-2.18
Stage 4	-0.9	-1.45	-3.94
Stage 4	-1.1	-2.69	-6.22
Stage 4	-1.3	-4.17	-7.37
Stage 4	-1.5	-5.55	-6.92
Stage 4	-1.7	-6.85	-6.47
Stage 4	-1.9	-8.05	-6.02
Stage 4	-2.1	-9.16	-5.56
Stage 4	-2.3	-10.18	-5.09
Stage 4	-2.5	-11.1	-4.61
Stage 4	-2.7	-11.92	-4.1
Stage 4	-2.9	-12.64	-3.57
Stage 4	-3.1	-13.24	-3
Stage 4	-3.3	-13.72	-2.4
Stage 4	-3.5	-14.07	-1.74
Stage 4	-3.7	-14.27	-1.03
Stage 4	-3.9	-14.33	-0.27
Stage 4	-4.1	-14.21	0.56
Stage 4	-4.3	-13.92	1.47
Stage 4	-4.5	-13.42	2.47
Stage 4	-4.7	-12.72	3.51
Stage 4	-4.9	-11.87	4.27
Stage 4	-5.1	-10.91	4.8
Stage 4	-5.3	-9.89	5.12
Stage 4	-5.5	-8.83	5.27
Stage 4	-5.7	-7.78	5.28
Stage 4	-5.9	-6.75	5.15
Stage 4	-6.1	-5.76	4.91
Stage 4	-6.3	-4.85	4.59
Stage 4	-6.5	-4	4.22
Stage 4	-6.7	-3.24	3.82
Stage 4	-6.9	-2.56	3.41
Stage 4	-7.1	-1.96	2.99
Stage 4	-7.3	-1.44	2.59
Stage 4	-7.5	-1	2.21
Stage 4	-7.7	-0.63	1.85
Stage 4	-7.9	-0.32	1.52
Stage 4	-8.1	-0.08	1.22
Stage 4	-8.3	0.11	0.95
Stage 4	-8.5	0.26	0.72
Stage 4	-8.7	0.36	0.51
Stage 4	-8.9	0.42	0.33
Stage 4	-9.1	0.46	0.18
Stage 4	-9.3	0.47	0.06
Stage 4	-9.5	0.47	-0.04
Stage 4	-9.7	0.44	-0.12
Stage 4	-9.9	0.41	-0.18
Stage 4	-10.1	0.36	-0.22
Stage 4	-10.3	0.31	-0.25
Stage 4	-10.5	0.26	-0.26
Stage 4	-10.7	0.21	-0.26
Stage 4	-10.9	0.16	-0.25
Stage 4	-11.1	0.11	-0.23
Stage 4	-11.3	0.07	-0.2
Stage 4	-11.5	0.04	-0.16
Stage 4	-11.7	0.01	-0.12
Stage 4	-11.9	0	-0.06
Stage 4	-12	0	-0.02

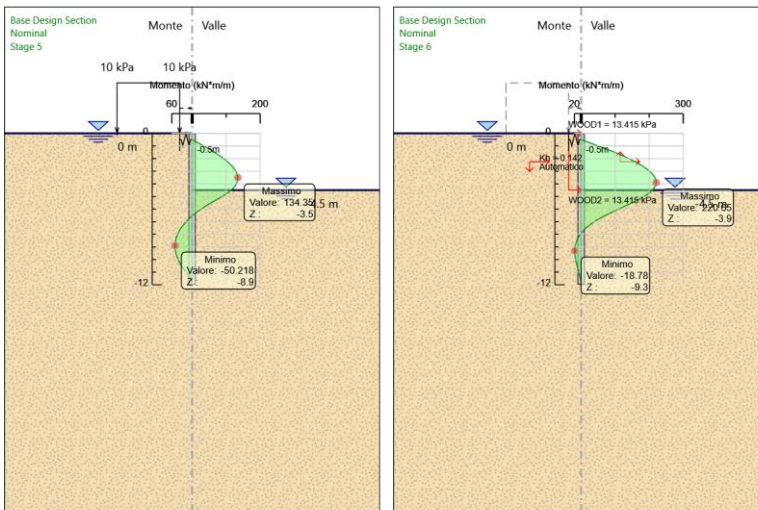
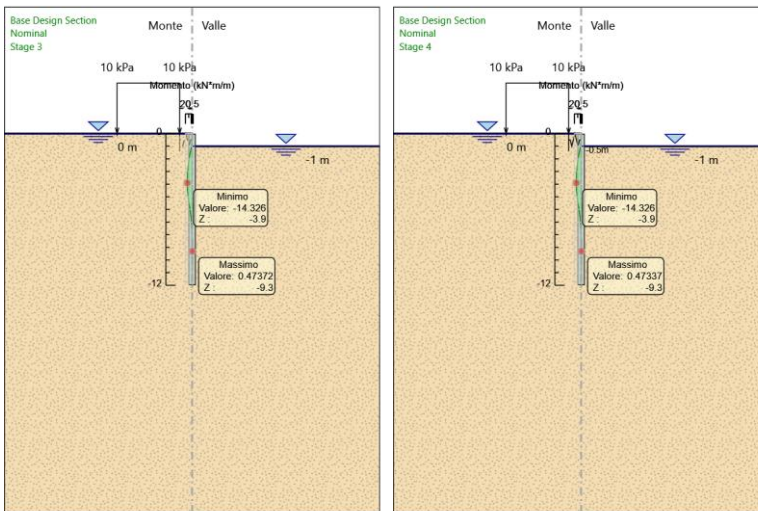
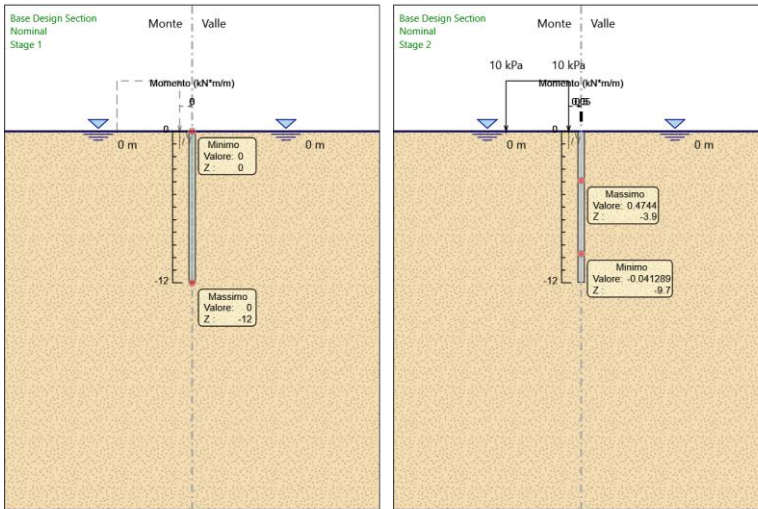
### Tabella Risultati Paratia Nominal - Stage: Stage 5

Design Assumption: Nominal Risultati Paratia		Muro: LEFT	
Stage	Z (m)	Momento (kN*m/m)	Taglio (kN/m)
Stage 5	0	0	0
Stage 5	-0.2	0	0
Stage 5	-0.2	0	0
Stage 5	-0.4	-0.09	-0.44
Stage 5	-0.5	-0.2	-1.11
Stage 5	-0.7	13.73	69.66
Stage 5	-0.9	27.35	68.1
Stage 5	-1.1	40.57	66.08
Stage 5	-1.3	53.29	63.6
Stage 5	-1.5	65.42	60.67
Stage 5	-1.7	76.88	57.28
Stage 5	-1.9	87.57	53.43
Stage 5	-2.1	97.39	49.11
Stage 5	-2.3	106.26	44.34
Stage 5	-2.5	114.08	39.11
Stage 5	-2.7	120.76	33.43
Stage 5	-2.9	126.22	27.3
Stage 5	-3.1	130.37	20.72
Stage 5	-3.3	133.11	13.69
Stage 5	-3.5	134.35	6.22
Stage 5	-3.7	134.01	-1.71
Stage 5	-3.9	131.99	-10.08
Stage 5	-4.1	128.21	-18.9
Stage 5	-4.3	122.58	-28.16
Stage 5	-4.5	115.01	-37.86
Stage 5	-4.7	105.41	-48.01
Stage 5	-4.9	94.25	-55.77
Stage 5	-5.1	82.03	-61.14
Stage 5	-5.3	69.2	-64.12
Stage 5	-5.5	56.26	-64.7
Stage 5	-5.7	43.68	-62.89
Stage 5	-5.9	31.95	-58.69
Stage 5	-6.1	21.06	-54.43
Stage 5	-6.3	11.01	-50.24
Stage 5	-6.5	1.79	-46.13
Stage 5	-6.7	-6.63	-42.1
Stage 5	-6.9	-14.26	-38.14
Stage 5	-7.1	-21.11	-34.26
Stage 5	-7.3	-27.21	-30.46
Stage 5	-7.5	-32.55	-26.74
Stage 5	-7.7	-37.17	-23.08
Stage 5	-7.9	-41.07	-19.49
Stage 5	-8.1	-44.26	-15.97
Stage 5	-8.3	-46.76	-12.51
Stage 5	-8.5	-48.58	-9.1
Stage 5	-8.7	-49.73	-5.74
Stage 5	-8.9	-50.22	-2.43
Stage 5	-9.1	-50.05	0.85
Stage 5	-9.3	-49.23	4.1
Stage 5	-9.5	-47.76	7.32
Stage 5	-9.7	-45.66	10.51
Stage 5	-9.9	-42.93	13.67
Stage 5	-10.1	-39.57	16.8
Stage 5	-10.3	-35.59	19.92
Stage 5	-10.5	-30.98	23.02
Stage 5	-10.7	-25.76	26.12
Stage 5	-10.9	-20.1	28.28
Stage 5	-11.1	-14.47	28.19
Stage 5	-11.3	-9.29	25.89
Stage 5	-11.5	-5.01	21.38
Stage 5	-11.7	-1.91	15.51
Stage 5	-11.9	-0.22	8.44
Stage 5	-12	0	2.22

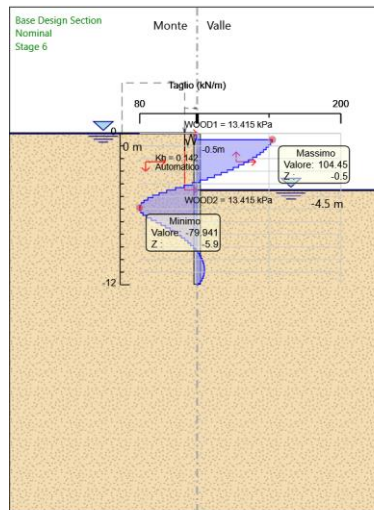
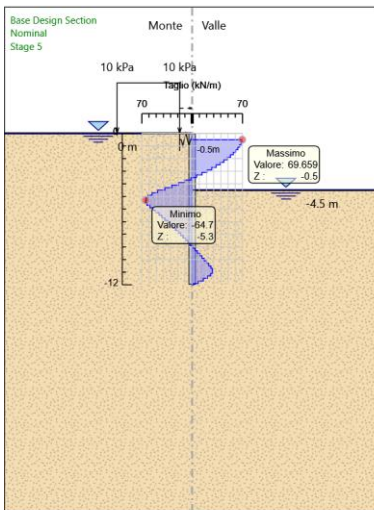
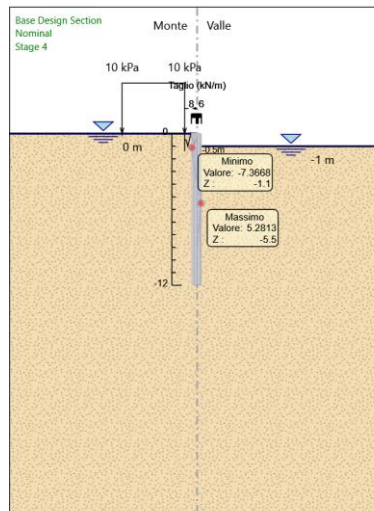
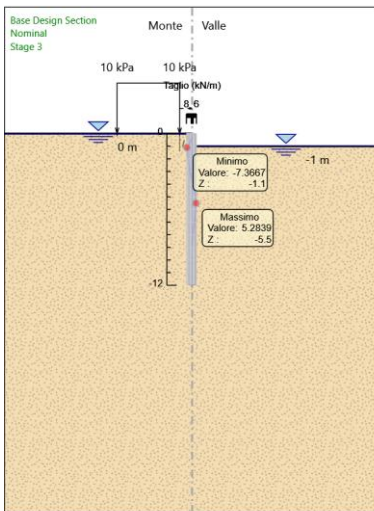
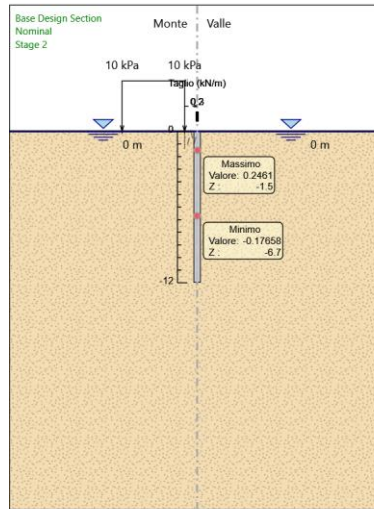
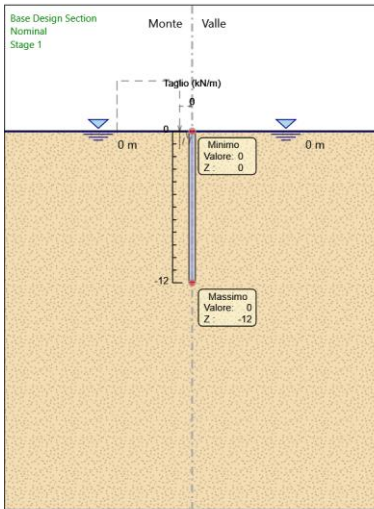
### Tabella Risultati Paratia Nominal - Stage: Stage 6

Design Assumption: Nominal Risultati Paratia		Muro: LEFT	
Stage	Z (m)	Momento (kN*m/m)	Taglio (kN/m)
Stage 6	0	0	-0.17
Stage 6	-0.2	-0.03	-0.17
Stage 6	-0.4	-0.25	-1.1
Stage 6	-0.5	-0.47	-2.19
Stage 6	-0.7	20.42	104.45
Stage 6	-0.9	40.86	102.2
Stage 6	-1.1	60.74	99.42
Stage 6	-1.3	79.96	96.11
Stage 6	-1.5	98.42	92.28
Stage 6	-1.7	116	87.9
Stage 6	-1.9	132.59	82.98
Stage 6	-2.1	148.1	77.51
Stage 6	-2.3	162.4	71.51
Stage 6	-2.5	175.39	64.97
Stage 6	-2.7	186.97	57.89
Stage 6	-2.9	197.03	50.27
Stage 6	-3.1	205.45	42.11
Stage 6	-3.3	212.13	33.41
Stage 6	-3.5	216.96	24.17
Stage 6	-3.7	219.84	14.39
Stage 6	-3.9	220.65	4.07
Stage 6	-4.1	219.3	-6.79
Stage 6	-4.3	215.66	-18.19
Stage 6	-4.5	209.63	-30.13
Stage 6	-4.7	201.14	-42.44
Stage 6	-4.9	190.57	-52.89
Stage 6	-5.1	178.24	-61.64
Stage 6	-5.3	164.5	-68.69
Stage 6	-5.5	149.69	-74.05
Stage 6	-5.7	134.15	-77.71
Stage 6	-5.9	118.22	-79.67
Stage 6	-6.1	102.23	-79.94
Stage 6	-6.3	86.53	-78.51
Stage 6	-6.5	71.45	-75.39
Stage 6	-6.7	57.34	-70.56
Stage 6	-6.9	44.53	-64.04
Stage 6	-7.1	33.13	-56.96
Stage 6	-7.3	23.09	-50.23
Stage 6	-7.5	14.32	-43.84
Stage 6	-7.7	6.76	-37.8
Stage 6	-7.9	0.34	-32.12
Stage 6	-8.1	-5.02	-26.79
Stage 6	-8.3	-9.39	-21.82
Stage 6	-8.5	-12.83	-17.21
Stage 6	-8.7	-15.42	-12.95
Stage 6	-8.9	-17.23	-9.04
Stage 6	-9.1	-18.32	-5.49
Stage 6	-9.3	-18.78	-2.28
Stage 6	-9.5	-18.67	0.57
Stage 6	-9.7	-18.05	3.08
Stage 6	-9.9	-17	5.24
Stage 6	-10.1	-15.6	7.02
Stage 6	-10.3	-13.91	8.41
Stage 6	-10.5	-12.03	9.41
Stage 6	-10.7	-10.03	10.01
Stage 6	-10.9	-7.99	10.23
Stage 6	-11.1	-5.98	10.05
Stage 6	-11.3	-4.08	9.47
Stage 6	-11.5	-2.4	8.43
Stage 6	-11.7	-1.02	6.9
Stage 6	-11.9	-0.13	4.44
Stage 6	-12	0	1.28

### Grafico Momento Nominal

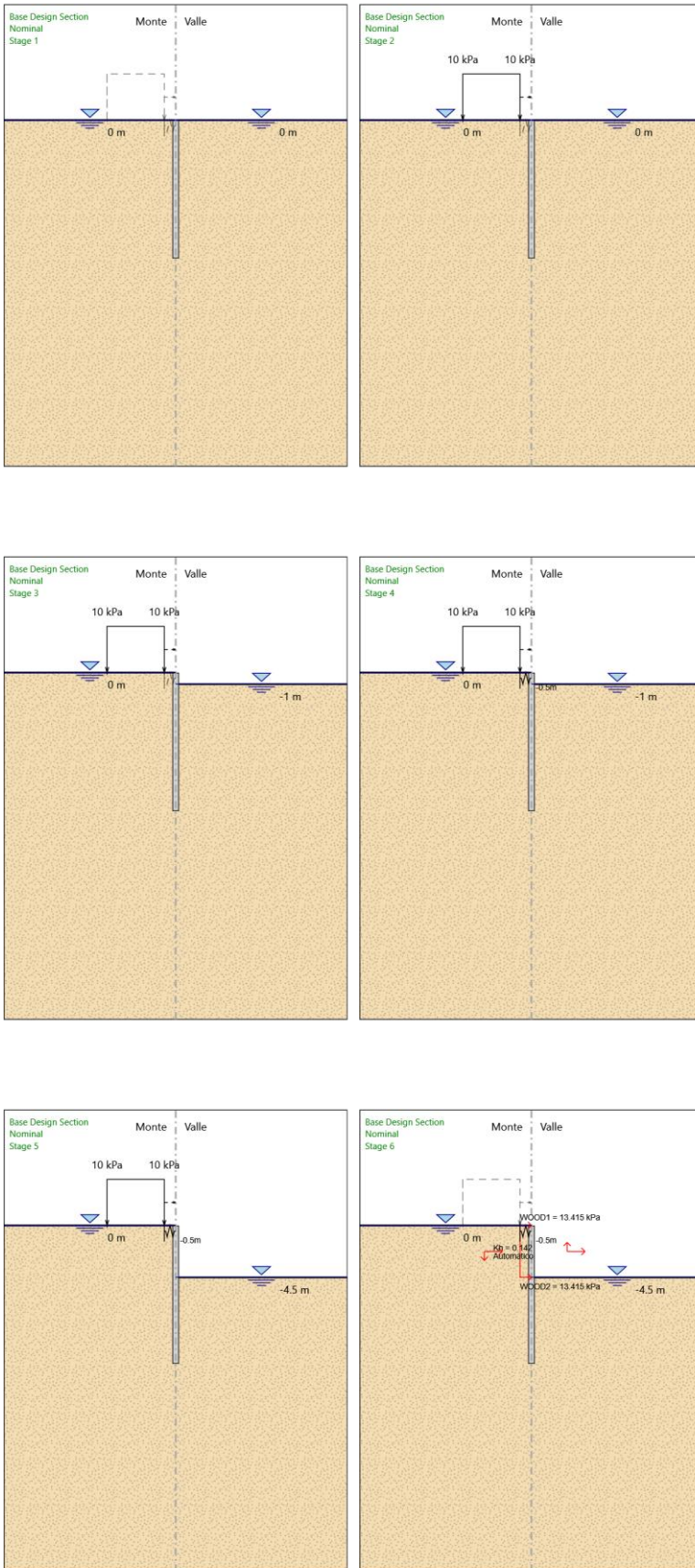


### Grafico Taglio Nominal

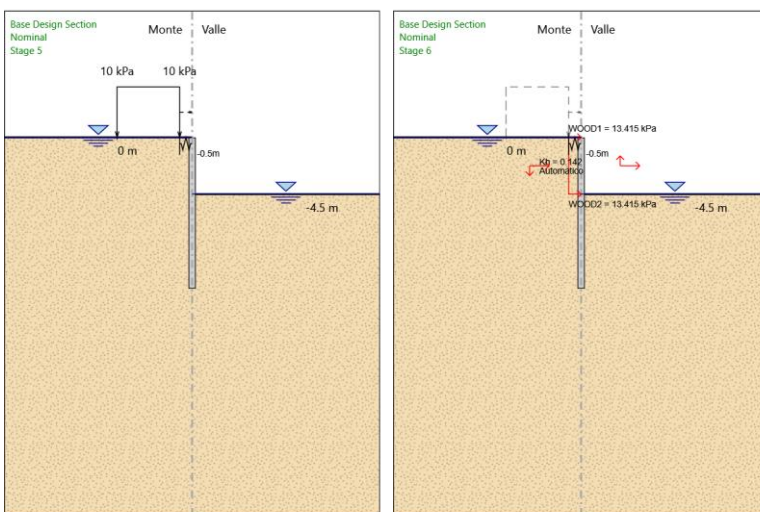
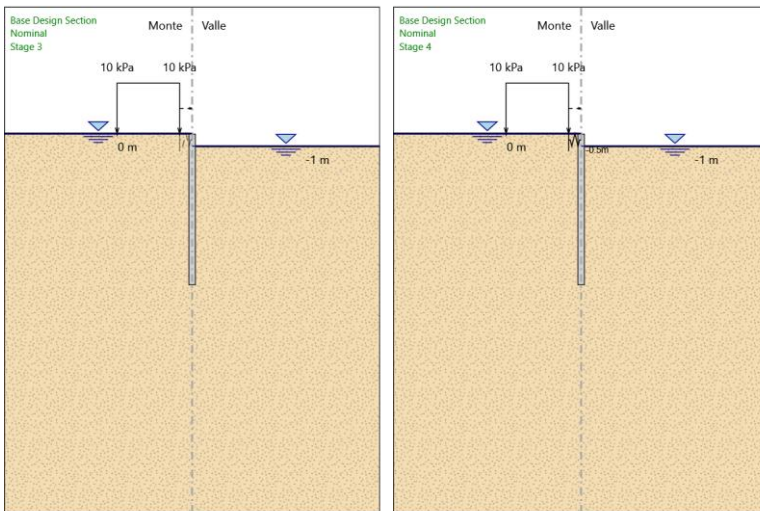
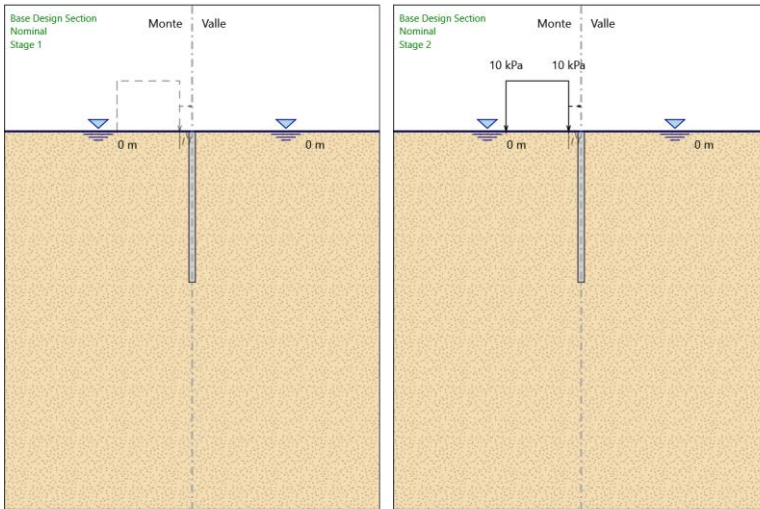




### Grafico Momento Nominal



### Grafico Taglio Nominal



## Risultati Elementi strutturali

Design Assumption: Nominal Sollecitazione Spring

Stage	Forza (kN/m)
Stage 4	-6.3092093E-06
Stage 5	71.59735
Stage 6	107.9336

## Risultati Terreno

### Tabella Risultati Terreno Left Wall - Nominal - Stage 1

Design Assumption: Nominal Risultati Terreno										
Stage	Z (m)	Sigma V (kPa)	Muro: Sigma H (kPa)	LEFT	Lato	LEFT				
				Stato	Ka	Kp	Coesione (kPa)	Pore (kPa)	Gradiente U* (kPa)	Peq (kPa)
Stage 1	0	0	0	V-C	0.2496.738	0	0	0	0	0
Stage 1	-0.2	2.2	1.1	V-C	0.2496.738	0	2	0	0	3.1
Stage 1	-0.4	4.4	2.2	V-C	0.2496.738	0	4	0	0	6.2
Stage 1	-0.5	5.5	2.75	V-C	0.2496.738	0	5	0	0	7.75
Stage 1	-0.7	7.7	3.85	V-C	0.2496.738	0	7	0	0	10.85
Stage 1	-0.9	9.9	4.95	V-C	0.2496.738	0	9	0	0	13.95
Stage 1	-1.1	12.1	6.05	V-C	0.2496.738	0	11	0	0	17.05
Stage 1	-1.3	14.3	7.15	V-C	0.2496.738	0	13	0	0	20.15
Stage 1	-1.5	16.5	8.25	V-C	0.2496.738	0	15	0	0	23.25
Stage 1	-1.7	18.7	9.35	V-C	0.2496.738	0	17	0	0	26.35
Stage 1	-1.9	20.9	10.45	V-C	0.2496.738	0	19	0	0	29.45
Stage 1	-2.1	23.1	11.55	V-C	0.2496.738	0	21	0	0	32.55
Stage 1	-2.3	25.3	12.65	V-C	0.2496.738	0	23	0	0	35.65
Stage 1	-2.5	27.5	13.75	V-C	0.2496.738	0	25	0	0	38.75
Stage 1	-2.7	29.7	14.85	V-C	0.2496.738	0	27	0	0	41.85
Stage 1	-2.9	31.9	15.95	V-C	0.2496.738	0	29	0	0	44.95
Stage 1	-3.1	34.1	17.05	V-C	0.2496.738	0	31	0	0	48.05
Stage 1	-3.3	36.3	18.15	V-C	0.2496.738	0	33	0	0	51.15
Stage 1	-3.5	38.5	19.25	V-C	0.2496.738	0	35	0	0	54.25
Stage 1	-3.7	40.7	20.35	V-C	0.2496.738	0	37	0	0	57.35
Stage 1	-3.9	42.9	21.45	V-C	0.2496.738	0	39	0	0	60.45
Stage 1	-4.1	45.1	22.55	V-C	0.2496.738	0	41	0	0	63.55
Stage 1	-4.3	47.3	23.65	V-C	0.2496.738	0	43	0	0	66.65
Stage 1	-4.5	49.5	24.75	V-C	0.2496.738	0	45	0	0	69.75
Stage 1	-4.7	51.7	25.85	V-C	0.2496.738	0	47	0	0	72.85
Stage 1	-4.9	53.9	26.95	V-C	0.2496.738	0	49	0	0	75.95
Stage 1	-5.1	56.1	28.05	V-C	0.2496.738	0	51	0	0	79.05
Stage 1	-5.3	58.3	29.15	V-C	0.2496.738	0	53	0	0	82.15
Stage 1	-5.5	60.5	30.25	V-C	0.2496.738	0	55	0	0	85.25
Stage 1	-5.7	62.7	31.35	V-C	0.2496.738	0	57	0	0	88.35
Stage 1	-5.9	64.9	32.45	V-C	0.2496.738	0	59	0	0	91.45
Stage 1	-6.1	67.1	33.55	V-C	0.2496.738	0	61	0	0	94.55
Stage 1	-6.3	69.3	34.65	V-C	0.2496.738	0	63	0	0	97.65
Stage 1	-6.5	71.5	35.75	V-C	0.2496.738	0	65	0	0	100.75
Stage 1	-6.7	73.7	36.85	V-C	0.2496.738	0	67	0	0	103.85
Stage 1	-6.9	75.9	37.95	V-C	0.2496.738	0	69	0	0	106.95
Stage 1	-7.1	78.1	39.05	V-C	0.2496.738	0	71	0	0	110.05
Stage 1	-7.3	80.3	40.15	V-C	0.2496.738	0	73	0	0	113.15
Stage 1	-7.5	82.5	41.25	V-C	0.2496.738	0	75	0	0	116.25
Stage 1	-7.7	84.7	42.35	V-C	0.2496.738	0	77	0	0	119.35
Stage 1	-7.9	86.9	43.45	V-C	0.2496.738	0	79	0	0	122.45
Stage 1	-8.1	89.1	44.55	V-C	0.2496.738	0	81	0	0	125.55
Stage 1	-8.3	91.3	45.65	V-C	0.2496.738	0	83	0	0	128.65
Stage 1	-8.5	93.5	46.75	V-C	0.2496.738	0	85	0	0	131.75
Stage 1	-8.7	95.7	47.85	V-C	0.2496.738	0	87	0	0	134.85
Stage 1	-8.9	97.9	48.95	V-C	0.2496.738	0	89	0	0	137.95
Stage 1	-9.1	100.1	50.05	V-C	0.2496.738	0	91	0	0	141.05
Stage 1	-9.3	102.3	51.15	V-C	0.2496.738	0	93	0	0	144.15
Stage 1	-9.5	104.5	52.25	V-C	0.2496.738	0	95	0	0	147.25
Stage 1	-9.7	106.7	53.35	V-C	0.2496.738	0	97	0	0	150.35
Stage 1	-9.9	108.9	54.45	V-C	0.2496.738	0	99	0	0	153.45
Stage 1	-10.1	111.1	55.55	V-C	0.2496.738	0	101	0	0	156.55
Stage 1	-10.3	113.3	56.65	V-C	0.2496.738	0	103	0	0	159.65
Stage 1	-10.5	115.5	57.75	V-C	0.2496.738	0	105	0	0	162.75
Stage 1	-10.7	117.7	58.85	V-C	0.2496.738	0	107	0	0	165.85
Stage 1	-10.9	119.9	59.95	V-C	0.2496.738	0	109	0	0	168.95
Stage 1	-11.1	122.1	61.05	V-C	0.2496.738	0	111	0	0	172.05
Stage 1	-11.3	124.3	62.15	V-C	0.2496.738	0	113	0	0	175.15
Stage 1	-11.5	126.5	63.25	V-C	0.2496.738	0	115	0	0	178.25
Stage 1	-11.7	128.7	64.35	V-C	0.2496.738	0	117	0	0	181.35
Stage 1	-11.9	130.9	65.45	V-C	0.2496.738	0	119	0	0	184.45
Stage 1	-12	132	66	V-C	0.2496.738	0	120	0	0	186

Design Assumption: Nominal Risultati Terreno										
Stage	Z (m)	Sigma V (kPa)	Sigma H (kPa)	Muro: LEFT	Lato	RIGHT				
				Stato	Ka	Kp	Coesione (kPa)	Pore (kPa)	Gradiente U* (kPa)	Peq (kPa)
Stage 1	0	0	0	V-C	0.2496.738		0	0	0	0
Stage 1	-0.2	2.2	1.1	V-C	0.2496.738		0	2	0	3.1
Stage 1	-0.4	4.4	2.2	V-C	0.2496.738		0	4	0	6.2
Stage 1	-0.5	5.5	2.75	V-C	0.2496.738		0	5	0	7.75
Stage 1	-0.7	7.7	3.85	V-C	0.2496.738		0	7	0	10.85
Stage 1	-0.9	9.9	4.95	V-C	0.2496.738		0	9	0	13.95
Stage 1	-1.1	12.1	6.05	V-C	0.2496.738		0	11	0	17.05
Stage 1	-1.3	14.3	7.15	V-C	0.2496.738		0	13	0	20.15
Stage 1	-1.5	16.5	8.25	V-C	0.2496.738		0	15	0	23.25
Stage 1	-1.7	18.7	9.35	V-C	0.2496.738		0	17	0	26.35
Stage 1	-1.9	20.9	10.45	V-C	0.2496.738		0	19	0	29.45
Stage 1	-2.1	23.1	11.55	V-C	0.2496.738		0	21	0	32.55
Stage 1	-2.3	25.3	12.65	V-C	0.2496.738		0	23	0	35.65
Stage 1	-2.5	27.5	13.75	V-C	0.2496.738		0	25	0	38.75
Stage 1	-2.7	29.7	14.85	V-C	0.2496.738		0	27	0	41.85
Stage 1	-2.9	31.9	15.95	V-C	0.2496.738		0	29	0	44.95
Stage 1	-3.1	34.1	17.05	V-C	0.2496.738		0	31	0	48.05
Stage 1	-3.3	36.3	18.15	V-C	0.2496.738		0	33	0	51.15
Stage 1	-3.5	38.5	19.25	V-C	0.2496.738		0	35	0	54.25
Stage 1	-3.7	40.7	20.35	V-C	0.2496.738		0	37	0	57.35
Stage 1	-3.9	42.9	21.45	V-C	0.2496.738		0	39	0	60.45
Stage 1	-4.1	45.1	22.55	V-C	0.2496.738		0	41	0	63.55
Stage 1	-4.3	47.3	23.65	V-C	0.2496.738		0	43	0	66.65
Stage 1	-4.5	49.5	24.75	V-C	0.2496.738		0	45	0	69.75
Stage 1	-4.7	51.7	25.85	V-C	0.2496.738		0	47	0	72.85
Stage 1	-4.9	53.9	26.95	V-C	0.2496.738		0	49	0	75.95
Stage 1	-5.1	56.1	28.05	V-C	0.2496.738		0	51	0	79.05
Stage 1	-5.3	58.3	29.15	V-C	0.2496.738		0	53	0	82.15
Stage 1	-5.5	60.5	30.25	V-C	0.2496.738		0	55	0	85.25
Stage 1	-5.7	62.7	31.35	V-C	0.2496.738		0	57	0	88.35
Stage 1	-5.9	64.9	32.45	V-C	0.2496.738		0	59	0	91.45
Stage 1	-6.1	67.1	33.55	V-C	0.2496.738		0	61	0	94.55
Stage 1	-6.3	69.3	34.65	V-C	0.2496.738		0	63	0	97.65
Stage 1	-6.5	71.5	35.75	V-C	0.2496.738		0	65	0	100.75
Stage 1	-6.7	73.7	36.85	V-C	0.2496.738		0	67	0	103.85
Stage 1	-6.9	75.9	37.95	V-C	0.2496.738		0	69	0	106.95
Stage 1	-7.1	78.1	39.05	V-C	0.2496.738		0	71	0	110.05
Stage 1	-7.3	80.3	40.15	V-C	0.2496.738		0	73	0	113.15
Stage 1	-7.5	82.5	41.25	V-C	0.2496.738		0	75	0	116.25
Stage 1	-7.7	84.7	42.35	V-C	0.2496.738		0	77	0	119.35
Stage 1	-7.9	86.9	43.45	V-C	0.2496.738		0	79	0	122.45
Stage 1	-8.1	89.1	44.55	V-C	0.2496.738		0	81	0	125.55
Stage 1	-8.3	91.3	45.65	V-C	0.2496.738		0	83	0	128.65
Stage 1	-8.5	93.5	46.75	V-C	0.2496.738		0	85	0	131.75
Stage 1	-8.7	95.7	47.85	V-C	0.2496.738		0	87	0	134.85
Stage 1	-8.9	97.9	48.95	V-C	0.2496.738		0	89	0	137.95
Stage 1	-9.1	100.1	50.05	V-C	0.2496.738		0	91	0	141.05
Stage 1	-9.3	102.3	51.15	V-C	0.2496.738		0	93	0	144.15
Stage 1	-9.5	104.5	52.25	V-C	0.2496.738		0	95	0	147.25
Stage 1	-9.7	106.7	53.35	V-C	0.2496.738		0	97	0	150.35
Stage 1	-9.9	108.9	54.45	V-C	0.2496.738		0	99	0	153.45
Stage 1	-10.1	111.1	55.55	V-C	0.2496.738		0	101	0	156.55
Stage 1	-10.3	113.3	56.65	V-C	0.2496.738		0	103	0	159.65
Stage 1	-10.5	115.5	57.75	V-C	0.2496.738		0	105	0	162.75
Stage 1	-10.7	117.7	58.85	V-C	0.2496.738		0	107	0	165.85
Stage 1	-10.9	119.9	59.95	V-C	0.2496.738		0	109	0	168.95
Stage 1	-11.1	122.1	61.05	V-C	0.2496.738		0	111	0	172.05
Stage 1	-11.3	124.3	62.15	V-C	0.2496.738		0	113	0	175.15
Stage 1	-11.5	126.5	63.25	V-C	0.2496.738		0	115	0	178.25
Stage 1	-11.7	128.7	64.35	V-C	0.2496.738		0	117	0	181.35
Stage 1	-11.9	130.9	65.45	V-C	0.2496.738		0	119	0	184.45
Stage 1	-12	132	66	V-C	0.2496.738		0	120	0	186



### Tabella Risultati Terreno Left Wall - Nominal - Stage 2

Design Assumption: Nominal Risultati Terreno			Muro:	LEFT	Lato	LEFT				
Stage	Z (m)	Sigma V (kPa)	Sigma H (kPa)	Stato	Ka	Kp	Coesione (kPa)	Pore (kPa)	Gradiente U* (kPa)	Peq (kPa)
Stage 2	0	0	0	PASSIVE	0.2496.738		0	0	0	0
Stage 2	-0.2	2.216	1.035	UL-RL	0.2496.738		0	2	0	3.035
Stage 2	-0.4	4.513	2.063	UL-RL	0.2496.738		0	4	0	6.063
Stage 2	-0.5	5.701	2.597	UL-RL	0.2496.738		0	5	0	7.597
Stage 2	-0.7	8.145	3.698	UL-RL	0.2496.738		0	7	0	10.698
Stage 2	-0.9	10.643	4.826	UL-RL	0.2496.738		0	9	0	13.826
Stage 2	-1.1	13.155	5.962	UL-RL	0.2496.738		0	11	0	16.962
Stage 2	-1.3	15.654	7.093	UL-RL	0.2496.738		0	13	0	20.093
Stage 2	-1.5	18.307	8.301	UL-RL	0.2496.738		0	15	0	23.301
Stage 2	-1.7	20.986	9.526	UL-RL	0.2496.738		0	17	0	26.526
Stage 2	-1.9	23.583	10.712	UL-RL	0.2496.738		0	19	0	29.712
Stage 2	-2.1	26.116	11.869	UL-RL	0.2496.738		0	21	0	32.869
Stage 2	-2.3	28.6	13.007	UL-RL	0.2496.738		0	23	0	36.007
Stage 2	-2.5	31.045	14.129	UL-RL	0.2496.738		0	25	0	39.129
Stage 2	-2.7	33.459	15.241	UL-RL	0.2496.738		0	27	0	42.241
Stage 2	-2.9	35.848	16.345	UL-RL	0.2496.738		0	29	0	45.345
Stage 2	-3.1	38.215	17.445	UL-RL	0.2496.738		0	31	0	48.445
Stage 2	-3.3	40.564	18.542	UL-RL	0.2496.738		0	33	0	51.542
Stage 2	-3.5	42.899	19.637	UL-RL	0.2496.738		0	35	0	54.637
Stage 2	-3.7	45.287	20.766	UL-RL	0.2496.738		0	37	0	57.766
Stage 2	-3.9	47.594	21.86	UL-RL	0.2496.738		0	39	0	60.86
Stage 2	-4.1	49.83	22.926	UL-RL	0.2496.738		0	41	0	63.926
Stage 2	-4.3	52.122	24.026	UL-RL	0.2496.738		0	43	0	67.026
Stage 2	-4.5	54.407	25.128	UL-RL	0.2496.738		0	45	0	70.128
Stage 2	-4.7	56.685	26.233	UL-RL	0.2496.738		0	47	0	73.233
Stage 2	-4.9	58.957	27.342	UL-RL	0.2496.738		0	49	0	76.342
Stage 2	-5.1	61.225	28.454	UL-RL	0.2496.738		0	51	0	79.454
Stage 2	-5.3	63.487	29.57	UL-RL	0.2496.738		0	53	0	82.57
Stage 2	-5.5	65.745	30.689	UL-RL	0.2496.738		0	55	0	85.689
Stage 2	-5.7	68	31.812	UL-RL	0.2496.738		0	57	0	88.812
Stage 2	-5.9	70.251	32.938	UL-RL	0.2496.738		0	59	0	91.938
Stage 2	-6.1	72.417	34.027	UL-RL	0.2496.738		0	61	0	95.027
Stage 2	-6.3	74.503	35.081	UL-RL	0.2496.738		0	63	0	98.081
Stage 2	-6.5	76.595	36.142	UL-RL	0.2496.738		0	65	0	101.142
Stage 2	-6.7	78.691	37.208	UL-RL	0.2496.738		0	67	0	104.208
Stage 2	-6.9	80.791	38.28	UL-RL	0.2496.738		0	69	0	107.28
Stage 2	-7.1	82.896	39.357	UL-RL	0.2496.738		0	71	0	110.357
Stage 2	-7.3	85.004	40.438	UL-RL	0.2496.738		0	73	0	113.438
Stage 2	-7.5	87.115	41.523	UL-RL	0.2496.738		0	75	0	116.523
Stage 2	-7.7	89.23	42.611	UL-RL	0.2496.738		0	77	0	119.611
Stage 2	-7.9	91.348	43.702	UL-RL	0.2496.738		0	79	0	122.702
Stage 2	-8.1	93.469	44.795	UL-RL	0.2496.738		0	81	0	125.795
Stage 2	-8.3	95.593	45.89	UL-RL	0.2496.738		0	83	0	128.89
Stage 2	-8.5	97.719	46.986	UL-RL	0.2496.738		0	85	0	131.986
Stage 2	-8.7	99.848	48.084	UL-RL	0.2496.738		0	87	0	135.084
Stage 2	-8.9	101.98	49.183	UL-RL	0.2496.738		0	89	0	138.183
Stage 2	-9.1	104.113	50.282	UL-RL	0.2496.738		0	91	0	141.282
Stage 2	-9.3	106.249	51.382	UL-RL	0.2496.738		0	93	0	144.382
Stage 2	-9.5	108.387	52.483	UL-RL	0.2496.738		0	95	0	147.483
Stage 2	-9.7	110.527	53.584	UL-RL	0.2496.738		0	97	0	150.584
Stage 2	-9.9	112.668	54.686	UL-RL	0.2496.738		0	99	0	153.686
Stage 2	-10.1	114.812	55.788	UL-RL	0.2496.738		0	101	0	156.787
Stage 2	-10.3	116.957	56.89	UL-RL	0.2496.738		0	103	0	159.89
Stage 2	-10.5	119.103	57.992	UL-RL	0.2496.738		0	105	0	162.992
Stage 2	-10.7	121.252	59.095	UL-RL	0.2496.738		0	107	0	166.095
Stage 2	-10.9	123.401	60.198	UL-RL	0.2496.738		0	109	0	169.198
Stage 2	-11.1	125.553	61.302	UL-RL	0.2496.738		0	111	0	172.302
Stage 2	-11.3	127.705	62.406	UL-RL	0.2496.738		0	113	0	175.406
Stage 2	-11.5	129.859	63.511	UL-RL	0.2496.738		0	115	0	178.511
Stage 2	-11.7	132.014	64.616	UL-RL	0.2496.738		0	117	0	181.616
Stage 2	-11.9	134.17	65.722	UL-RL	0.2496.738		0	119	0	184.722
Stage 2	-12	135.249	66.275	UL-RL	0.2496.738		0	120	0	186.275



Design Assumption: Nominal Risultati Terreno										
Stage	Z (m)	Sigma V (kPa)	Sigma H (kPa)	Muro: LEFT	Lato	RIGHT				
				Stato	Ka	Kp	Coesione (kPa)	Pore (kPa)	Gradiente U* (kPa)	Peq (kPa)
Stage 2	0	0	0	ACTIVE	0.249	6.738	0	0	0	0
Stage 2	-0.2	2.2	1.112	V-C	0.249	6.738	0	2	0	3.112
Stage 2	-0.4	4.4	2.232	V-C	0.249	6.738	0	4	0	6.232
Stage 2	-0.5	5.5	2.792	V-C	0.249	6.738	0	5	0	7.792
Stage 2	-0.7	7.7	3.912	V-C	0.249	6.738	0	7	0	10.912
Stage 2	-0.9	9.9	5.032	V-C	0.249	6.738	0	9	0	14.032
Stage 2	-1.1	12.1	6.152	V-C	0.249	6.738	0	11	0	17.152
Stage 2	-1.3	14.3	7.272	V-C	0.249	6.738	0	13	0	20.272
Stage 2	-1.5	16.5	8.391	V-C	0.249	6.738	0	15	0	23.391
Stage 2	-1.7	18.7	9.51	V-C	0.249	6.738	0	17	0	26.51
Stage 2	-1.9	20.9	10.629	V-C	0.249	6.738	0	19	0	29.629
Stage 2	-2.1	23.1	11.747	V-C	0.249	6.738	0	21	0	32.747
Stage 2	-2.3	25.3	12.864	V-C	0.249	6.738	0	23	0	35.864
Stage 2	-2.5	27.5	13.981	V-C	0.249	6.738	0	25	0	38.981
Stage 2	-2.7	29.7	15.097	V-C	0.249	6.738	0	27	0	42.097
Stage 2	-2.9	31.9	16.212	V-C	0.249	6.738	0	29	0	45.212
Stage 2	-3.1	34.1	17.326	V-C	0.249	6.738	0	31	0	48.326
Stage 2	-3.3	36.3	18.438	V-C	0.249	6.738	0	33	0	51.438
Stage 2	-3.5	38.5	19.55	V-C	0.249	6.738	0	35	0	54.55
Stage 2	-3.7	40.7	20.661	V-C	0.249	6.738	0	37	0	57.661
Stage 2	-3.9	42.9	21.771	V-C	0.249	6.738	0	39	0	60.771
Stage 2	-4.1	45.1	22.88	V-C	0.249	6.738	0	41	0	63.88
Stage 2	-4.3	47.3	23.987	V-C	0.249	6.738	0	43	0	66.987
Stage 2	-4.5	49.5	25.094	V-C	0.249	6.738	0	45	0	70.094
Stage 2	-4.7	51.7	26.2	V-C	0.249	6.738	0	47	0	73.2
Stage 2	-4.9	53.9	27.304	V-C	0.249	6.738	0	49	0	76.304
Stage 2	-5.1	56.1	28.408	V-C	0.249	6.738	0	51	0	79.408
Stage 2	-5.3	58.3	29.51	V-C	0.249	6.738	0	53	0	82.51
Stage 2	-5.5	60.5	30.612	V-C	0.249	6.738	0	55	0	85.612
Stage 2	-5.7	62.7	31.713	V-C	0.249	6.738	0	57	0	88.713
Stage 2	-5.9	64.9	32.812	V-C	0.249	6.738	0	59	0	91.812
Stage 2	-6.1	67.1	33.911	V-C	0.249	6.738	0	61	0	94.911
Stage 2	-6.3	69.3	35.01	V-C	0.249	6.738	0	63	0	98.01
Stage 2	-6.5	71.5	36.107	V-C	0.249	6.738	0	65	0	101.107
Stage 2	-6.7	73.7	37.204	V-C	0.249	6.738	0	67	0	104.204
Stage 2	-6.9	75.9	38.301	V-C	0.249	6.738	0	69	0	107.3
Stage 2	-7.1	78.1	39.396	V-C	0.249	6.738	0	71	0	110.396
Stage 2	-7.3	80.3	40.492	V-C	0.249	6.738	0	73	0	113.492
Stage 2	-7.5	82.5	41.587	V-C	0.249	6.738	0	75	0	116.587
Stage 2	-7.7	84.7	42.682	V-C	0.249	6.738	0	77	0	119.682
Stage 2	-7.9	86.9	43.777	V-C	0.249	6.738	0	79	0	122.777
Stage 2	-8.1	89.1	44.871	V-C	0.249	6.738	0	81	0	125.871
Stage 2	-8.3	91.3	45.966	V-C	0.249	6.738	0	83	0	128.966
Stage 2	-8.5	93.5	47.06	V-C	0.249	6.738	0	85	0	132.06
Stage 2	-8.7	95.7	48.155	V-C	0.249	6.738	0	87	0	135.155
Stage 2	-8.9	97.9	49.249	V-C	0.249	6.738	0	89	0	138.249
Stage 2	-9.1	100.1	50.344	V-C	0.249	6.738	0	91	0	141.344
Stage 2	-9.3	102.3	51.439	V-C	0.249	6.738	0	93	0	144.439
Stage 2	-9.5	104.5	52.533	V-C	0.249	6.738	0	95	0	147.533
Stage 2	-9.7	106.7	53.628	V-C	0.249	6.738	0	97	0	150.628
Stage 2	-9.9	108.9	54.723	V-C	0.249	6.738	0	99	0	153.723
Stage 2	-10.1	111.1	55.818	V-C	0.249	6.738	0	101	0	156.818
Stage 2	-10.3	113.3	56.913	V-C	0.249	6.738	0	103	0	159.913
Stage 2	-10.5	115.5	58.008	V-C	0.249	6.738	0	105	0	163.008
Stage 2	-10.7	117.7	59.104	V-C	0.249	6.738	0	107	0	166.104
Stage 2	-10.9	119.9	60.199	V-C	0.249	6.738	0	109	0	169.199
Stage 2	-11.1	122.1	61.294	V-C	0.249	6.738	0	111	0	172.294
Stage 2	-11.3	124.3	62.39	V-C	0.249	6.738	0	113	0	175.39
Stage 2	-11.5	126.5	63.485	V-C	0.249	6.738	0	115	0	178.485
Stage 2	-11.7	128.7	64.58	V-C	0.249	6.738	0	117	0	181.58
Stage 2	-11.9	130.9	65.676	V-C	0.249	6.738	0	119	0	184.676
Stage 2	-12	132	66.224	V-C	0.249	6.738	0	120	0	186.224

### Tabella Risultati Terreno Left Wall - Nominal - Stage 3

Design Assumption: Nominal Risultati Terreno			Muro:	LEFT	Lato	LEFT				
Stage	Z (m)	Sigma V (kPa)	Sigma H (kPa)	Stato	Ka	Kp	Coesione (kPa)	Pore (kPa)	Gradiente U* (kPa)	Peq (kPa)
Stage 3	0	0	0	ACTIVE	0.249	6.738	0	0	0	0
Stage 3	-0.2	2.303	0.573	ACTIVE	0.249	6.738	0	1.913	0.043	0 2.487
Stage 3	-0.4	4.687	1.167	ACTIVE	0.249	6.738	0	3.826	0.043	0 4.993
Stage 3	-0.5	5.919	1.474	ACTIVE	0.249	6.738	0	4.783	0.043	0 6.256
Stage 3	-0.7	8.45	2.104	ACTIVE	0.249	6.738	0	6.696	0.043	0 8.8
Stage 3	-0.9	11.034	2.748	ACTIVE	0.249	6.738	0	8.609	0.043	0 11.356
Stage 3	-1.1	13.633	3.395	ACTIVE	0.249	6.738	0	10.522	0.043	0 13.916
Stage 3	-1.3	16.219	4.039	ACTIVE	0.249	6.738	0	12.435	0.043	0 16.473
Stage 3	-1.5	18.959	4.721	ACTIVE	0.249	6.738	0	14.348	0.043	0 19.069
Stage 3	-1.7	21.725	5.41	ACTIVE	0.249	6.738	0	16.261	0.043	0 21.67
Stage 3	-1.9	24.409	6.078	ACTIVE	0.249	6.738	0	18.174	0.043	0 24.252
Stage 3	-2.1	27.029	6.73	ACTIVE	0.249	6.738	0	20.087	0.043	0 26.817
Stage 3	-2.3	29.6	7.37	ACTIVE	0.249	6.738	0	22	0.043	0 29.37
Stage 3	-2.5	32.132	8.001	ACTIVE	0.249	6.738	0	23.913	0.043	0 31.914
Stage 3	-2.7	34.633	8.624	ACTIVE	0.249	6.738	0	25.826	0.043	0 34.45
Stage 3	-2.9	37.109	9.24	ACTIVE	0.249	6.738	0	27.739	0.043	0 36.979
Stage 3	-3.1	39.563	9.851	ACTIVE	0.249	6.738	0	29.652	0.043	0 39.503
Stage 3	-3.3	41.999	10.458	ACTIVE	0.249	6.738	0	31.565	0.043	0 42.023
Stage 3	-3.5	44.42	11.061	ACTIVE	0.249	6.738	0	33.478	0.043	0 44.539
Stage 3	-3.7	46.896	11.677	ACTIVE	0.249	6.738	0	35.391	0.043	0 47.068
Stage 3	-3.9	49.289	12.273	ACTIVE	0.249	6.738	0	37.304	0.043	0 49.577
Stage 3	-4.1	51.613	12.852	ACTIVE	0.249	6.738	0	39.217	0.043	0 52.069
Stage 3	-4.3	53.992	13.444	ACTIVE	0.249	6.738	0	41.13	0.043	0 54.574
Stage 3	-4.5	56.364	14.202	UL-RL	0.249	6.738	0	43.043	0.043	0 57.246
Stage 3	-4.7	58.729	16.666	UL-RL	0.249	6.738	0	44.957	0.043	0 61.623
Stage 3	-4.9	61.088	18.956	UL-RL	0.249	6.738	0	46.87	0.043	0 65.826
Stage 3	-5.1	63.442	21.083	UL-RL	0.249	6.738	0	48.783	0.043	0 69.866
Stage 3	-5.3	65.791	23.06	UL-RL	0.249	6.738	0	50.696	0.043	0 73.756
Stage 3	-5.5	68.137	24.902	UL-RL	0.249	6.738	0	52.609	0.043	0 77.511
Stage 3	-5.7	70.478	26.622	UL-RL	0.249	6.738	0	54.522	0.043	0 81.144
Stage 3	-5.9	72.816	28.236	UL-RL	0.249	6.738	0	56.435	0.043	0 84.67
Stage 3	-6.1	75.069	29.715	UL-RL	0.249	6.738	0	58.348	0.043	0 88.063
Stage 3	-6.3	77.242	31.077	UL-RL	0.249	6.738	0	60.261	0.043	0 91.338
Stage 3	-6.5	79.421	32.376	UL-RL	0.249	6.738	0	62.174	0.043	0 94.549
Stage 3	-6.7	81.604	33.622	UL-RL	0.249	6.738	0	64.087	0.043	0 97.709
Stage 3	-6.9	83.791	34.827	UL-RL	0.249	6.738	0	66	0.043	0 100.827
Stage 3	-7.1	85.983	35.999	UL-RL	0.249	6.738	0	67.913	0.043	0 103.912
Stage 3	-7.3	88.178	37.146	UL-RL	0.249	6.738	0	69.826	0.043	0 106.972
Stage 3	-7.5	90.376	38.275	UL-RL	0.249	6.738	0	71.739	0.043	0 110.014
Stage 3	-7.7	92.578	39.392	UL-RL	0.249	6.738	0	73.652	0.043	0 113.044
Stage 3	-7.9	94.783	40.503	UL-RL	0.249	6.738	0	75.565	0.043	0 116.068
Stage 3	-8.1	96.991	41.61	UL-RL	0.249	6.738	0	77.478	0.043	0 119.088
Stage 3	-8.3	99.202	42.717	UL-RL	0.249	6.738	0	79.391	0.043	0 122.108
Stage 3	-8.5	101.415	43.827	UL-RL	0.249	6.738	0	81.304	0.043	0 125.132
Stage 3	-8.7	103.631	44.942	UL-RL	0.249	6.738	0	83.217	0.043	0 128.159
Stage 3	-8.9	105.849	46.063	UL-RL	0.249	6.738	0	85.13	0.043	0 131.193
Stage 3	-9.1	108.07	47.19	UL-RL	0.249	6.738	0	87.043	0.043	0 134.234
Stage 3	-9.3	110.293	48.325	UL-RL	0.249	6.738	0	88.956	0.043	0 137.281
Stage 3	-9.5	112.517	49.467	UL-RL	0.249	6.738	0	90.87	0.043	0 140.337
Stage 3	-9.7	114.744	50.617	UL-RL	0.249	6.738	0	92.783	0.043	0 143.399
Stage 3	-9.9	116.973	51.773	UL-RL	0.249	6.738	0	94.696	0.043	0 146.468
Stage 3	-10.1	119.203	52.935	UL-RL	0.249	6.738	0	96.609	0.043	0 149.544
Stage 3	-10.3	121.435	54.104	UL-RL	0.249	6.738	0	98.522	0.043	0 152.625
Stage 3	-10.5	123.669	55.277	UL-RL	0.249	6.738	0	100.435	0.043	0 155.712
Stage 3	-10.7	125.904	56.455	UL-RL	0.249	6.738	0	102.348	0.043	0 158.802
Stage 3	-10.9	128.141	57.636	UL-RL	0.249	6.738	0	104.261	0.043	0 161.897
Stage 3	-11.1	130.379	58.82	UL-RL	0.249	6.738	0	106.174	0.043	0 164.994
Stage 3	-11.3	132.618	60.006	UL-RL	0.249	6.738	0	108.087	0.043	0 168.093
Stage 3	-11.5	134.859	61.194	UL-RL	0.249	6.738	0	110	0.043	0 171.194
Stage 3	-11.7	137.101	62.383	UL-RL	0.249	6.738	0	111.913	0.043	0 174.296
Stage 3	-11.9	139.344	63.573	UL-RL	0.249	6.738	0	113.826	0.043	0 177.399
Stage 3	-12	140.466	64.168	UL-RL	0.249	6.738	0	114.783	0.043	0 178.951

Design Assumption: Nominal Risultati Terreno											
Stage	Z (m)	Muro:		LEFT		Lato		RIGHT			
		Sigma V (kPa)	Sigma H (kPa)	Stato	Ka	Kp	Coesione (kPa)	Pore (kPa)	Gradiente U* (kPa)	Peq (kPa)	
Stage 3	0	0	0	REMOVED	0	0	0	0	0	0	0
Stage 3	-0.2	0	0	REMOVED	0	0	0	0	0	0	0
Stage 3	-0.4	0	0	REMOVED	0	0	0	0	0	0	0
Stage 3	-0.5	0	0	REMOVED	0	0	0	0	0	0	0
Stage 3	-0.7	0	0	REMOVED	0	0	0	0	0	0	0
Stage 3	-0.9	0	0	REMOVED	0	0	0	0	0	0	0
Stage 3	-1.1	1.057	7.119	PASSIVE	0.2496.738	0	0	1.043	0.043	0	8.162
Stage 3	-1.3	3.17	15.569	V-C	0.2496.738	0	0	3.13	0.043	0	18.699
Stage 3	-1.5	5.283	16.106	V-C	0.2496.738	0	0	5.217	0.043	0	21.324
Stage 3	-1.7	7.396	16.626	V-C	0.2496.738	0	0	7.304	0.043	0	23.931
Stage 3	-1.9	9.509	17.147	V-C	0.2496.738	0	0	9.391	0.043	0	26.538
Stage 3	-2.1	11.622	17.678	V-C	0.2496.738	0	0	11.478	0.043	0	29.156
Stage 3	-2.3	13.735	18.224	V-C	0.2496.738	0	0	13.565	0.043	0	31.789
Stage 3	-2.5	15.848	18.789	V-C	0.2496.738	0	0	15.652	0.043	0	34.441
Stage 3	-2.7	17.961	19.376	V-C	0.2496.738	0	0	17.739	0.043	0	37.115
Stage 3	-2.9	20.074	19.988	V-C	0.2496.738	0	0	19.826	0.043	0	39.814
Stage 3	-3.1	22.187	20.628	V-C	0.2496.738	0	0	21.913	0.043	0	42.541
Stage 3	-3.3	24.3	21.295	V-C	0.2496.738	0	0	24	0.043	0	45.295
Stage 3	-3.5	26.413	21.993	V-C	0.2496.738	0	0	26.087	0.043	0	48.08
Stage 3	-3.7	28.526	22.721	V-C	0.2496.738	0	0	28.174	0.043	0	50.895
Stage 3	-3.9	30.639	23.48	V-C	0.2496.738	0	0	30.261	0.043	0	53.741
Stage 3	-4.1	32.752	24.272	V-C	0.2496.738	0	0	32.348	0.043	0	56.619
Stage 3	-4.3	34.865	25.094	V-C	0.2496.738	0	0	34.435	0.043	0	59.529
Stage 3	-4.5	36.978	25.947	V-C	0.2496.738	0	0	36.522	0.043	0	62.469
Stage 3	-4.7	39.091	26.83	V-C	0.2496.738	0	0	38.609	0.043	0	65.439
Stage 3	-4.9	41.204	27.741	V-C	0.2496.738	0	0	40.696	0.043	0	68.437
Stage 3	-5.1	43.317	28.679	V-C	0.2496.738	0	0	42.783	0.043	0	71.462
Stage 3	-5.3	45.43	29.641	V-C	0.2496.738	0	0	44.87	0.043	0	74.51
Stage 3	-5.5	47.543	30.624	V-C	0.2496.738	0	0	46.957	0.043	0	77.581
Stage 3	-5.7	49.657	31.458	UL-RL	0.2496.738	0	0	49.043	0.043	0	80.501
Stage 3	-5.9	51.77	32.32	UL-RL	0.2496.738	0	0	51.13	0.043	0	83.451
Stage 3	-6.1	53.883	33.229	UL-RL	0.2496.738	0	0	53.217	0.043	0	86.446
Stage 3	-6.3	55.996	34.178	UL-RL	0.2496.738	0	0	55.304	0.043	0	89.482
Stage 3	-6.5	58.109	35.161	UL-RL	0.2496.738	0	0	57.391	0.043	0	92.552
Stage 3	-6.7	60.222	36.172	UL-RL	0.2496.738	0	0	59.478	0.043	0	95.65
Stage 3	-6.9	62.335	37.205	UL-RL	0.2496.738	0	0	61.565	0.043	0	98.77
Stage 3	-7.1	64.448	38.257	UL-RL	0.2496.738	0	0	63.652	0.043	0	101.909
Stage 3	-7.3	66.561	39.322	UL-RL	0.2496.738	0	0	65.739	0.043	0	105.061
Stage 3	-7.5	68.674	40.398	UL-RL	0.2496.738	0	0	67.826	0.043	0	108.224
Stage 3	-7.7	70.787	41.48	UL-RL	0.2496.738	0	0	69.913	0.043	0	111.393
Stage 3	-7.9	72.9	42.568	UL-RL	0.2496.738	0	0	72	0.043	0	114.568
Stage 3	-8.1	75.013	43.657	UL-RL	0.2496.738	0	0	74.087	0.043	0	117.744
Stage 3	-8.3	77.126	44.748	UL-RL	0.2496.738	0	0	76.174	0.043	0	120.921
Stage 3	-8.5	79.239	45.837	UL-RL	0.2496.738	0	0	78.261	0.043	0	124.098
Stage 3	-8.7	81.352	46.925	UL-RL	0.2496.738	0	0	80.348	0.043	0	127.273
Stage 3	-8.9	83.465	48.01	UL-RL	0.2496.738	0	0	82.435	0.043	0	130.445
Stage 3	-9.1	85.578	49.092	UL-RL	0.2496.738	0	0	84.522	0.043	0	133.614
Stage 3	-9.3	87.691	50.171	UL-RL	0.2496.738	0	0	86.609	0.043	0	136.78
Stage 3	-9.5	89.804	51.247	UL-RL	0.2496.738	0	0	88.696	0.043	0	139.942
Stage 3	-9.7	91.917	52.319	UL-RL	0.2496.738	0	0	90.783	0.043	0	143.101
Stage 3	-9.9	94.03	53.388	UL-RL	0.2496.738	0	0	92.87	0.043	0	146.257
Stage 3	-10.1	96.143	54.453	UL-RL	0.2496.738	0	0	94.956	0.043	0	149.41
Stage 3	-10.3	98.256	55.517	UL-RL	0.2496.738	0	0	97.043	0.043	0	152.56
Stage 3	-10.5	100.37	56.578	UL-RL	0.2496.738	0	0	99.13	0.043	0	155.708
Stage 3	-10.7	102.482	57.637	UL-RL	0.2496.738	0	0	101.217	0.043	0	158.854
Stage 3	-10.9	104.596	58.694	UL-RL	0.2496.738	0	0	103.304	0.043	0	161.998
Stage 3	-11.1	106.709	59.751	UL-RL	0.2496.738	0	0	105.391	0.043	0	165.142
Stage 3	-11.3	108.822	60.806	UL-RL	0.2496.738	0	0	107.478	0.043	0	168.284
Stage 3	-11.5	110.935	61.861	UL-RL	0.2496.738	0	0	109.565	0.043	0	171.426
Stage 3	-11.7	113.048	62.915	UL-RL	0.2496.738	0	0	111.652	0.043	0	174.567
Stage 3	-11.9	115.161	63.97	UL-RL	0.2496.738	0	0	113.739	0.043	0	177.709
Stage 3	-12	116.217	64.497	UL-RL	0.2496.738	0	0	114.783	0.043	0	179.28

**Tabella Risultati Terreno Left Wall - Nominal - Stage 4**

Design Assumption: Nominal Risultati Terreno										
Stage	Z (m)	Sigma V (kPa)	Sigma H (kPa)	Muro: LEFT	Lato	LEFT				
				Stato	Ka	Kp	Coesione (kPa)	Pore (kPa)	Gradiente U* (kPa)	Peq (kPa)
Stage 4	0	0	0	PASSIVE	0.2496.738		0	0	0	0
Stage 4	-0.2	2.303	0.574	UL-RL	0.2496.738		0	1.913	0.043	0 2.487
Stage 4	-0.4	4.687	1.167	UL-RL	0.2496.738		0	3.826	0.043	0 4.993
Stage 4	-0.5	5.919	1.474	UL-RL	0.2496.738		0	4.783	0.043	0 6.257
Stage 4	-0.7	8.45	2.104	UL-RL	0.2496.738		0	6.696	0.043	0 8.8
Stage 4	-0.9	11.034	2.748	ACTIVE	0.2496.738		0	8.609	0.043	0 11.356
Stage 4	-1.1	13.633	3.395	ACTIVE	0.2496.738		0	10.522	0.043	0 13.916
Stage 4	-1.3	16.219	4.039	ACTIVE	0.2496.738		0	12.435	0.043	0 16.473
Stage 4	-1.5	18.959	4.721	ACTIVE	0.2496.738		0	14.348	0.043	0 19.069
Stage 4	-1.7	21.725	5.41	ACTIVE	0.2496.738		0	16.261	0.043	0 21.67
Stage 4	-1.9	24.409	6.078	ACTIVE	0.2496.738		0	18.174	0.043	0 24.252
Stage 4	-2.1	27.029	6.73	ACTIVE	0.2496.738		0	20.087	0.043	0 26.817
Stage 4	-2.3	29.6	7.37	ACTIVE	0.2496.738		0	22	0.043	0 29.37
Stage 4	-2.5	32.132	8.001	ACTIVE	0.2496.738		0	23.913	0.043	0 31.914
Stage 4	-2.7	34.633	8.624	ACTIVE	0.2496.738		0	25.826	0.043	0 34.45
Stage 4	-2.9	37.109	9.24	ACTIVE	0.2496.738		0	27.739	0.043	0 36.979
Stage 4	-3.1	39.563	9.851	ACTIVE	0.2496.738		0	29.652	0.043	0 39.503
Stage 4	-3.3	41.999	10.458	ACTIVE	0.2496.738		0	31.565	0.043	0 42.023
Stage 4	-3.5	44.42	11.061	ACTIVE	0.2496.738		0	33.478	0.043	0 44.539
Stage 4	-3.7	46.896	11.677	ACTIVE	0.2496.738		0	35.391	0.043	0 47.068
Stage 4	-3.9	49.289	12.273	ACTIVE	0.2496.738		0	37.304	0.043	0 49.577
Stage 4	-4.1	51.613	12.852	ACTIVE	0.2496.738		0	39.217	0.043	0 52.069
Stage 4	-4.3	53.992	13.444	ACTIVE	0.2496.738		0	41.13	0.043	0 54.574
Stage 4	-4.5	56.364	14.201	UL-RL	0.2496.738		0	43.043	0.043	0 57.244
Stage 4	-4.7	58.729	16.665	UL-RL	0.2496.738		0	44.957	0.043	0 61.622
Stage 4	-4.9	61.088	18.955	UL-RL	0.2496.738		0	46.87	0.043	0 65.824
Stage 4	-5.1	63.442	21.082	UL-RL	0.2496.738		0	48.783	0.043	0 69.864
Stage 4	-5.3	65.791	23.059	UL-RL	0.2496.738		0	50.696	0.043	0 73.755
Stage 4	-5.5	68.137	24.901	UL-RL	0.2496.738		0	52.609	0.043	0 77.509
Stage 4	-5.7	70.478	26.621	UL-RL	0.2496.738		0	54.522	0.043	0 81.143
Stage 4	-5.9	72.816	28.234	UL-RL	0.2496.738		0	56.435	0.043	0 84.669
Stage 4	-6.1	75.069	29.714	UL-RL	0.2496.738		0	58.348	0.043	0 88.062
Stage 4	-6.3	77.242	31.076	UL-RL	0.2496.738		0	60.261	0.043	0 91.337
Stage 4	-6.5	79.421	32.375	UL-RL	0.2496.738		0	62.174	0.043	0 94.549
Stage 4	-6.7	81.604	33.621	UL-RL	0.2496.738		0	64.087	0.043	0 97.708
Stage 4	-6.9	83.791	34.826	UL-RL	0.2496.738		0	66	0.043	0 100.826
Stage 4	-7.1	85.983	35.998	UL-RL	0.2496.738		0	67.913	0.043	0 103.911
Stage 4	-7.3	88.178	37.145	UL-RL	0.2496.738		0	69.826	0.043	0 106.971
Stage 4	-7.5	90.376	38.275	UL-RL	0.2496.738		0	71.739	0.043	0 110.014
Stage 4	-7.7	92.578	39.392	UL-RL	0.2496.738		0	73.652	0.043	0 113.044
Stage 4	-7.9	94.783	40.502	UL-RL	0.2496.738		0	75.565	0.043	0 116.067
Stage 4	-8.1	96.991	41.609	UL-RL	0.2496.738		0	77.478	0.043	0 119.088
Stage 4	-8.3	99.202	42.717	UL-RL	0.2496.738		0	79.391	0.043	0 122.108
Stage 4	-8.5	101.415	43.827	UL-RL	0.2496.738		0	81.304	0.043	0 125.131
Stage 4	-8.7	103.631	44.942	UL-RL	0.2496.738		0	83.217	0.043	0 128.159
Stage 4	-8.9	105.849	46.063	UL-RL	0.2496.738		0	85.13	0.043	0 131.193
Stage 4	-9.1	108.07	47.19	UL-RL	0.2496.738		0	87.043	0.043	0 134.234
Stage 4	-9.3	110.293	48.325	UL-RL	0.2496.738		0	88.956	0.043	0 137.281
Stage 4	-9.5	112.517	49.467	UL-RL	0.2496.738		0	90.87	0.043	0 140.337
Stage 4	-9.7	114.744	50.617	UL-RL	0.2496.738		0	92.783	0.043	0 143.399
Stage 4	-9.9	116.973	51.773	UL-RL	0.2496.738		0	94.696	0.043	0 146.468
Stage 4	-10.1	119.203	52.935	UL-RL	0.2496.738		0	96.609	0.043	0 149.544
Stage 4	-10.3	121.435	54.104	UL-RL	0.2496.738		0	98.522	0.043	0 152.626
Stage 4	-10.5	123.669	55.277	UL-RL	0.2496.738		0	100.435	0.043	0 155.712
Stage 4	-10.7	125.904	56.455	UL-RL	0.2496.738		0	102.348	0.043	0 158.803
Stage 4	-10.9	128.141	57.636	UL-RL	0.2496.738		0	104.261	0.043	0 161.897
Stage 4	-11.1	130.379	58.82	UL-RL	0.2496.738		0	106.174	0.043	0 164.994
Stage 4	-11.3	132.618	60.006	UL-RL	0.2496.738		0	108.087	0.043	0 168.093
Stage 4	-11.5	134.859	61.194	UL-RL	0.2496.738		0	110	0.043	0 171.194
Stage 4	-11.7	137.101	62.383	UL-RL	0.2496.738		0	111.913	0.043	0 174.296
Stage 4	-11.9	139.344	63.573	UL-RL	0.2496.738		0	113.826	0.043	0 177.399
Stage 4	-12	140.466	64.168	UL-RL	0.2496.738		0	114.783	0.043	0 178.951

Design Assumption: Nominal Risultati Terreno											
Stage	Z (m)	Muro:		LEFT		Lato		RIGHT			
		Sigma V (kPa)	Sigma H (kPa)	Stato	Ka	Kp	Coesione (kPa)	Pore (kPa)	Gradiente U* (kPa)	Peq (kPa)	
Stage 4	0	0	0	REMOVED	0	0	0	0	0	0	0
Stage 4	-0.2	0	0	REMOVED	0	0	0	0	0	0	0
Stage 4	-0.4	0	0	REMOVED	0	0	0	0	0	0	0
Stage 4	-0.5	0	0	REMOVED	0	0	0	0	0	0	0
Stage 4	-0.7	0	0	REMOVED	0	0	0	0	0	0	0
Stage 4	-0.9	0	0	REMOVED	0	0	0	0	0	0	0
Stage 4	-1.1	1.057	7.119	PASSIVE	0.2496.738	0	0	1.043	0.043	0	8.162
Stage 4	-1.3	3.17	15.569	V-C	0.2496.738	0	0	3.13	0.043	0	18.699
Stage 4	-1.5	5.283	16.106	V-C	0.2496.738	0	0	5.217	0.043	0	21.324
Stage 4	-1.7	7.396	16.626	V-C	0.2496.738	0	0	7.304	0.043	0	23.931
Stage 4	-1.9	9.509	17.147	V-C	0.2496.738	0	0	9.391	0.043	0	26.538
Stage 4	-2.1	11.622	17.678	V-C	0.2496.738	0	0	11.478	0.043	0	29.156
Stage 4	-2.3	13.735	18.224	V-C	0.2496.738	0	0	13.565	0.043	0	31.789
Stage 4	-2.5	15.848	18.789	V-C	0.2496.738	0	0	15.652	0.043	0	34.441
Stage 4	-2.7	17.961	19.376	V-C	0.2496.738	0	0	17.739	0.043	0	37.115
Stage 4	-2.9	20.074	19.989	V-C	0.2496.738	0	0	19.826	0.043	0	39.815
Stage 4	-3.1	22.187	20.628	V-C	0.2496.738	0	0	21.913	0.043	0	42.541
Stage 4	-3.3	24.3	21.295	V-C	0.2496.738	0	0	24	0.043	0	45.295
Stage 4	-3.5	26.413	21.993	V-C	0.2496.738	0	0	26.087	0.043	0	48.08
Stage 4	-3.7	28.526	22.721	V-C	0.2496.738	0	0	28.174	0.043	0	50.895
Stage 4	-3.9	30.639	23.481	V-C	0.2496.738	0	0	30.261	0.043	0	53.741
Stage 4	-4.1	32.752	24.272	V-C	0.2496.738	0	0	32.348	0.043	0	56.62
Stage 4	-4.3	34.865	25.094	V-C	0.2496.738	0	0	34.435	0.043	0	59.529
Stage 4	-4.5	36.978	25.948	V-C	0.2496.738	0	0	36.522	0.043	0	62.469
Stage 4	-4.7	39.091	26.83	V-C	0.2496.738	0	0	38.609	0.043	0	65.439
Stage 4	-4.9	41.204	27.742	V-C	0.2496.738	0	0	40.696	0.043	0	68.437
Stage 4	-5.1	43.317	28.679	V-C	0.2496.738	0	0	42.783	0.043	0	71.462
Stage 4	-5.3	45.43	29.641	V-C	0.2496.738	0	0	44.87	0.043	0	74.51
Stage 4	-5.5	47.543	30.625	V-C	0.2496.738	0	0	46.957	0.043	0	77.581
Stage 4	-5.7	49.657	31.459	UL-RL	0.2496.738	0	0	49.043	0.043	0	80.502
Stage 4	-5.9	51.77	32.321	UL-RL	0.2496.738	0	0	51.13	0.043	0	83.451
Stage 4	-6.1	53.883	33.23	UL-RL	0.2496.738	0	0	53.217	0.043	0	86.447
Stage 4	-6.3	55.996	34.179	UL-RL	0.2496.738	0	0	55.304	0.043	0	89.483
Stage 4	-6.5	58.109	35.161	UL-RL	0.2496.738	0	0	57.391	0.043	0	92.553
Stage 4	-6.7	60.222	36.172	UL-RL	0.2496.738	0	0	59.478	0.043	0	95.65
Stage 4	-6.9	62.335	37.206	UL-RL	0.2496.738	0	0	61.565	0.043	0	98.771
Stage 4	-7.1	64.448	38.257	UL-RL	0.2496.738	0	0	63.652	0.043	0	101.909
Stage 4	-7.3	66.561	39.322	UL-RL	0.2496.738	0	0	65.739	0.043	0	105.061
Stage 4	-7.5	68.674	40.398	UL-RL	0.2496.738	0	0	67.826	0.043	0	108.224
Stage 4	-7.7	70.787	41.481	UL-RL	0.2496.738	0	0	69.913	0.043	0	111.394
Stage 4	-7.9	72.9	42.568	UL-RL	0.2496.738	0	0	72	0.043	0	114.568
Stage 4	-8.1	75.013	43.657	UL-RL	0.2496.738	0	0	74.087	0.043	0	117.744
Stage 4	-8.3	77.126	44.748	UL-RL	0.2496.738	0	0	76.174	0.043	0	120.922
Stage 4	-8.5	79.239	45.837	UL-RL	0.2496.738	0	0	78.261	0.043	0	124.098
Stage 4	-8.7	81.352	46.925	UL-RL	0.2496.738	0	0	80.348	0.043	0	127.273
Stage 4	-8.9	83.465	48.01	UL-RL	0.2496.738	0	0	82.435	0.043	0	130.445
Stage 4	-9.1	85.578	49.092	UL-RL	0.2496.738	0	0	84.522	0.043	0	133.614
Stage 4	-9.3	87.691	50.171	UL-RL	0.2496.738	0	0	86.609	0.043	0	136.78
Stage 4	-9.5	89.804	51.247	UL-RL	0.2496.738	0	0	88.696	0.043	0	139.942
Stage 4	-9.7	91.917	52.319	UL-RL	0.2496.738	0	0	90.783	0.043	0	143.101
Stage 4	-9.9	94.03	53.388	UL-RL	0.2496.738	0	0	92.87	0.043	0	146.257
Stage 4	-10.1	96.143	54.453	UL-RL	0.2496.738	0	0	94.956	0.043	0	149.41
Stage 4	-10.3	98.256	55.517	UL-RL	0.2496.738	0	0	97.043	0.043	0	152.56
Stage 4	-10.5	100.37	56.578	UL-RL	0.2496.738	0	0	99.13	0.043	0	155.708
Stage 4	-10.7	102.482	57.637	UL-RL	0.2496.738	0	0	101.217	0.043	0	158.854
Stage 4	-10.9	104.596	58.694	UL-RL	0.2496.738	0	0	103.304	0.043	0	161.998
Stage 4	-11.1	106.709	59.751	UL-RL	0.2496.738	0	0	105.391	0.043	0	165.142
Stage 4	-11.3	108.822	60.806	UL-RL	0.2496.738	0	0	107.478	0.043	0	168.284
Stage 4	-11.5	110.935	61.861	UL-RL	0.2496.738	0	0	109.565	0.043	0	171.426
Stage 4	-11.7	113.048	62.915	UL-RL	0.2496.738	0	0	111.652	0.043	0	174.567
Stage 4	-11.9	115.161	63.97	UL-RL	0.2496.738	0	0	113.739	0.043	0	177.709
Stage 4	-12	116.217	64.497	UL-RL	0.2496.738	0	0	114.783	0.043	0	179.28



### Tabella Risultati Terreno Left Wall - Nominal - Stage 5

Design Assumption: Nominal Risultati Terreno			Muro:	LEFT	Lato	LEFT				
Stage	Z (m)	Sigma V (kPa)	Sigma H (kPa)	Stato	Ka	Kp	Coesione (kPa)	Pore (kPa)	Gradiente U* (kPa)	Peq (kPa)
Stage 5	0	0	0	PASSIVE	0.2496.738		0	0	0	0
Stage 5	-0.2	2.678	0.667	UL-RL	0.2496.738		0	1.538	0.231	2.205
Stage 5	-0.4	5.436	1.354	ACTIVE	0.2496.738		0	3.077	0.231	4.43
Stage 5	-0.5	6.855	1.707	ACTIVE	0.2496.738		0	3.846	0.231	5.553
Stage 5	-0.7	9.761	2.43	ACTIVE	0.2496.738		0	5.385	0.231	7.815
Stage 5	-0.9	12.72	3.167	ACTIVE	0.2496.738		0	6.923	0.231	10.09
Stage 5	-1.1	15.693	3.908	ACTIVE	0.2496.738		0	8.462	0.231	12.369
Stage 5	-1.3	18.654	4.645	ACTIVE	0.2496.738		0	10	0.231	14.645
Stage 5	-1.5	21.768	5.42	ACTIVE	0.2496.738		0	11.538	0.231	16.959
Stage 5	-1.7	24.909	6.202	ACTIVE	0.2496.738		0	13.077	0.231	19.279
Stage 5	-1.9	27.967	6.964	ACTIVE	0.2496.738		0	14.615	0.231	21.579
Stage 5	-2.1	30.962	7.71	ACTIVE	0.2496.738		0	16.154	0.231	23.863
Stage 5	-2.3	33.908	8.443	ACTIVE	0.2496.738		0	17.692	0.231	26.135
Stage 5	-2.5	36.815	9.167	ACTIVE	0.2496.738		0	19.231	0.231	28.398
Stage 5	-2.7	39.69	9.883	ACTIVE	0.2496.738		0	20.769	0.231	30.652
Stage 5	-2.9	42.54	10.593	ACTIVE	0.2496.738		0	22.308	0.231	32.9
Stage 5	-3.1	45.369	11.297	ACTIVE	0.2496.738		0	23.846	0.231	35.143
Stage 5	-3.3	48.18	11.997	ACTIVE	0.2496.738		0	25.385	0.231	37.381
Stage 5	-3.5	50.975	12.693	ACTIVE	0.2496.738		0	26.923	0.231	39.616
Stage 5	-3.7	53.825	13.403	ACTIVE	0.2496.738		0	28.462	0.231	41.864
Stage 5	-3.9	56.594	14.092	ACTIVE	0.2496.738		0	30	0.231	44.092
Stage 5	-4.1	59.292	14.764	ACTIVE	0.2496.738		0	31.538	0.231	46.302
Stage 5	-4.3	62.046	15.449	ACTIVE	0.2496.738		0	33.077	0.231	48.526
Stage 5	-4.5	64.792	16.133	ACTIVE	0.2496.738		0	34.615	0.231	50.749
Stage 5	-4.7	67.531	16.815	ACTIVE	0.2496.738		0	36.154	0.231	52.969
Stage 5	-4.9	70.265	17.496	ACTIVE	0.2496.738		0	37.692	0.231	55.188
Stage 5	-5.1	72.994	18.175	ACTIVE	0.2496.738		0	39.231	0.231	57.406
Stage 5	-5.3	75.718	18.854	ACTIVE	0.2496.738		0	40.769	0.231	59.623
Stage 5	-5.5	78.438	19.531	ACTIVE	0.2496.738		0	42.308	0.231	61.839
Stage 5	-5.7	81.154	20.207	ACTIVE	0.2496.738		0	43.846	0.231	64.053
Stage 5	-5.9	83.866	20.883	ACTIVE	0.2496.738		0	45.385	0.231	66.267
Stage 5	-6.1	86.493	21.537	ACTIVE	0.2496.738		0	46.923	0.231	68.46
Stage 5	-6.3	89.042	22.171	ACTIVE	0.2496.738		0	48.462	0.231	70.633
Stage 5	-6.5	91.595	22.807	ACTIVE	0.2496.738		0	50	0.231	72.807
Stage 5	-6.7	94.153	23.444	ACTIVE	0.2496.738		0	51.538	0.231	74.982
Stage 5	-6.9	96.714	24.082	ACTIVE	0.2496.738		0	53.077	0.231	77.159
Stage 5	-7.1	99.28	24.721	ACTIVE	0.2496.738		0	54.615	0.231	79.336
Stage 5	-7.3	101.85	25.361	ACTIVE	0.2496.738		0	56.154	0.231	81.514
Stage 5	-7.5	104.423	26.001	ACTIVE	0.2496.738		0	57.692	0.231	83.694
Stage 5	-7.7	107	26.643	ACTIVE	0.2496.738		0	59.231	0.231	85.874
Stage 5	-7.9	109.579	27.285	ACTIVE	0.2496.738		0	60.769	0.231	88.054
Stage 5	-8.1	112.162	27.928	ACTIVE	0.2496.738		0	62.308	0.231	90.236
Stage 5	-8.3	114.747	28.572	ACTIVE	0.2496.738		0	63.846	0.231	92.418
Stage 5	-8.5	117.335	29.216	ACTIVE	0.2496.738		0	65.385	0.231	94.601
Stage 5	-8.7	119.925	29.861	ACTIVE	0.2496.738		0	66.923	0.231	96.784
Stage 5	-8.9	122.518	30.507	ACTIVE	0.2496.738		0	68.462	0.231	98.969
Stage 5	-9.1	125.113	31.153	ACTIVE	0.2496.738		0	70	0.231	101.153
Stage 5	-9.3	127.711	31.8	ACTIVE	0.2496.738		0	71.538	0.231	103.338
Stage 5	-9.5	130.31	32.456	UL-RL	0.2496.738		0	73.077	0.231	105.533
Stage 5	-9.7	132.911	33.139	UL-RL	0.2496.738		0	74.615	0.231	107.754
Stage 5	-9.9	135.514	33.824	UL-RL	0.2496.738		0	76.154	0.231	109.978
Stage 5	-10.1	138.119	34.512	UL-RL	0.2496.738		0	77.692	0.231	112.204
Stage 5	-10.3	140.726	35.202	UL-RL	0.2496.738		0	79.231	0.231	114.432
Stage 5	-10.5	143.334	35.894	UL-RL	0.2496.738		0	80.769	0.231	116.663
Stage 5	-10.7	145.944	39.273	UL-RL	0.2496.738		0	82.308	0.231	121.58
Stage 5	-10.9	148.555	48.494	UL-RL	0.2496.738		0	83.846	0.231	132.34
Stage 5	-11.1	151.168	57.646	UL-RL	0.2496.738		0	85.385	0.231	143.03
Stage 5	-11.3	153.782	66.746	UL-RL	0.2496.738		0	86.923	0.231	153.669
Stage 5	-11.5	156.397	71.593	UL-RL	0.2496.738		0	88.461	0.231	160.055
Stage 5	-11.7	159.014	75.741	UL-RL	0.2496.738		0	90	0.231	165.741
Stage 5	-11.9	161.632	79.887	UL-RL	0.2496.738		0	91.538	0.231	171.426
Stage 5	-12	162.941	81.961	UL-RL	0.2496.738		0	92.308	0.231	174.268



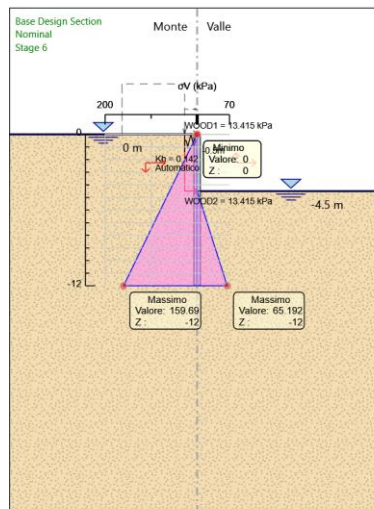
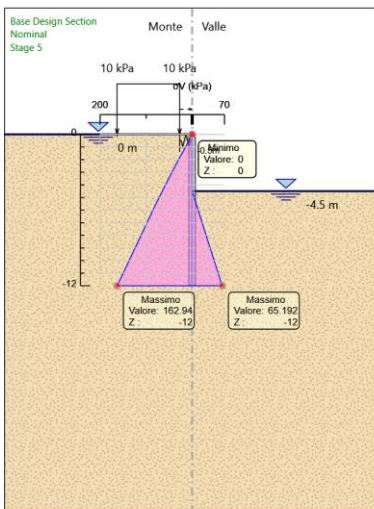
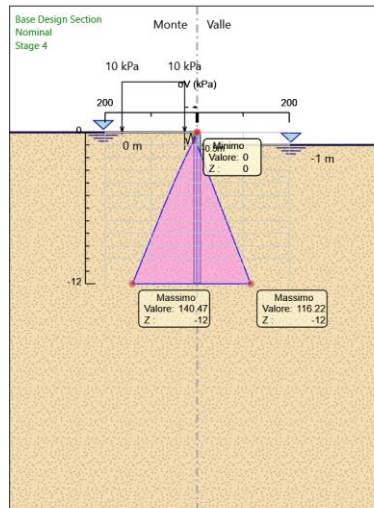
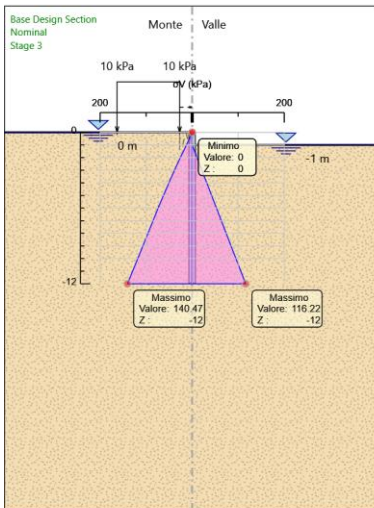
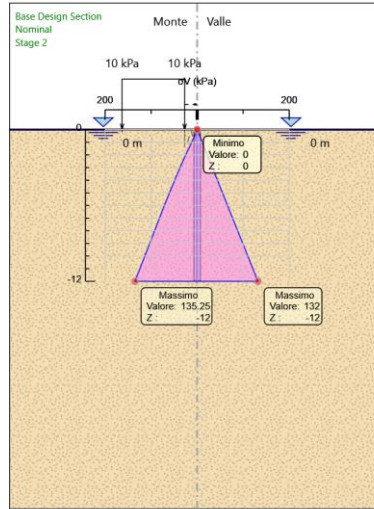
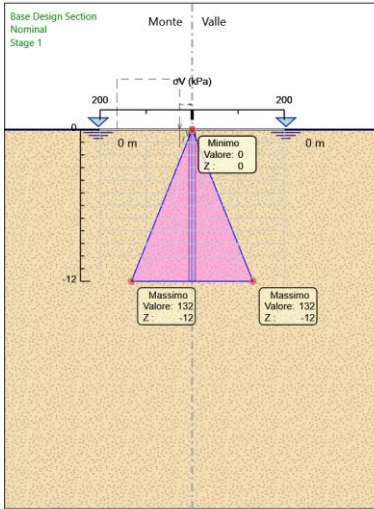
Design Assumption: Nominal Risultati Terreno											
Stage	Z (m)	Sigma V (kPa)	Sigma H (kPa)	Muro: LEFT		Lato		RIGHT			
				Stato	Ka	Kp	Coesione (kPa)	Pore (kPa)	Gradiente U* (kPa)	Peq (kPa)	
Stage 5	0	0	0	REMOVED	0	0	0	0	0	0	0
Stage 5	-0.2	0	0	REMOVED	0	0	0	0	0	0	0
Stage 5	-0.4	0	0	REMOVED	0	0	0	0	0	0	0
Stage 5	-0.5	0	0	REMOVED	0	0	0	0	0	0	0
Stage 5	-0.7	0	0	REMOVED	0	0	0	0	0	0	0
Stage 5	-0.9	0	0	REMOVED	0	0	0	0	0	0	0
Stage 5	-1.1	0	0	REMOVED	0	0	0	0	0	0	0
Stage 5	-1.3	0	0	REMOVED	0	0	0	0	0	0	0
Stage 5	-1.5	0	0	REMOVED	0	0	0	0	0	0	0
Stage 5	-1.7	0	0	REMOVED	0	0	0	0	0	0	0
Stage 5	-1.9	0	0	REMOVED	0	0	0	0	0	0	0
Stage 5	-2.1	0	0	REMOVED	0	0	0	0	0	0	0
Stage 5	-2.3	0	0	REMOVED	0	0	0	0	0	0	0
Stage 5	-2.5	0	0	REMOVED	0	0	0	0	0	0	0
Stage 5	-2.7	0	0	REMOVED	0	0	0	0	0	0	0
Stage 5	-2.9	0	0	REMOVED	0	0	0	0	0	0	0
Stage 5	-3.1	0	0	REMOVED	0	0	0	0	0	0	0
Stage 5	-3.3	0	0	REMOVED	0	0	0	0	0	0	0
Stage 5	-3.5	0	0	REMOVED	0	0	0	0	0	0	0
Stage 5	-3.7	0	0	REMOVED	0	0	0	0	0	0	0
Stage 5	-3.9	0	0	REMOVED	0	0	0	0	0	0	0
Stage 5	-4.1	0	0	REMOVED	0	0	0	0	0	0	0
Stage 5	-4.3	0	0	REMOVED	0	0	0	0	0	0	0
Stage 5	-4.5	0	0	PASSIVE	0.2496.738	0	0	0	0	0	0
Stage 5	-4.7	1.738	11.714	PASSIVE	0.2496.738	0	2.462	0.231	0	14.175	
Stage 5	-4.9	3.477	23.428	PASSIVE	0.2496.738	0	4.923	0.231	0	28.351	
Stage 5	-5.1	5.215	35.141	PASSIVE	0.2496.738	0	7.385	0.231	0	42.526	
Stage 5	-5.3	6.954	46.855	PASSIVE	0.2496.738	0	9.846	0.231	0	56.701	
Stage 5	-5.5	8.692	58.569	PASSIVE	0.2496.738	0	12.308	0.231	0	70.876	
Stage 5	-5.7	10.431	70.282	PASSIVE	0.2496.738	0	14.769	0.231	0	85.052	
Stage 5	-5.9	12.169	70.358	V-C	0.2496.738	0	17.231	0.231	0	87.589	
Stage 5	-6.1	13.908	69.704	V-C	0.2496.738	0	19.692	0.231	0	89.396	
Stage 5	-6.3	15.646	69.035	V-C	0.2496.738	0	22.154	0.231	0	91.189	
Stage 5	-6.5	17.385	68.359	V-C	0.2496.738	0	24.615	0.231	0	92.975	
Stage 5	-6.7	19.123	67.682	V-C	0.2496.738	0	27.077	0.231	0	94.759	
Stage 5	-6.9	20.862	67.007	V-C	0.2496.738	0	29.538	0.231	0	96.546	
Stage 5	-7.1	22.6	66.341	V-C	0.2496.738	0	32	0.231	0	98.341	
Stage 5	-7.3	24.338	65.686	V-C	0.2496.738	0	34.462	0.231	0	100.148	
Stage 5	-7.5	26.077	65.046	V-C	0.2496.738	0	36.923	0.231	0	101.969	
Stage 5	-7.7	27.815	64.424	V-C	0.2496.738	0	39.385	0.231	0	103.809	
Stage 5	-7.9	29.554	63.823	V-C	0.2496.738	0	41.846	0.231	0	105.669	
Stage 5	-8.1	31.292	63.244	V-C	0.2496.738	0	44.308	0.231	0	107.552	
Stage 5	-8.3	33.031	62.689	V-C	0.2496.738	0	46.769	0.231	0	109.459	
Stage 5	-8.5	34.769	62.161	V-C	0.2496.738	0	49.231	0.231	0	111.392	
Stage 5	-8.7	36.508	61.659	V-C	0.2496.738	0	51.692	0.231	0	113.351	
Stage 5	-8.9	38.246	61.185	V-C	0.2496.738	0	54.154	0.231	0	115.339	
Stage 5	-9.1	39.985	60.739	V-C	0.2496.738	0	56.615	0.231	0	117.354	
Stage 5	-9.3	41.723	60.32	V-C	0.2496.738	0	59.077	0.231	0	119.397	
Stage 5	-9.5	43.461	59.926	UL-RL	0.2496.738	0	61.538	0.231	0	121.465	
Stage 5	-9.7	45.2	59.55	UL-RL	0.2496.738	0	64	0.231	0	123.55	
Stage 5	-9.9	46.938	59.199	UL-RL	0.2496.738	0	66.461	0.231	0	125.661	
Stage 5	-10.1	48.677	58.872	UL-RL	0.2496.738	0	68.923	0.231	0	127.795	
Stage 5	-10.3	50.415	58.566	UL-RL	0.2496.738	0	71.384	0.231	0	129.951	
Stage 5	-10.5	52.154	58.28	UL-RL	0.2496.738	0	73.846	0.231	0	132.126	
Stage 5	-10.7	53.892	56.069	UL-RL	0.2496.738	0	76.308	0.231	0	132.376	
Stage 5	-10.9	55.631	53.156	UL-RL	0.2496.738	0	78.769	0.231	0	131.925	
Stage 5	-11.1	57.369	50.277	UL-RL	0.2496.738	0	81.231	0.231	0	131.508	
Stage 5	-11.3	59.108	47.422	UL-RL	0.2496.738	0	83.692	0.231	0	131.114	
Stage 5	-11.5	60.846	44.582	UL-RL	0.2496.738	0	86.154	0.231	0	130.735	
Stage 5	-11.7	62.585	41.749	UL-RL	0.2496.738	0	88.615	0.231	0	130.364	
Stage 5	-11.9	64.323	38.919	UL-RL	0.2496.738	0	91.077	0.231	0	129.996	
Stage 5	-12	65.192	37.504	UL-RL	0.2496.738	0	92.308	0.231	0	129.812	

### Tabella Risultati Terreno Left Wall - Nominal - Stage 6

Design Assumption: Nominal Risultati Terreno		Muro:		LEFT		Lato		LEFT			
Stage	Z (m)	Sigma V (kPa)	Sigma H (kPa)	Stato	Ka	Kp	Coesione (kPa)	Pore (kPa)	Gradiente U* (kPa)	Peq (kPa)	
Stage 6	0	0	0	ACTIVE	0.4366	0.012	0	0	0	0	
Stage 6	-0.2	2.662	1.452	UL-RL	0.4366	0.012	0	1.538	0.231	0	2.99
Stage 6	-0.4	5.323	2.549	UL-RL	0.4366	0.012	0	3.077	0.231	0	5.626
Stage 6	-0.5	6.654	3.098	UL-RL	0.4366	0.012	0	3.846	0.231	0	6.944
Stage 6	-0.7	9.315	4.195	UL-RL	0.4366	0.012	0	5.385	0.231	0	9.58
Stage 6	-0.9	11.977	5.292	UL-RL	0.4366	0.012	0	6.923	0.231	0	12.215
Stage 6	-1.1	14.638	6.389	UL-RL	0.4366	0.012	0	8.462	0.231	0	14.85
Stage 6	-1.3	17.3	7.541	ACTIVE	0.4366	0.012	0	10	0.231	0	17.541
Stage 6	-1.5	19.962	8.701	ACTIVE	0.4366	0.012	0	11.538	0.231	0	20.24
Stage 6	-1.7	22.623	9.861	ACTIVE	0.4366	0.012	0	13.077	0.231	0	22.938
Stage 6	-1.9	25.285	11.022	ACTIVE	0.4366	0.012	0	14.615	0.231	0	25.637
Stage 6	-2.1	27.946	12.182	ACTIVE	0.4366	0.012	0	16.154	0.231	0	28.336
Stage 6	-2.3	30.608	13.342	ACTIVE	0.4366	0.012	0	17.692	0.231	0	31.034
Stage 6	-2.5	33.269	14.502	ACTIVE	0.4366	0.012	0	19.231	0.231	0	33.733
Stage 6	-2.7	35.931	15.662	ACTIVE	0.4366	0.012	0	20.769	0.231	0	36.431
Stage 6	-2.9	38.592	16.822	ACTIVE	0.4366	0.012	0	22.308	0.231	0	39.13
Stage 6	-3.1	41.254	17.983	ACTIVE	0.4366	0.012	0	23.846	0.231	0	41.829
Stage 6	-3.3	43.915	19.143	ACTIVE	0.4366	0.012	0	25.385	0.231	0	44.527
Stage 6	-3.5	46.577	20.303	ACTIVE	0.4366	0.012	0	26.923	0.231	0	47.226
Stage 6	-3.7	49.238	21.463	ACTIVE	0.4366	0.012	0	28.462	0.231	0	49.925
Stage 6	-3.9	51.9	22.623	ACTIVE	0.4366	0.012	0	30	0.231	0	52.623
Stage 6	-4.1	54.562	23.783	ACTIVE	0.4366	0.012	0	31.538	0.231	0	55.322
Stage 6	-4.3	57.223	24.944	ACTIVE	0.4366	0.012	0	33.077	0.231	0	58.02
Stage 6	-4.5	59.885	26.104	ACTIVE	0.4366	0.012	0	34.615	0.231	0	60.719
Stage 6	-4.7	62.546	27.264	ACTIVE	0.4366	0.012	0	36.154	0.231	0	63.418
Stage 6	-4.9	65.208	28.424	ACTIVE	0.4366	0.012	0	37.692	0.231	0	66.116
Stage 6	-5.1	67.869	29.584	ACTIVE	0.4366	0.012	0	39.231	0.231	0	68.815
Stage 6	-5.3	70.531	30.744	ACTIVE	0.4366	0.012	0	40.769	0.231	0	71.514
Stage 6	-5.5	73.192	31.905	ACTIVE	0.4366	0.012	0	42.308	0.231	0	74.212
Stage 6	-5.7	75.854	33.065	ACTIVE	0.4366	0.012	0	43.846	0.231	0	76.911
Stage 6	-5.9	78.515	34.225	ACTIVE	0.4366	0.012	0	45.385	0.231	0	79.609
Stage 6	-6.1	81.177	35.385	ACTIVE	0.4366	0.012	0	46.923	0.231	0	82.308
Stage 6	-6.3	83.838	36.545	ACTIVE	0.4366	0.012	0	48.462	0.231	0	85.007
Stage 6	-6.5	86.5	37.705	ACTIVE	0.4366	0.012	0	50	0.231	0	87.705
Stage 6	-6.7	89.162	38.866	ACTIVE	0.4366	0.012	0	51.538	0.231	0	90.404
Stage 6	-6.9	91.823	40.026	ACTIVE	0.4366	0.012	0	53.077	0.231	0	93.103
Stage 6	-7.1	94.485	41.186	ACTIVE	0.4366	0.012	0	54.615	0.231	0	95.801
Stage 6	-7.3	97.146	42.346	ACTIVE	0.4366	0.012	0	56.154	0.231	0	98.5
Stage 6	-7.5	99.808	43.506	ACTIVE	0.4366	0.012	0	57.692	0.231	0	101.198
Stage 6	-7.7	102.469	44.666	ACTIVE	0.4366	0.012	0	59.231	0.231	0	103.897
Stage 6	-7.9	105.131	45.826	ACTIVE	0.4366	0.012	0	60.769	0.231	0	106.596
Stage 6	-8.1	107.792	46.987	ACTIVE	0.4366	0.012	0	62.308	0.231	0	109.294
Stage 6	-8.3	110.454	48.147	ACTIVE	0.4366	0.012	0	63.846	0.231	0	111.993
Stage 6	-8.5	113.115	49.307	ACTIVE	0.4366	0.012	0	65.385	0.231	0	114.692
Stage 6	-8.7	115.777	50.467	ACTIVE	0.4366	0.012	0	66.923	0.231	0	117.39
Stage 6	-8.9	118.438	51.627	ACTIVE	0.4366	0.012	0	68.462	0.231	0	120.089
Stage 6	-9.1	121.1	52.787	ACTIVE	0.4366	0.012	0	70	0.231	0	122.787
Stage 6	-9.3	123.762	53.948	ACTIVE	0.4366	0.012	0	71.538	0.231	0	125.486
Stage 6	-9.5	126.423	55.108	ACTIVE	0.4366	0.012	0	73.077	0.231	0	128.185
Stage 6	-9.7	129.084	56.268	ACTIVE	0.4366	0.012	0	74.615	0.231	0	130.883
Stage 6	-9.9	131.746	57.591	UL-RL	0.4366	0.012	0	76.154	0.231	0	133.745
Stage 6	-10.1	134.408	58.928	UL-RL	0.4366	0.012	0	77.692	0.231	0	136.62
Stage 6	-10.3	137.069	60.275	UL-RL	0.4366	0.012	0	79.231	0.231	0	139.506
Stage 6	-10.5	139.731	61.633	UL-RL	0.4366	0.012	0	80.769	0.231	0	142.402
Stage 6	-10.7	142.392	63.001	UL-RL	0.4366	0.012	0	82.308	0.231	0	145.308
Stage 6	-10.9	145.054	64.377	UL-RL	0.4366	0.012	0	83.846	0.231	0	148.223
Stage 6	-11.1	147.715	65.759	UL-RL	0.4366	0.012	0	85.385	0.231	0	151.144
Stage 6	-11.3	150.377	67.146	UL-RL	0.4366	0.012	0	86.923	0.231	0	154.069
Stage 6	-11.5	153.038	68.536	UL-RL	0.4366	0.012	0	88.461	0.231	0	156.998
Stage 6	-11.7	155.7	71.286	UL-RL	0.4366	0.012	0	90	0.231	0	161.286
Stage 6	-11.9	158.361	74.547	UL-RL	0.4366	0.012	0	91.538	0.231	0	166.085
Stage 6	-12	159.692	76.177	UL-RL	0.4366	0.012	0	92.308	0.231	0	168.485

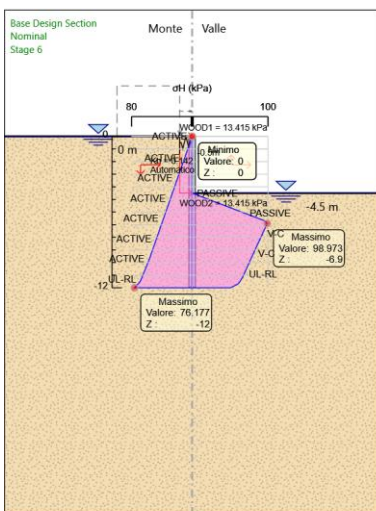
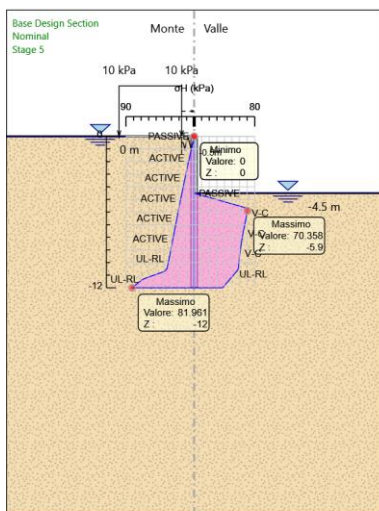
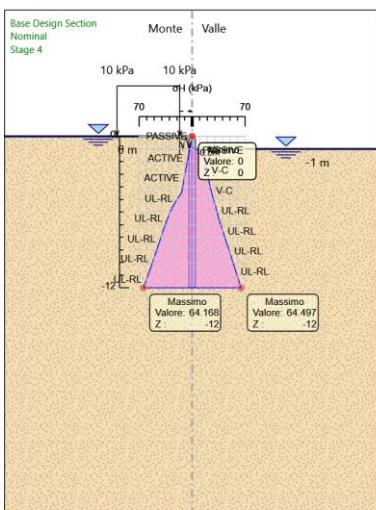
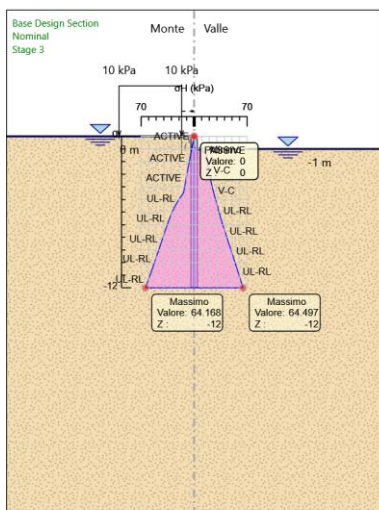
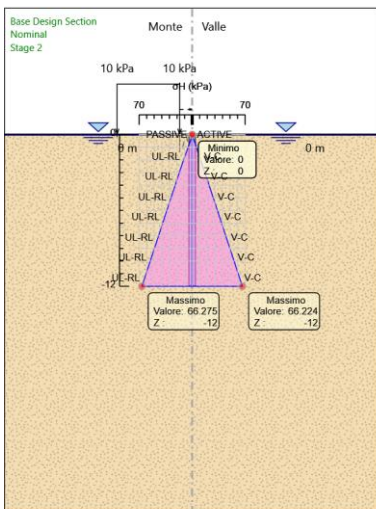
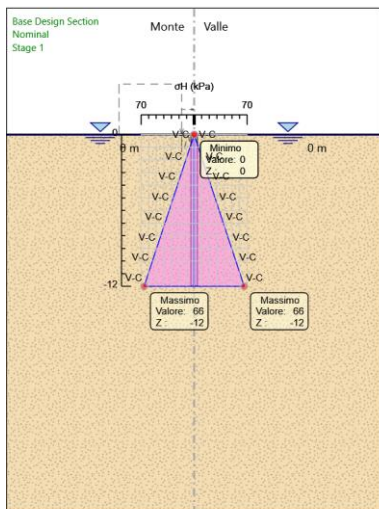
Design Assumption: Nominal Risultati Terreno											
Stage	Z (m)	Sigma V (kPa)	Sigma H (kPa)	Muro: LEFT		Lato		RIGHT			
				Stato	Ka	Kp	Coesione (kPa)	Pore (kPa)	Gradiente U* (kPa)	Peq (kPa)	
Stage 6	0	0	0	REMOVED	0	0	0	0	0	0	0
Stage 6	-0.2	0	0	REMOVED	0	0	0	0	0	0	0
Stage 6	-0.4	0	0	REMOVED	0	0	0	0	0	0	0
Stage 6	-0.5	0	0	REMOVED	0	0	0	0	0	0	0
Stage 6	-0.7	0	0	REMOVED	0	0	0	0	0	0	0
Stage 6	-0.9	0	0	REMOVED	0	0	0	0	0	0	0
Stage 6	-1.1	0	0	REMOVED	0	0	0	0	0	0	0
Stage 6	-1.3	0	0	REMOVED	0	0	0	0	0	0	0
Stage 6	-1.5	0	0	REMOVED	0	0	0	0	0	0	0
Stage 6	-1.7	0	0	REMOVED	0	0	0	0	0	0	0
Stage 6	-1.9	0	0	REMOVED	0	0	0	0	0	0	0
Stage 6	-2.1	0	0	REMOVED	0	0	0	0	0	0	0
Stage 6	-2.3	0	0	REMOVED	0	0	0	0	0	0	0
Stage 6	-2.5	0	0	REMOVED	0	0	0	0	0	0	0
Stage 6	-2.7	0	0	REMOVED	0	0	0	0	0	0	0
Stage 6	-2.9	0	0	REMOVED	0	0	0	0	0	0	0
Stage 6	-3.1	0	0	REMOVED	0	0	0	0	0	0	0
Stage 6	-3.3	0	0	REMOVED	0	0	0	0	0	0	0
Stage 6	-3.5	0	0	REMOVED	0	0	0	0	0	0	0
Stage 6	-3.7	0	0	REMOVED	0	0	0	0	0	0	0
Stage 6	-3.9	0	0	REMOVED	0	0	0	0	0	0	0
Stage 6	-4.1	0	0	REMOVED	0	0	0	0	0	0	0
Stage 6	-4.3	0	0	REMOVED	0	0	0	0	0	0	0
Stage 6	-4.5	0	0	PASSIVE	0.4085.016	0	0	0	0	0	0
Stage 6	-4.7	1.738	8.72	PASSIVE	0.4085.016	0	2.462	0.231	0	11.182	
Stage 6	-4.9	3.477	17.44	PASSIVE	0.4085.016	0	4.923	0.231	0	22.363	
Stage 6	-5.1	5.215	26.16	PASSIVE	0.4085.016	0	7.385	0.231	0	33.545	
Stage 6	-5.3	6.954	34.88	PASSIVE	0.4085.016	0	9.846	0.231	0	44.727	
Stage 6	-5.5	8.692	43.601	PASSIVE	0.4085.016	0	12.308	0.231	0	55.908	
Stage 6	-5.7	10.431	52.321	PASSIVE	0.4085.016	0	14.769	0.231	0	67.09	
Stage 6	-5.9	12.169	61.041	PASSIVE	0.4085.016	0	17.231	0.231	0	78.272	
Stage 6	-6.1	13.908	69.761	PASSIVE	0.4085.016	0	19.692	0.231	0	89.453	
Stage 6	-6.3	15.646	78.481	PASSIVE	0.4085.016	0	22.154	0.231	0	100.635	
Stage 6	-6.5	17.385	87.201	PASSIVE	0.4085.016	0	24.615	0.231	0	111.816	
Stage 6	-6.7	19.123	95.921	PASSIVE	0.4085.016	0	27.077	0.231	0	122.998	
Stage 6	-6.9	20.862	98.973	V-C	0.4085.016	0	29.538	0.231	0	128.511	
Stage 6	-7.1	22.6	97.485	V-C	0.4085.016	0	32	0.231	0	129.485	
Stage 6	-7.3	24.338	95.977	V-C	0.4085.016	0	34.462	0.231	0	130.439	
Stage 6	-7.5	26.077	94.454	V-C	0.4085.016	0	36.923	0.231	0	131.377	
Stage 6	-7.7	27.815	92.921	V-C	0.4085.016	0	39.385	0.231	0	132.306	
Stage 6	-7.9	29.554	91.382	V-C	0.4085.016	0	41.846	0.231	0	133.228	
Stage 6	-8.1	31.292	89.841	V-C	0.4085.016	0	44.308	0.231	0	134.148	
Stage 6	-8.3	33.031	88.3	V-C	0.4085.016	0	46.769	0.231	0	135.07	
Stage 6	-8.5	34.769	86.764	V-C	0.4085.016	0	49.231	0.231	0	135.994	
Stage 6	-8.7	36.508	85.232	V-C	0.4085.016	0	51.692	0.231	0	136.924	
Stage 6	-8.9	38.246	83.708	V-C	0.4085.016	0	54.154	0.231	0	137.862	
Stage 6	-9.1	39.985	82.192	V-C	0.4085.016	0	56.615	0.231	0	138.807	
Stage 6	-9.3	41.723	80.685	V-C	0.4085.016	0	59.077	0.231	0	139.762	
Stage 6	-9.5	43.461	79.187	V-C	0.4085.016	0	61.538	0.231	0	140.725	
Stage 6	-9.7	45.2	77.698	V-C	0.4085.016	0	64	0.231	0	141.698	
Stage 6	-9.9	46.938	76.165	UL-RL	0.4085.016	0	66.461	0.231	0	142.626	
Stage 6	-10.1	48.677	74.636	UL-RL	0.4085.016	0	68.923	0.231	0	143.559	
Stage 6	-10.3	50.415	73.111	UL-RL	0.4085.016	0	71.384	0.231	0	144.495	
Stage 6	-10.5	52.154	71.59	UL-RL	0.4085.016	0	73.846	0.231	0	145.436	
Stage 6	-10.7	53.892	70.071	UL-RL	0.4085.016	0	76.308	0.231	0	146.378	
Stage 6	-10.9	55.631	68.555	UL-RL	0.4085.016	0	78.769	0.231	0	147.324	
Stage 6	-11.1	57.369	67.04	UL-RL	0.4085.016	0	81.231	0.231	0	148.271	
Stage 6	-11.3	59.108	65.142	UL-RL	0.4085.016	0	83.692	0.231	0	148.834	
Stage 6	-11.5	60.846	63.202	UL-RL	0.4085.016	0	86.154	0.231	0	149.356	
Stage 6	-11.7	62.585	60.395	UL-RL	0.4085.016	0	88.615	0.231	0	149.01	
Stage 6	-11.9	64.323	53.9	UL-RL	0.4085.016	0	91.077	0.231	0	144.976	
Stage 6	-12	65.192	50.651	UL-RL	0.4085.016	0	92.308	0.231	0	142.959	

## Grafico Risultati Terreno Sigma V

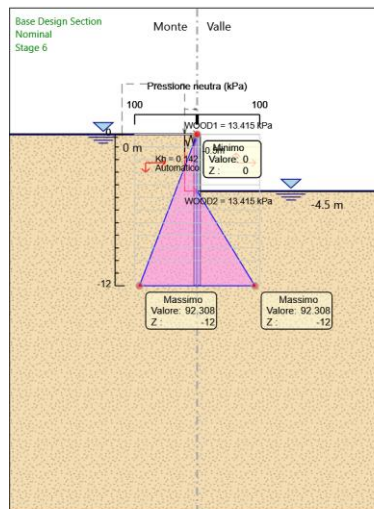
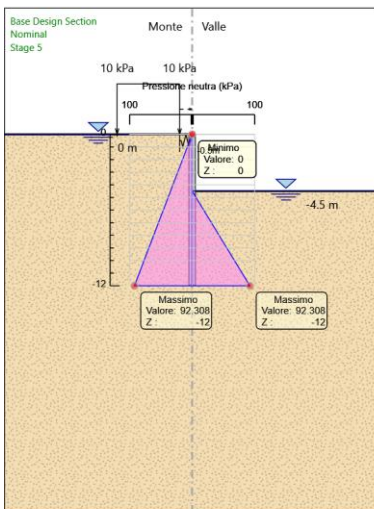
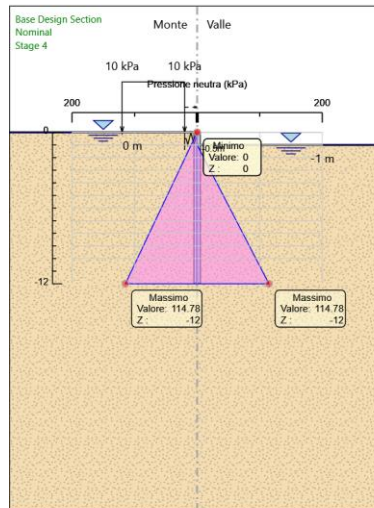
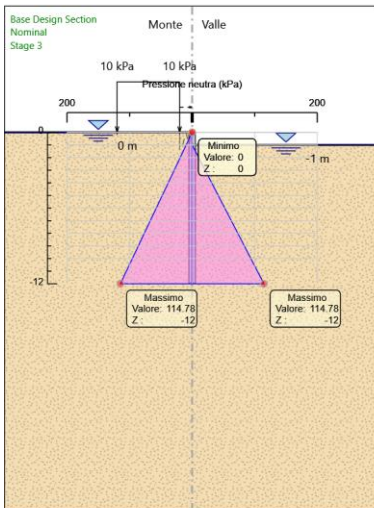
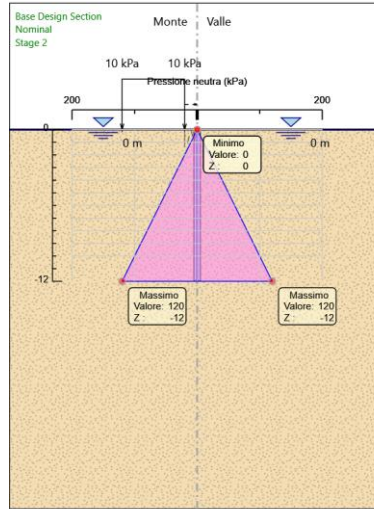
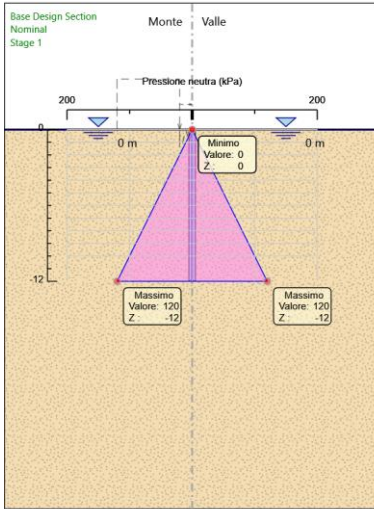




## Grafico Risultati Terreno Sigma H

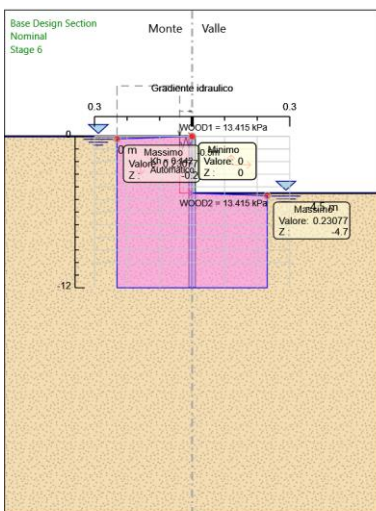
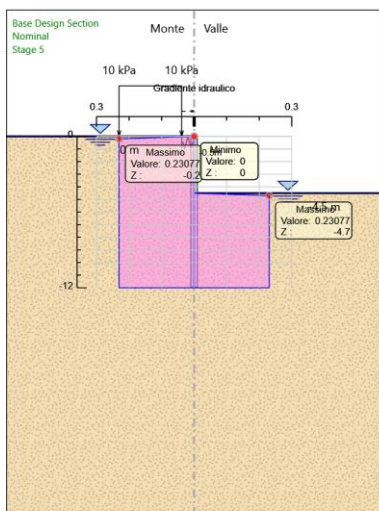
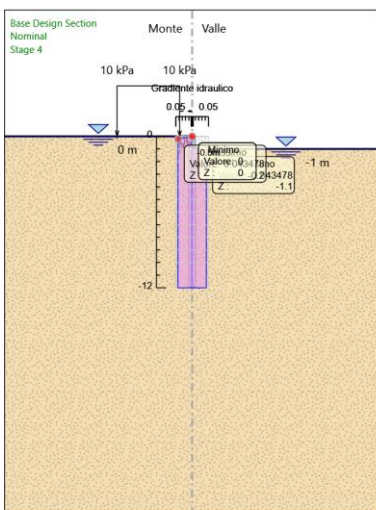
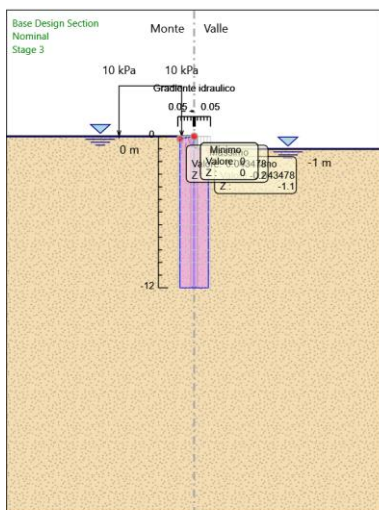
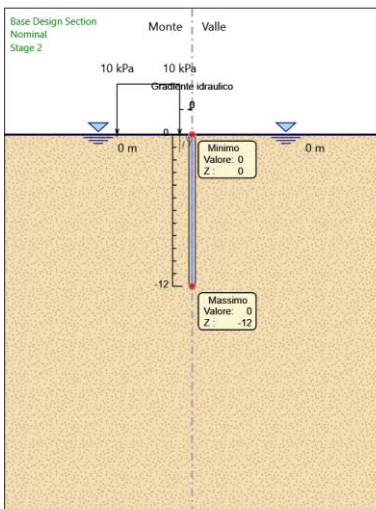
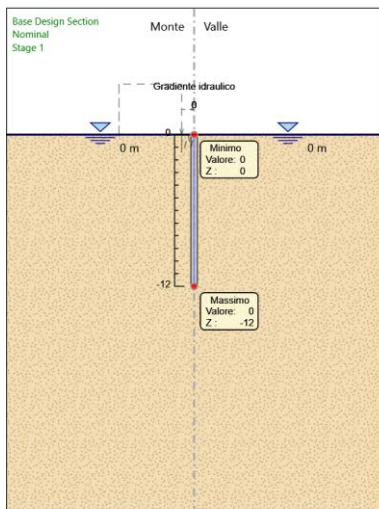


## Grafico Risultati Terreno Pressione neutra

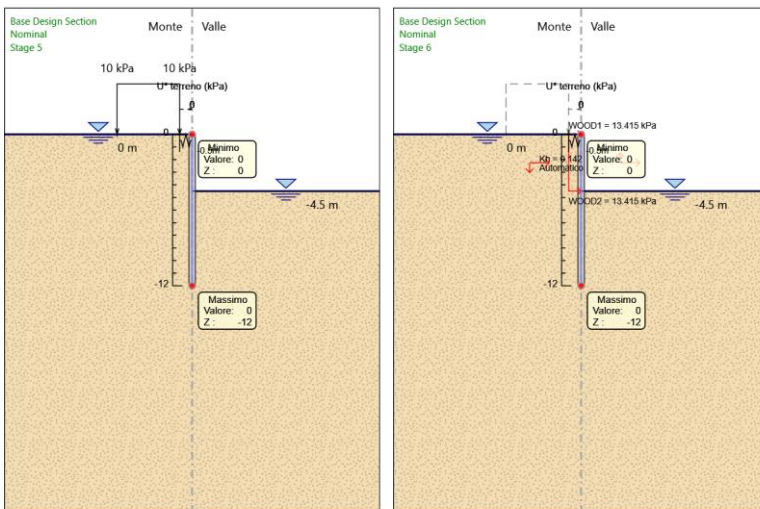
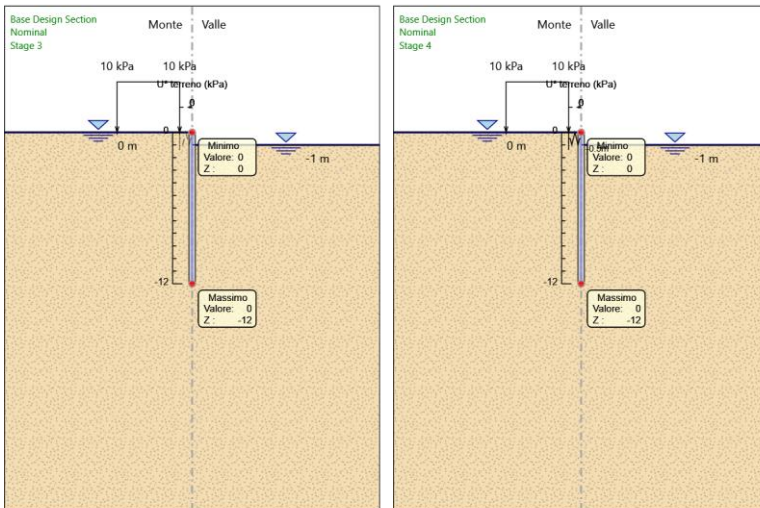
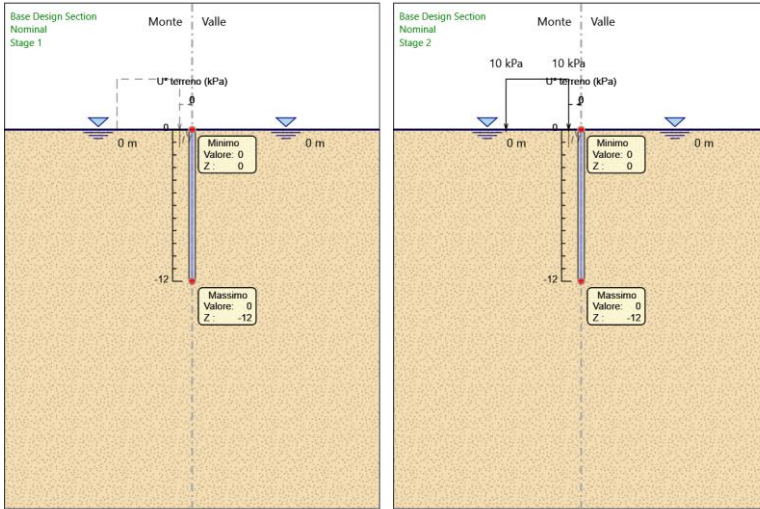




### Grafico Risultati Terreno Gradiente idraulico



### Grafico Risultati Terreno U\* terreno



## Riepilogo spinte

Design Assumption:	Tipo Risultato:	Muro:	LEFT	Lato	LEFT		
Nominal	Riepilogo spinte						
Stage	Vera effettiva	Pressione neutra	Vera Totale	Min ammissibile	Max ammissibile	Percentuale di resistenza massima	Vera / Attiva
	(kN/m)	(kN/m)	(kN/m)	(kN/m)	(kN/m)		
Stage 1	396	720	1116	1.6	5336.5	7.42%	247.5
Stage 2	399.2	720	1119.2	1.7	5639.6	7.08%	234.82
Stage 3	345.7	688.7	1034.4	1.7	5850.5	5.91%	203.35
Stage 4	345.7	688.7	1034.4	1.7	5850.5	5.91%	203.35
Stage 5	284.3	553.8	838.1	2	6759.2	4.21%	142.15
Stage 6	421.4	553.8	975.2	3.5	5760.4	7.32%	120.4

Design Assumption:	Tipo Risultato:	Muro:	LEFT	Lato	RIGHT		
Nominal	Riepilogo spinte						
Stage	Vera effettiva	Pressione neutra	Vera Totale	Min ammissibile	Max ammissibile	Percentuale di resistenza massima	Vera / Attiva
	(kN/m)	(kN/m)	(kN/m)	(kN/m)	(kN/m)		
Stage 1	396	720	1116	1.6	5336.5	7.42%	247.5
Stage 2	399.2	720	1119.2	1.6	5336.5	7.48%	249.5
Stage 3	403	631.4	1034.4	1.4	4307.3	9.36%	287.86
Stage 4	403	631.4	1034.4	1.4	4307.3	9.36%	287.86
Stage 5	420.3	346.2	766.5	0.8	1647.2	25.52%	525.38
Stage 6	528.7	346.2	874.8	1.3	1226.3	43.11%	406.69

## Descrizione Coefficienti Design Assumption

### Coefficienti A

Nome	Carichi Permanenti Sfavorevoli (F_dead_load_unfavour)	Carichi Permanenti Favorevoli (F_dead_load_d_favour)	Carichi Variabili Sfavorevoli (F_live_load_unfavour)	Carichi Variabili Favorevoli (F_live_load_d_favour)	Carico Sismico (F_seis)	Pressioni Monte (F_Wat_erDR)	Pressioni Valle (F_Wat_erRes)	Carichi Permanenti Destabili (F_UPL_GDStab)	Carichi Permanenti Stabilizzanti (F_UPL_GStab)	Carichi Variabili Destabili (F_UPL_QDStab)	Carichi Permanenti Destabili (F_HYD_GDStab)	Carichi Permanenti Stabilizzanti (F_HYD_GStab)	Carichi Variabili Destabili (F_HYD_QDStab)
Simbolo	$\gamma_G$	$\gamma_G$	$\gamma_Q$	$\gamma_Q$	$\gamma_{QE}$	$\gamma_G$	$\gamma_G$	$\gamma_{Gdst}$	$\gamma_{Gstb}$	$\gamma_{Qdst}$	$\gamma_{Gdst}$	$\gamma_{Gstb}$	$\gamma_{Qdst}$
Nominal	1	1	1	1	1	1	1	1	1	1	1	1	1
SLE	1	1	1	1	0	1	1	1	1	1	1	1	1
(Rara/Frequente/Quasi Permanente)													
A1+M1+R1 (R3 per tiranti)	1.3	1	1.5	1	0	1.3	1	1	1	1	1.3	0.9	1
A2+M2+R1	1	1	1.3	1	0	1	1	1	1	1	1.3	0.9	1
SISMICA GEO	1	1	1	1	1	1	1	1	1	1	1.3	0.9	1

### Coefficienti M

Nome	Parziale su $\tan(\phi')$ (F_Fr)	Parziale su $c'$ (F_eff_cohes)	Parziale su Su (F_Su)	Parziale su qu (F_qu)	Parziale su peso specifico (F_gamma)
Simbolo	$\gamma_\phi$	$\gamma_c$	$\gamma_{cu}$	$\gamma_{qu}$	$\gamma_\gamma$
Nominal	1	1	1	1	1
SLE (Rara/Frequente/Quasi Permanente)	1	1	1	1	1
A1+M1+R1 (R3 per tiranti)	1	1	1	1	1
A2+M2+R1	1.25	1.25	1.4	1	1
SISMICA GEO	1.25	1.25	1.4	1	1

### Coefficienti R

Nome	Parziale resistenza terreno (es. Kp) (F_Soil_Res_walls)	Parziale resistenza Tiranti permanenti (F_Anch_P)	Parziale resistenza Tiranti temporanei (F_Anch_T)	Parziale elementi strutturali (F_wall)
Simbolo	$\gamma_{Re}$	$\gamma_{ap}$	$\gamma_{at}$	
Nominal	1	1	1	1
SLE (Rara/Frequente/Quasi Permanente)	1	1	1	1
A1+M1+R1 (R3 per tiranti)	1	1.2	1.1	1
A2+M2+R1	1	1.2	1.1	1
SISMICA GEO	1	1.2	1.1	1

## Risultati SLE (Rara/Frequente/Quasi Permanente)

Tabella Spostamento SLE (Rara/Frequente/Quasi Permanente) - LEFT Stage: Stage 1

Design Assumption: SLE (Rara/Frequente/Quasi Permanente) Tipo Risultato: Spostamento			Muro: LEFT
Stage	Z (m)	Spostamento (mm)	
Stage 1	0	0	
Stage 1	-0.2	0	
Stage 1	-0.4	0	
Stage 1	-0.5	0	
Stage 1	-0.7	0	
Stage 1	-0.9	0	
Stage 1	-1.1	0	
Stage 1	-1.3	0	
Stage 1	-1.5	0	
Stage 1	-1.7	0	
Stage 1	-1.9	0	
Stage 1	-2.1	0	
Stage 1	-2.3	0	
Stage 1	-2.5	0	
Stage 1	-2.7	0	
Stage 1	-2.9	0	
Stage 1	-3.1	0	
Stage 1	-3.3	0	
Stage 1	-3.5	0	
Stage 1	-3.7	0	
Stage 1	-3.9	0	
Stage 1	-4.1	0	
Stage 1	-4.3	0	
Stage 1	-4.5	0	
Stage 1	-4.7	0	
Stage 1	-4.9	0	
Stage 1	-5.1	0	
Stage 1	-5.3	0	
Stage 1	-5.5	0	
Stage 1	-5.7	0	
Stage 1	-5.9	0	
Stage 1	-6.1	0	
Stage 1	-6.3	0	
Stage 1	-6.5	0	
Stage 1	-6.7	0	
Stage 1	-6.9	0	
Stage 1	-7.1	0	
Stage 1	-7.3	0	
Stage 1	-7.5	0	
Stage 1	-7.7	0	
Stage 1	-7.9	0	
Stage 1	-8.1	0	
Stage 1	-8.3	0	
Stage 1	-8.5	0	
Stage 1	-8.7	0	
Stage 1	-8.9	0	
Stage 1	-9.1	0	
Stage 1	-9.3	0	
Stage 1	-9.5	0	
Stage 1	-9.7	0	
Stage 1	-9.9	0	
Stage 1	-10.1	0	
Stage 1	-10.3	0	
Stage 1	-10.5	0	
Stage 1	-10.7	0	
Stage 1	-10.9	0	
Stage 1	-11.1	0	
Stage 1	-11.3	0	
Stage 1	-11.5	0	
Stage 1	-11.7	0	
Stage 1	-11.9	0	
Stage 1	-12	0	

### Tabella Risultati Paratia SLE (Rara/Frequente/Quasi Permanente) - Left Wall - Stage: Stage 1

Design Assumption: SLE (Rara/Frequente/Quasi Permanente) Risultati Paratia		Muro: LEFT		
Stage	Z (m)	Momento (kN*m/m)	Taglio (kN/m)	
Stage 1	0	0	0	0
Stage 1	-0.2	0	0	0
Stage 1	-0.4	0	0	0
Stage 1	-0.5	0	0	0
Stage 1	-0.7	0	0	0
Stage 1	-0.9	0	0	0
Stage 1	-1.1	0	0	0
Stage 1	-1.3	0	0	0
Stage 1	-1.5	0	0	0
Stage 1	-1.7	0	0	0
Stage 1	-1.9	0	0	0
Stage 1	-2.1	0	0	0
Stage 1	-2.3	0	0	0
Stage 1	-2.5	0	0	0
Stage 1	-2.7	0	0	0
Stage 1	-2.9	0	0	0
Stage 1	-3.1	0	0	0
Stage 1	-3.3	0	0	0
Stage 1	-3.5	0	0	0
Stage 1	-3.7	0	0	0
Stage 1	-3.9	0	0	0
Stage 1	-4.1	0	0	0
Stage 1	-4.3	0	0	0
Stage 1	-4.5	0	0	0
Stage 1	-4.7	0	0	0
Stage 1	-4.9	0	0	0
Stage 1	-5.1	0	0	0
Stage 1	-5.3	0	0	0
Stage 1	-5.5	0	0	0
Stage 1	-5.7	0	0	0
Stage 1	-5.9	0	0	0
Stage 1	-6.1	0	0	0
Stage 1	-6.3	0	0	0
Stage 1	-6.5	0	0	0
Stage 1	-6.7	0	0	0
Stage 1	-6.9	0	0	0
Stage 1	-7.1	0	0	0
Stage 1	-7.3	0	0	0
Stage 1	-7.5	0	0	0
Stage 1	-7.7	0	0	0
Stage 1	-7.9	0	0	0
Stage 1	-8.1	0	0	0
Stage 1	-8.3	0	0	0
Stage 1	-8.5	0	0	0
Stage 1	-8.7	0	0	0
Stage 1	-8.9	0	0	0
Stage 1	-9.1	0	0	0
Stage 1	-9.3	0	0	0
Stage 1	-9.5	0	0	0
Stage 1	-9.7	0	0	0
Stage 1	-9.9	0	0	0
Stage 1	-10.1	0	0	0
Stage 1	-10.3	0	0	0
Stage 1	-10.5	0	0	0
Stage 1	-10.7	0	0	0
Stage 1	-10.9	0	0	0
Stage 1	-11.1	0	0	0
Stage 1	-11.3	0	0	0
Stage 1	-11.5	0	0	0
Stage 1	-11.7	0	0	0
Stage 1	-11.9	0	0	0
Stage 1	-12	0	0	0



### Tabella Spostamento SLE (Rara/Frequente/Quasi Permanente) - LEFT Stage: Stage 2

Design Assumption: SLE (Rara/Frequente/Quasi Permanente) Tipo Risultato: Spostamento			Muro: LEFT
Stage	Z (m)	Spostamento (mm)	
Stage 2	0	0	
Stage 2	-0.2	0	
Stage 2	-0.4	0	
Stage 2	-0.5	0	
Stage 2	-0.7	0	
Stage 2	-0.9	0	
Stage 2	-1.1	0.01	
Stage 2	-1.3	0.01	
Stage 2	-1.5	0.01	
Stage 2	-1.7	0.01	
Stage 2	-1.9	0.01	
Stage 2	-2.1	0.01	
Stage 2	-2.3	0.01	
Stage 2	-2.5	0.01	
Stage 2	-2.7	0.01	
Stage 2	-2.9	0.01	
Stage 2	-3.1	0.01	
Stage 2	-3.3	0.02	
Stage 2	-3.5	0.02	
Stage 2	-3.7	0.02	
Stage 2	-3.9	0.02	
Stage 2	-4.1	0.02	
Stage 2	-4.3	0.02	
Stage 2	-4.5	0.02	
Stage 2	-4.7	0.02	
Stage 2	-4.9	0.02	
Stage 2	-5.1	0.02	
Stage 2	-5.3	0.02	
Stage 2	-5.5	0.02	
Stage 2	-5.7	0.02	
Stage 2	-5.9	0.02	
Stage 2	-6.1	0.02	
Stage 2	-6.3	0.02	
Stage 2	-6.5	0.02	
Stage 2	-6.7	0.02	
Stage 2	-6.9	0.02	
Stage 2	-7.1	0.02	
Stage 2	-7.3	0.02	
Stage 2	-7.5	0.02	
Stage 2	-7.7	0.02	
Stage 2	-7.9	0.02	
Stage 2	-8.1	0.02	
Stage 2	-8.3	0.02	
Stage 2	-8.5	0.02	
Stage 2	-8.7	0.02	
Stage 2	-8.9	0.02	
Stage 2	-9.1	0.02	
Stage 2	-9.3	0.02	
Stage 2	-9.5	0.02	
Stage 2	-9.7	0.01	
Stage 2	-9.9	0.01	
Stage 2	-10.1	0.01	
Stage 2	-10.3	0.01	
Stage 2	-10.5	0.01	
Stage 2	-10.7	0.01	
Stage 2	-10.9	0.01	
Stage 2	-11.1	0.01	
Stage 2	-11.3	0.01	
Stage 2	-11.5	0.01	
Stage 2	-11.7	0.01	
Stage 2	-11.9	0.01	
Stage 2	-12	0.01	

### Tabella Risultati Paratia SLE (Rara/Frequente/Quasi Permanente) - Left Wall - Stage: Stage 2

Design Assumption: SLE (Rara/Frequente/Quasi Permanente) Risultati Paratia		Muro: LEFT	
Stage	Z (m)	Momento (kN*m/m)	Taglio (kN/m)
Stage 2	0	0	0
Stage 2	-0.2	0	0
Stage 2	-0.2	0	0
Stage 2	-0.4	0	0.02
Stage 2	-0.5	0.01	0.04
Stage 2	-0.7	0.02	0.07
Stage 2	-0.9	0.04	0.11
Stage 2	-1.1	0.07	0.15
Stage 2	-1.3	0.11	0.19
Stage 2	-1.5	0.16	0.23
Stage 2	-1.7	0.21	0.25
Stage 2	-1.9	0.26	0.24
Stage 2	-2.1	0.3	0.23
Stage 2	-2.3	0.34	0.2
Stage 2	-2.5	0.38	0.17
Stage 2	-2.7	0.41	0.14
Stage 2	-2.9	0.43	0.12
Stage 2	-3.1	0.45	0.09
Stage 2	-3.3	0.46	0.06
Stage 2	-3.5	0.47	0.04
Stage 2	-3.7	0.47	0.03
Stage 2	-3.9	0.47	0.01
Stage 2	-4.1	0.47	-0.01
Stage 2	-4.3	0.47	-0.02
Stage 2	-4.5	0.46	-0.03
Stage 2	-4.7	0.45	-0.04
Stage 2	-4.9	0.45	-0.04
Stage 2	-5.1	0.44	-0.05
Stage 2	-5.3	0.42	-0.06
Stage 2	-5.5	0.41	-0.07
Stage 2	-5.7	0.39	-0.09
Stage 2	-5.9	0.37	-0.11
Stage 2	-6.1	0.34	-0.13
Stage 2	-6.3	0.31	-0.15
Stage 2	-6.5	0.28	-0.17
Stage 2	-6.7	0.25	-0.18
Stage 2	-6.9	0.21	-0.18
Stage 2	-7.1	0.18	-0.17
Stage 2	-7.3	0.14	-0.16
Stage 2	-7.5	0.11	-0.15
Stage 2	-7.7	0.08	-0.14
Stage 2	-7.9	0.06	-0.13
Stage 2	-8.1	0.04	-0.11
Stage 2	-8.3	0.02	-0.1
Stage 2	-8.5	0	-0.08
Stage 2	-8.7	-0.01	-0.07
Stage 2	-8.9	-0.02	-0.05
Stage 2	-9.1	-0.03	-0.04
Stage 2	-9.3	-0.04	-0.03
Stage 2	-9.5	-0.04	-0.02
Stage 2	-9.7	-0.04	-0.01
Stage 2	-9.9	-0.04	0
Stage 2	-10.1	-0.04	0.01
Stage 2	-10.3	-0.03	0.02
Stage 2	-10.5	-0.03	0.02
Stage 2	-10.7	-0.03	0.03
Stage 2	-10.9	-0.02	0.03
Stage 2	-11.1	-0.01	0.03
Stage 2	-11.3	-0.01	0.03
Stage 2	-11.5	-0.01	0.02
Stage 2	-11.7	0	0.02
Stage 2	-11.9	0	0.01
Stage 2	-12	0	0

### Tabella Spostamento SLE (Rara/Frequente/Quasi Permanente) - LEFT Stage: Stage 3

Design Assumption: SLE (Rara/Frequente/Quasi Permanente) Tipo Risultato: Spostamento			Muro: LEFT
Stage	Z (m)	Spostamento (mm)	
Stage 3	0	0.74	
Stage 3	-0.2	0.71	
Stage 3	-0.4	0.67	
Stage 3	-0.5	0.66	
Stage 3	-0.7	0.62	
Stage 3	-0.9	0.59	
Stage 3	-1.1	0.55	
Stage 3	-1.3	0.52	
Stage 3	-1.5	0.48	
Stage 3	-1.7	0.45	
Stage 3	-1.9	0.42	
Stage 3	-2.1	0.39	
Stage 3	-2.3	0.36	
Stage 3	-2.5	0.33	
Stage 3	-2.7	0.3	
Stage 3	-2.9	0.27	
Stage 3	-3.1	0.25	
Stage 3	-3.3	0.23	
Stage 3	-3.5	0.21	
Stage 3	-3.7	0.19	
Stage 3	-3.9	0.17	
Stage 3	-4.1	0.15	
Stage 3	-4.3	0.14	
Stage 3	-4.5	0.12	
Stage 3	-4.7	0.11	
Stage 3	-4.9	0.1	
Stage 3	-5.1	0.09	
Stage 3	-5.3	0.09	
Stage 3	-5.5	0.08	
Stage 3	-5.7	0.08	
Stage 3	-5.9	0.07	
Stage 3	-6.1	0.07	
Stage 3	-6.3	0.07	
Stage 3	-6.5	0.07	
Stage 3	-6.7	0.06	
Stage 3	-6.9	0.06	
Stage 3	-7.1	0.06	
Stage 3	-7.3	0.06	
Stage 3	-7.5	0.06	
Stage 3	-7.7	0.06	
Stage 3	-7.9	0.06	
Stage 3	-8.1	0.06	
Stage 3	-8.3	0.06	
Stage 3	-8.5	0.06	
Stage 3	-8.7	0.06	
Stage 3	-8.9	0.06	
Stage 3	-9.1	0.06	
Stage 3	-9.3	0.06	
Stage 3	-9.5	0.06	
Stage 3	-9.7	0.06	
Stage 3	-9.9	0.06	
Stage 3	-10.1	0.06	
Stage 3	-10.3	0.06	
Stage 3	-10.5	0.06	
Stage 3	-10.7	0.06	
Stage 3	-10.9	0.06	
Stage 3	-11.1	0.06	
Stage 3	-11.3	0.06	
Stage 3	-11.5	0.06	
Stage 3	-11.7	0.05	
Stage 3	-11.9	0.05	
Stage 3	-12	0.05	

**Tabella Risultati Paratia SLE (Rara/Frequente/Quasi Permanente) - Left Wall - Stage: Stage 3**

Design Assumption: SLE (Rara/Frequente/Quasi Permanente) Risultati Paratia		Muro: LEFT	
Stage	Z (m)	Momento (kN*m/m)	Taglio (kN/m)
Stage 3	0	0	0
Stage 3	-0.2	0	0
Stage 3	-0.2	0	0
Stage 3	-0.4	-0.1	-0.5
Stage 3	-0.5	-0.22	-1.25
Stage 3	-0.7	-0.66	-2.18
Stage 3	-0.9	-1.45	-3.94
Stage 3	-1.1	-2.69	-6.22
Stage 3	-1.3	-4.17	-7.37
Stage 3	-1.5	-5.55	-6.92
Stage 3	-1.7	-6.84	-6.47
Stage 3	-1.9	-8.05	-6.02
Stage 3	-2.1	-9.16	-5.56
Stage 3	-2.3	-10.18	-5.09
Stage 3	-2.5	-11.1	-4.61
Stage 3	-2.7	-11.92	-4.1
Stage 3	-2.9	-12.64	-3.57
Stage 3	-3.1	-13.24	-3
Stage 3	-3.3	-13.72	-2.4
Stage 3	-3.5	-14.07	-1.74
Stage 3	-3.7	-14.27	-1.03
Stage 3	-3.9	-14.33	-0.27
Stage 3	-4.1	-14.21	0.56
Stage 3	-4.3	-13.92	1.47
Stage 3	-4.5	-13.43	2.46
Stage 3	-4.7	-12.72	3.51
Stage 3	-4.9	-11.87	4.27
Stage 3	-5.1	-10.91	4.79
Stage 3	-5.3	-9.89	5.11
Stage 3	-5.5	-8.83	5.26
Stage 3	-5.7	-7.78	5.28
Stage 3	-5.9	-6.75	5.16
Stage 3	-6.1	-5.76	4.91
Stage 3	-6.3	-4.85	4.59
Stage 3	-6.5	-4	4.22
Stage 3	-6.7	-3.24	3.82
Stage 3	-6.9	-2.56	3.41
Stage 3	-7.1	-1.96	2.99
Stage 3	-7.3	-1.44	2.59
Stage 3	-7.5	-1	2.21
Stage 3	-7.7	-0.63	1.85
Stage 3	-7.9	-0.32	1.52
Stage 3	-8.1	-0.08	1.22
Stage 3	-8.3	0.11	0.95
Stage 3	-8.5	0.26	0.72
Stage 3	-8.7	0.36	0.51
Stage 3	-8.9	0.43	0.33
Stage 3	-9.1	0.46	0.18
Stage 3	-9.3	0.47	0.06
Stage 3	-9.5	0.47	-0.04
Stage 3	-9.7	0.44	-0.12
Stage 3	-9.9	0.41	-0.18
Stage 3	-10.1	0.36	-0.22
Stage 3	-10.3	0.31	-0.25
Stage 3	-10.5	0.26	-0.26
Stage 3	-10.7	0.21	-0.26
Stage 3	-10.9	0.16	-0.25
Stage 3	-11.1	0.11	-0.23
Stage 3	-11.3	0.07	-0.2
Stage 3	-11.5	0.04	-0.16
Stage 3	-11.7	0.01	-0.12
Stage 3	-11.9	0	-0.06
Stage 3	-12	0	-0.02

### Tabella Spostamento SLE (Rara/Frequente/Quasi Permanente) - LEFT Stage: Stage 4

Design Assumption: SLE (Rara/Frequente/Quasi Permanente) Tipo Risultato: Spostamento			Muro: LEFT
Stage	Z (m)	Spostamento (mm)	
Stage 4	0	0.74	
Stage 4	-0.2	0.71	
Stage 4	-0.4	0.67	
Stage 4	-0.5	0.66	
Stage 4	-0.7	0.62	
Stage 4	-0.9	0.59	
Stage 4	-1.1	0.55	
Stage 4	-1.3	0.52	
Stage 4	-1.5	0.48	
Stage 4	-1.7	0.45	
Stage 4	-1.9	0.42	
Stage 4	-2.1	0.39	
Stage 4	-2.3	0.36	
Stage 4	-2.5	0.33	
Stage 4	-2.7	0.3	
Stage 4	-2.9	0.27	
Stage 4	-3.1	0.25	
Stage 4	-3.3	0.23	
Stage 4	-3.5	0.21	
Stage 4	-3.7	0.19	
Stage 4	-3.9	0.17	
Stage 4	-4.1	0.15	
Stage 4	-4.3	0.14	
Stage 4	-4.5	0.12	
Stage 4	-4.7	0.11	
Stage 4	-4.9	0.1	
Stage 4	-5.1	0.09	
Stage 4	-5.3	0.09	
Stage 4	-5.5	0.08	
Stage 4	-5.7	0.08	
Stage 4	-5.9	0.07	
Stage 4	-6.1	0.07	
Stage 4	-6.3	0.07	
Stage 4	-6.5	0.07	
Stage 4	-6.7	0.06	
Stage 4	-6.9	0.06	
Stage 4	-7.1	0.06	
Stage 4	-7.3	0.06	
Stage 4	-7.5	0.06	
Stage 4	-7.7	0.06	
Stage 4	-7.9	0.06	
Stage 4	-8.1	0.06	
Stage 4	-8.3	0.06	
Stage 4	-8.5	0.06	
Stage 4	-8.7	0.06	
Stage 4	-8.9	0.06	
Stage 4	-9.1	0.06	
Stage 4	-9.3	0.06	
Stage 4	-9.5	0.06	
Stage 4	-9.7	0.06	
Stage 4	-9.9	0.06	
Stage 4	-10.1	0.06	
Stage 4	-10.3	0.06	
Stage 4	-10.5	0.06	
Stage 4	-10.7	0.06	
Stage 4	-10.9	0.06	
Stage 4	-11.1	0.06	
Stage 4	-11.3	0.06	
Stage 4	-11.5	0.06	
Stage 4	-11.7	0.05	
Stage 4	-11.9	0.05	
Stage 4	-12	0.05	





### Tabella Spostamento SLE (Rara/Frequente/Quasi Permanente) - LEFT Stage: Stage 5

Design Assumption: SLE (Rara/Frequente/Quasi Permanente) Tipo Risultato: Spostamento		Muro: LEFT
Stage	Z (m)	Spostamento (mm)
Stage 5	0	14.01
Stage 5	-0.2	13.95
Stage 5	-0.4	13.89
Stage 5	-0.5	13.86
Stage 5	-0.7	13.8
Stage 5	-0.9	13.74
Stage 5	-1.1	13.67
Stage 5	-1.3	13.6
Stage 5	-1.5	13.53
Stage 5	-1.7	13.45
Stage 5	-1.9	13.35
Stage 5	-2.1	13.25
Stage 5	-2.3	13.14
Stage 5	-2.5	13.01
Stage 5	-2.7	12.87
Stage 5	-2.9	12.71
Stage 5	-3.1	12.54
Stage 5	-3.3	12.35
Stage 5	-3.5	12.15
Stage 5	-3.7	11.93
Stage 5	-3.9	11.7
Stage 5	-4.1	11.45
Stage 5	-4.3	11.18
Stage 5	-4.5	10.9
Stage 5	-4.7	10.61
Stage 5	-4.9	10.3
Stage 5	-5.1	9.99
Stage 5	-5.3	9.66
Stage 5	-5.5	9.32
Stage 5	-5.7	8.98
Stage 5	-5.9	8.63
Stage 5	-6.1	8.28
Stage 5	-6.3	7.93
Stage 5	-6.5	7.57
Stage 5	-6.7	7.22
Stage 5	-6.9	6.86
Stage 5	-7.1	6.51
Stage 5	-7.3	6.16
Stage 5	-7.5	5.81
Stage 5	-7.7	5.47
Stage 5	-7.9	5.13
Stage 5	-8.1	4.79
Stage 5	-8.3	4.47
Stage 5	-8.5	4.14
Stage 5	-8.7	3.83
Stage 5	-8.9	3.51
Stage 5	-9.1	3.21
Stage 5	-9.3	2.91
Stage 5	-9.5	2.62
Stage 5	-9.7	2.33
Stage 5	-9.9	2.04
Stage 5	-10.1	1.77
Stage 5	-10.3	1.49
Stage 5	-10.5	1.23
Stage 5	-10.7	0.96
Stage 5	-10.9	0.7
Stage 5	-11.1	0.44
Stage 5	-11.3	0.18
Stage 5	-11.5	-0.07
Stage 5	-11.7	-0.33
Stage 5	-11.9	-0.58
Stage 5	-12	-0.71

**Tabella Risultati Paratia SLE (Rara/Frequente/Quasi Permanente) - Left Wall - Stage: Stage 5**

Design Assumption: SLE (Rara/Frequente/Quasi Permanente) Risultati Paratia		Muro: LEFT	
Stage	Z (m)	Momento (kN*m/m)	Taglio (kN/m)
Stage 5	0	0	0
Stage 5	-0.2	0	0
Stage 5	-0.2	0	0
Stage 5	-0.4	-0.09	-0.44
Stage 5	-0.5	-0.2	-1.11
Stage 5	-0.7	13.73	69.66
Stage 5	-0.9	27.35	68.1
Stage 5	-1.1	40.57	66.08
Stage 5	-1.3	53.29	63.6
Stage 5	-1.5	65.42	60.67
Stage 5	-1.7	76.88	57.28
Stage 5	-1.9	87.57	53.43
Stage 5	-2.1	97.39	49.11
Stage 5	-2.3	106.26	44.34
Stage 5	-2.5	114.08	39.11
Stage 5	-2.7	120.76	33.43
Stage 5	-2.9	126.22	27.3
Stage 5	-3.1	130.37	20.72
Stage 5	-3.3	133.11	13.69
Stage 5	-3.5	134.35	6.22
Stage 5	-3.7	134.01	-1.71
Stage 5	-3.9	131.99	-10.08
Stage 5	-4.1	128.21	-18.9
Stage 5	-4.3	122.58	-28.16
Stage 5	-4.5	115.01	-37.86
Stage 5	-4.7	105.41	-48.01
Stage 5	-4.9	94.25	-55.77
Stage 5	-5.1	82.03	-61.14
Stage 5	-5.3	69.2	-64.12
Stage 5	-5.5	56.26	-64.7
Stage 5	-5.7	43.68	-62.89
Stage 5	-5.9	31.95	-58.69
Stage 5	-6.1	21.06	-54.43
Stage 5	-6.3	11.01	-50.24
Stage 5	-6.5	1.79	-46.13
Stage 5	-6.7	-6.63	-42.1
Stage 5	-6.9	-14.26	-38.14
Stage 5	-7.1	-21.11	-34.26
Stage 5	-7.3	-27.21	-30.46
Stage 5	-7.5	-32.55	-26.74
Stage 5	-7.7	-37.17	-23.08
Stage 5	-7.9	-41.07	-19.49
Stage 5	-8.1	-44.26	-15.97
Stage 5	-8.3	-46.76	-12.51
Stage 5	-8.5	-48.58	-9.1
Stage 5	-8.7	-49.73	-5.74
Stage 5	-8.9	-50.22	-2.43
Stage 5	-9.1	-50.05	0.85
Stage 5	-9.3	-49.23	4.1
Stage 5	-9.5	-47.76	7.32
Stage 5	-9.7	-45.66	10.51
Stage 5	-9.9	-42.93	13.67
Stage 5	-10.1	-39.57	16.8
Stage 5	-10.3	-35.59	19.92
Stage 5	-10.5	-30.98	23.02
Stage 5	-10.7	-25.76	26.12
Stage 5	-10.9	-20.1	28.28
Stage 5	-11.1	-14.47	28.19
Stage 5	-11.3	-9.29	25.89
Stage 5	-11.5	-5.01	21.38
Stage 5	-11.7	-1.91	15.51
Stage 5	-11.9	-0.22	8.44
Stage 5	-12	0	2.22

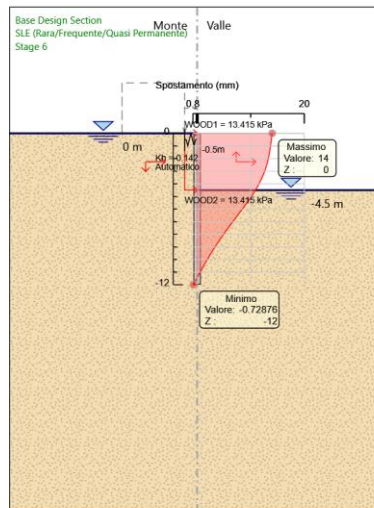
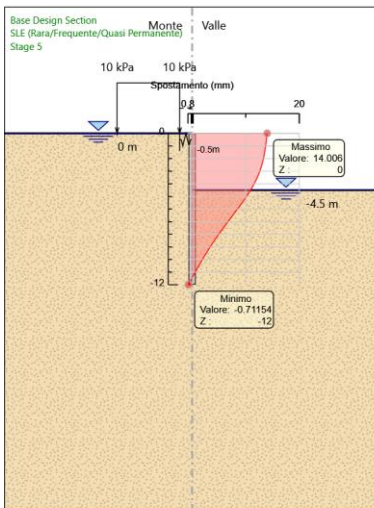
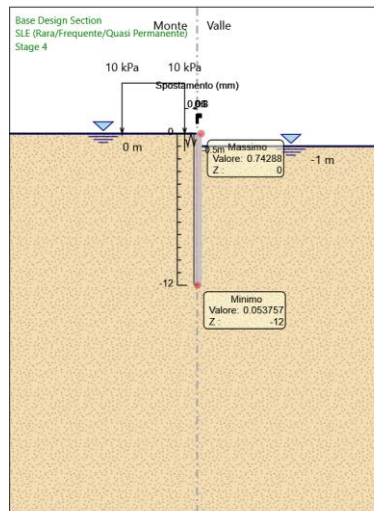
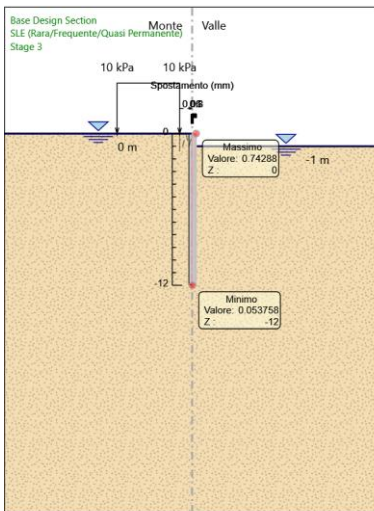
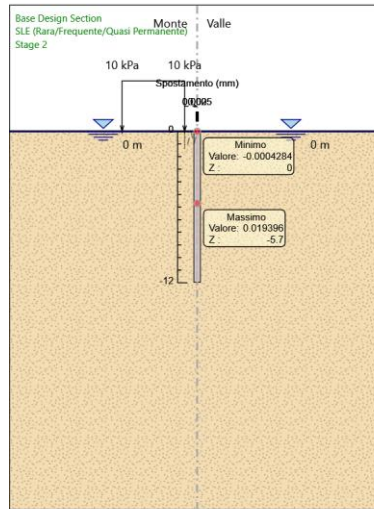
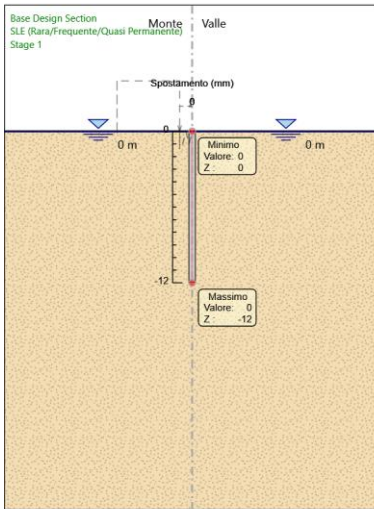
### Tabella Spostamento SLE (Rara/Frequente/Quasi Permanente) - LEFT Stage: Stage 6

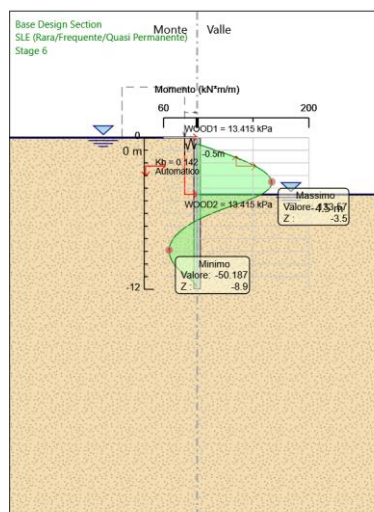
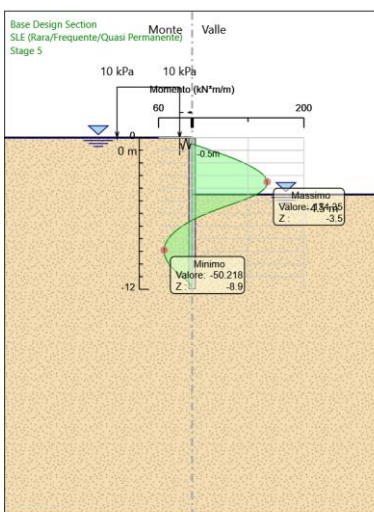
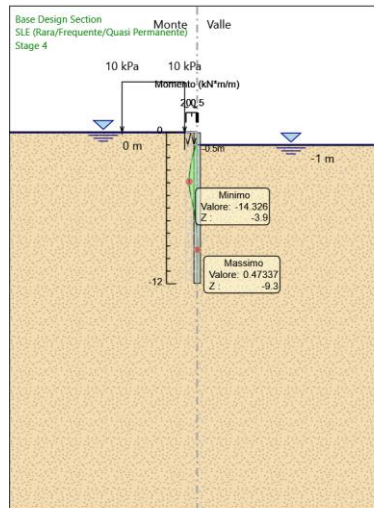
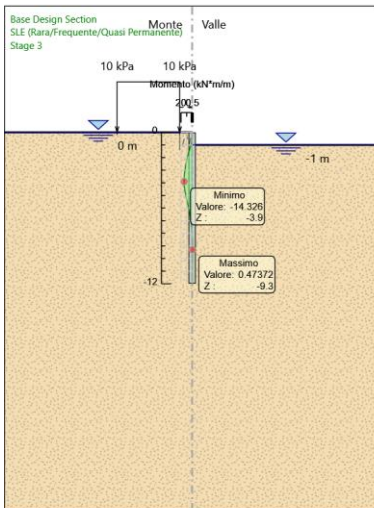
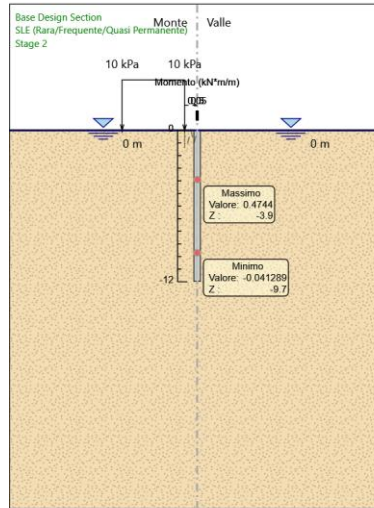
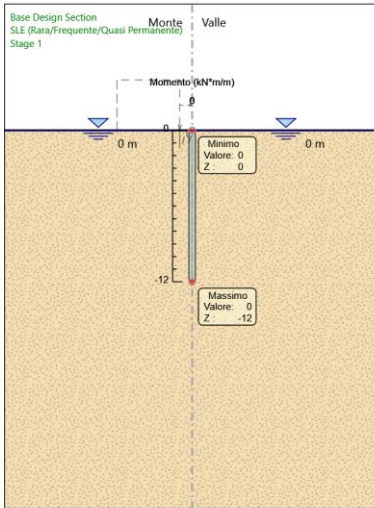
Design Assumption: SLE (Rara/Frequente/Quasi Permanente) Tipo Risultato: Spostamento			Muro: LEFT
Stage	Z (m)	Spostamento (mm)	
Stage 6	0	14	
Stage 6	-0.2	13.94	
Stage 6	-0.4	13.88	
Stage 6	-0.5	13.85	
Stage 6	-0.7	13.79	
Stage 6	-0.9	13.72	
Stage 6	-1.1	13.66	
Stage 6	-1.3	13.59	
Stage 6	-1.5	13.51	
Stage 6	-1.7	13.43	
Stage 6	-1.9	13.33	
Stage 6	-2.1	13.23	
Stage 6	-2.3	13.11	
Stage 6	-2.5	12.98	
Stage 6	-2.7	12.84	
Stage 6	-2.9	12.69	
Stage 6	-3.1	12.51	
Stage 6	-3.3	12.33	
Stage 6	-3.5	12.12	
Stage 6	-3.7	11.91	
Stage 6	-3.9	11.67	
Stage 6	-4.1	11.42	
Stage 6	-4.3	11.15	
Stage 6	-4.5	10.87	
Stage 6	-4.7	10.58	
Stage 6	-4.9	10.27	
Stage 6	-5.1	9.96	
Stage 6	-5.3	9.63	
Stage 6	-5.5	9.29	
Stage 6	-5.7	8.95	
Stage 6	-5.9	8.6	
Stage 6	-6.1	8.25	
Stage 6	-6.3	7.9	
Stage 6	-6.5	7.54	
Stage 6	-6.7	7.19	
Stage 6	-6.9	6.83	
Stage 6	-7.1	6.48	
Stage 6	-7.3	6.13	
Stage 6	-7.5	5.78	
Stage 6	-7.7	5.44	
Stage 6	-7.9	5.1	
Stage 6	-8.1	4.77	
Stage 6	-8.3	4.44	
Stage 6	-8.5	4.12	
Stage 6	-8.7	3.8	
Stage 6	-8.9	3.49	
Stage 6	-9.1	3.19	
Stage 6	-9.3	2.89	
Stage 6	-9.5	2.59	
Stage 6	-9.7	2.31	
Stage 6	-9.9	2.02	
Stage 6	-10.1	1.75	
Stage 6	-10.3	1.47	
Stage 6	-10.5	1.21	
Stage 6	-10.7	0.94	
Stage 6	-10.9	0.68	
Stage 6	-11.1	0.42	
Stage 6	-11.3	0.16	
Stage 6	-11.5	-0.09	
Stage 6	-11.7	-0.35	
Stage 6	-11.9	-0.6	
Stage 6	-12	-0.73	

**Tabella Risultati Paratia SLE (Rara/Frequente/Quasi Permanente) - Left Wall - Stage: Stage 6**

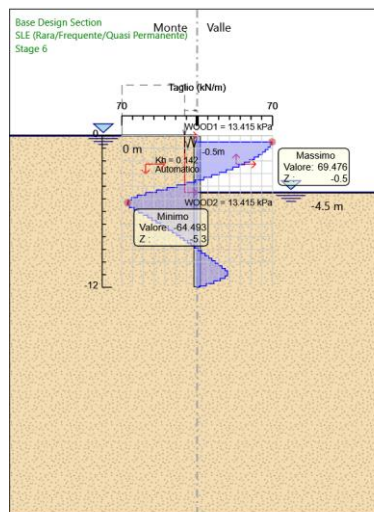
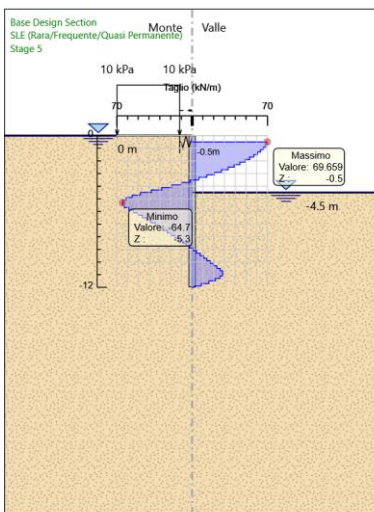
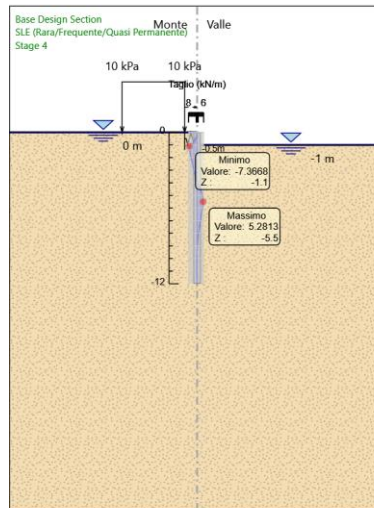
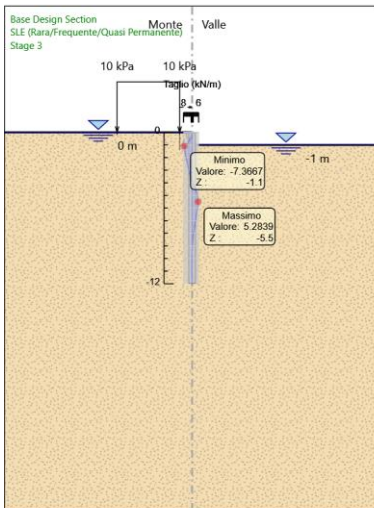
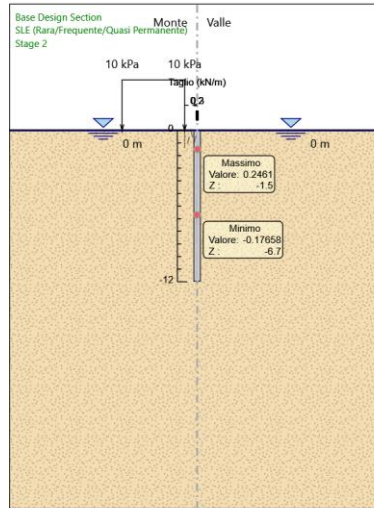
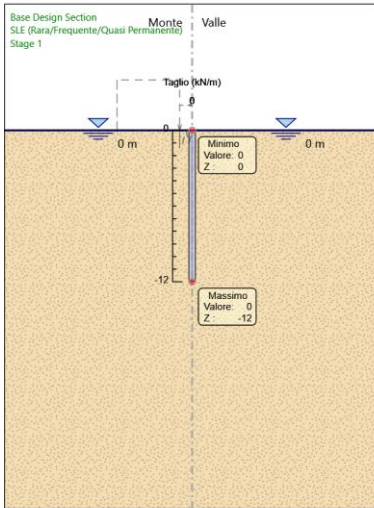
Design Assumption: SLE (Rara/Frequente/Quasi Permanente) Risultati Paratia		Muro: LEFT	
Stage	Z (m)	Momento (kN*m/m)	Taglio (kN/m)
Stage 6	0	0	0
Stage 6	-0.2	0	0
Stage 6	-0.2	0	0
Stage 6	-0.4	-0.1	-0.49
Stage 6	-0.5	-0.22	-1.19
Stage 6	-0.7	13.68	69.48
Stage 6	-0.9	27.25	67.86
Stage 6	-1.1	40.41	65.8
Stage 6	-1.3	53.07	63.3
Stage 6	-1.5	65.14	60.34
Stage 6	-1.7	76.52	56.93
Stage 6	-1.9	87.14	53.08
Stage 6	-2.1	96.89	48.77
Stage 6	-2.3	105.7	44.02
Stage 6	-2.5	113.47	38.83
Stage 6	-2.7	120.1	33.18
Stage 6	-2.9	125.52	27.09
Stage 6	-3.1	129.63	20.55
Stage 6	-3.3	132.35	13.57
Stage 6	-3.5	133.57	6.15
Stage 6	-3.7	133.23	-1.73
Stage 6	-3.9	131.22	-10.04
Stage 6	-4.1	127.46	-18.8
Stage 6	-4.3	121.86	-28
Stage 6	-4.5	114.33	-37.65
Stage 6	-4.7	104.78	-47.73
Stage 6	-4.9	93.68	-55.51
Stage 6	-5.1	81.5	-60.9
Stage 6	-5.3	68.72	-63.9
Stage 6	-5.5	55.82	-64.49
Stage 6	-5.7	43.28	-62.7
Stage 6	-5.9	31.58	-58.5
Stage 6	-6.1	20.74	-54.24
Stage 6	-6.3	10.73	-50.05
Stage 6	-6.5	1.54	-45.94
Stage 6	-6.7	-6.85	-41.92
Stage 6	-6.9	-14.44	-37.97
Stage 6	-7.1	-21.26	-34.1
Stage 6	-7.3	-27.32	-30.31
Stage 6	-7.5	-32.64	-26.6
Stage 6	-7.7	-37.24	-22.96
Stage 6	-7.9	-41.11	-19.38
Stage 6	-8.1	-44.29	-15.87
Stage 6	-8.3	-46.77	-12.42
Stage 6	-8.5	-48.58	-9.03
Stage 6	-8.7	-49.71	-5.68
Stage 6	-8.9	-50.19	-2.38
Stage 6	-9.1	-50.01	0.89
Stage 6	-9.3	-49.19	4.12
Stage 6	-9.5	-47.72	7.32
Stage 6	-9.7	-45.62	10.5
Stage 6	-9.9	-42.89	13.65
Stage 6	-10.1	-39.54	16.78
Stage 6	-10.3	-35.56	19.9
Stage 6	-10.5	-30.96	23
Stage 6	-10.7	-25.74	26.09
Stage 6	-10.9	-20.09	28.25
Stage 6	-11.1	-14.45	28.17
Stage 6	-11.3	-9.28	25.87
Stage 6	-11.5	-5.01	21.36
Stage 6	-11.7	-1.91	15.5
Stage 6	-11.9	-0.22	8.43
Stage 6	-12	0	2.22

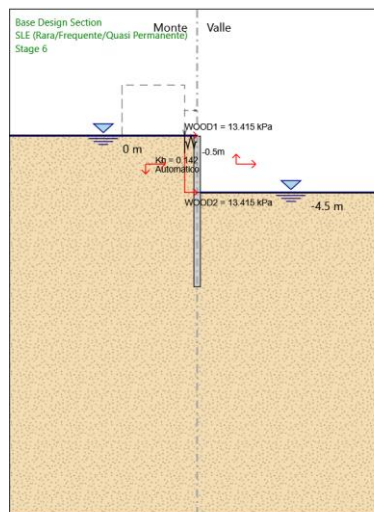
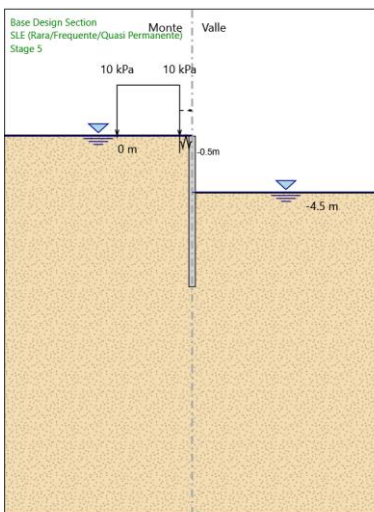
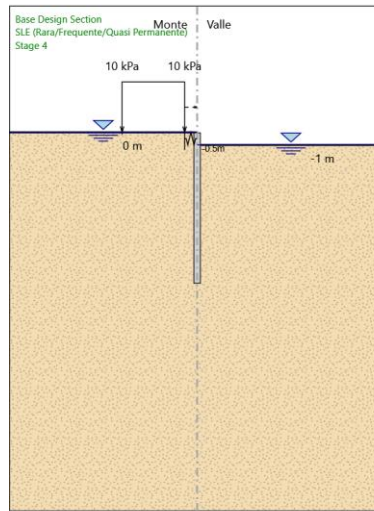
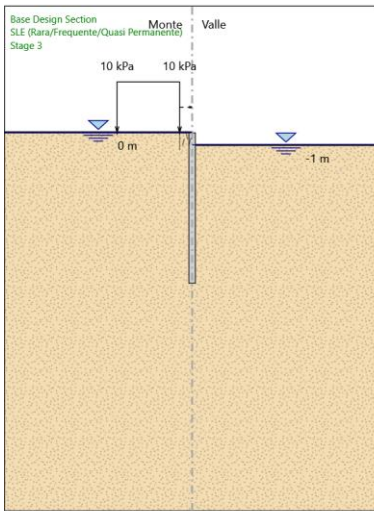
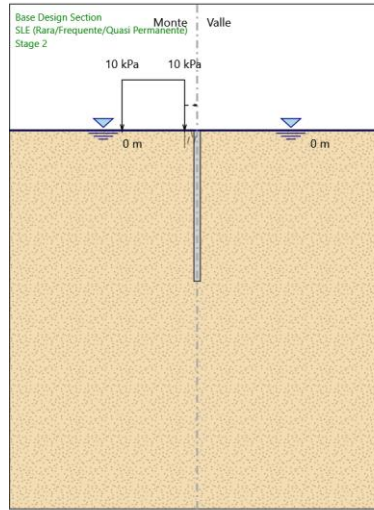
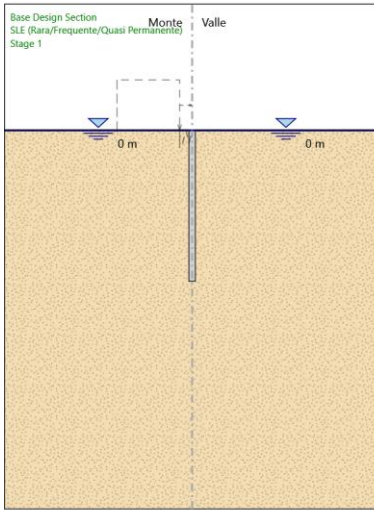
### Tabella Grafici dei Risultati

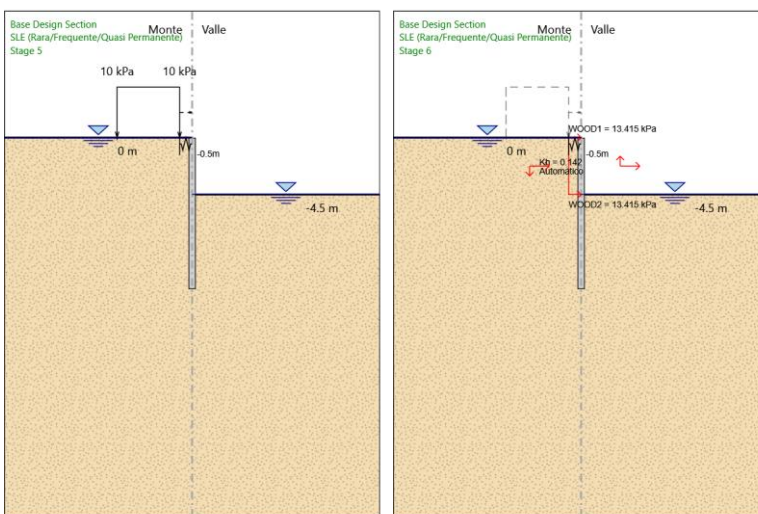
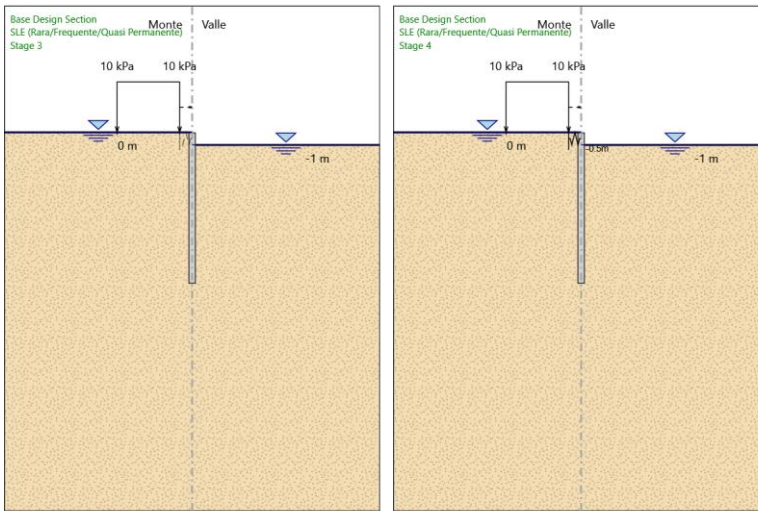
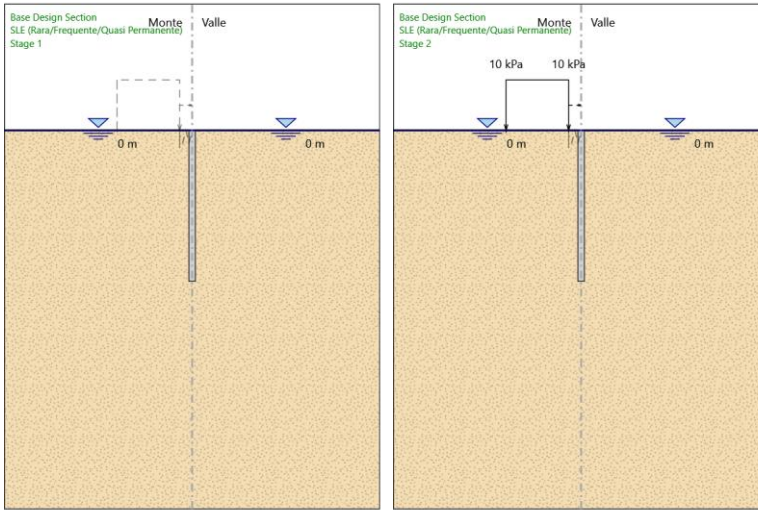












## Risultati Elementi strutturali - SLE (Rara/Frequente/Quasi Permanente)

Design Assumption: SLE (Rara/Frequente/Quasi Permanente) Sollecitazione Spring

Stage	Forza (kN/m)
Stage 4	-6.3092093E-06
Stage 5	71.59735
Stage 6	71.54137

## Risultati A1+M1+R1 (R3 per tiranti)

### Tabella Risultati Paratia A1+M1+R1 (R3 per tiranti) - Left Wall - Stage: Stage 1

Design Assumption: A1+M1+R1 (R3 per tiranti) Risultati Paratia		Muro: LEFT	
Stage	Z (m)	Momento (kN*m/m)	Taglio (kN/m)
Stage 1	0	0	0
Stage 1	-0.2	0	0
Stage 1	-0.4	0	0
Stage 1	-0.5	0	0
Stage 1	-0.7	0	0
Stage 1	-0.9	0	0
Stage 1	-1.1	0	0
Stage 1	-1.3	0	0
Stage 1	-1.5	0	0
Stage 1	-1.7	0	0
Stage 1	-1.9	0	0
Stage 1	-2.1	0	0
Stage 1	-2.3	0	0
Stage 1	-2.5	0	0
Stage 1	-2.7	0	0
Stage 1	-2.9	0	0
Stage 1	-3.1	0	0
Stage 1	-3.3	0	0
Stage 1	-3.5	0	0
Stage 1	-3.7	0	0
Stage 1	-3.9	0	0
Stage 1	-4.1	0	0
Stage 1	-4.3	0	0
Stage 1	-4.5	0	0
Stage 1	-4.7	0	0
Stage 1	-4.9	0	0
Stage 1	-5.1	0	0
Stage 1	-5.3	0	0
Stage 1	-5.5	0	0
Stage 1	-5.7	0	0
Stage 1	-5.9	0	0
Stage 1	-6.1	0	0
Stage 1	-6.3	0	0
Stage 1	-6.5	0	0
Stage 1	-6.7	0	0
Stage 1	-6.9	0	0
Stage 1	-7.1	0	0
Stage 1	-7.3	0	0
Stage 1	-7.5	0	0
Stage 1	-7.7	0	0
Stage 1	-7.9	0	0
Stage 1	-8.1	0	0
Stage 1	-8.3	0	0
Stage 1	-8.5	0	0
Stage 1	-8.7	0	0
Stage 1	-8.9	0	0
Stage 1	-9.1	0	0
Stage 1	-9.3	0	0
Stage 1	-9.5	0	0
Stage 1	-9.7	0	0
Stage 1	-9.9	0	0
Stage 1	-10.1	0	0
Stage 1	-10.3	0	0
Stage 1	-10.5	0	0
Stage 1	-10.7	0	0
Stage 1	-10.9	0	0
Stage 1	-11.1	0	0
Stage 1	-11.3	0	0
Stage 1	-11.5	0	0
Stage 1	-11.7	0	0
Stage 1	-11.9	0	0
Stage 1	-12	0	0

### Tabella Risultati Paratia A1+M1+R1 (R3 per tiranti) - Left Wall - Stage: Stage 2

Design Assumption: A1+M1+R1 (R3 per tiranti) Risultati Paratia		Muro: LEFT	
Stage	Z (m)	Momento (kN*m/m)	Taglio (kN/m)
Stage 2	0	0	0
Stage 2	-0.2	0	0
Stage 2	-0.2	0	0
Stage 2	-0.4	0	0.02
Stage 2	-0.5	0.01	0.06
Stage 2	-0.7	0.03	0.11
Stage 2	-0.9	0.07	0.17
Stage 2	-1.1	0.11	0.23
Stage 2	-1.3	0.17	0.29
Stage 2	-1.5	0.24	0.34
Stage 2	-1.7	0.31	0.37
Stage 2	-1.9	0.38	0.36
Stage 2	-2.1	0.45	0.34
Stage 2	-2.3	0.51	0.3
Stage 2	-2.5	0.57	0.26
Stage 2	-2.7	0.61	0.22
Stage 2	-2.9	0.64	0.17
Stage 2	-3.1	0.67	0.13
Stage 2	-3.3	0.69	0.1
Stage 2	-3.5	0.7	0.07
Stage 2	-3.7	0.71	0.04
Stage 2	-3.9	0.71	0.01
Stage 2	-4.1	0.71	-0.02
Stage 2	-4.3	0.7	-0.03
Stage 2	-4.5	0.69	-0.04
Stage 2	-4.7	0.68	-0.05
Stage 2	-4.9	0.67	-0.06
Stage 2	-5.1	0.65	-0.08
Stage 2	-5.3	0.64	-0.09
Stage 2	-5.5	0.61	-0.11
Stage 2	-5.7	0.59	-0.13
Stage 2	-5.9	0.56	-0.16
Stage 2	-6.1	0.52	-0.2
Stage 2	-6.3	0.47	-0.23
Stage 2	-6.5	0.42	-0.25
Stage 2	-6.7	0.37	-0.26
Stage 2	-6.9	0.31	-0.26
Stage 2	-7.1	0.26	-0.26
Stage 2	-7.3	0.21	-0.25
Stage 2	-7.5	0.17	-0.23
Stage 2	-7.7	0.12	-0.21
Stage 2	-7.9	0.09	-0.19
Stage 2	-8.1	0.05	-0.17
Stage 2	-8.3	0.02	-0.15
Stage 2	-8.5	0	-0.12
Stage 2	-8.7	-0.02	-0.1
Stage 2	-8.9	-0.04	-0.08
Stage 2	-9.1	-0.05	-0.06
Stage 2	-9.3	-0.06	-0.04
Stage 2	-9.5	-0.06	-0.02
Stage 2	-9.7	-0.06	-0.01
Stage 2	-9.9	-0.06	0.01
Stage 2	-10.1	-0.06	0.02
Stage 2	-10.3	-0.05	0.03
Stage 2	-10.5	-0.05	0.03
Stage 2	-10.7	-0.04	0.04
Stage 2	-10.9	-0.03	0.04
Stage 2	-11.1	-0.02	0.04
Stage 2	-11.3	-0.01	0.04
Stage 2	-11.5	-0.01	0.03
Stage 2	-11.7	0	0.03
Stage 2	-11.9	0	0.01
Stage 2	-12	0	0



### Tabella Risultati Paratia A1+M1+R1 (R3 per tiranti) - Left Wall - Stage: Stage 3

Design Assumption: A1+M1+R1 (R3 per tiranti) Risultati Paratia		Muro: LEFT	
Stage	Z (m)	Momento (kN*m/m)	Taglio (kN/m)
Stage 3	0	0	0
Stage 3	-0.2	0	0
Stage 3	-0.2	0	0
Stage 3	-0.4	-0.13	-0.65
Stage 3	-0.5	-0.29	-1.62
Stage 3	-0.7	-0.86	-2.84
Stage 3	-0.9	-1.89	-5.13
Stage 3	-1.1	-3.51	-8.1
Stage 3	-1.3	-5.43	-9.6
Stage 3	-1.5	-7.23	-9
Stage 3	-1.7	-8.91	-8.4
Stage 3	-1.9	-10.47	-7.8
Stage 3	-2.1	-11.91	-7.2
Stage 3	-2.3	-13.22	-6.59
Stage 3	-2.5	-14.42	-5.96
Stage 3	-2.7	-15.48	-5.31
Stage 3	-2.9	-16.4	-4.63
Stage 3	-3.1	-17.18	-3.9
Stage 3	-3.3	-17.81	-3.12
Stage 3	-3.5	-18.27	-2.29
Stage 3	-3.7	-18.54	-1.39
Stage 3	-3.9	-18.63	-0.41
Stage 3	-4.1	-18.5	0.65
Stage 3	-4.3	-18.14	1.81
Stage 3	-4.5	-17.52	3.07
Stage 3	-4.7	-16.63	4.44
Stage 3	-4.9	-15.54	5.48
Stage 3	-5.1	-14.3	6.19
Stage 3	-5.3	-12.97	6.63
Stage 3	-5.5	-11.6	6.85
Stage 3	-5.7	-10.23	6.88
Stage 3	-5.9	-8.88	6.73
Stage 3	-6.1	-7.6	6.42
Stage 3	-6.3	-6.4	6
Stage 3	-6.5	-5.29	5.52
Stage 3	-6.7	-4.29	5.01
Stage 3	-6.9	-3.4	4.47
Stage 3	-7.1	-2.61	3.93
Stage 3	-7.3	-1.93	3.41
Stage 3	-7.5	-1.35	2.91
Stage 3	-7.7	-0.86	2.44
Stage 3	-7.9	-0.45	2.01
Stage 3	-8.1	-0.13	1.62
Stage 3	-8.3	0.12	1.26
Stage 3	-8.5	0.31	0.95
Stage 3	-8.7	0.45	0.68
Stage 3	-8.9	0.54	0.45
Stage 3	-9.1	0.59	0.25
Stage 3	-9.3	0.61	0.09
Stage 3	-9.5	0.6	-0.04
Stage 3	-9.7	0.57	-0.15
Stage 3	-9.9	0.52	-0.23
Stage 3	-10.1	0.47	-0.28
Stage 3	-10.3	0.4	-0.32
Stage 3	-10.5	0.34	-0.34
Stage 3	-10.7	0.27	-0.34
Stage 3	-10.9	0.2	-0.32
Stage 3	-11.1	0.14	-0.3
Stage 3	-11.3	0.09	-0.26
Stage 3	-11.5	0.05	-0.21
Stage 3	-11.7	0.02	-0.15
Stage 3	-11.9	0	-0.08
Stage 3	-12	0	-0.02

**Tabella Risultati Paratia A1+M1+R1 (R3 per tiranti) - Left Wall - Stage: Stage 4**

Design Assumption: A1+M1+R1 (R3 per tiranti) Risultati Paratia		Muro: LEFT	
Stage	Z (m)	Momento (kN*m/m)	Taglio (kN/m)
Stage 4	0	0	0
Stage 4	-0.2	0	0
Stage 4	-0.2	0	0
Stage 4	-0.4	-0.13	-0.65
Stage 4	-0.5	-0.29	-1.62
Stage 4	-0.7	-0.86	-2.84
Stage 4	-0.9	-1.89	-5.13
Stage 4	-1.1	-3.51	-8.1
Stage 4	-1.3	-5.43	-9.6
Stage 4	-1.5	-7.23	-9
Stage 4	-1.7	-8.91	-8.4
Stage 4	-1.9	-10.47	-7.8
Stage 4	-2.1	-11.91	-7.2
Stage 4	-2.3	-13.22	-6.59
Stage 4	-2.5	-14.42	-5.96
Stage 4	-2.7	-15.48	-5.31
Stage 4	-2.9	-16.4	-4.63
Stage 4	-3.1	-17.18	-3.9
Stage 4	-3.3	-17.81	-3.12
Stage 4	-3.5	-18.27	-2.29
Stage 4	-3.7	-18.54	-1.39
Stage 4	-3.9	-18.63	-0.41
Stage 4	-4.1	-18.5	0.65
Stage 4	-4.3	-18.14	1.81
Stage 4	-4.5	-17.52	3.07
Stage 4	-4.7	-16.63	4.44
Stage 4	-4.9	-15.54	5.48
Stage 4	-5.1	-14.3	6.19
Stage 4	-5.3	-12.97	6.63
Stage 4	-5.5	-11.6	6.85
Stage 4	-5.7	-10.23	6.88
Stage 4	-5.9	-8.88	6.73
Stage 4	-6.1	-7.6	6.42
Stage 4	-6.3	-6.4	6
Stage 4	-6.5	-5.29	5.52
Stage 4	-6.7	-4.29	5.01
Stage 4	-6.9	-3.4	4.47
Stage 4	-7.1	-2.61	3.93
Stage 4	-7.3	-1.93	3.41
Stage 4	-7.5	-1.35	2.91
Stage 4	-7.7	-0.86	2.44
Stage 4	-7.9	-0.45	2.01
Stage 4	-8.1	-0.13	1.62
Stage 4	-8.3	0.12	1.26
Stage 4	-8.5	0.31	0.95
Stage 4	-8.7	0.45	0.68
Stage 4	-8.9	0.54	0.45
Stage 4	-9.1	0.59	0.25
Stage 4	-9.3	0.61	0.09
Stage 4	-9.5	0.6	-0.04
Stage 4	-9.7	0.57	-0.15
Stage 4	-9.9	0.52	-0.23
Stage 4	-10.1	0.47	-0.28
Stage 4	-10.3	0.4	-0.32
Stage 4	-10.5	0.34	-0.34
Stage 4	-10.7	0.27	-0.34
Stage 4	-10.9	0.2	-0.32
Stage 4	-11.1	0.14	-0.3
Stage 4	-11.3	0.09	-0.26
Stage 4	-11.5	0.05	-0.21
Stage 4	-11.7	0.02	-0.15
Stage 4	-11.9	0	-0.08
Stage 4	-12	0	-0.02

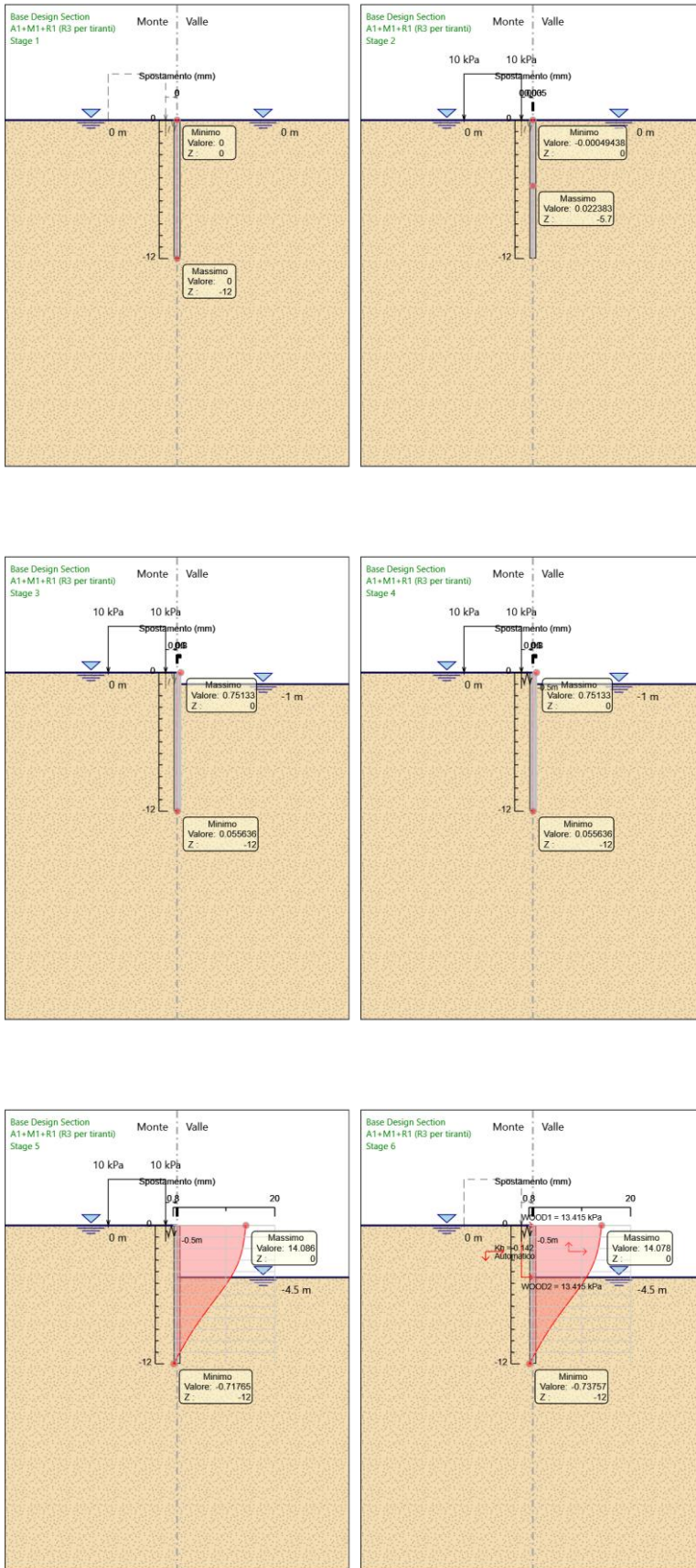
**Tabella Risultati Paratia A1+M1+R1 (R3 per tiranti) - Left Wall - Stage: Stage 5**

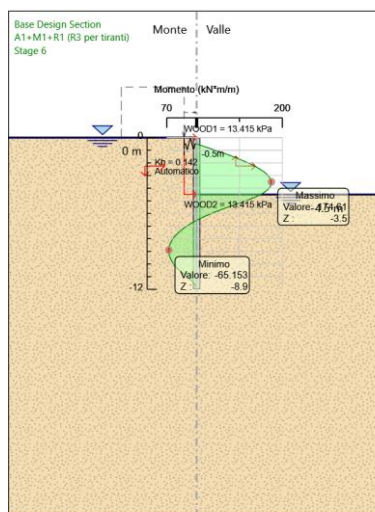
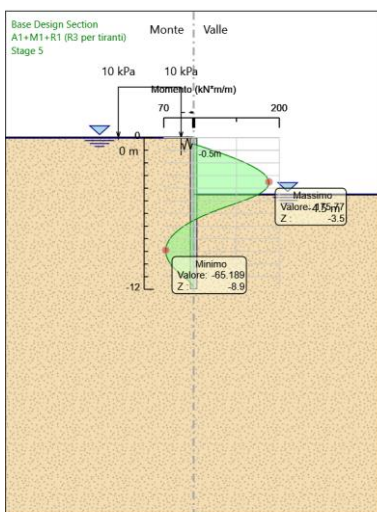
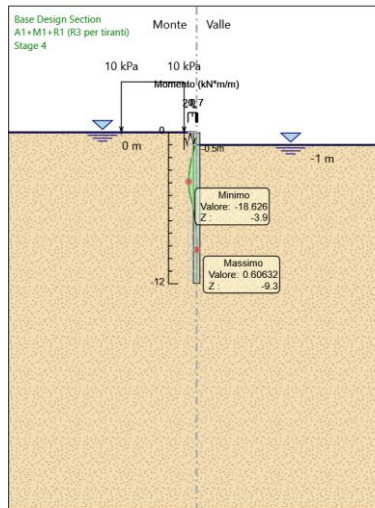
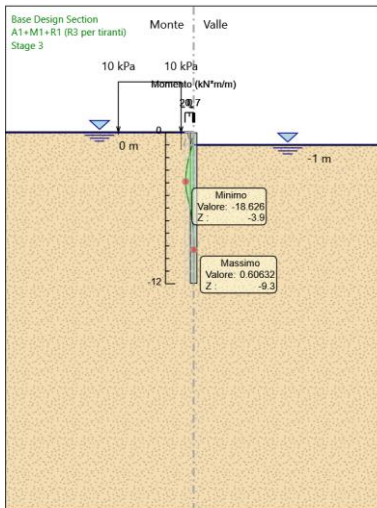
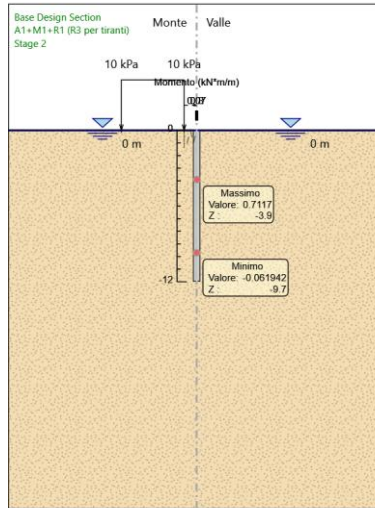
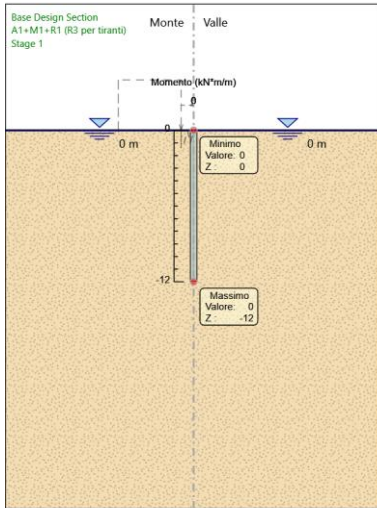
Design Assumption: A1+M1+R1 (R3 per tiranti) Risultati Paratia		Muro: LEFT	
Stage	Z (m)	Momento (kN*m/m)	Taglio (kN/m)
Stage 5	0	0	0
Stage 5	-0.2	0	0
Stage 5	-0.2	0	0
Stage 5	-0.4	-0.11	-0.57
Stage 5	-0.5	-0.26	-1.44
Stage 5	-0.7	17.95	91.06
Stage 5	-0.9	35.76	89.03
Stage 5	-1.1	53.04	86.4
Stage 5	-1.3	69.67	83.17
Stage 5	-1.5	85.54	79.35
Stage 5	-1.7	100.53	74.92
Stage 5	-1.9	114.5	69.89
Stage 5	-2.1	127.35	64.25
Stage 5	-2.3	138.96	58.01
Stage 5	-2.5	149.19	51.19
Stage 5	-2.7	157.95	43.77
Stage 5	-2.9	165.1	35.76
Stage 5	-3.1	170.53	27.17
Stage 5	-3.3	174.13	17.99
Stage 5	-3.5	175.77	8.23
Stage 5	-3.7	175.35	-2.12
Stage 5	-3.9	172.74	-13.05
Stage 5	-4.1	167.83	-24.56
Stage 5	-4.3	160.5	-36.64
Stage 5	-4.5	150.64	-49.31
Stage 5	-4.7	138.13	-62.55
Stage 5	-4.9	123.59	-72.69
Stage 5	-5.1	107.65	-79.72
Stage 5	-5.3	90.92	-83.64
Stage 5	-5.5	74.03	-84.45
Stage 5	-5.7	57.6	-82.15
Stage 5	-5.9	42.25	-76.74
Stage 5	-6.1	28.02	-71.16
Stage 5	-6.3	14.88	-65.68
Stage 5	-6.5	2.82	-60.3
Stage 5	-6.7	-8.18	-55.03
Stage 5	-6.9	-18.15	-49.85
Stage 5	-7.1	-27.11	-44.78
Stage 5	-7.3	-35.07	-39.82
Stage 5	-7.5	-42.06	-34.95
Stage 5	-7.7	-48.1	-30.17
Stage 5	-7.9	-53.19	-25.49
Stage 5	-8.1	-57.37	-20.89
Stage 5	-8.3	-60.65	-16.37
Stage 5	-8.5	-63.03	-11.93
Stage 5	-8.7	-64.54	-7.55
Stage 5	-8.9	-65.19	-3.23
Stage 5	-9.1	-64.98	1.03
Stage 5	-9.3	-63.93	5.24
Stage 5	-9.5	-62.05	9.42
Stage 5	-9.7	-59.34	13.57
Stage 5	-9.9	-55.8	17.69
Stage 5	-10.1	-51.44	21.77
Stage 5	-10.3	-46.28	25.82
Stage 5	-10.5	-40.31	29.85
Stage 5	-10.7	-33.54	33.86
Stage 5	-10.9	-26.19	36.74
Stage 5	-11.1	-18.85	36.69
Stage 5	-11.3	-12.11	33.72
Stage 5	-11.5	-6.54	27.86
Stage 5	-11.7	-2.49	20.23
Stage 5	-11.9	-0.29	11.01
Stage 5	-12	0	2.9

**Tabella Risultati Paratia A1+M1+R1 (R3 per tiranti) - Left Wall - Stage: Stage 6**

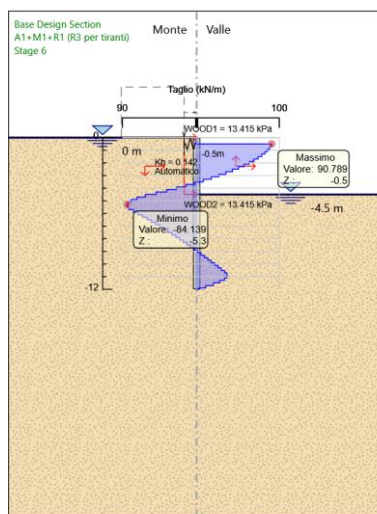
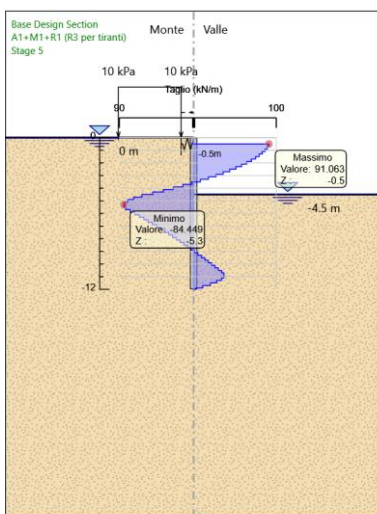
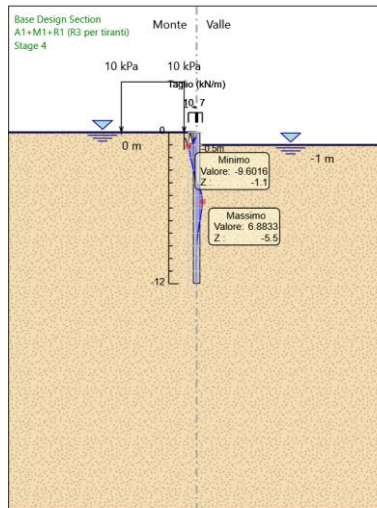
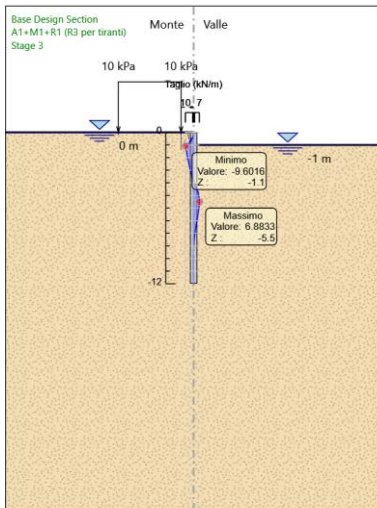
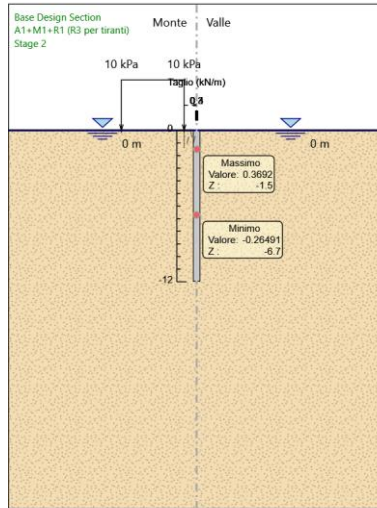
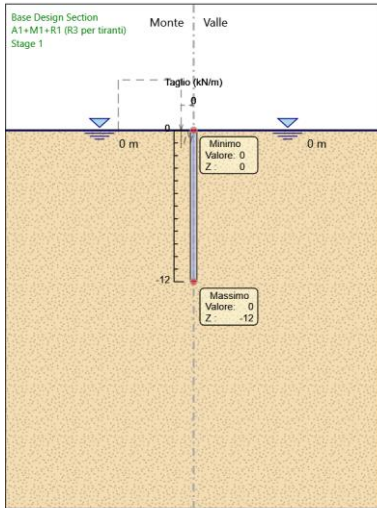
Design Assumption: A1+M1+R1 (R3 per tiranti) Risultati Paratia		Muro: LEFT	
Stage	Z (m)	Momento (kN*m/m)	Taglio (kN/m)
Stage 6	0	0	0
Stage 6	-0.2	0	0
Stage 6	-0.2	0	0
Stage 6	-0.4	-0.13	-0.65
Stage 6	-0.5	-0.29	-1.57
Stage 6	-0.7	17.87	90.79
Stage 6	-0.9	35.61	88.68
Stage 6	-1.1	52.8	85.99
Stage 6	-1.3	69.35	82.71
Stage 6	-1.5	85.11	78.84
Stage 6	-1.7	99.99	74.39
Stage 6	-1.9	113.87	69.36
Stage 6	-2.1	126.61	63.74
Stage 6	-2.3	138.12	57.54
Stage 6	-2.5	148.27	50.76
Stage 6	-2.7	156.95	43.39
Stage 6	-2.9	164.04	35.45
Stage 6	-3.1	169.43	26.92
Stage 6	-3.3	172.99	17.81
Stage 6	-3.5	174.61	8.12
Stage 6	-3.7	174.18	-2.15
Stage 6	-3.9	171.58	-12.99
Stage 6	-4.1	166.7	-24.41
Stage 6	-4.3	159.42	-36.41
Stage 6	-4.5	149.62	-48.98
Stage 6	-4.7	137.2	-62.13
Stage 6	-4.9	122.73	-72.3
Stage 6	-5.1	106.86	-79.36
Stage 6	-5.3	90.2	-83.31
Stage 6	-5.5	73.37	-84.14
Stage 6	-5.7	57	-81.86
Stage 6	-5.9	41.71	-76.46
Stage 6	-6.1	27.53	-70.88
Stage 6	-6.3	14.45	-65.4
Stage 6	-6.5	2.45	-60.03
Stage 6	-6.7	-8.5	-54.76
Stage 6	-6.9	-18.42	-49.6
Stage 6	-7.1	-27.33	-44.55
Stage 6	-7.3	-35.25	-39.59
Stage 6	-7.5	-42.2	-34.74
Stage 6	-7.7	-48.2	-29.99
Stage 6	-7.9	-53.26	-25.33
Stage 6	-8.1	-57.41	-20.75
Stage 6	-8.3	-60.66	-16.25
Stage 6	-8.5	-63.03	-11.82
Stage 6	-8.7	-64.52	-7.47
Stage 6	-8.9	-65.15	-3.17
Stage 6	-9.1	-64.94	1.08
Stage 6	-9.3	-63.88	5.28
Stage 6	-9.5	-61.99	9.44
Stage 6	-9.7	-59.28	13.57
Stage 6	-9.9	-55.74	17.68
Stage 6	-10.1	-51.4	21.75
Stage 6	-10.3	-46.24	25.79
Stage 6	-10.5	-40.27	29.82
Stage 6	-10.7	-33.51	33.82
Stage 6	-10.9	-26.17	36.71
Stage 6	-11.1	-18.83	36.66
Stage 6	-11.3	-12.1	33.69
Stage 6	-11.5	-6.53	27.83
Stage 6	-11.7	-2.49	20.21
Stage 6	-11.9	-0.29	11
Stage 6	-12	0	2.9

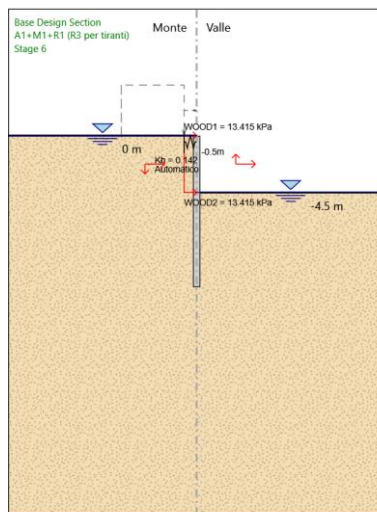
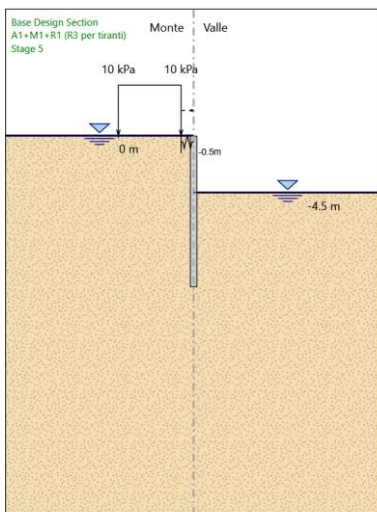
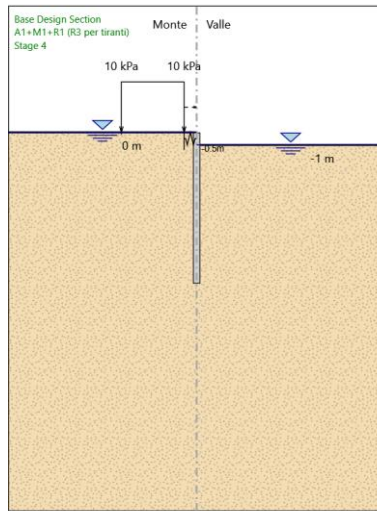
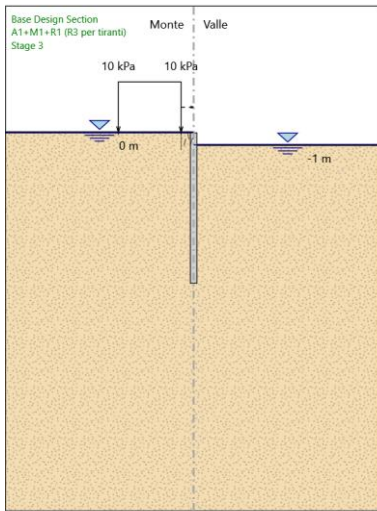
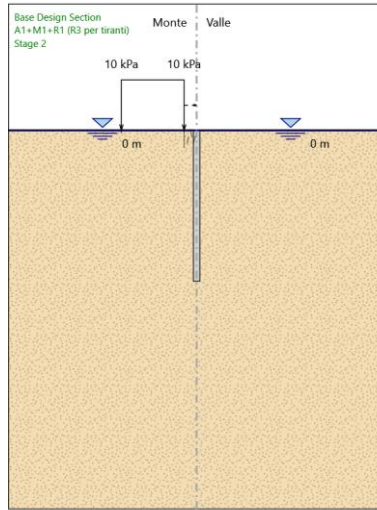
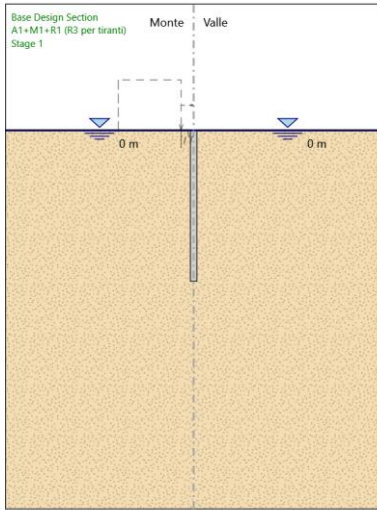
### Tabella Grafici dei Risultati

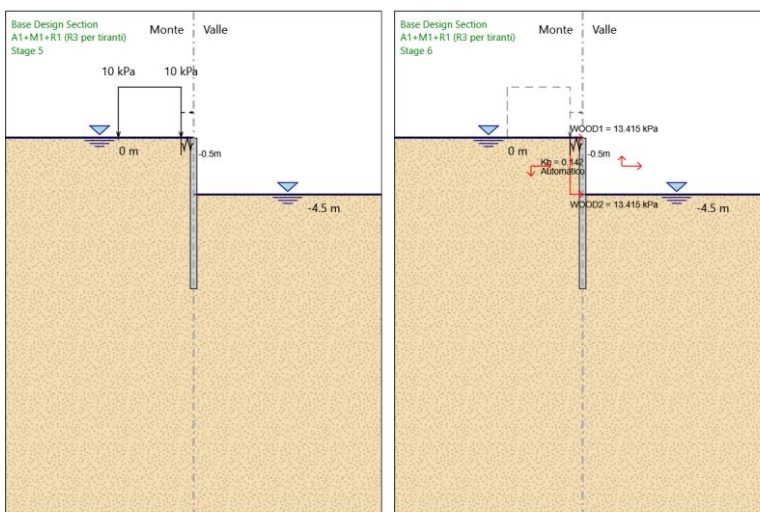
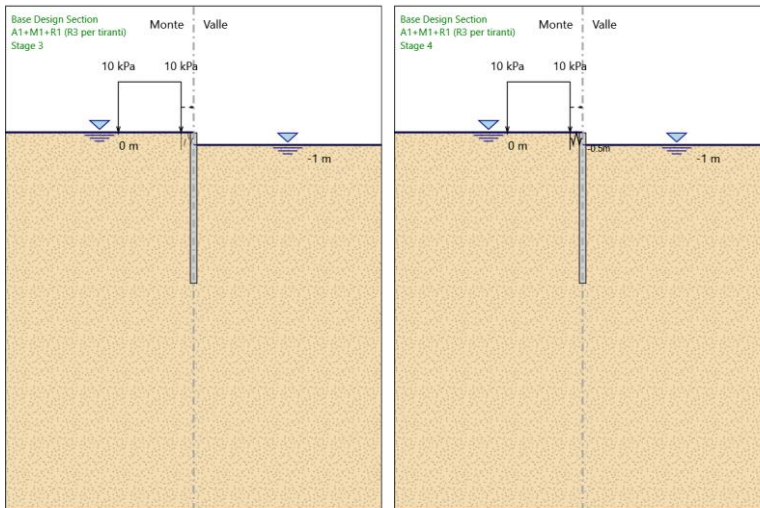
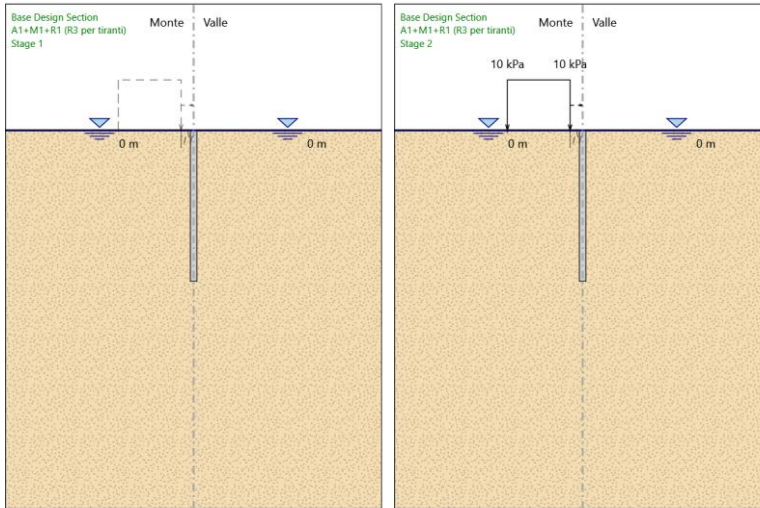












**Risultati Elementi strutturali - A1+M1+R1 (R3 per tiranti)**

Design Assumption: A1+M1+R1 (R3 per tiranti) Sollecitazione Spring

Stage	Forza (kN/m)
Stage 4	-3.05740682E-15
Stage 5	93.585648
Stage 6	93.501707

## Risultati A2+M2+R1

### Tabella Risultati Paratia A2+M2+R1 - Left Wall - Stage: Stage 1

Design Assumption: A2+M2+R1 Risultati Paratia		Muro: LEFT	
Stage	Z (m)	Momento (kN*m/m)	Taglio (kN/m)
Stage 1	0	0	0
Stage 1	-0.2	0	0
Stage 1	-0.4	0	0
Stage 1	-0.5	0	0
Stage 1	-0.7	0	0
Stage 1	-0.9	0	0
Stage 1	-1.1	0	0
Stage 1	-1.3	0	0
Stage 1	-1.5	0	0
Stage 1	-1.7	0	0
Stage 1	-1.9	0	0
Stage 1	-2.1	0	0
Stage 1	-2.3	0	0
Stage 1	-2.5	0	0
Stage 1	-2.7	0	0
Stage 1	-2.9	0	0
Stage 1	-3.1	0	0
Stage 1	-3.3	0	0
Stage 1	-3.5	0	0
Stage 1	-3.7	0	0
Stage 1	-3.9	0	0
Stage 1	-4.1	0	0
Stage 1	-4.3	0	0
Stage 1	-4.5	0	0
Stage 1	-4.7	0	0
Stage 1	-4.9	0	0
Stage 1	-5.1	0	0
Stage 1	-5.3	0	0
Stage 1	-5.5	0	0
Stage 1	-5.7	0	0
Stage 1	-5.9	0	0
Stage 1	-6.1	0	0
Stage 1	-6.3	0	0
Stage 1	-6.5	0	0
Stage 1	-6.7	0	0
Stage 1	-6.9	0	0
Stage 1	-7.1	0	0
Stage 1	-7.3	0	0
Stage 1	-7.5	0	0
Stage 1	-7.7	0	0
Stage 1	-7.9	0	0
Stage 1	-8.1	0	0
Stage 1	-8.3	0	0
Stage 1	-8.5	0	0
Stage 1	-8.7	0	0
Stage 1	-8.9	0	0
Stage 1	-9.1	0	0
Stage 1	-9.3	0	0
Stage 1	-9.5	0	0
Stage 1	-9.7	0	0
Stage 1	-9.9	0	0
Stage 1	-10.1	0	0
Stage 1	-10.3	0	0
Stage 1	-10.5	0	0
Stage 1	-10.7	0	0
Stage 1	-10.9	0	0
Stage 1	-11.1	0	0
Stage 1	-11.3	0	0
Stage 1	-11.5	0	0
Stage 1	-11.7	0	0
Stage 1	-11.9	0	0
Stage 1	-12	0	0

### Tabella Risultati Paratia A2+M2+R1 - Left Wall - Stage: Stage 2

Design Assumption: A2+M2+R1 Risultati Paratia		Muro: LEFT	
Stage	Z (m)	Momento (kN*m/m)	Taglio (kN/m)
Stage 2	0	0	0
Stage 2	-0.2	0	0
Stage 2	-0.2	0	0
Stage 2	-0.4	0	0.02
Stage 2	-0.5	0.01	0.06
Stage 2	-0.7	0.03	0.1
Stage 2	-0.9	0.06	0.16
Stage 2	-1.1	0.1	0.21
Stage 2	-1.3	0.16	0.26
Stage 2	-1.5	0.22	0.31
Stage 2	-1.7	0.29	0.34
Stage 2	-1.9	0.35	0.33
Stage 2	-2.1	0.42	0.31
Stage 2	-2.3	0.47	0.28
Stage 2	-2.5	0.52	0.24
Stage 2	-2.7	0.56	0.2
Stage 2	-2.9	0.59	0.16
Stage 2	-3.1	0.62	0.13
Stage 2	-3.3	0.64	0.09
Stage 2	-3.5	0.65	0.07
Stage 2	-3.7	0.66	0.04
Stage 2	-3.9	0.66	0.01
Stage 2	-4.1	0.66	-0.01
Stage 2	-4.3	0.65	-0.03
Stage 2	-4.5	0.65	-0.04
Stage 2	-4.7	0.64	-0.05
Stage 2	-4.9	0.63	-0.06
Stage 2	-5.1	0.61	-0.07
Stage 2	-5.3	0.6	-0.08
Stage 2	-5.5	0.58	-0.1
Stage 2	-5.7	0.55	-0.12
Stage 2	-5.9	0.52	-0.15
Stage 2	-6.1	0.48	-0.18
Stage 2	-6.3	0.44	-0.21
Stage 2	-6.5	0.4	-0.23
Stage 2	-6.7	0.35	-0.24
Stage 2	-6.9	0.3	-0.24
Stage 2	-7.1	0.25	-0.24
Stage 2	-7.3	0.21	-0.23
Stage 2	-7.5	0.16	-0.21
Stage 2	-7.7	0.12	-0.2
Stage 2	-7.9	0.09	-0.18
Stage 2	-8.1	0.06	-0.16
Stage 2	-8.3	0.03	-0.14
Stage 2	-8.5	0.01	-0.12
Stage 2	-8.7	-0.01	-0.1
Stage 2	-8.9	-0.03	-0.08
Stage 2	-9.1	-0.04	-0.06
Stage 2	-9.3	-0.05	-0.04
Stage 2	-9.5	-0.05	-0.02
Stage 2	-9.7	-0.05	-0.01
Stage 2	-9.9	-0.05	0
Stage 2	-10.1	-0.05	0.01
Stage 2	-10.3	-0.05	0.02
Stage 2	-10.5	-0.04	0.03
Stage 2	-10.7	-0.03	0.03
Stage 2	-10.9	-0.03	0.04
Stage 2	-11.1	-0.02	0.04
Stage 2	-11.3	-0.01	0.03
Stage 2	-11.5	-0.01	0.03
Stage 2	-11.7	0	0.02
Stage 2	-11.9	0	0.01
Stage 2	-12	0	0



### Tabella Risultati Paratia A2+M2+R1 - Left Wall - Stage: Stage 3

Design Assumption: A2+M2+R1 Risultati Paratia		Muro: LEFT	
Stage	Z (m)	Momento (kN*m/m)	Taglio (kN/m)
Stage 3	0	0	0
Stage 3	-0.2	0	0
Stage 3	-0.2	0	0
Stage 3	-0.4	-0.11	-0.53
Stage 3	-0.5	-0.24	-1.33
Stage 3	-0.7	-0.71	-2.33
Stage 3	-0.9	-1.55	-4.22
Stage 3	-1.1	-2.88	-6.66
Stage 3	-1.3	-4.58	-8.48
Stage 3	-1.5	-6.28	-8.5
Stage 3	-1.7	-7.77	-7.47
Stage 3	-1.9	-9.08	-6.53
Stage 3	-2.1	-10.21	-5.67
Stage 3	-2.3	-11.19	-4.9
Stage 3	-2.5	-12.03	-4.18
Stage 3	-2.7	-12.73	-3.53
Stage 3	-2.9	-13.32	-2.93
Stage 3	-3.1	-13.8	-2.38
Stage 3	-3.3	-14.17	-1.85
Stage 3	-3.5	-14.44	-1.36
Stage 3	-3.7	-14.61	-0.88
Stage 3	-3.9	-14.7	-0.42
Stage 3	-4.1	-14.69	0.04
Stage 3	-4.3	-14.58	0.52
Stage 3	-4.5	-14.38	1
Stage 3	-4.7	-14.08	1.51
Stage 3	-4.9	-13.67	2.05
Stage 3	-5.1	-13.14	2.63
Stage 3	-5.3	-12.49	3.25
Stage 3	-5.5	-11.71	3.93
Stage 3	-5.7	-10.82	4.44
Stage 3	-5.9	-9.87	4.75
Stage 3	-6.1	-8.89	4.9
Stage 3	-6.3	-7.91	4.91
Stage 3	-6.5	-6.94	4.83
Stage 3	-6.7	-6.01	4.64
Stage 3	-6.9	-5.13	4.38
Stage 3	-7.1	-4.32	4.07
Stage 3	-7.3	-3.57	3.73
Stage 3	-7.5	-2.9	3.37
Stage 3	-7.7	-2.3	3
Stage 3	-7.9	-1.78	2.63
Stage 3	-8.1	-1.32	2.27
Stage 3	-8.3	-0.94	1.93
Stage 3	-8.5	-0.61	1.61
Stage 3	-8.7	-0.35	1.31
Stage 3	-8.9	-0.14	1.04
Stage 3	-9.1	0.02	0.8
Stage 3	-9.3	0.14	0.59
Stage 3	-9.5	0.22	0.4
Stage 3	-9.7	0.27	0.25
Stage 3	-9.9	0.29	0.11
Stage 3	-10.1	0.29	0.01
Stage 3	-10.3	0.27	-0.08
Stage 3	-10.5	0.24	-0.14
Stage 3	-10.7	0.21	-0.19
Stage 3	-10.9	0.16	-0.21
Stage 3	-11.1	0.12	-0.22
Stage 3	-11.3	0.08	-0.21
Stage 3	-11.5	0.04	-0.18
Stage 3	-11.7	0.02	-0.14
Stage 3	-11.9	0	-0.08
Stage 3	-12	0	-0.02

### Tabella Risultati Paratia A2+M2+R1 - Left Wall - Stage: Stage 4

Design Assumption: A2+M2+R1 Risultati Paratia		Muro: LEFT	
Stage	Z (m)	Momento (kN*m/m)	Taglio (kN/m)
Stage 4	0	0	0
Stage 4	-0.2	0	0
Stage 4	-0.2	0	0
Stage 4	-0.4	-0.11	-0.53
Stage 4	-0.5	-0.24	-1.33
Stage 4	-0.7	-0.71	-2.33
Stage 4	-0.9	-1.55	-4.22
Stage 4	-1.1	-2.88	-6.66
Stage 4	-1.3	-4.58	-8.48
Stage 4	-1.5	-6.28	-8.5
Stage 4	-1.7	-7.77	-7.47
Stage 4	-1.9	-9.08	-6.53
Stage 4	-2.1	-10.21	-5.67
Stage 4	-2.3	-11.19	-4.9
Stage 4	-2.5	-12.03	-4.18
Stage 4	-2.7	-12.73	-3.53
Stage 4	-2.9	-13.32	-2.93
Stage 4	-3.1	-13.8	-2.38
Stage 4	-3.3	-14.17	-1.85
Stage 4	-3.5	-14.44	-1.36
Stage 4	-3.7	-14.61	-0.88
Stage 4	-3.9	-14.7	-0.42
Stage 4	-4.1	-14.69	0.04
Stage 4	-4.3	-14.58	0.52
Stage 4	-4.5	-14.38	1
Stage 4	-4.7	-14.08	1.51
Stage 4	-4.9	-13.67	2.05
Stage 4	-5.1	-13.14	2.63
Stage 4	-5.3	-12.49	3.25
Stage 4	-5.5	-11.71	3.93
Stage 4	-5.7	-10.82	4.44
Stage 4	-5.9	-9.87	4.75
Stage 4	-6.1	-8.89	4.9
Stage 4	-6.3	-7.91	4.91
Stage 4	-6.5	-6.94	4.83
Stage 4	-6.7	-6.01	4.64
Stage 4	-6.9	-5.13	4.38
Stage 4	-7.1	-4.32	4.07
Stage 4	-7.3	-3.57	3.73
Stage 4	-7.5	-2.9	3.37
Stage 4	-7.7	-2.3	3
Stage 4	-7.9	-1.78	2.63
Stage 4	-8.1	-1.32	2.27
Stage 4	-8.3	-0.94	1.93
Stage 4	-8.5	-0.61	1.61
Stage 4	-8.7	-0.35	1.31
Stage 4	-8.9	-0.14	1.04
Stage 4	-9.1	0.02	0.8
Stage 4	-9.3	0.14	0.59
Stage 4	-9.5	0.22	0.4
Stage 4	-9.7	0.27	0.25
Stage 4	-9.9	0.29	0.11
Stage 4	-10.1	0.29	0.01
Stage 4	-10.3	0.27	-0.08
Stage 4	-10.5	0.24	-0.14
Stage 4	-10.7	0.21	-0.19
Stage 4	-10.9	0.16	-0.21
Stage 4	-11.1	0.12	-0.22
Stage 4	-11.3	0.08	-0.21
Stage 4	-11.5	0.04	-0.18
Stage 4	-11.7	0.02	-0.14
Stage 4	-11.9	0	-0.08
Stage 4	-12	0	-0.02

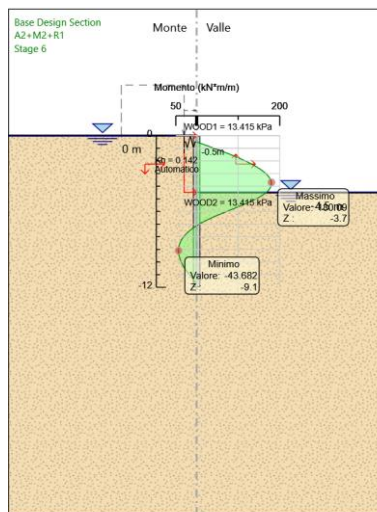
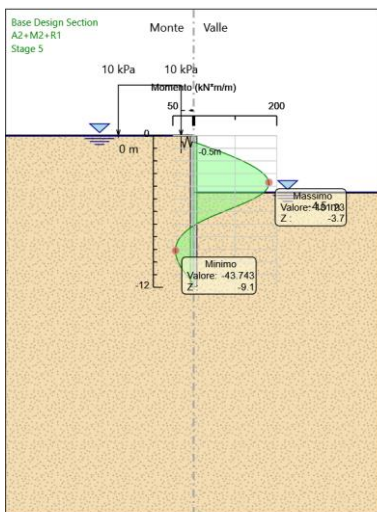
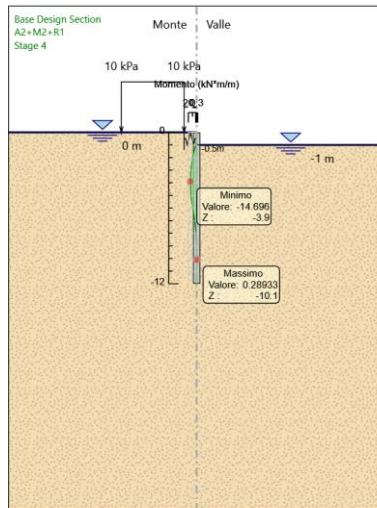
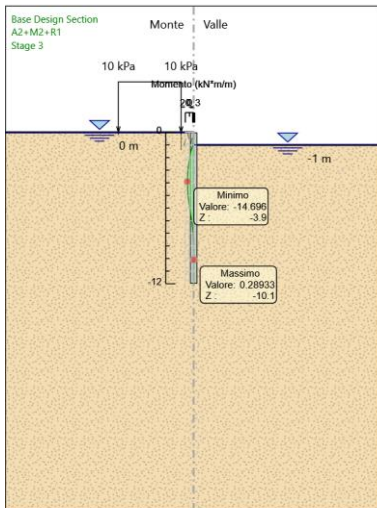
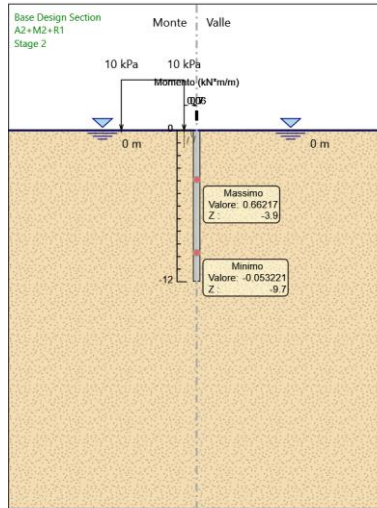
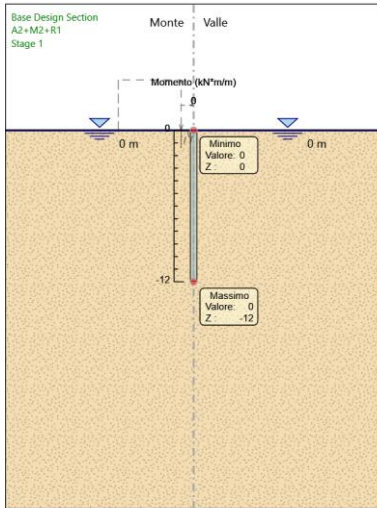
### Tabella Risultati Paratia A2+M2+R1 - Left Wall - Stage: Stage 5

Design Assumption: A2+M2+R1 Risultati Paratia		Muro: LEFT	
Stage	Z (m)	Momento (kN*m/m)	Taglio (kN/m)
Stage 5	0	0	0
Stage 5	-0.2	0	0
Stage 5	-0.2	0	0
Stage 5	-0.4	-0.1	-0.48
Stage 5	-0.5	-0.22	-1.2
Stage 5	-0.7	17.22	87.2
Stage 5	-0.9	34.32	85.49
Stage 5	-1.1	50.98	83.28
Stage 5	-1.3	67.09	80.57
Stage 5	-1.5	82.57	77.35
Stage 5	-1.7	97.29	73.62
Stage 5	-1.9	111.17	69.38
Stage 5	-2.1	124.09	64.62
Stage 5	-2.3	135.96	59.35
Stage 5	-2.5	146.68	53.59
Stage 5	-2.7	156.14	47.33
Stage 5	-2.9	164.26	40.57
Stage 5	-3.1	170.92	33.32
Stage 5	-3.3	176.03	25.57
Stage 5	-3.5	179.5	17.34
Stage 5	-3.7	181.23	8.62
Stage 5	-3.9	181.11	-0.59
Stage 5	-4.1	179.05	-10.29
Stage 5	-4.3	174.95	-20.48
Stage 5	-4.5	168.72	-31.14
Stage 5	-4.7	160.27	-42.29
Stage 5	-4.9	149.9	-51.84
Stage 5	-5.1	137.94	-59.79
Stage 5	-5.3	124.71	-66.14
Stage 5	-5.5	110.53	-70.89
Stage 5	-5.7	95.72	-74.04
Stage 5	-5.9	80.61	-75.58
Stage 5	-6.1	65.5	-75.52
Stage 5	-6.3	50.73	-73.85
Stage 5	-6.5	36.62	-70.57
Stage 5	-6.7	23.48	-65.67
Stage 5	-6.9	11.65	-59.16
Stage 5	-7.1	1.14	-52.57
Stage 5	-7.3	-8.11	-46.27
Stage 5	-7.5	-16.16	-40.24
Stage 5	-7.7	-23.06	-34.5
Stage 5	-7.9	-28.87	-29.03
Stage 5	-8.1	-33.64	-23.84
Stage 5	-8.3	-37.42	-18.91
Stage 5	-8.5	-40.27	-14.25
Stage 5	-8.7	-42.24	-9.85
Stage 5	-8.9	-43.38	-5.71
Stage 5	-9.1	-43.74	-1.82
Stage 5	-9.3	-43.38	1.82
Stage 5	-9.5	-42.33	5.23
Stage 5	-9.7	-40.65	8.39
Stage 5	-9.9	-38.39	11.33
Stage 5	-10.1	-35.58	14.04
Stage 5	-10.3	-32.27	16.53
Stage 5	-10.5	-28.51	18.81
Stage 5	-10.7	-24.34	20.87
Stage 5	-10.9	-19.8	22.72
Stage 5	-11.1	-14.92	24.36
Stage 5	-11.3	-9.97	24.76
Stage 5	-11.5	-5.57	22.02
Stage 5	-11.7	-2.17	16.96
Stage 5	-11.9	-0.26	9.58
Stage 5	-12	0	2.57

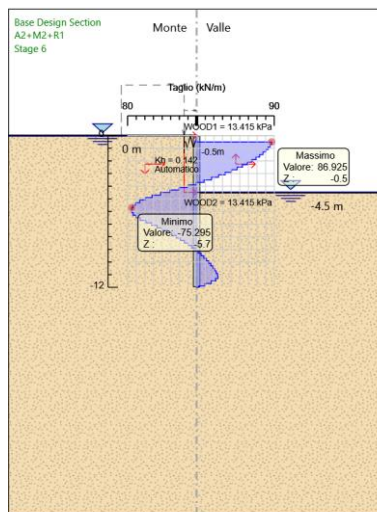
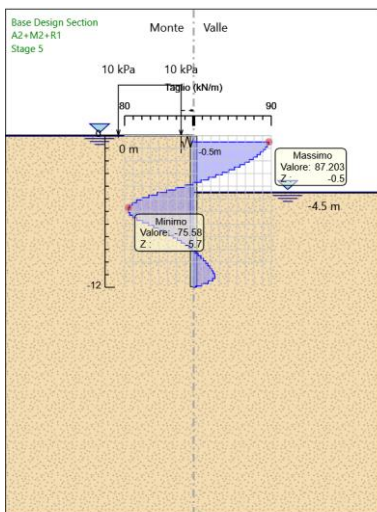
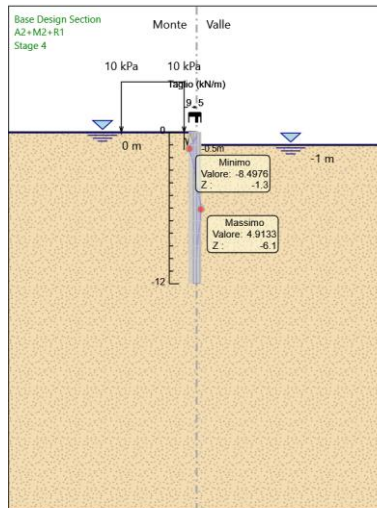
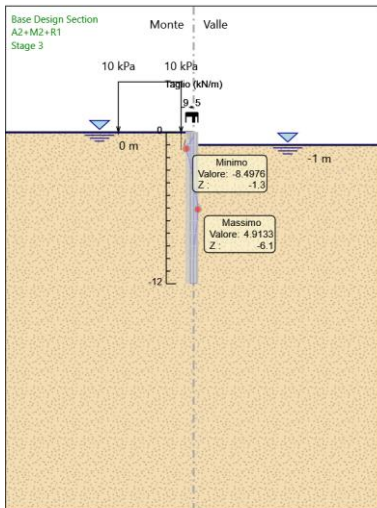
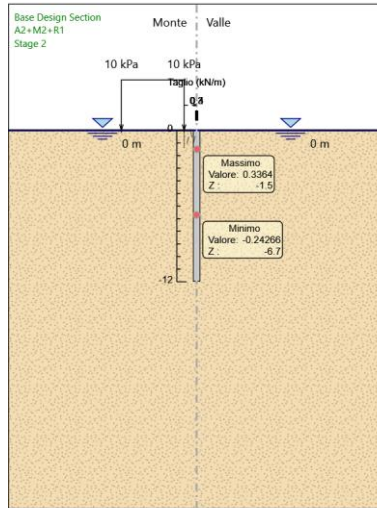
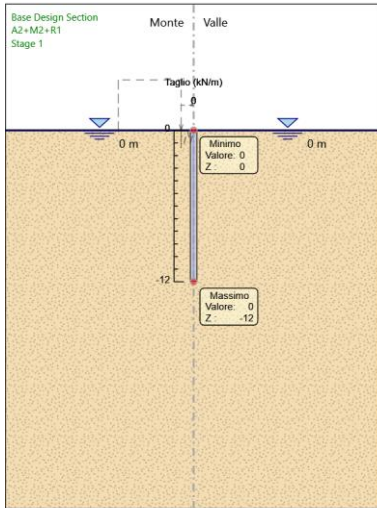
### Tabella Risultati Paratia A2+M2+R1 - Left Wall - Stage: Stage 6

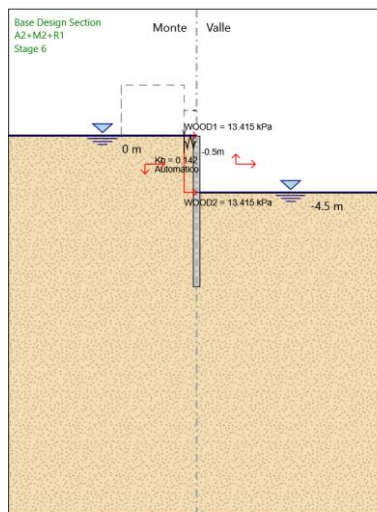
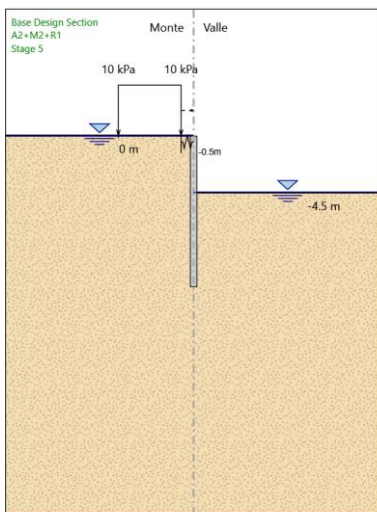
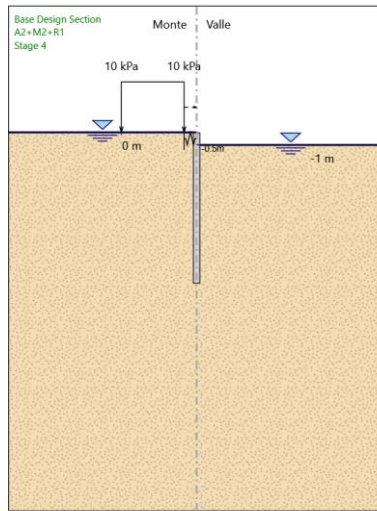
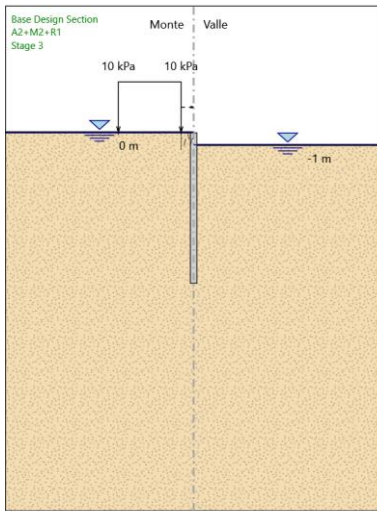
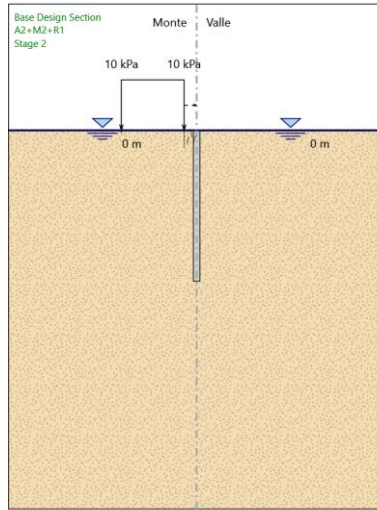
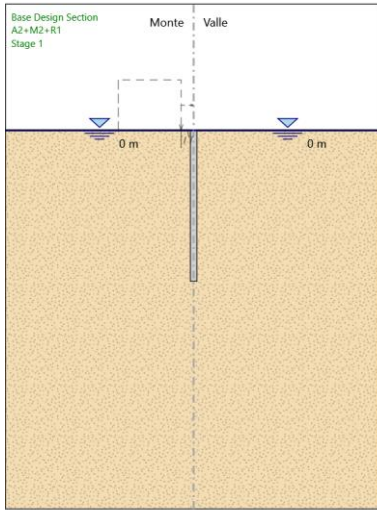
Design Assumption: A2+M2+R1 Risultati Paratia		Muro: LEFT	
Stage	Z (m)	Momento (kN*m/m)	Taglio (kN/m)
Stage 6	0	0	0
Stage 6	-0.2	0	0
Stage 6	-0.2	0	0
Stage 6	-0.4	-0.11	-0.55
Stage 6	-0.5	-0.24	-1.33
Stage 6	-0.7	17.14	86.93
Stage 6	-0.9	34.17	85.15
Stage 6	-1.1	50.75	82.88
Stage 6	-1.3	66.77	80.11
Stage 6	-1.5	82.14	76.86
Stage 6	-1.7	96.76	73.11
Stage 6	-1.9	110.53	68.86
Stage 6	-2.1	123.36	64.12
Stage 6	-2.3	135.14	58.89
Stage 6	-2.5	145.77	53.17
Stage 6	-2.7	155.16	46.96
Stage 6	-2.9	163.22	40.27
Stage 6	-3.1	169.83	33.08
Stage 6	-3.3	174.91	25.41
Stage 6	-3.5	178.37	17.25
Stage 6	-3.7	180.09	8.61
Stage 6	-3.9	179.98	-0.51
Stage 6	-4.1	177.96	-10.12
Stage 6	-4.3	173.92	-20.21
Stage 6	-4.5	167.76	-30.78
Stage 6	-4.7	159.39	-41.84
Stage 6	-4.9	149.11	-51.43
Stage 6	-5.1	137.22	-59.41
Stage 6	-5.3	124.07	-65.8
Stage 6	-5.5	109.95	-70.57
Stage 6	-5.7	95.2	-73.74
Stage 6	-5.9	80.15	-75.29
Stage 6	-6.1	65.1	-75.24
Stage 6	-6.3	50.38	-73.58
Stage 6	-6.5	36.32	-70.31
Stage 6	-6.7	23.23	-65.42
Stage 6	-6.9	11.45	-58.92
Stage 6	-7.1	0.98	-52.35
Stage 6	-7.3	-8.24	-46.07
Stage 6	-7.5	-16.25	-40.06
Stage 6	-7.7	-23.12	-34.34
Stage 6	-7.9	-28.89	-28.89
Stage 6	-8.1	-33.64	-23.71
Stage 6	-8.3	-37.4	-18.81
Stage 6	-8.5	-40.23	-14.17
Stage 6	-8.7	-42.19	-9.79
Stage 6	-8.9	-43.32	-5.67
Stage 6	-9.1	-43.68	-1.79
Stage 6	-9.3	-43.31	1.84
Stage 6	-9.5	-42.27	5.23
Stage 6	-9.7	-40.59	8.39
Stage 6	-9.9	-38.33	11.31
Stage 6	-10.1	-35.53	14.02
Stage 6	-10.3	-32.23	16.5
Stage 6	-10.5	-28.47	18.77
Stage 6	-10.7	-24.31	20.83
Stage 6	-10.9	-19.77	22.68
Stage 6	-11.1	-14.9	24.33
Stage 6	-11.3	-9.96	24.73
Stage 6	-11.5	-5.56	21.99
Stage 6	-11.7	-2.17	16.94
Stage 6	-11.9	-0.26	9.57
Stage 6	-12	0	2.57

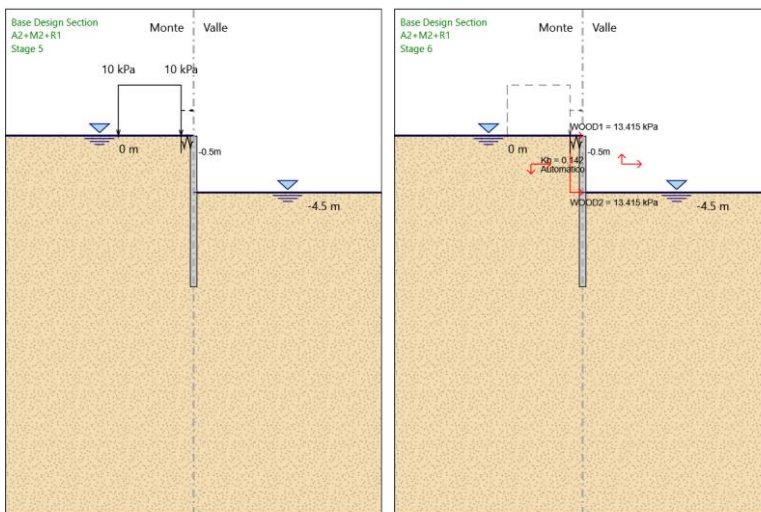
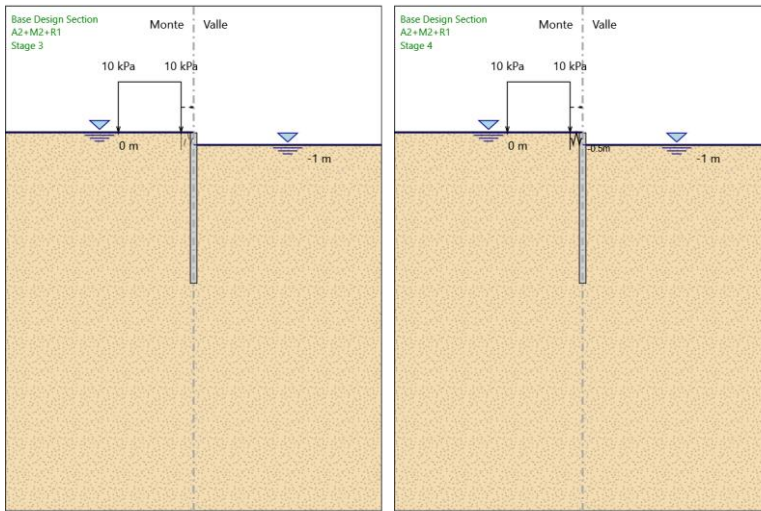
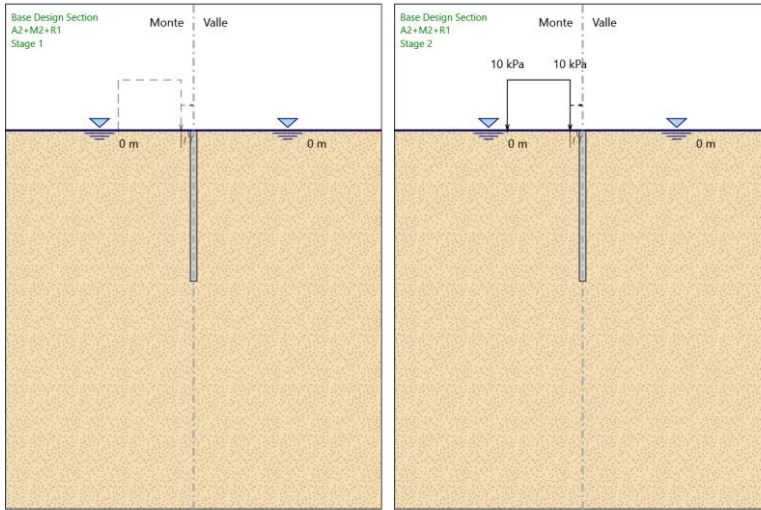












### Risultati Elementi strutturali - A2+M2+R1

Design Assumption: A2+M2+R1 Sollecitazione Spring

Stage	Forza (kN/m)
Stage 4	-2.4694439E-14
Stage 5	89.31302
Stage 6	89.22243

## Risultati SISMICA GEO

### Tabella Risultati Paratia SISMICA GEO - Left Wall - Stage: Stage 1

Design Assumption: SISMICA GEO Risultati Paratia			
Stage	Z (m)	Muro: LEFT	
		Momento (kN*m/m)	Taglio (kN/m)
Stage 1	0	0	0
Stage 1	-0.2	0	0
Stage 1	-0.4	0	0
Stage 1	-0.5	0	0
Stage 1	-0.7	0	0
Stage 1	-0.9	0	0
Stage 1	-1.1	0	0
Stage 1	-1.3	0	0
Stage 1	-1.5	0	0
Stage 1	-1.7	0	0
Stage 1	-1.9	0	0
Stage 1	-2.1	0	0
Stage 1	-2.3	0	0
Stage 1	-2.5	0	0
Stage 1	-2.7	0	0
Stage 1	-2.9	0	0
Stage 1	-3.1	0	0
Stage 1	-3.3	0	0
Stage 1	-3.5	0	0
Stage 1	-3.7	0	0
Stage 1	-3.9	0	0
Stage 1	-4.1	0	0
Stage 1	-4.3	0	0
Stage 1	-4.5	0	0
Stage 1	-4.7	0	0
Stage 1	-4.9	0	0
Stage 1	-5.1	0	0
Stage 1	-5.3	0	0
Stage 1	-5.5	0	0
Stage 1	-5.7	0	0
Stage 1	-5.9	0	0
Stage 1	-6.1	0	0
Stage 1	-6.3	0	0
Stage 1	-6.5	0	0
Stage 1	-6.7	0	0
Stage 1	-6.9	0	0
Stage 1	-7.1	0	0
Stage 1	-7.3	0	0
Stage 1	-7.5	0	0
Stage 1	-7.7	0	0
Stage 1	-7.9	0	0
Stage 1	-8.1	0	0
Stage 1	-8.3	0	0
Stage 1	-8.5	0	0
Stage 1	-8.7	0	0
Stage 1	-8.9	0	0
Stage 1	-9.1	0	0
Stage 1	-9.3	0	0
Stage 1	-9.5	0	0
Stage 1	-9.7	0	0
Stage 1	-9.9	0	0
Stage 1	-10.1	0	0
Stage 1	-10.3	0	0
Stage 1	-10.5	0	0
Stage 1	-10.7	0	0
Stage 1	-10.9	0	0
Stage 1	-11.1	0	0
Stage 1	-11.3	0	0
Stage 1	-11.5	0	0
Stage 1	-11.7	0	0
Stage 1	-11.9	0	0
Stage 1	-12	0	0

### Tabella Risultati Paratia SISMICA GEO - Left Wall - Stage: Stage 2

Design Assumption: SISMICA GEO Risultati Paratia		Muro: LEFT	
Stage	Z (m)	Momento (kN*m/m)	Taglio (kN/m)
Stage 2	0	0	0
Stage 2	-0.2	0	0
Stage 2	-0.2	0	0
Stage 2	-0.4	0	0.02
Stage 2	-0.5	0.01	0.05
Stage 2	-0.7	0.02	0.08
Stage 2	-0.9	0.05	0.12
Stage 2	-1.1	0.08	0.16
Stage 2	-1.3	0.12	0.2
Stage 2	-1.5	0.17	0.24
Stage 2	-1.7	0.22	0.26
Stage 2	-1.9	0.27	0.26
Stage 2	-2.1	0.32	0.24
Stage 2	-2.3	0.36	0.21
Stage 2	-2.5	0.4	0.19
Stage 2	-2.7	0.43	0.16
Stage 2	-2.9	0.46	0.13
Stage 2	-3.1	0.48	0.1
Stage 2	-3.3	0.49	0.07
Stage 2	-3.5	0.5	0.05
Stage 2	-3.7	0.51	0.03
Stage 2	-3.9	0.51	0.01
Stage 2	-4.1	0.51	-0.01
Stage 2	-4.3	0.5	-0.02
Stage 2	-4.5	0.5	-0.03
Stage 2	-4.7	0.49	-0.04
Stage 2	-4.9	0.48	-0.04
Stage 2	-5.1	0.47	-0.05
Stage 2	-5.3	0.46	-0.06
Stage 2	-5.5	0.44	-0.08
Stage 2	-5.7	0.42	-0.09
Stage 2	-5.9	0.4	-0.11
Stage 2	-6.1	0.37	-0.14
Stage 2	-6.3	0.34	-0.16
Stage 2	-6.5	0.3	-0.18
Stage 2	-6.7	0.27	-0.19
Stage 2	-6.9	0.23	-0.19
Stage 2	-7.1	0.19	-0.18
Stage 2	-7.3	0.16	-0.17
Stage 2	-7.5	0.13	-0.16
Stage 2	-7.7	0.1	-0.15
Stage 2	-7.9	0.07	-0.14
Stage 2	-8.1	0.04	-0.12
Stage 2	-8.3	0.02	-0.1
Stage 2	-8.5	0.01	-0.09
Stage 2	-8.7	-0.01	-0.07
Stage 2	-8.9	-0.02	-0.06
Stage 2	-9.1	-0.03	-0.04
Stage 2	-9.3	-0.04	-0.03
Stage 2	-9.5	-0.04	-0.02
Stage 2	-9.7	-0.04	-0.01
Stage 2	-9.9	-0.04	0
Stage 2	-10.1	-0.04	0.01
Stage 2	-10.3	-0.04	0.02
Stage 2	-10.5	-0.03	0.02
Stage 2	-10.7	-0.03	0.03
Stage 2	-10.9	-0.02	0.03
Stage 2	-11.1	-0.02	0.03
Stage 2	-11.3	-0.01	0.03
Stage 2	-11.5	-0.01	0.02
Stage 2	-11.7	0	0.02
Stage 2	-11.9	0	0.01
Stage 2	-12	0	0



### Tabella Risultati Paratia SISMICA GEO - Left Wall - Stage: Stage 3

Design Assumption: SISMICA GEO Risultati Paratia		Muro: LEFT	
Stage	Z (m)	Momento (kN*m/m)	Taglio (kN/m)
Stage 3	0	0	0
Stage 3	-0.2	0	0
Stage 3	-0.2	0	0
Stage 3	-0.4	-0.11	-0.53
Stage 3	-0.5	-0.24	-1.33
Stage 3	-0.7	-0.7	-2.33
Stage 3	-0.9	-1.55	-4.21
Stage 3	-1.1	-2.87	-6.63
Stage 3	-1.3	-4.56	-8.43
Stage 3	-1.5	-6.24	-8.42
Stage 3	-1.7	-7.73	-7.44
Stage 3	-1.9	-9.04	-6.54
Stage 3	-2.1	-10.18	-5.72
Stage 3	-2.3	-11.18	-4.96
Stage 3	-2.5	-12.03	-4.26
Stage 3	-2.7	-12.75	-3.62
Stage 3	-2.9	-13.35	-3.02
Stage 3	-3.1	-13.85	-2.45
Stage 3	-3.3	-14.23	-1.92
Stage 3	-3.5	-14.51	-1.41
Stage 3	-3.7	-14.69	-0.91
Stage 3	-3.9	-14.78	-0.42
Stage 3	-4.1	-14.76	0.07
Stage 3	-4.3	-14.65	0.58
Stage 3	-4.5	-14.43	1.1
Stage 3	-4.7	-14.09	1.65
Stage 3	-4.9	-13.65	2.24
Stage 3	-5.1	-13.07	2.87
Stage 3	-5.3	-12.37	3.54
Stage 3	-5.5	-11.52	4.2
Stage 3	-5.7	-10.6	4.64
Stage 3	-5.9	-9.62	4.89
Stage 3	-6.1	-8.62	4.99
Stage 3	-6.3	-7.63	4.97
Stage 3	-6.5	-6.66	4.84
Stage 3	-6.7	-5.74	4.62
Stage 3	-6.9	-4.87	4.33
Stage 3	-7.1	-4.07	4
Stage 3	-7.3	-3.34	3.64
Stage 3	-7.5	-2.69	3.27
Stage 3	-7.7	-2.11	2.9
Stage 3	-7.9	-1.6	2.53
Stage 3	-8.1	-1.17	2.17
Stage 3	-8.3	-0.8	1.83
Stage 3	-8.5	-0.5	1.52
Stage 3	-8.7	-0.25	1.23
Stage 3	-8.9	-0.06	0.97
Stage 3	-9.1	0.09	0.73
Stage 3	-9.3	0.19	0.53
Stage 3	-9.5	0.26	0.35
Stage 3	-9.7	0.3	0.2
Stage 3	-9.9	0.32	0.07
Stage 3	-10.1	0.31	-0.03
Stage 3	-10.3	0.29	-0.11
Stage 3	-10.5	0.26	-0.17
Stage 3	-10.7	0.22	-0.21
Stage 3	-10.9	0.17	-0.23
Stage 3	-11.1	0.13	-0.23
Stage 3	-11.3	0.08	-0.21
Stage 3	-11.5	0.05	-0.18
Stage 3	-11.7	0.02	-0.14
Stage 3	-11.9	0	-0.08
Stage 3	-12	0	-0.02

### Tabella Risultati Paratia SISMICA GEO - Left Wall - Stage: Stage 4

Design Assumption: SISMICA GEO Risultati Paratia		Muro: LEFT	
Stage	Z (m)	Momento (kN*m/m)	Taglio (kN/m)
Stage 4	0	0	0
Stage 4	-0.2	0	0
Stage 4	-0.2	0	0
Stage 4	-0.4	-0.11	-0.53
Stage 4	-0.5	-0.24	-1.33
Stage 4	-0.7	-0.7	-2.33
Stage 4	-0.9	-1.55	-4.21
Stage 4	-1.1	-2.87	-6.63
Stage 4	-1.3	-4.56	-8.43
Stage 4	-1.5	-6.24	-8.42
Stage 4	-1.7	-7.73	-7.44
Stage 4	-1.9	-9.04	-6.54
Stage 4	-2.1	-10.18	-5.72
Stage 4	-2.3	-11.18	-4.96
Stage 4	-2.5	-12.03	-4.26
Stage 4	-2.7	-12.75	-3.62
Stage 4	-2.9	-13.35	-3.02
Stage 4	-3.1	-13.85	-2.45
Stage 4	-3.3	-14.23	-1.92
Stage 4	-3.5	-14.51	-1.41
Stage 4	-3.7	-14.69	-0.91
Stage 4	-3.9	-14.78	-0.42
Stage 4	-4.1	-14.76	0.07
Stage 4	-4.3	-14.65	0.58
Stage 4	-4.5	-14.43	1.1
Stage 4	-4.7	-14.09	1.65
Stage 4	-4.9	-13.65	2.24
Stage 4	-5.1	-13.07	2.87
Stage 4	-5.3	-12.37	3.54
Stage 4	-5.5	-11.52	4.2
Stage 4	-5.7	-10.6	4.64
Stage 4	-5.9	-9.62	4.89
Stage 4	-6.1	-8.62	4.99
Stage 4	-6.3	-7.63	4.97
Stage 4	-6.5	-6.66	4.84
Stage 4	-6.7	-5.74	4.62
Stage 4	-6.9	-4.87	4.33
Stage 4	-7.1	-4.07	4
Stage 4	-7.3	-3.34	3.64
Stage 4	-7.5	-2.69	3.27
Stage 4	-7.7	-2.11	2.9
Stage 4	-7.9	-1.6	2.53
Stage 4	-8.1	-1.17	2.17
Stage 4	-8.3	-0.8	1.83
Stage 4	-8.5	-0.5	1.52
Stage 4	-8.7	-0.25	1.23
Stage 4	-8.9	-0.06	0.97
Stage 4	-9.1	0.09	0.73
Stage 4	-9.3	0.19	0.53
Stage 4	-9.5	0.26	0.35
Stage 4	-9.7	0.3	0.2
Stage 4	-9.9	0.32	0.07
Stage 4	-10.1	0.31	-0.03
Stage 4	-10.3	0.29	-0.11
Stage 4	-10.5	0.26	-0.17
Stage 4	-10.7	0.22	-0.21
Stage 4	-10.9	0.17	-0.23
Stage 4	-11.1	0.13	-0.23
Stage 4	-11.3	0.08	-0.21
Stage 4	-11.5	0.05	-0.18
Stage 4	-11.7	0.02	-0.14
Stage 4	-11.9	0	-0.08
Stage 4	-12	0	-0.02

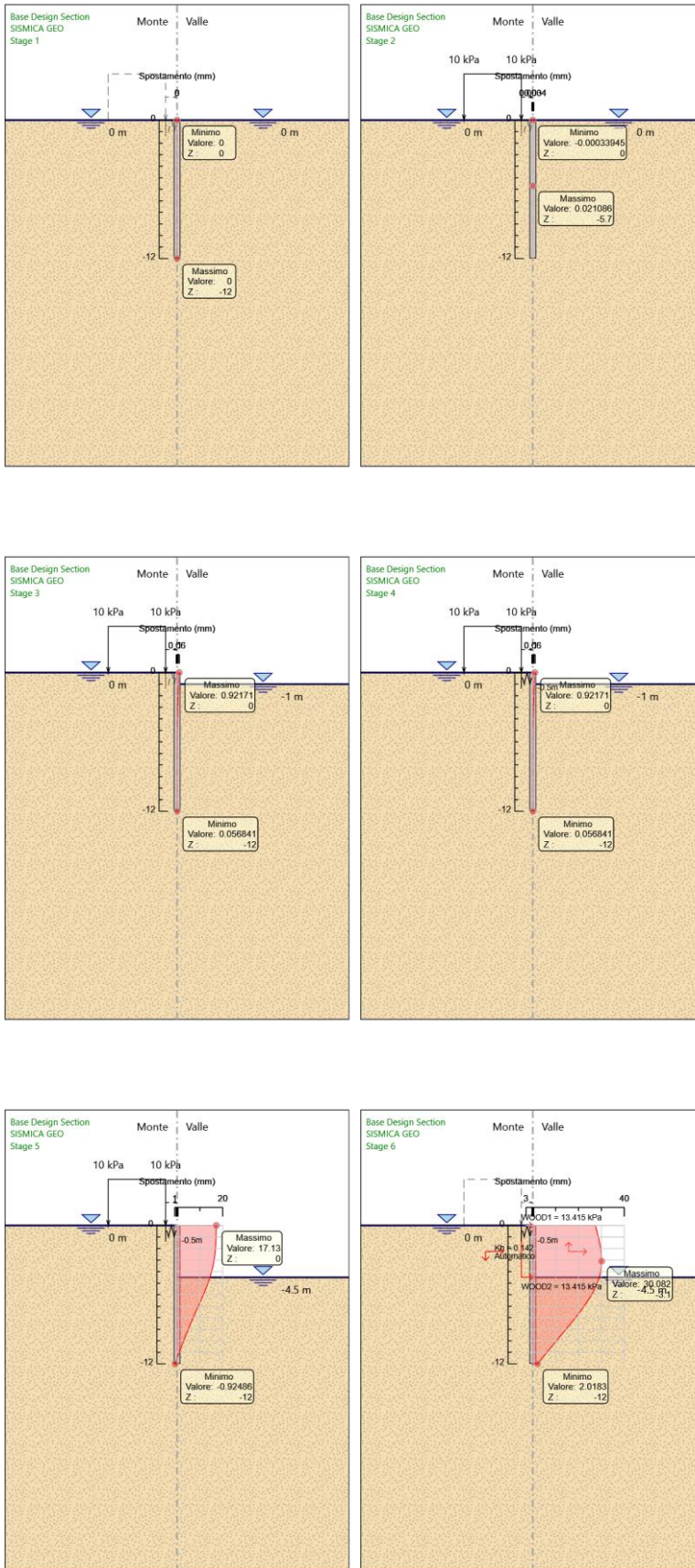
### Tabella Risultati Paratia SISMICA GEO - Left Wall - Stage: Stage 5

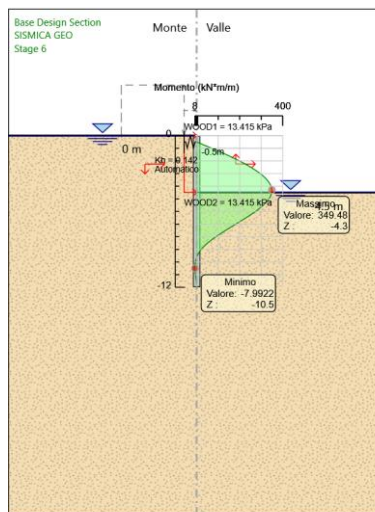
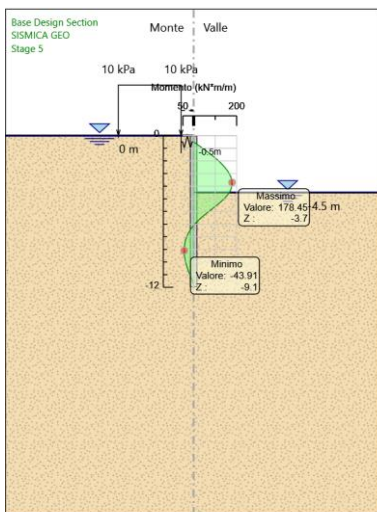
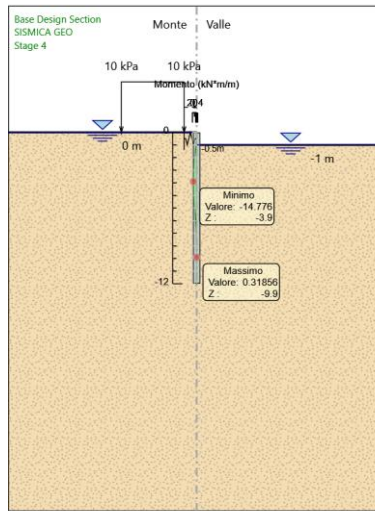
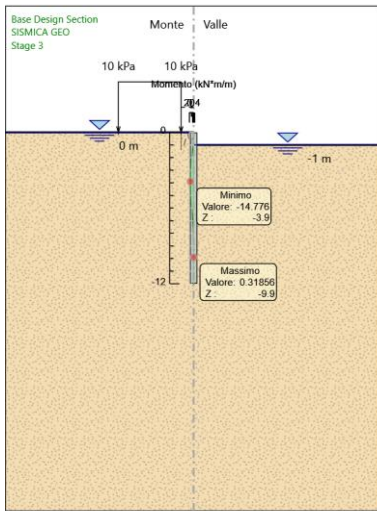
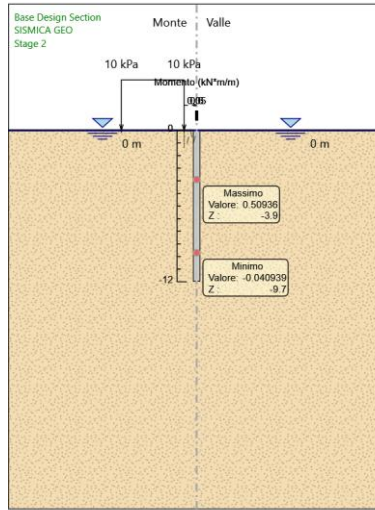
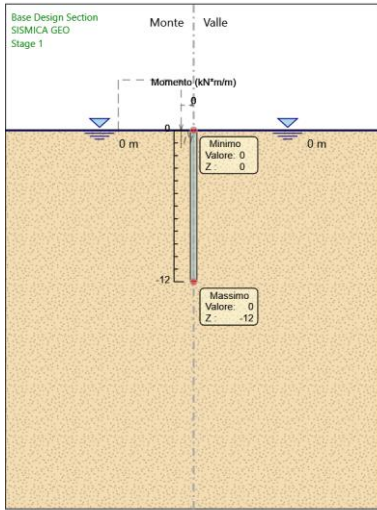
Design Assumption: SISMICA GEO Risultati Paratia		Muro: LEFT	
Stage	Z (m)	Momento (kN*m/m)	Taglio (kN/m)
Stage 5	0	0	0
Stage 5	-0.2	0	0
Stage 5	-0.2	0	0
Stage 5	-0.4	-0.1	-0.48
Stage 5	-0.5	-0.22	-1.2
Stage 5	-0.7	16.99	86.04
Stage 5	-0.9	33.86	84.35
Stage 5	-1.1	50.29	82.15
Stage 5	-1.3	66.18	79.46
Stage 5	-1.5	81.44	76.27
Stage 5	-1.7	95.95	72.57
Stage 5	-1.9	109.62	68.36
Stage 5	-2.1	122.35	63.66
Stage 5	-2.3	134.04	58.45
Stage 5	-2.5	144.59	52.75
Stage 5	-2.7	153.91	46.55
Stage 5	-2.9	161.88	39.87
Stage 5	-3.1	168.42	32.69
Stage 5	-3.3	173.42	25.03
Stage 5	-3.5	176.8	16.88
Stage 5	-3.7	178.45	8.24
Stage 5	-3.9	178.27	-0.89
Stage 5	-4.1	176.17	-10.5
Stage 5	-4.3	172.05	-20.59
Stage 5	-4.5	165.82	-31.16
Stage 5	-4.7	157.38	-42.22
Stage 5	-4.9	147.04	-51.67
Stage 5	-5.1	135.14	-59.53
Stage 5	-5.3	121.98	-65.78
Stage 5	-5.5	107.9	-70.43
Stage 5	-5.7	93.2	-73.47
Stage 5	-5.9	78.22	-74.91
Stage 5	-6.1	63.27	-74.75
Stage 5	-6.3	48.67	-72.98
Stage 5	-6.5	34.75	-69.6
Stage 5	-6.7	21.83	-64.6
Stage 5	-6.9	10.23	-57.99
Stage 5	-7.1	-0.07	-51.53
Stage 5	-7.3	-9.14	-45.34
Stage 5	-7.5	-17.02	-39.42
Stage 5	-7.7	-23.78	-33.78
Stage 5	-7.9	-29.46	-28.4
Stage 5	-8.1	-34.12	-23.3
Stage 5	-8.3	-37.81	-18.46
Stage 5	-8.5	-40.58	-13.87
Stage 5	-8.7	-42.49	-9.54
Stage 5	-8.9	-43.59	-5.46
Stage 5	-9.1	-43.91	-1.62
Stage 5	-9.3	-43.51	1.98
Stage 5	-9.5	-42.45	5.34
Stage 5	-9.7	-40.75	8.48
Stage 5	-9.9	-38.47	11.4
Stage 5	-10.1	-35.65	14.11
Stage 5	-10.3	-32.33	16.6
Stage 5	-10.5	-28.55	18.88
Stage 5	-10.7	-24.36	20.96
Stage 5	-10.9	-19.79	22.84
Stage 5	-11.1	-14.89	24.52
Stage 5	-11.3	-9.93	24.8
Stage 5	-11.5	-5.53	21.97
Stage 5	-11.7	-2.16	16.88
Stage 5	-11.9	-0.26	9.52
Stage 5	-12	0	2.55

### Tabella Risultati Paratia SISMICA GEO - Left Wall - Stage: Stage 6

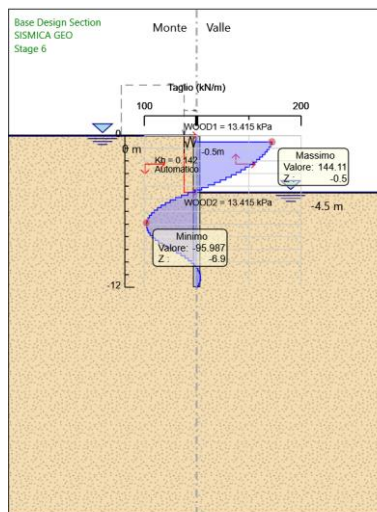
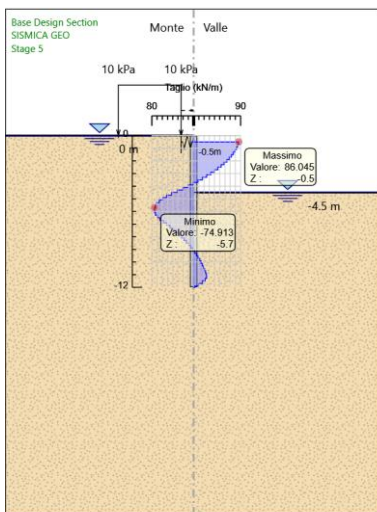
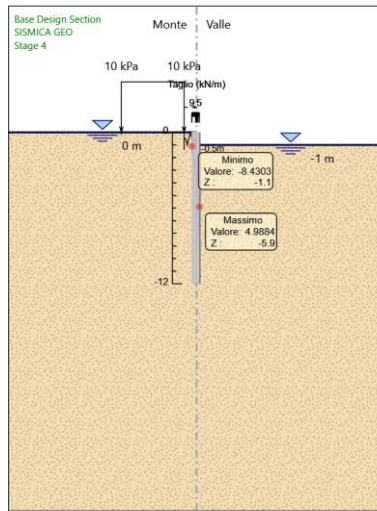
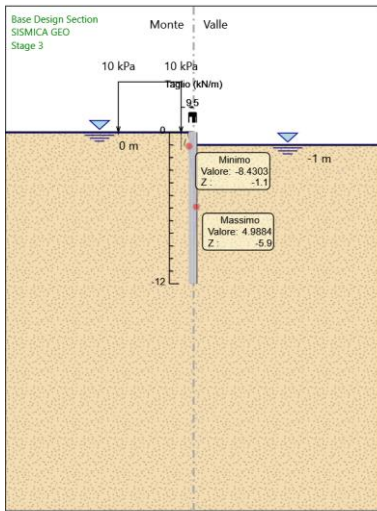
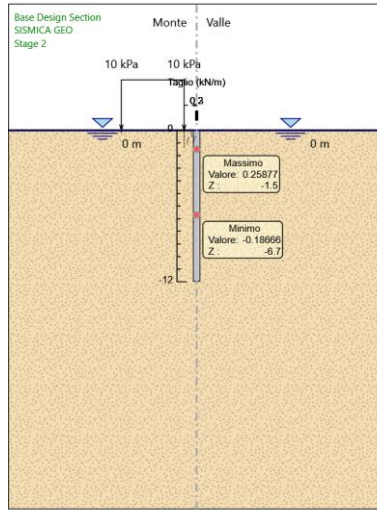
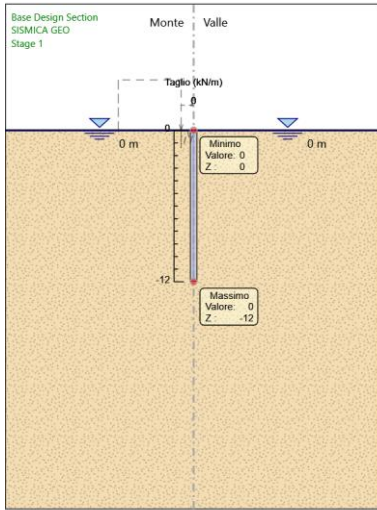
Design Assumption: SISMICA GEO Risultati Paratia		Muro: LEFT	
Stage	Z (m)	Momento (kN*m/m)	Taglio (kN/m)
Stage 6	0	0	-0.17
Stage 6	-0.2	-0.03	-0.17
Stage 6	-0.4	-0.25	-1.1
Stage 6	-0.5	-0.48	-2.24
Stage 6	-0.7	28.34	144.11
Stage 6	-0.9	56.68	141.69
Stage 6	-1.1	84.42	138.68
Stage 6	-1.3	111.44	135.08
Stage 6	-1.5	137.61	130.89
Stage 6	-1.7	162.83	126.09
Stage 6	-1.9	186.97	120.71
Stage 6	-2.1	209.92	114.73
Stage 6	-2.3	231.55	108.16
Stage 6	-2.5	251.75	101
Stage 6	-2.7	270.4	93.24
Stage 6	-2.9	287.38	84.89
Stage 6	-3.1	302.57	75.94
Stage 6	-3.3	315.85	66.4
Stage 6	-3.5	327.1	56.27
Stage 6	-3.7	336.21	45.55
Stage 6	-3.9	343.06	34.23
Stage 6	-4.1	347.52	22.32
Stage 6	-4.3	349.48	9.82
Stage 6	-4.5	348.83	-3.28
Stage 6	-4.7	345.47	-16.8
Stage 6	-4.9	339.65	-29.11
Stage 6	-5.1	331.57	-40.38
Stage 6	-5.3	321.45	-50.6
Stage 6	-5.5	309.49	-59.81
Stage 6	-5.7	295.9	-67.97
Stage 6	-5.9	280.88	-75.09
Stage 6	-6.1	264.64	-81.17
Stage 6	-6.3	247.4	-86.22
Stage 6	-6.5	229.36	-90.22
Stage 6	-6.7	210.72	-93.18
Stage 6	-6.9	191.7	-95.1
Stage 6	-7.1	172.5	-95.99
Stage 6	-7.3	153.34	-95.83
Stage 6	-7.5	134.41	-94.63
Stage 6	-7.7	115.93	-92.4
Stage 6	-7.9	98.11	-89.12
Stage 6	-8.1	81.15	-84.8
Stage 6	-8.3	65.26	-79.45
Stage 6	-8.5	50.65	-73.05
Stage 6	-8.7	37.53	-65.61
Stage 6	-8.9	26.1	-57.14
Stage 6	-9.1	16.57	-47.62
Stage 6	-9.3	8.89	-38.44
Stage 6	-9.5	2.87	-30.09
Stage 6	-9.7	-1.64	-22.57
Stage 6	-9.9	-4.82	-15.88
Stage 6	-10.1	-6.83	-10.03
Stage 6	-10.3	-7.83	-5.01
Stage 6	-10.5	-7.99	-0.82
Stage 6	-10.7	-7.49	2.53
Stage 6	-10.9	-6.47	5.06
Stage 6	-11.1	-5.13	6.75
Stage 6	-11.3	-3.62	7.53
Stage 6	-11.5	-2.12	7.48
Stage 6	-11.7	-0.87	6.26
Stage 6	-11.9	-0.11	3.82
Stage 6	-12	0	1.07

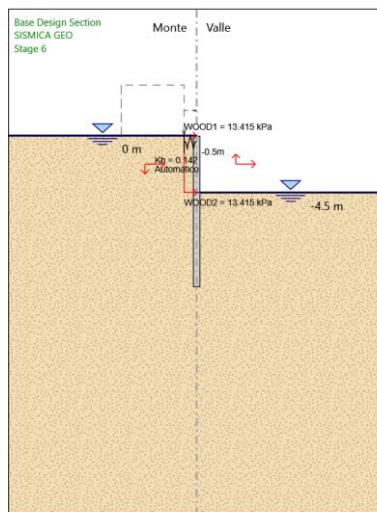
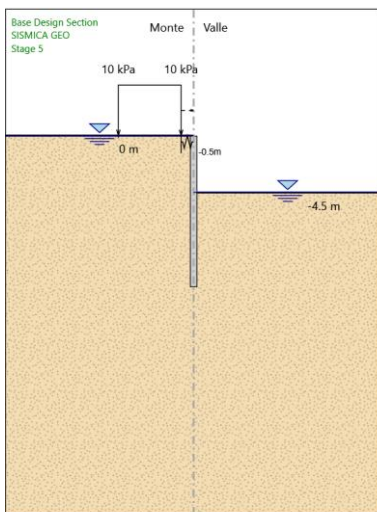
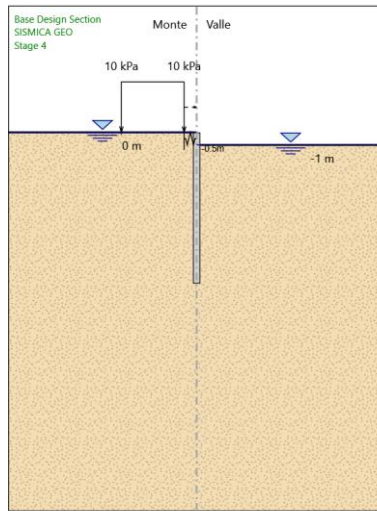
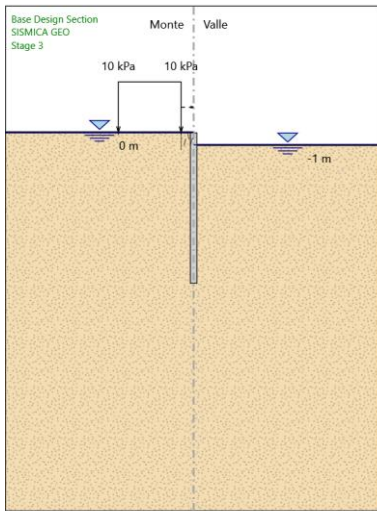
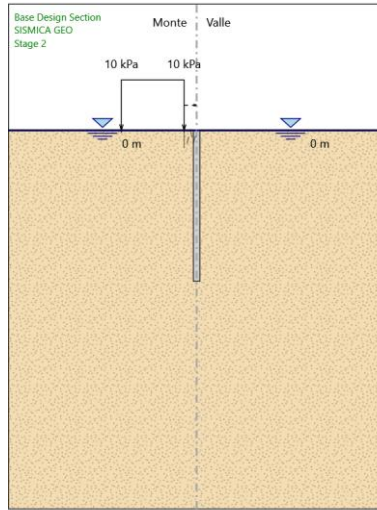
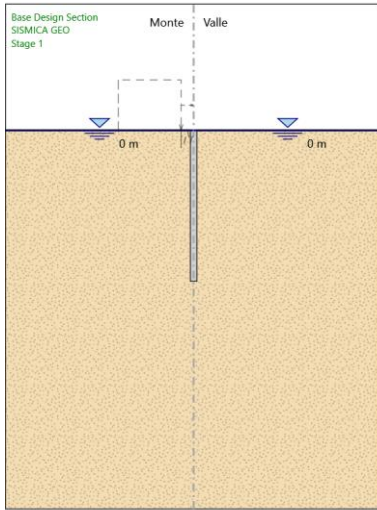
### Tabella Grafici dei Risultati

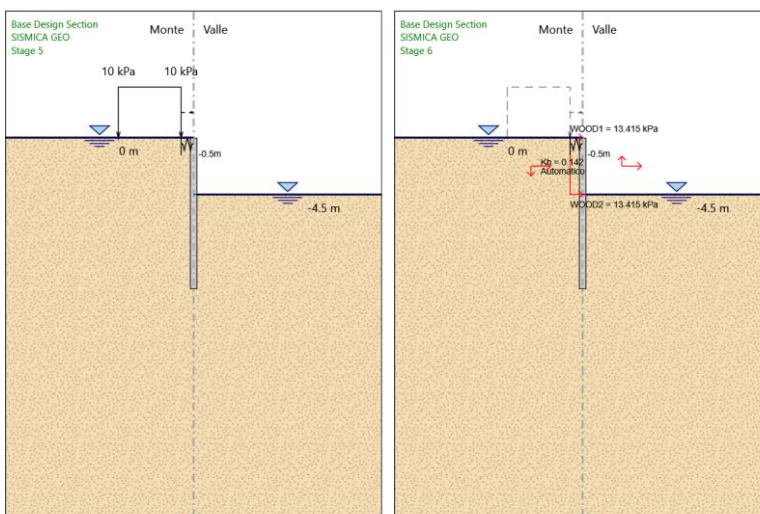
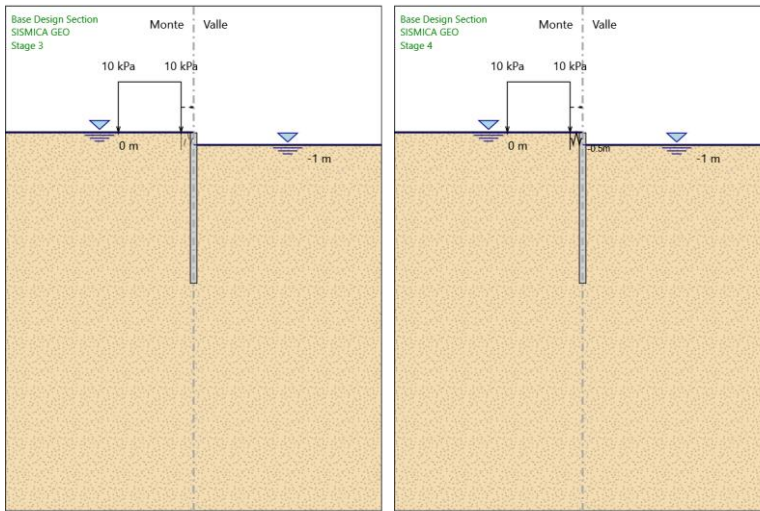
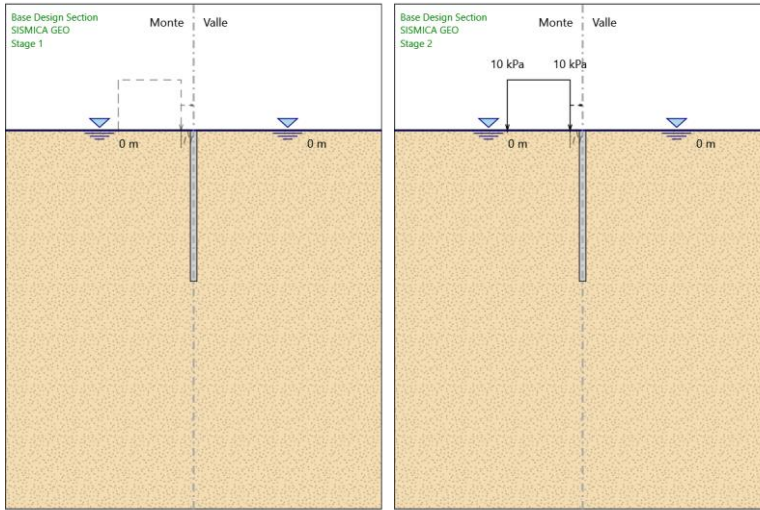












## Risultati Elementi strutturali - SISMICA GEO

Design Assumption: SISMICA GEO Sollecitazione Spring

Stage	Forza (kN/m)
Stage 4	-1.4699071E-14
Stage 5	88.15009
Stage 6	147.7161

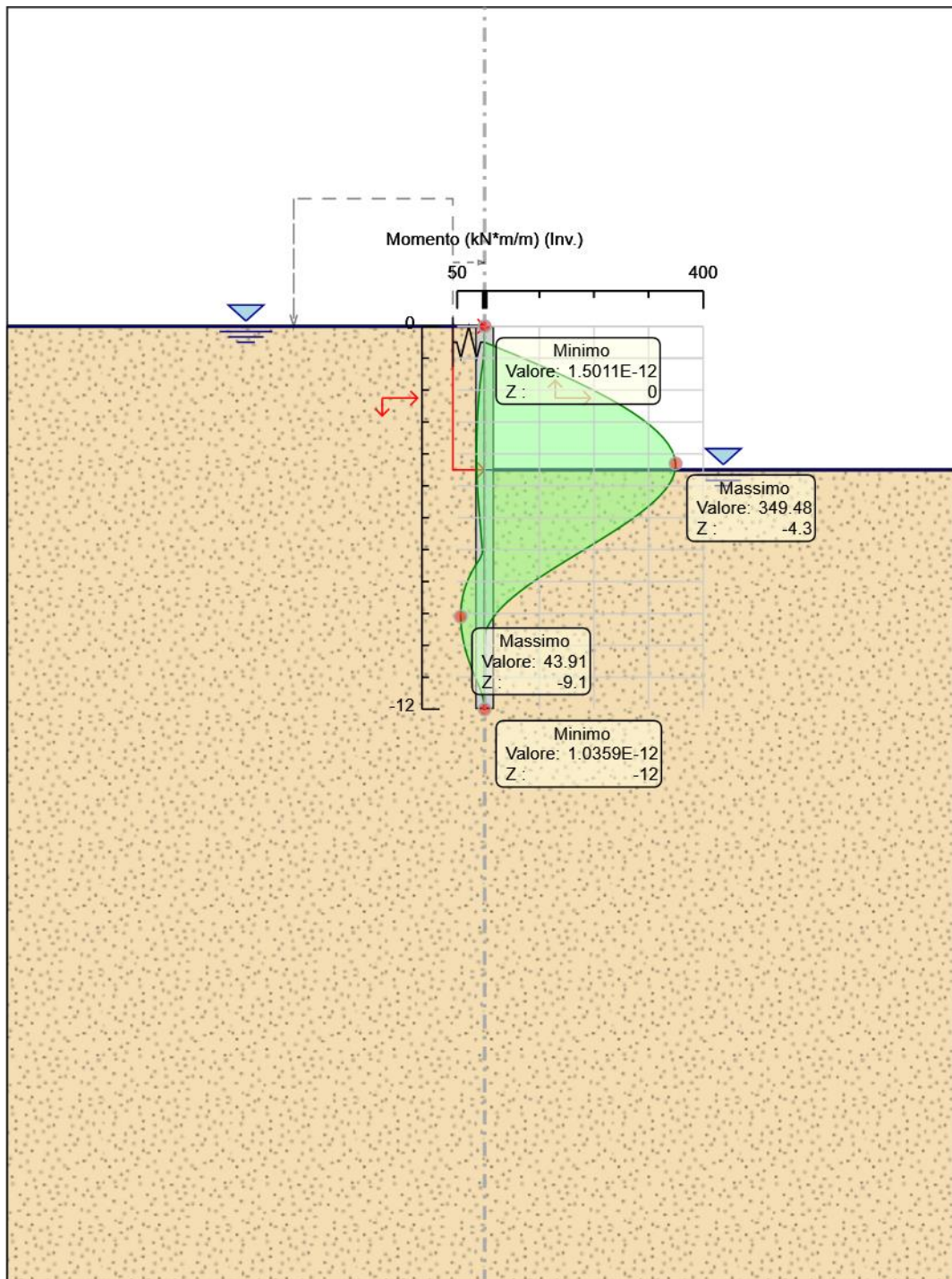
## Descrizione sintetica dei risultati delle Design Assumption (Inviluppi)

### Tabella Inviluppi Momento WallElement

Design Assumption: Nominal	Inviluppi: Momento	Muro: WallElement
Z (m)	Lato sinistro (kN*m/m)	Lato destro (kN*m/m)
0	0	0
-0.2	0.033	0
-0.4	0.253	0.004
-0.5	0.477	0.008
-0.7	0.704	28.345
-0.9	1.546	56.683
-1.1	2.872	84.42
-1.3	4.558	111.437
-1.5	6.243	137.614
-1.7	7.732	162.833
-1.9	9.04	186.975
-2.1	10.184	209.922
-2.3	11.176	231.554
-2.5	12.028	251.753
-2.7	12.752	270.401
-2.9	13.355	287.378
-3.1	13.845	302.566
-3.3	14.229	315.847
-3.5	14.51	327.101
-3.7	14.692	336.211
-3.9	14.776	343.057
-4.1	14.762	347.521
-4.3	14.646	349.484
-4.5	14.425	348.829
-4.7	14.094	345.47
-4.9	13.646	339.648
-5.1	13.073	331.573
-5.3	12.365	321.452
-5.5	11.525	309.491
-5.7	10.597	295.897
-5.9	9.619	280.879
-6.1	8.621	264.644
-6.3	7.628	247.401
-6.5	6.66	229.357
-6.7	5.736	210.721
-6.9	4.87	191.7
-7.1	4.07	172.502
-7.3	9.139	153.337
-7.5	17.023	134.41
-7.7	23.778	115.931
-7.9	29.459	98.107
-8.1	34.119	81.147
-8.3	37.81	65.257
-8.5	40.585	50.648
-8.7	42.493	37.525
-8.9	43.586	26.098
-9.1	43.91	16.574
-9.3	43.515	8.886
-9.5	42.446	2.869
-9.7	40.749	0.304
-9.9	38.468	0.319
-10.1	35.647	0.313
-10.3	32.328	0.291
-10.5	28.552	0.257
-10.7	24.36	0.216
-10.9	19.791	0.171
-11.1	14.886	0.125
-11.3	9.927	0.082
-11.5	5.533	0.045
-11.7	2.158	0.018
-11.9	0.255	0.002
-12	0	0



### Grafico Involuppi Momento



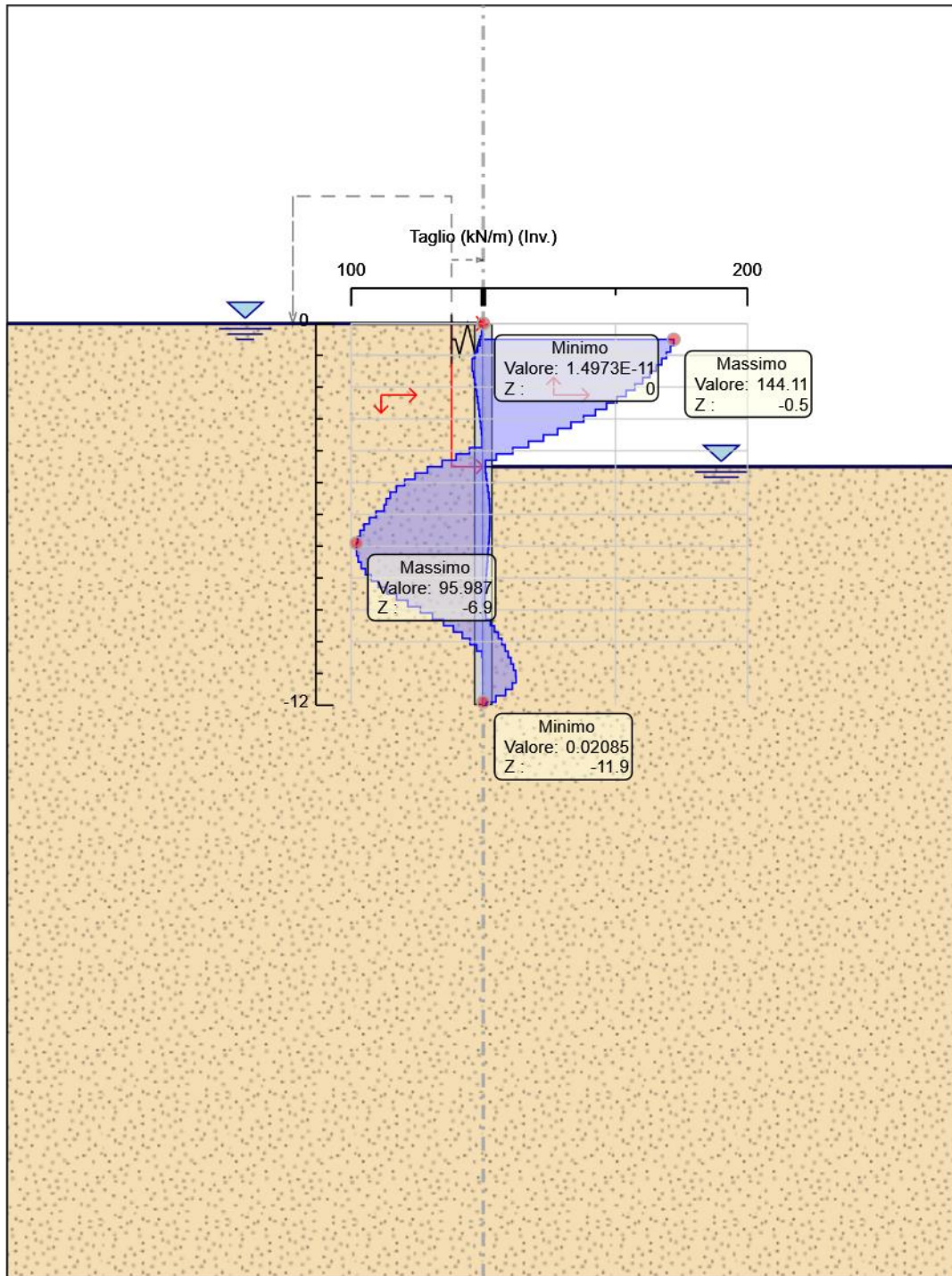
Momento



## Tabella Inviluppi Taglio WallElement

Design Assumption: Nominal	Inviluppi: Taglio	Muro: WallElement
Z (m)	Lato sinistro (kN/m)	Lato destro (kN/m)
0	0.167	0
-0.2	1.098	0.018
-0.4	2.241	0.045
-0.5	2.328	144.109
-0.7	4.207	144.109
-0.9	6.632	141.694
-1.1	8.43	138.685
-1.3	8.43	135.082
-1.5	8.424	130.885
-1.7	7.444	126.095
-1.9	6.544	120.711
-2.1	5.718	114.733
-2.3	4.96	108.162
-2.5	4.262	100.997
-2.7	3.616	93.238
-2.9	3.016	84.886
-3.1	2.453	75.941
-3.3	1.919	66.403
-3.5	1.407	56.272
-3.7	0.908	45.547
-3.9	10.496	34.23
-4.1	20.586	22.32
-4.3	31.16	9.818
-4.5	42.217	1.654
-4.7	51.672	2.239
-4.9	59.526	2.866
-5.1	65.777	3.541
-5.3	70.425	4.201
-5.5	73.471	4.639
-5.7	75.091	4.892
-5.9	81.174	4.988
-6.1	86.216	4.988
-6.3	90.219	4.966
-6.5	93.181	4.839
-6.7	95.104	4.619
-6.9	95.987	4.332
-7.1	95.987	3.999
-7.3	95.83	3.641
-7.5	94.633	3.272
-7.7	92.396	2.898
-7.9	89.119	2.529
-8.1	84.802	2.172
-8.3	79.446	1.834
-8.5	73.049	1.519
-8.7	65.613	1.229
-8.9	57.136	0.967
-9.1	47.62	1.977
-9.3	38.438	5.344
-9.5	30.086	8.485
-9.7	22.567	11.404
-9.9	15.881	14.106
-10.1	10.028	16.597
-10.3	5.009	18.881
-10.5	0.822	20.961
-10.7	0.226	22.841
-10.9	0.229	24.525
-11.1	0.229	24.795
-11.3	0.215	24.795
-11.5	0.184	21.97
-11.7	0.139	16.876
-11.9	0.078	9.516
-12	0.021	2.55

### Grafico Inviluppi Taglio



Taglio

## Inviluppo Spinta Reale Efficace / Spinta Passiva

Design Assumption	Stage	Muro	Lato	Inviluppo Spinta Reale Efficace / Spinta Passiva %
SISMICA GEO	Stage 6	Left Wall	LEFT	13.57
SISMICA GEO	Stage 6	Left Wall	RIGHT	72.64

## Inviluppo Spinta Reale Efficace / Spinta Attiva

Design Assumption	Stage	Muro	Lato	Inviluppo Spinta Reale Efficace / Spinta Attiva %
SISMICA GEO	Stage 6	Left Wall	LEFT	12011.68
SISMICA GEO	Stage 1	Left Wall	RIGHT	18808.77

## Inviluppo Risultati Elementi Strutturali

Elemento strutturale	Design Assumption	Stage	Cela Forza kN/m
Spring	SISMICA GEO	Stage 6	147.72

Elemento strutturale	Design Assumption	Stage	Cela Momento kN*m/m
Spring	SISMICA GEO	Stage 6	0